

# GEOLOGIJA

GEOLOGICAL  
TRANSACTIONS  
AND REPORTS

RAZPRAVE IN POROČILA

Ljubljana • Letnik 1966 • 9. knjiga • Volume 9.

## MICROFACIES DU JURASSIQUE DES DINARIDES EXTERNES DE LA YOUGOSLAVIE

Rajka Radoičić

### Introduction

La stratigraphie du Jurassique des Dinarides externes se basait jusqu'aux jours plus récents sur les découvertes des macrofossiles. Sur les cartes géologiques on a distingué soit le Jurassique non différencié, soit certaines parties du Jurassique abondantes en macrofossiles: principalement le Liassique (couches à *Lithiotis* et calcaires variés à *Brachiopodes*) et le Malm (calcaires à *Cladocoropsis* et calcaires dits tithon-valanginiens à *Ellipsactinia*, *Polypiers*, *Diceras* et *Nerinea*). La faune de Céphalopodes n'était connue que d'un petit nombre de localités: quelques affleurements des couches liassiques à Céphalopodes au Monténégro du Nord et à l'Herzégovine et couches de Lemeš jurassiques supérieures de la Dalmatie moyenne. Les travaux pour la carte géologique des Dinarides externes au 1:25 000<sup>e</sup> que l'on exécute dans ces derniers temps avaient démontré qu'il faudrait disposer des données stratigraphiques détaillées et beaucoup plus nombreuses obtenues uniquement par les études biostratigraphiques complexes. Les premiers essais des études micropaléontologiques avaient déjà offert de très importants résultats en découvrant les nombreux microfossiles même dans les sédiments qui étaient tenus stériles. Il n'était pas rare que ces sédiments jurassiques fussent rangé jusqu'à ce moment dans le Triassique ou dans le Crétacé supérieur. Les études micropaléontologiques et surtout les études des microfaciès avaient sans doute grandement éclairci les problèmes du Jurassique des Dinarides externes — les résultats des travaux exécutés jusqu'à présent dans ce domaine sont l'objet de cet aperçu.

Etant donné que les microfaciès jurassiques, préparés pour être imprimés en 1961, n'étaient pas publiés à temps utile, on a fait un complément le plus nécessaire en tenant grand compte de la bibliographie apparue sur ces entre-temps. En plus, la présentation de certaines séries est complétée de quelques données plus intéressantes obtenues après 1961. Il est à souligner qu'aujourd'hui on dispose de très intéressants matériaux micropaléontologiques d'un grand nombre de colonnes jurassiques dé-

taillement levées, non seulement à l'Institut de recherches géologiques et géophysiques à Belgrade, mais aussi aux autres centres géologiques à Ljubljana, Zagreb, Sarajevo et Titograd. Cela veut dire, qu'aujourd'hui au moment de la publication des microfaciès jurassiques, la série jurassique des Dinarides externes de Yougoslavie est étudiée beaucoup plus largement et plus minutieusement que ce que l'on pourrait conclure de ce travail.

Au cours de l'étude des microfaciès jurassiques des Dinarides externes ma collègue Aleksandra Danilova, qui travaille également sur l'étude des microfaciès jurassiques et crétacés d'une partie des Dinarides internes et des montagnes carpatho-balkaniques, n'a pas hésité à m'apporter son concours dans une collaboration utile. Je voudrais à cette occasion la remercier chaleureusement pour cette collaboration de longues années. Je remercie également M. le Professeur Zarija Bešić et ma collègue Smiljka Pantić avec lesquels je travaillais plusieurs années sur les terrains monténégriens, ainsi que le collègue Djordje Čekić pour les photos réussies des lames minces micropaléontologiques.

Belgrade, novembre 1964.

#### NOTE STRATIGRAPHIQUE

Les microfaciès jurassiques des Dinarides externes sont exposés suivant les régions respectivement suivant les colonnes stratigraphiques particulières (fig. 1). La majeure partie de colonnes stratigraphiques tirent leur origine des Dinarides monténégriens. Pour ce domaine on présente, dans le but de compléter l'image sur les conditions paléogéographiques, à côté des séries jurassiques des zones variées des Dinarides externes également les microfaciès d'une partie des Dinarides internes (zone externe des Dinarides internes: le Jurassique des environs de Pljevlje).

Sur le développement de la majorité des séries en question on avait déjà écrit (R. Radović, 1963/64); c'est pourquoi on ne présente que les aperçus stratigraphiques tabellaires avec remarque qu'ils sont plus ou moins schématisés en fonction du degré de leur connaissance. Il ne serait pas superflu de répéter la conclusion relative aux caractères de la série jurassique des Dinarides externes, à savoir:

«— la variabilité prononcée de l'épaisseur (de quelques dizaines à plus de 1 200 m);

— la sédimentation de l'eau peu profonde, de l'infranéritique à celle de l'eau peu profonde littorale finale y inclus le régime laguno-lacustre dans le Kimméridgien et le Portlandien intimement lié avec les bauxites et dans certaines régions également grandes lacunes dans la colonne stratigraphique, et

— la variété des faciès du caractère zoné, quoique dans certaines zones se sentit une différenciation plus importante dans la direction longitudinale. Temporairement, les différenciations faciales s'observent *pro parte* au Liassique, et surtout dans le Dogger et le Malm inférieur,

tandis que l'homogénéité des faciès d'une vaste étendue des Dinarides externes de Yougoslavie caractérise la période après le Kimméridgien (série à *Clypeina jurassica*, série à Tintinnines aberrantes,<sup>\*</sup> etc. . . .)».

L'importance des microfaciès en question n'est pas toujours la même — je considère qu'il est nécessaire, pour connaître le développement d'une série, de connaître non seulement les microfaciès caractéristiques mais aussi ceux de l'importance stratigraphique secondaire ou même ceux stratigraphiquement indifférents (en titre d'exemples, calcaires variés à Ostracodes, Thaumatoporellas, certaines Codiacees, Cyanophytes, etc. . . .), mais qui dans une région restreinte ou dans une zone paléogéographique déterminée peuvent être les «marqueurs» stratigraphiques très importants (par ex., calcaires microoolithiques, certains calcaires oolithiques-détritiques et oolithiques à Echinodermes, calcaires organo-oolithiques-détritiques à Echinodermes, Cristellaria et autres Lagénidés du gènes-détritiques à Echinodermes, Cristellaria et autres Lagénidés du Jurassique inférieur c'est-à-dire du Liassique et du Liassique-Dogger).

Les microfaciès qui suivent sont très répandus et très caractéristiques pour certaines périodes du Jurassique des Dinarides externes:

#### LIASSIQUE

Les microfaciès à

- *Triassina hantkeni*, *Aulotortus*, *Sestrosphaera*
- *Palaeodasycladus mediterraneus*
- *Orbitopsella praecursor*
- *Lituosepta recoarensis*
- *Spirillina liassica*, *Trocholina* sp. nov. et Lagénidés
- *Vidalina martana*, *Glomospira* sp., etc. . . .

#### DOGGER

Les microfaciès à

- *Globigerina helveto-jurassica*
- *Dictyoconus cayeuxi*
- *Selliporella donzellii*, *Teutloporella gallaeformis*
- *Nerinella*
- *Trochamminidae*, *Textulariidae*, *Verneuilinidae* (fréquentes) et *Endothyra* sp.

#### DOGGER SUPÉRIEUR ET MALM INFÉRIEUR

Les microfaciès à

- *Protopeneroplis striata* et *Trocholina*
- *Pfenederinidae*

\* Les microfossiles considérés dans cet essai de synthèse comme Tintinnines aberrantes appartiennent selon A. Farinacci (1963) à une seule espèce des Teredinides dénommée *Bankia striata* (Carozzi).

## MALM

### Les microfaciès à

- microfossiles problématiques Pr 3 et Pr 6, Bryozoaires (?) Br 1, Codiacea C 1, etc.
- *Labyrinthina mirabilis*
- *Cladocoropsis mirabilis* et Kurnubies
- *Kurnubia palastiniensis* et *Kurnubia wellingsi*
- *Conicospirillina*
- *Saccocoma*
- *Pianella grudii* et Charophytes
- «*Macroporella*» *sellii*
- «*Lituonella*» sp.
- *Clypeina jurassica*, et
- Calpionelles.

### COUCHES INTERMÉDIAIRES: JURASSIQUE-CRÉTACÉ (INFRAVALANGINIEN)\*

### Les microfaciès à

- *Clypeina jurassica* et Tintinnines aberrantes, et
- *Calpionellopsis*, Tintinnopselles et Calpionelles peu fréquentes.

A côté des microfaciès cités on a observé que les microfaciès à *Pseudocodium convolvens* (pl. 9/2, pl. 10/1, *Bullopora* sp. (pl. 104) et *Clypeina* spp. (pl. 35 et 36) ont également une extension stratigraphique très restreinte. Leur valeur stratigraphique ne pouvait pas être vérifiée étant donné qu'ils ne sont pas constatés, dans le cadre des études faites jusqu'à présent, que dans les séries ici présentées.

En terminant il faudrait souligner que l'étude des microfaciès jurassiques est faite grâce à nombreuses observations sur le terrain. C'est ce qui a permis d'observer beaucoup plus facile la migration des faciès dans le temps et espace dont il faudrait tenir grand compte à l'occasion de l'interprétation stratigraphique. Je citerais un exemple: les calcaires à *Ellipsactinia* des zones paléogéographiques déterminées des Dinarides externes apparaissent dans le Malm inférieur, tandis que les calcaires à *Ellipsactinia* d'autres zones ayant la position des falaises par rapport aux sillons de ce miogéosynclinal (par rapport au sillon de Budva-Boka ou celui au Nord: la falaise à peu près de la ligne Vjetarnik-Durmitor-Nevesinje) sont sans doute plus jeunes — ils se trouvent dans le Malm supérieur.

\*

Les lames minces micropaléontologiques appartiennent à la Collection des lames minces micropaléontologiques de l'Institut de recherches géologiques et géophysiques à Belgrade.

\* Etant donné qu'aux domaines examinés après le Jurassique sup. s'étaient continûment déposées les couches crétacées inférieures, à côté des microfaciès jurassiques de certaines séries on présente également le microfaciès infravalanginiens et valanginiens inférieurs.

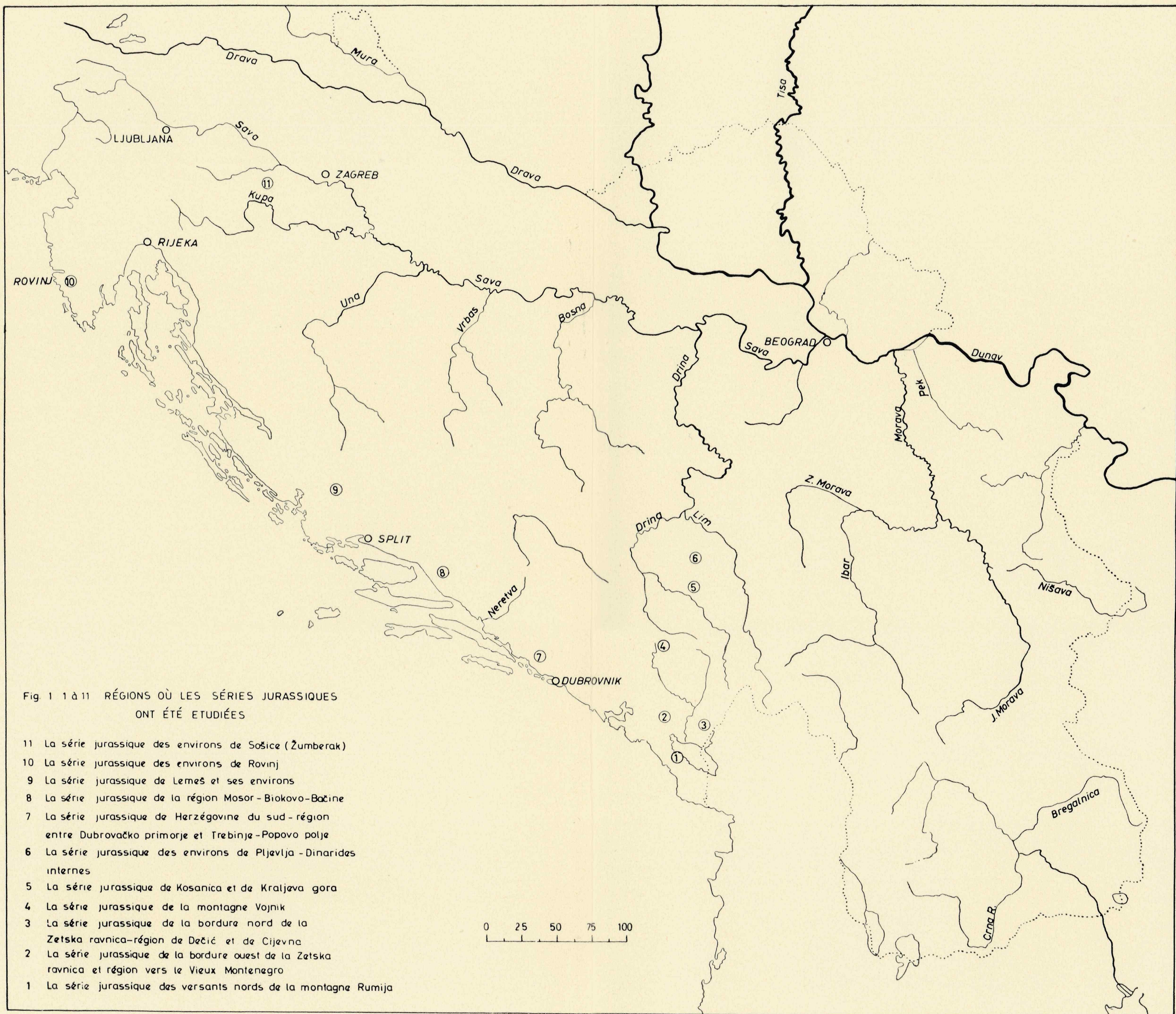


Tableau № 1

## LA SÉRIE JURASSIQUE DES VERSANTS NORD DE LA MONTAGNE RUMIJA

Âge	Faciès		Planche №
	Krsajina de l'Est	Krajina de l'Ouest	
Néocomien		Calcaires à Tintinnines aberrantes et autres microfossiles. Dolomies.	
Jurassique supérieur de la Krajina de l'Est n'est pas étudié.)		Calcaire à <i>Clypeina jurassica</i> , autres Dasycladacées et Foraminifères. Dolomies.	16 à 18 13 à 15
Malm supérieur	Calcaires organogènes et organogènes-detritiques à Hydrozoaires, Polypiers, etc. Calcaire organogène-detritique avec petits morceaux de jaspes.	Calcaires à Cyanophytes, <i>Conicospirillina</i> , <i>Pseudocyclamina</i> , <i>Diceras</i> , Nerinéidés et rares <i>Cladocoropsis</i> .	11, 12 10/2
Malm inférieur	Brèche hétérogène (les composantes: calcaires liasiques variés et jaspes).	Calcaires massifs biohermes à Polypiers coloniaux; <i>Ellipsactinia</i> , autres Hydrozoaires, <i>Diceras</i> et Nerinéidés.	
Do Berger		Calcaires organogènes-detritiques à Gastéropodes, Polypiers solitaires, Hydrozoaires, <i>Pseudododium convolvens</i> , autres Algues et <i>Protopeneroplis striata</i>	10/1 8, 9 7/2
Lias	Calcaires à jaspes (Brachiopodes) et zones à jaspes.	Calcaires oolithiques à Trocholines, <i>Protopeneroplis striata</i> , rares Dasycladacées et autres Algues.	6, 7/1 5/2
Trias supérieur		Calcaires oolithiques et oolithiques-detritiques à Echinodermes, Lagénidés, <i>Vidalina</i> et autres Foraminifères.	5/1 4
		Calcaire à <i>Orbitopsella</i> et autres Foraminifères, calcaire à <i>Palaeodasycladus mediterraneus</i> .	3 2 1
		Dolomies et calcaires à Megalodontidés.	

Tableau № 2

LA SÉRIE JURASSIQUE DE LA BORDURE OUEST DE LA ZETSKA RAVNICA  
ET DU DISTRICT VERS L'ANCIEN MONTENEGRO

Âge	F a c i è s			Planche №
Trias supérieur	Li as	D ogger	M a l m inférieur	
Néocomien				
			Calcaires à Tintinnines aberrantes; calcaires à Coprolithes, Dasycladacées, etc.; calcaires dolomitiques et dolomies.	41
			Calcaire à Tintinnines aberrantes et <i>Clypeina jurassica</i> . Dolomies.	
			Dolomies, calcaires dolomitiques et calcaires à <i>Clypeina jurassica</i> ( <i>pro parte</i> , dans la partie inférieure: calcaire à Charophytes).	39, 40 38
			Calcaire à Kurnubies, Cyanophytes, Hydrozoaires, etc.; dolomies.	35 à 37 34/2
			Calcaires à <i>Cladocoropsis mirabilis</i> , Kurnubies, <i>Pseudocyclammina</i> , Cyanophytes et Dasycladacées. <i>Pro parte</i> , dans la partie inférieure: calcaire oolithique à Trocholines.	34/1
			Calcaire divers, grumeleux et organogène-détritique à Pfenderinidés, Trochamminidés, Textularidés, Verneuilinidés et Dasycladacée <i>Teutloporella gallaeformis</i> . Calcaire oolithique à <i>Protopeneroplis striata</i> .	33 32 31 30
			Calcaires à <i>Selliporella donzellii</i> , <i>Teutloporella gallaeformis</i> et autres Dasycladacées, puis Trochamminidés, Textularidés, Verneuilinidés, etc. Calcaire oolithique à <i>Protopeneroplis striata</i> .	29 28 27
			Calcaire à <i>Dictyoconus cayeuxi</i> .	26 25
			Calcaires oolithiques; calcaire à <i>Glomospira</i> et Codiacées; calcaires à <i>Lithiotis</i> , <i>Pseudocyclammina</i> , <i>Lituosepta</i> , <i>Orbitopsella</i> et <i>Palaeodasycladus</i> .	24 23 20 à 22
			Calcaire à <i>Palaeodasycladus mediterraneus</i> . Dolomies.	19
			Dolomies et calcaires à Megalodontidés.	

Tableau № 3

LA SÉRIE JURASSIQUE DE LA BORDURE NORD DE LA ZETSKA RAVNICA  
DISTRICT DE DECĆIĆ ET DE CIJEVNA

Age	Faciès	Planche №
Néocomien	Calcaire peu bitumineux à Tintinnines aberrantes, Coprolithes, <i>Salpingoporella annulata</i> , Gastéropodes, etc.	55
	Calcaire peu bitumineux à <i>Clypeina jurassica</i> , Tintinnines aberrantes et <i>Salpingoporella annulata</i> .	54/2
	Dolomies, calcaire dolomitiques et bitumineux et calcaire à <i>Clypeina jurassica</i> .	54/1
Malm supérieur	Calcaire à Charophytes, Ostracodes, <i>Pianella grudii</i> et Ostréidés.	49 à 53
	Calcaire à rares Clypeines, « <i>Macro-porella</i> » <i>sellii</i> et Cyanophytes, « <i>Lituonella</i> », <i>Kurnubia</i> , etc.	46 à 48
	Calcaires organogènes et organogènes-détritiques à Hydrozoaires, Polypiers, Brachiopodes, Nérinées et <i>Diceras</i> .	45/2
Malm inférieur	Calcaire à <i>Cladocoropsis mirabilis</i> , Cyanophytes, « <i>Macroporella</i> » <i>sellii</i> , Kurnubies et autres Foraminifères.	45/1
	Calcaires oolithiques et oolithiques-détritiques à <i>Protopeneroplis striata</i> et rares <i>Cladocoropsis</i> , calcaire à Codiacées.	44
		42, 43

Tableau № 4

## LA SÉRIE JURASSIQUE DE LA MONTAGNE VOJNIK

Âge	F a c i è s			Planche №
Néocomien				
		Calcaires à Tintinnines aberrantes, Coprolithes, Dasycladacées, Nérinées, etc.		
		Calcaire à <i>Clypeina jurassica</i> et Tintinnines aberrantes. Dolomies.		
		Calcaire à <i>Clypeina jurassica</i> . Dolomies.		72
		Calcaires organogènes et organogèno-détritiques à Hydrozoaires, Polypiers, <i>Diceras</i> , Nerinéidés, etc.	Calcaire marneux à Ostracodes, Charophytes et <i>Pianella grudii</i> .	71 70/2
			Niveau du calcaire conglomératique et de celui d'aspect conglomératique et traces de bauxite.	70/1
				Bauxite
		Calcaire organogèno-détritique à Hydrozoaires, Polypiers, etc.		69/2
		Calcaires organogèno-détritiques à Trocholines et <i>Protopeneroplis striata</i> . Dolomies.		69/1 68/2 67, 68/1
		Calcaire à Lamellibranches pélagiques, calcaire à Globigérines. Microbrèche.		66 64/2, 65
			Calcaire marneux rougeâtre et calcaire à Lagénidés, <i>Spirillina liassica</i> et Céphalopodes.	60 à 64/1
			Marno-calcaire et calcaire marneux à Lagénidés et <i>Spirillina liassica</i> . Dans la partie inférieure: calcaire à <i>Triassina hantkeni</i> .	59 57, 58 56
Trias supérieur	Lias	Doggier	Dolomies et calcaires à Megalodontidés.	

Tableau № 5

## LA SÉRIE JURASSIQUE DE KOSANICA ET DE KRALJEVA GORA

Âge	Faciès	Planche N°
Trias supérieur	Calcaire marneux et marno-calcaire à <i>Calpionella</i> , <i>Calpionellopsis</i> et <i>Tintinnopsisella</i> .	79
Lias	La série clastique — calcaire marneaux à <i>Calpionella</i> et Radiolaires, marne, calcarenites, calcaires bréchiques, etc.	78 77
Dogger	Calcaires organogènes et organogènes-détritiques à Mollusques, Polypiers, Hydrozoaires et Codiacées.	76 75/2
Malm infér.	Calcaires divers à petits Foraminifères et <i>Aeolisaccus</i> .	75/1
Malm supér.	Calcaires rougeâtres et grisâtres à <i>Globochaete</i> , Lagénidés, Lamellibranches pélagiques, etc.	74/2
	Calcaire rouge à Lagénidés, <i>Vidalina martana</i> , <i>Spirillina liassica</i> et Céphalopodes.	74/1
	Calcaires grisâtres à <i>Thaumatoporella</i> et <i>Aulotortus</i> .	73
	Calcaire à Megalodontidés.	

Tableau № 6

LA SÉRIE JURASSIQUE DES ENVIRONS DE PLJEVLJA  
DINARIDES INTERNES

Âge	F a c i è s		Planche №
	au Sud	au Nord	
Néocornien	Marne et calcaire marneux à <i>Calpionella</i> , <i>Calpionellopsis</i> et <i>Tintinnopsis</i> .		88
M al m supér.	Calcaire marneux à <i>Calpionella</i> .	Calcaire à <i>Calpionella</i> et Ammonites (d'après les matériaux de l'Institut Géol. — Titograd).	
Dogger	La série des calcaires et jaspes (calcaire marneux, calcaires silifiés à Radiolaires et Lamellibranches pélagiques, calcaires détritiques-oolithiques, détritiques et bréchiques, jaspes).	La «Diabase -Hornstein Formation».	87 86
Lias	Calcaire rouge à microfossiles peu abondants (Lagénidés, <i>Spirillina liassica</i> , <i>Bachiopodes</i> , etc.).	Calcaire rougeâtre-grisâtre, marneux, à Lamellibranches pélagiques et rares Globigérines.	85/2
		Calcaire rouge à Céphalopodes Lagénidés, <i>Spirillina liassica</i> , <i>Bachiopodes</i> , etc.	85/1
		Calcaire rougeâtre à Lagénidés, <i>Spirillina liassica</i> et autres, Foraminifères.	83 82 81
		Calcaire grisâtre et brunâtre à rares microfossiles ( <i>Ostracodes</i> et <i>Thaumatoporella</i> ).	80
Trias supérieur	Calcaires à Megalodontidés et Dasycladacées.		

Tableau № 7

LA SÉRIE JURASSIQUE DE L'HERZÉGOVINE DU SUD  
DISTRICT ENTRE DUBROVACKO PRIMORJE ET TREBINJE-POPOVO POLJE

Âge	F a c i è s			Planche №
Néocomien	Dolomies.	Calcaires différents à Tintinnines aberrantes; calcaires à Coprolithes, <i>Salpingoporella annulata</i> et Nerinéidés.		
	Dolomies.	Calcaires à <i>Clypeina jurassica</i> , <i>Pianella gigantea</i> et Tintinnines aberrantes, calcaire à Coprolithes.	109 108	
	Dolomies et calcaires dolomitiques à <i>Clypeina jurassica</i> .	Calcaire à <i>Clypeina jurassica</i> et niveau de calcaire à Charophytes.	107 106 105/2	
	Calcaires organogènes-détritiques à Hydrozoaires, Polypiers et Néridés.	Calcaires à <i>Cladocoropsis mirabilis</i> , <i>Kurnubies</i> , <i>Bullopora</i> , « <i>Macroporella</i> » <i>sellii</i> , etc. Dolomies.	105/1 102 à 104	
	Calcaire à Pfenderinidés.	Calcaire à petits Foraminifères.	101 100	
	Dogger	Calcaires organogènes-détritiques à <i>Selliporella donzellii</i> ; <i>Endothyra</i> sp. et autres Foraminifères (Textularidés, Trochamminidés, Verneuilinidés), Microgastéropodes ( <i>Nerinella</i> et aut.), etc.; dolomies.	96 à 99	
		Calcaires oolithiques et calcaire à Coprolithes. Dolomies.	95 94/2	
		Dolomies, calcaires oolithiques et calcaires à Echinodermes, <i>Glomospira</i> , etc.	94/1 93/2	
		Calcaires à <i>Lithiotis</i> , <i>Orbitopsella</i> , <i>Lituosepta</i> et <i>Palaeodasycladus mediterraneus</i> .	93/1 91, 92/2 89/2,90	
	Dolomies.	Calcaire à <i>Palaeodasycladus</i> .	89/1	
Dolomies et calcaires à Megalodontidés.				

Tableau № 8

## LA SÉRIE JURASSIQUE DE LA RÉGION MOSOR-BIOKOVO-BAČINE

Age	Mosor	Biokovo	Bačine	Planche №
Néocomien		Calcaires variés à Tintinnines aberrantes, Coprolithes, Dasycladacées, Nerinéidés, etc.		120, 121
M a 1 m supérieur	Calcaire à <i>Clypeina jurassica</i> et Tintinnidés aberrantes.			119/2
inférieur	Calcaires organogènes-détritiques, marneux, grumeleux et dolomitiques à <i>Clypeina jurassica</i> . Dolomies et calcaire brèchique.	Calcaire à <i>Cladocoropsis mirabilis</i> , Kurnubies, Cianophytes, etc.	Calcaire organogène-détritique et aut. à Codiacées, <i>Pseudocyclammina</i> , Kurnubies, Hydrozoaires, Polypiers et Nerinéidés.	119/1 118
Dogger	Calcaire à <i>Labyrinthina mirabilis</i> , <i>Pseudocyclammina</i> , <i>Cladocoropsis</i> . Calcaire dolomitique et parties inconsidérables de dolomies.	Calcaire à Pfenderinidés et <i>Pseudocyclammina</i> ; calcaire dolomitique et dolomie.		117 116/2
		Calcaire organogène-détritique à <i>Selliporella donzellii</i> ; calcaire oolithique à <i>Protopeneroplis striata</i> et Trocholines. Dolomie et calcaire brèchique.	Calcaires organogènes-détritiques, détritiques-oolithiques et calcaire oolithique.	115 114
		Calcaire oolithique à <i>Dictyoco-nus cayeuxi</i> . Calcaire brèchique. Dolomie.		112, 113
		Calcaire grumeleux, calcaires oolithiques variés et parties inconsidérables de dolomie.		
		Calcaire à <i>Lithiotis</i> , Lituolidés, <i>Orbitopsella</i> , <i>Palaeodasycladus</i> , etc.	Dolomies.	110, 111
			Dolomies à Megalodontidés.	

Tableau № 9

## LA SÉRIE JURASSIQUE DE LEMEŠ ET DE SES ENVIRONS

Âge	F a c i è s		Planche №
	Lemeš	Environs plus large de Lemeš	
Néocomien	Calcaires à Dasycladacées rares Foraminifères et Gastéropodes.		133/2
M a l m	Dolomies avec intercalations de calcaire organogène-détritique à petits morceaux de jaspes et Codiacées, <i>Teutoporella</i> cf. <i>obsoleta</i> , <i>Conicospirillina</i> , <i>Apticilus</i> .	Calcaire à fossiles fort rares ( <i>Conicospirillina</i> et autres).	133/1 132
inférieur	La série des calcaires et jaspes à Céphalopodes, Radiolaires, etc. Dans la partie supérieure: calcaire tacheté à nombreux Ammonites et <i>Saccocoma</i> ; dans la partie la plus ancienne: calcaire à rares Miliolidés, calcaire à Globigérines et Radiolaires.	Dolomies.	130, 131
		Calcaire à Pfenderinidés, dolomie stérile.	129 127, 128
		Calcaire grumeleux, oolithique et dolomitique à fossiles fort rares. Dolomies.	
Lias	D o g g e r	Calcaire oolithique stérile, calcaires oolithiques variés à <i>Glomospira</i> et autres Foraminifères. Dolomies.	126 125
		Calcaire à <i>Lithiotis</i> , <i>Orbitopsella</i> , <i>Glomospira</i> , etc.	124 122, 123

Tableau № 10

## LA SÉRIE JURASSIQUE DES ENVIRONS DE ROVINJ

Âge	F a c i è s	Planche №
Néocomien	Calcaire à Tintinnines aberrantes, calcaire à <i>Salpingoporella annulata</i> , Coprolithes, rares Foraminifères, etc. Dolomie et calcaire dolomitique.	141 140/2
M a l m supérieur	Calcaires criptocristallins, calcaire grumeleux à <i>Clypeina jurassica</i> (dans la partie supérieure: niveau à Charophytes. Dolomies.	140/1 137 à 139 136/2
M a l m inférieur	Calcaire organogène-détritiques, subcristallins, à Hydrozoaires, autres macrofossiles, Coprolithes et nombreux Foraminifères (« <i>Endothyra</i> ») Pfenderinidés, Verneuilinidés, Textulariidés, <i>Pseudocyklamina</i> ).	136/1 135
	Calcaire organogène-détritique et autres à Trocholines, autres Foraminifères et <i>Bačinella</i> .	
	Calcaire à <i>Cladocoropsis mirabilis</i> , <i>Thaumatoporella parvovesiculifera</i> et Foraminifères.	
	Calcaire grumeleux, calcaires criptocristallins variés à Pfenderinidés, <i>Thaumatoporella parvovesiculifera</i> , Brachiopodes, etc.	134

Tableau № 11

## LA SÉRIE JURASSIQUE DES ENVIRONS DE SOŠICE (ŽUMBERAK)

Âge	F a c i è s	Planche №
Sénonien	La série clastique du Sénonien supérieur (brèche hétérogène avec débris de tous les calcaires jurassiques cités).	
M a l m	<p>Calcaire marneux et calcarénite à Calpionnelles.</p> <p>Calcaire à fins débris organogènes, calcaire à Radiolaires et Lamellibranches pélagiques.</p>	148
D o g g e r	<p>Calcaires à fossiles fort rares — Lamellibranches peu abondantes, Radiolaires, Echinodermes, etc. Calcaires oolithiques et pseudo-oolithiques. (Couches peu étudiées du point de vue paléontologique).</p> <p>Calcaire organogèno-détritique à Lagénidés, <i>Spirillina liassica</i>, débris d'Echinodermes, etc.</p>	147/2 147/1 145/2
L i a s	<p>Calcaire à <i>Lituosepta recoarensis</i>, calcaire oolithique-détritique.</p> <p>Calcaire microcristallin, cryptocristallin et oolithique (en majorité stérile).</p>	145/1 144 143 142
T r i a s supérieur	Dolomies et calcaires à Megalodontidés.	

## B I B L I O G R A P H I E

- A gip minera ria, 1959, Microfacie italiane (dal Carbonifero al Miocene medio). S. Donato Milanese.
- Anić D., 1962, Prilog poznavanju jure i krede istočnog dijela Biokova. Geološki vjesnik Instituta za geol. istraživanja u Zagrebu za 1961. godinu, sv. 15, br. 1. Zagreb.
- Aurouze G., Bellon J., Bizon J. J., Journel C., 1956, Sur la présence du genre Kilianina dans le bassin de Paris. Bull. Soc. Géol. France, ser. 6, T. 6. Paris.
- Aurouze G., Bizon J. J., 1958, Rapports et différences des deux genres de Foraminifères: Kilianina (Pfender) et Meyerdorffina n. gen. Rev. de Micropaléontologie, vol. 1, n. 2. Paris.
- Bešić Z., 1953, Gornja jura u oblasti Durmitora i Sinjajevine. Vesnik Zavoda za geol. i geof. istraživanja u Beogradu, tom. X. Beograd.
- Carozzi A., 1946, Sur quelques Desyycladacées du Purbeckien du Jura. C. R. Sc. Phys. Hist. nat., Genève, Vol. 63. Genève.
- Carozzi A., 1948, Étude stratigraphique et micrographique du Purbeckien du Jura suisse. Arch. sc. Genève, Vol. 1, fasc. 2. Genève.
- Carozzi A., 1955, Dasyycladacées du Jurassique supérieur du bassin de Genève. Ecl. Geol. Helv., Vol. 48, no 1. Basel.
- Cati F., 1959, Nuovo Lituolide nei calcari grigi liassici del Vincentino. Giorn. di Geol., ser. 2<sup>o</sup>. Vol. 27 (1956-57). Bologna.
- Catenaci E., De Castro P., Sgroppo I., 1963, Complessi-guida del mesozoico calcareo-dolomitico nella zona orientale del Massiccio del Matese. Mem. della Soc. Geol. Italiana, Vol. 4. Bologna.
- Colom G., 1947, Estudios sobre la sedimentación profunda de las Baleares desde el Lias superior al Cenomanense-Turonense. Madrid.
- Colom G., 1955, Jurassic-Cretaceous pelagic sediments of the Western-Mediterranean zone and the Atlantic area. Micropaleontology, vol. 1, n. 2. New York.
- Crescenti U., 1959, Sopra una nuova Macroporella (Alga calcarea), nel Malm dell'Italia meridionale. Giorn. di geol., ser. 2<sup>o</sup>, vol. 27 (1956-57). Bologna.
- Cuvillier J., Sacal V., 1951, Corrélations stratigraphiques par microfaciès en Aquitaine Occidentale. Third World Petr. Congr. Leiden.
- Cuvillier J., Dufaure Ph., 1963, Position stratigraphique de la zone à «Palaeodasyycladus» dans le Lias des Corbières des Pyrénées et du bassin d'Aquitaine en général. C. R. Acad. des Sciences, t. 257. Paris.
- Čanović M., 1959, Prilog mikropaleontoškom proučavanju sedimenata jure na graničnom terenu Crne Gore, Hercegovine i Dubrovačkog Primorja. Geol. glasnik Geološkog zavoda NRCG, knj. 3. Titograd.
- De Castro P., 1962, Il Giura-Lias dei Monti Mattari e dei rilievi ad ovest della valle dell'Irno e della Piana di Montoro. Boll. Soc. Nat. in Napoli, vol. 71. Napoli.
- De Castro P., 1962, Sulla presenza del Giura (Dogger e Malm) nei Monti Aurunci. Boll. Soc. Nat. in Napoli, vol. 71. Napoli.
- De Castro P., 1963, Kilianina Pfender et Orbitammina Berthelin (?) (Foraminifera) nella zona a Pfenderina (Batoniano) dell'Appennino meridionale. Boll. Soc. Nat. in Napoli, vol. 73. Napoli.
- Dufaure Ph., 1958, Contribution à l'étude stratigraphique et micropaléontologique du Jurassique et du Néocomien de l'Aquitaine à la Provence. Revue de Micropaléontologie, vol. 1, no. 2. Paris.
- Elliott G. F., 1955, Fossil calcareous algae from the Middle East. Micropaleontology, vol. 1, n. 2. New York.
- Elliott G. F., 1956, Further records of fossil calcareous algae from the Middle East. Micropaleontology, vol. 2, n. 4. New York.
- Elliott G. F., 1958, Fossil micropaleontological problems from the Middle East. Micropaleontology, vol. 4, n. 4. New York.

- Elliott G. F., 1960, Fossil calcareous algal floras of the Middle East with a note on a cretaceous problematicum *Hensonella cylindrica* gen. nov. et sp. nov. *Quat. Jour. Geol. Soc.*, vol. 115. London.
- Emberger J., 1955, Les Clépéines (Algues siphonées verticillées) des Monts des Ouled-Nâïl, Atlas saharien, Algérie. *Bul. Soc. Géol. France*, ser. 6, t. 5, Paris.
- Emberger J., 1957, Aperçu sur la répartition stratigraphique du genre *Clypeina* Michelin. *C. R. somm. Soc. Géol. France*, n. 3, Paris.
- Farinacci A., 1959, Le microbiofacies giurassiche dei Monti Martani (Umbria). *Ist. di Geol. e Paleont. Univ. Roma*, A-VIII, n. 41. Roma.
- Farinacci A., Sirna G., 1960, Livelli a Saccocoma nel Malm dell'Umbria e della Sicilia. *Boll. Soc. Geol. Ital.*, vol. 79, fasc. 1. Roma.
- Farinacci A., 1963, «L'Organismo C» Favre 1927 appartiene alle Teredinidae ?, *Geol. Romana*, Vol. II. Roma.
- Gignoux M., Moret L., 1920, Le genre *Orbitopsella* Mun. Chal. et ses relations avec *Orbitolina*. *Bull. Soc. Géol. France*, ser. 4, t. 20. Paris.
- Hagn H., 1955, Facies und Mikrofauna der Gesteine der Bayerischen Alpen. Brill, Leiden.
- Henson F. R. S., 1948, Larger imperforate Foraminifera of South-Western Asia. *Brit. Mus. (Nat. Hist.)*. London.
- Henson F. R. S., 1948, New Trochamminidae and Verneuilinidae from the Middle East. *Ann. Mag. Nat. Hist.*, ser. 11, vol. 14 (1947), n. 117, London.
- Herak M., Kochansky-Devidé V., 1959, Jurassic calcareous algae in some new localities in the Dinaric Mountains. *Bull. sc. Cons. Acad. Zagreb*, 4, no. 4. Zagreb.
- Herak M., 1960, Calcareous algae of the young Paleozoic and Mesozoic of Yugoslavia, and their application in the stratigraphy. Report of the Int. Geol. Cong., XXI S. Norden; Part VI — Pre-Quater. Microp. Copenhagen.
- Herak M., Bahun S., 1963, Prilog stratigrafskoj analizi naslaga u području Slunj-Komesarac-Rakovica (Hrvatska). *Geol. vjesnik Ins. za geol. istraž. u Zagrebu za 1962. g.*, sv. 16. Zagreb.
- Johnson J. H., 1954, An introduction to the study of rock building algae and algal limestones. *Quart. of the Colorado school of Mines*, vol. 49, n. 2. Colorado.
- Kochansky-Devidé V., 1958, Izmjena generacija vrste *Orbitopsella praecursor* u lijasu Plitvica. *Geol. vjesnik Ins. za geol. istraživanja u Zagrebu*, sv. 11 za god. 1957. Zagreb.
- Lefeld J., Radwanski A., 1960, Planktoniczne liliowce Saccocoma Agassiz w malmie i neokomie wierchowym Tatr Polskich. *Acta geol. Polonica*, vol. 10, n. 4. Warszawa.
- Maync W., 1959, On some larger arenaceous Foraminifera from the Liassic limestones section of Monte Baldo, east of Lago di Garda, Italy. *Riv. Ital. Pal. Strat.*, vol. 65, n. 4. Milano.
- Maync W., 1960, Morphology and occurrence of the foraminiferal genus *Orbitopsella*. *Riv. Ital. Pal. Strat.*, vol. 66, n. 4. Milano.
- Maync W., 1961, Note sur le genre *Orbitammina* (Foraminifère) et sa répartition stratigraphique. *Revue de Micropaléontologie*, vol. 4, n. 1. Paris.
- Misik M., 1959, »Lombardiová« mikrofacia — vedúci horizont v malme západných Karpát. *Geologicky sborník* 10, 1. Bratislava.
- Morellet J., 1950, Contribution à l'étude de *Clypeina jurassica* Favre d'après remarquables échantillons du Jurassique d'Algérie. *Bull. Soc. Géol. France*, ser. 5, 20, Paris.
- Oberhauser, R., 1964, Zur Kenntnis der Foraminiferengattungen *Permodiscus*, *Trocholina* und *Triasina* in der alpinen Trias und ihre Einordnung zu den Archaedisciden. Sonderabdruck aus den Verhandlungen Geol. B. A., Heft 2, Wien.
- Peck R. E., 1957, North American Mesozoic Charophyta. *Geol. Sur. Prof. Paper* 294 — A. Washington.

Petković K., Veselinović D., 1958, Développement biostratigraphique et répartition paléogeographique des faciès jurassiques sur le territoire de la Yougoslavie. Bull. t. 21 de l'Acad. ser. des sc., Classe math. et nat., n. 6. Beograd.

Pia J., 1920, Die Siphoneae verticillatae von Karbon bis zur Kreide. Abh. zool. botan. Gesel. Wien, 11, 2. Wien.

Pia J., 1924, Einige neue oder ungenügend bekannte Siphoneae verticillatae aus dem mitteleuropäischen Malm. Ann. d. Naturhist. Museums in Wien, Bd. 38. Wien.

Polšak A., Milan A., 1961, Naslage lijasa na području Bukovače kod Bijelog polja u Lici. Geol. vjesnik Inst. za geol. i str. u Zagrebu, sv. 14 za 1960. g. Zagreb.

Polšak A., Milan A., 1962, Facijelni i tektonski odnosi sjeveroistočnog područja Like. V savjetovanje geologa Jugoslavije. Beograd.

Praturlon A., 1964, Calcareous algae from jurassic-cretaceous limestone of central Apennins (Southern Latium-Abruzzi). Geologica Romana, vol. 8. Roma.

Radoičić R., 1956, Nove lokalnosti starije jure u sjeverozapadnoj Crnoj Gori. Geol. glasnik Zavoda za geol. istraživanja NRCG, knj. 1. Cetinje.

Radoičić R., 1957, Nalazak krečnjačkih algi u sedimentima gornje jure okoline Lastve (Trebinje). Zapisnici SGD za 1957 i Geol. glasnik Zavoda za geol. istraživanja u Titogradu. Titograd.

Radoičić R., 1957, Nove lokalnosti sedimenata sa Clypeina jurassica Favre u Crnoj Gori. Vesnik Zavoda za geol. i geof. istraživanja u Beogradu, knj. XIII. Beograd.

Radoičić R., 1957, Slojevi sa Cladocoropsis mirabilis Felix u oblasti Zetske Ravnice. Vesnik Zavoda za geol. i geof. istraživanja u Beogradu, t. XIII. Beograd.

Radoičić R., 1959, Rezultati mikropaleontološkog ispitivanja sedimenta okoline Bačinskog jezera. Geol. glasnik Zavoda za geol. i str. istraživanja NRCG, knj. 3. Titograd.

Radoičić R., 1959, Krupne tintinine Campbelliella nov. gen. i Daturrellina nov. gen. — preliminarna beleška. Vesnik Zavoda za geol. i geof. istraživanja. Beograd.

Radoičić R., 1961, Flišolika serija gornje jure u sjeverozapadnoj Crnoj Gori. Vesnik Zavoda za geol. i geof. istraživanja, knj. 19. Beograd.

Radoičić R., 1961, Bilješka o rasprostranjenju gornjojurskih facija u Crnoj Gori i Primorju. Zapisnici SGD za 1961. Beograd 1963.

Radoičić R., 1962, Bilješka o dogeru spoljašnjih Dinarida. Zapisnici SGD za 1962. Beograd.

Radoičić R., 1962, Gornja jura sjeverne Hercegovine. Zapisnici SGD za 1962. Beograd.

Radoičić R., 1962, Hadžiella zetae gen. nov. sp. nov. aberantnih tintinina. Zapisnici Srpskog geol. društva za 1962. g. Beograd.

Radoičić R., 1962, Paleokologija i biostratigrafija aberantnih tintinina Jugoslavije. Disertacija, Ljubljana 1962.

Radoičić R., 1963, Mikrofauna gornjolijaskih krečnjaka Crne Gore, Stare Raške i Rožaja. Vesnik Zavoda za geol. i geof. istraživanja u Beogradu, knj. 20. Beograd.

Radoičić R., 1963, O jednoj novoj gornjojurskoj dazikladacei Pianella grudii gen. nov., spec. nov. Vesnik Zavoda za geol. i geof. istraživanja u Beogradu, knj. 20. Beograd.

Radoičić R., 1964, Mikropaleontološke odlike i stratigrafska korelacija nekih jurskih stubova spoljašnjih Dinarida. Referat na Simpoziju za naftu, maja 1963. u Herceg Novom. Nafta, br. 10.

Radoičić R., 1964, Teutloporella gallaeformis spec. nov. iz jure spoljašnjih Dinarida. Geološki glasnik Zavoda za geol. i str. istraživanja u Titogradu, knj. IV (u štampi).

Raffi G., Forti A., 1959, Micropaleontological and stratigraphical investigations in «Montagna del Morone» (Abruzzi — Italy). Revue de Micropaléontologie, vol. 2, n. 1. Paris.

Remane J., 1958, Quelques observations sur la passage des faciès subalpins à la limite jurassique-crétacé dans les environs de Grenoble. Trav. du Lab. Géol., Fac. Sc. Univ. Grenoble, t. 34, Grenoble.

Remane J., 1964, Révision paléontologique de *Tintinnopsis oblonga* (C a d.) et des espèces avoisinantes (Note préliminaire). Revue de Micropaléontologie, vol. 7, n. 1. Paris.

Rutgers A. Th. C., 1942, Geologie und Paleontologie des südöstliche en Teiles des Biokovo und seines Hinterlandes (Dalmatien). Geogr. en Geol. Mededeelingen, ser. 2, n. 4, Utrecht.

Sartoni S., Crescenti U., 1959, La Zona a *Palaeodasycladus mediterraneus* (Pia) nel Lias dell'Appennino meridionale. Giorn. di Geol., ser. 2, vol. 27 (1956-57). Bologna.

Sartoni S., Crescenti U., 1962, Ricerche biostratigrafiche nel mesozoico dell'Appennino meridionale. Giorn. di Geol., ser. 2, vol. 29 (1960-61). Bologna.

Sigal J., 1952, Ordre des Foraminifera in: Pivetau: Traité de Paléontologie, vol. 1. Paris.

Smount A. H., Sugden W., 1962, New information on the foraminiferal genus *Pfenderina*. Paleontology, vo. 4, n. 4. London.

Sirna G., 1962, Stratigrafie e microfacies dei lembi mesozoici della valle di Galati Mamertino (Sicilia nord-orientale). Geologica Romana, vol. 1. Roma.

Yabe H., Toyama S., 1949, New Dasycladaceae from the Jurassic Torinosu Limestone of the Sakawa Basin II. — Proceed. of the Japon Acad., vol. 25, 7.

Weynschenk R., 1951, Two new Foraminifera from the Dogger and Upper Triassic of Sonnwend Mountains of Tyrol. Jour. Pal. vol. 25, n. 6. Tulsa.

Weynschenk R., 1956, Some rare Jurassic index Foraminifera. Micropaleontology, vol. 2, n. 3. New York.

### **LISTE DES PLANCHES**

La série jurassique des versants nord de la montagne Rumija . . . . .	I—XVIII
La série jurassique de la bordure ouest de la Zetska ravnica et du district vers l'Ancien Monténégro . . . . .	XIX—XLI
La série jurassique de la bordure nord de la Zetska ravnica — district de Dečić et de Cijevna . . . . .	XLII—LV
La série jurassique de la montagne Vojnik . . . . .	LVI—LXXXII
La série jurassique de Kosanica et de Kraljeva gora . . . . .	LXXXIII—LXXXIX
La série jurassique des environs de Plevlja — Dinarides internes . . . . .	LXXX—LXXXVIII
La série jurassique de l'Herzégovine du sud — district entre Dubrovačko primorje et Trebinje—Popovo polje .	LXXXIX—CIX
La série jurassique de la région Mosor—Biokovo—Baćine	CX—CXXI
La série jurassique de Lemeš et de ses environs . . . . .	CXXII—CXXXIII
La série jurassique des environs de Rovinj . . . . .	CXXXIV—CXLI
La série jurassique des environs de Sošice (Žumberak) .	CXLII—CXLVIII
Les autres microfaciès jurassiques . . . . .	CXLIX—CLXV

## 1. Foraminifera

## EXTENSION STRATIGRAPHIQUE DES FOSSILS JURASSIQUES DES DINARIDES EXTERNES DE LA YUGOSLAVIE

	L I A S	D O G G E R	M A L M	N É O C O M I E N
			INFÉRIEUR   SUPERIEUR	VALANGINIEN   HAUTERIVIEN
<i>Permodiscus sinuosus</i> (Weynschenk)	—			
<i>Triassina hantkeni</i> Majzon	—			
<i>Vidalina martana</i> Farinacci	—	—		
<i>Tetrataxis conica</i> Ehremberg	—	—		
<i>Glomospira</i> spp.	—	—		
<i>Lagenidae</i>	—	—	—	
<i>Spirillina liassica</i> (Jones)	—	—		
<i>Spirillina</i> spp.	—	—	—	—
<i>Trocholina cf. conica</i> (Schlumb.)	—	—		
<i>Trocholina</i> sp. nov.	—			
<i>Haurania amiji</i> Henson	—			
<i>Orbitopsella precursor</i> (Gümbel)	—			
<i>Lituosepta recoarensis</i> Cat i	—	—		
<i>Ophtalmidium cf. macfadyeni</i> Wood & Barr.	—	—		
<i>Pseudocyclammina</i> spp.	—	—	—	
" <i>Trochaminidae</i> "	—	—	—	
" <i>Textulariidae</i> "	—	—	—	
" <i>Verneuilinidae</i> "	—	—	—	
<i>Dictyoconus cayeuxi</i> Lucas	—			
<i>Globigerina helveto-jurassica</i> Haeu ss	—	—	—	
<i>Endothyra</i> sp.	—	—		
<i>Trocholina alpina</i> (Leup.)	—	—	—	
<i>Trocholina elongata</i> (Leup.)	—	—	—	
<i>Trocholina</i> spp.	—			
<i>Protopeneroplis striata</i> Weynschenk	—	—	—	
<i>Pfenderina salernitana</i> Sart. & Cresc.	—	—	—	
<i>Pfenderina trochoidea</i> Smout & Sug.	—	—	—	
<i>Meyendorffina bathonica</i> Aur. & Bizon	—	—	—	
<i>Pseudocyclammina lituus</i> (Yokoyama)	—	—	—	
<i>Kurnubia palastiniensis</i> Henson	—	—	—	
<i>Kurnubia wellingsi</i> (Henson)	—	—	—	
<i>Nautiloculina cf. oolithica</i> Mohler	—	—	—	
<i>Conicospirilina basiliensis</i> Mohler	—	—	—	
<i>Labyrinthina mirabilis</i> Weynschenk	—	—	—	
<i>Bullopora</i> spp.	—	—	—	
" <i>Lituonella</i> " sp.	—	—	—	

— espèce abondante  
— espèce rare  
- - - espèce présente

2. Algae, Microproblematica, Tintinnina, etc. EXTENSION STRATIGRAPHIQUE DES FOSSILS JURASSIQUES DES DINARIDES EXTERNAES DE LA YUGOSLAVIE

	L I A S	D O G G E R	M A L M	N É O C O M I E N
			INFÉRIEUR	SUPÉRIEUR
<i>Thaumatoporella parvovesiculifera</i> (R a i n.)				
<i>Sestrosphaera liasina</i> P i a	—			
<i>Palaeodasycladus mediterraneus</i> P i a	—	—		
<i>Selliporella donzellii</i> S a r t. & C r e s c.		—		
<i>Dazikladacea</i> D4		—		
<i>Dazikladacea</i> D25		—		
" <i>Macroporella</i> " <i>sellii</i> C r e s c e n t i			—	
<i>Petrascula bursiformis</i> E t t a l o n			—	
<i>Clypeina</i> spp.			—	
<i>Clypeina jurassica</i> F a v r e			—	
<i>Salpingoporella annulata</i> C a r o z z i			—	
Charophyta			—	
<i>Pianella grudii</i> R a d o i ċ i ċ			—	
<i>Pianella pigmaea</i> P i a			—	
<i>Pianella gigantea</i> C a r o z z i			—	
<i>Teutloporella obsoleta</i> C a r o z z i			—	
Cyanophyta			—	
Codiaceae: <i>Cayeuxia</i> , etc.			—	
Codiaceae Cl			—	
Boueina-Halimeda		—	—	
<i>Baćinella irregularis</i> R a d o i ċ i ċ			—	
<i>Pseudocodium convolvens</i> P r a t u r l o n			—	
Microproblematica Pr			—	
Microproblematica Pr			—	
Bryozoaire (?) - Bl			—	
<i>Aeolisaccus</i> spp.			—	
<i>Prethocoprolithus centipetalus</i> E l l i o t			—	
<i>Favreina salevensis</i> (P a r é j a s)	—	—	—	—
<i>Cladocoropsis mirabilis</i> F e l i x			—	—
<i>Ellipsactinia</i> spp.			—	
Annelides			—	
<i>Saccocoma</i> A g a s i z			—	
<i>Globochaete alpina</i> L o m b a r d			—	
<i>Calpionella alpina</i> L o r e n z			—	
<i>Calpionella elliptica</i> C a d i s c h			—	
Tintinnines aberrantes			—	
				— espèce abondante
				— espèce rare
				- - - espèce présente

**LA SÉRIE JURASSIQUE DES VERSANTS NORD DE LA MONTAGNE RUMIJA**

(Tableau № 1)

Planches: I à XVIII

## PLANCHE I

Fig. 1 et 2

Calcaire grumeleux, en partie subcristallin, à *Palaeodasycladus mediterraneus* Pia ( $\times 17$ ). Pl. mince 3069—60. Dans l'association: petits Foraminifères peu abondants

Montagne Rumija, versants nord, Krajina de l'Ouest

LIAS INFÉRIEUR

Les calcaires à *Palaeodasycladus* sont souvent tachetés quoique ce ne soit pas ici le cas. Ces taches grandes de 0,5 à 1,5 mm sont de fait les Cyanophytes dont le noyau renferme d'ordinaire des *Palaeodasycladus*. Dans ces cas ils sont tellement mal préservés («dissolus») que leur construction à peine s'aperçoit dans la lame mince

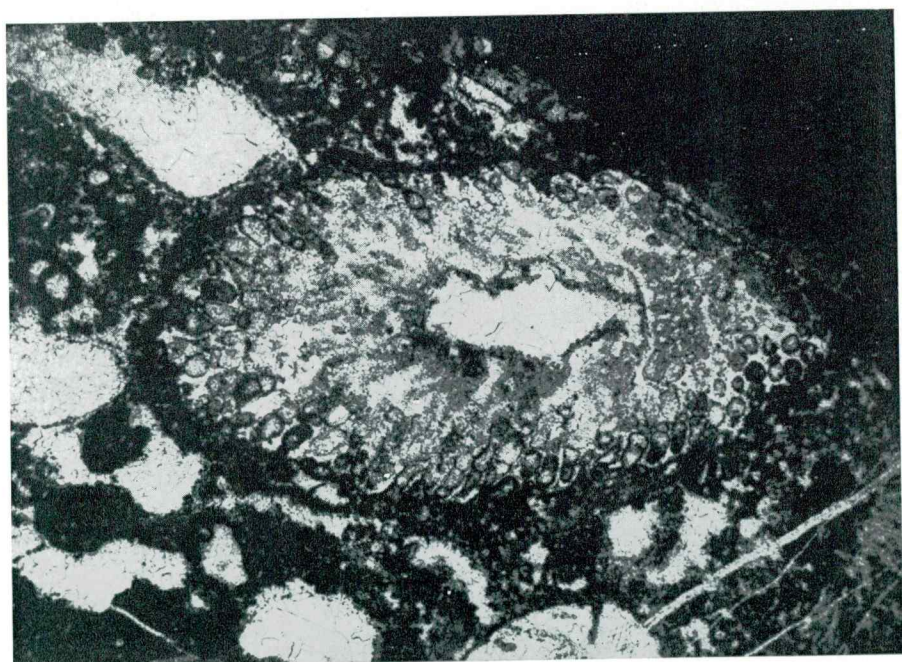
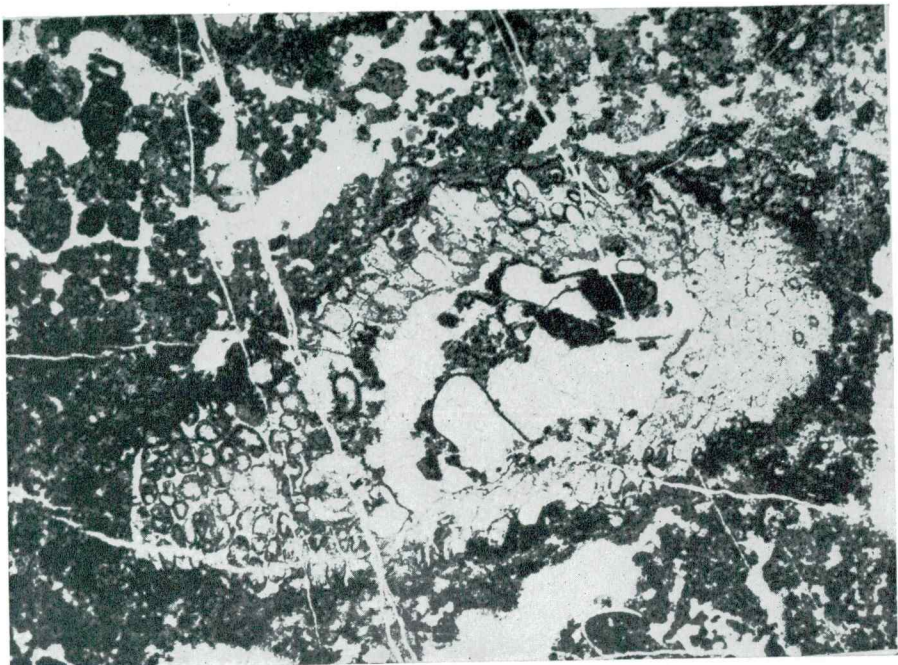


PLANCHE II

Fig. 1

Calcaire à *Frondicularia* sp. et Radiolaires ( $\times 37,5$ ). Pl. mince 3070-60  
Versants nords de la montagne Rumija, Krajina de l'est  
LIAS INFÉRIEUR-MOYEN (série des calcaires et jaspes)

Fig. 2

Calcaire légèrement marneux à *Frondicularia* sp. ( $\times 37,5$ ). Pl. mince 3071-60  
Versants nords de la montagne Rumija, Krajina de l'est  
LIAS INFÉRIEUR-MOYEN (série des calcaires et jaspes)

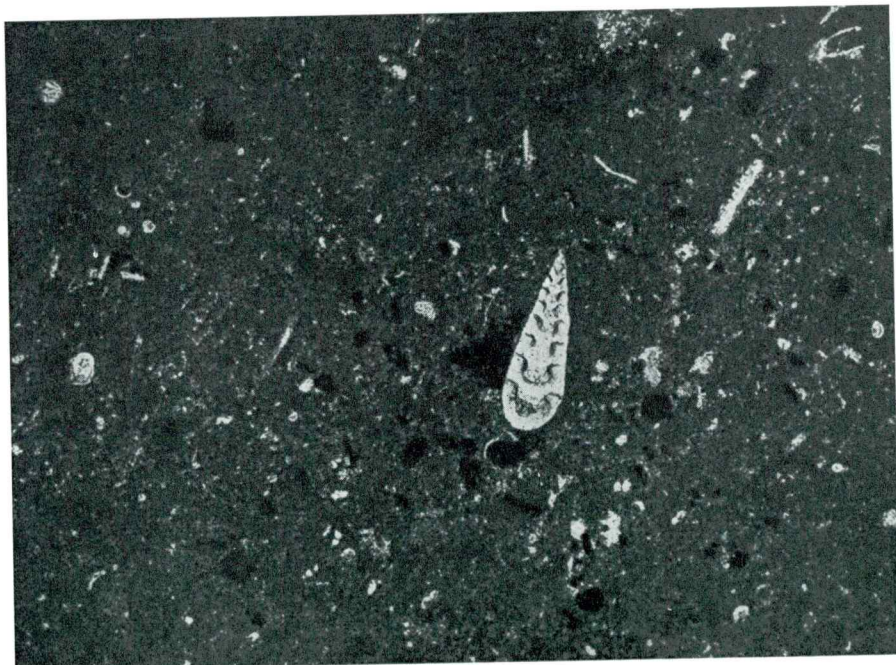
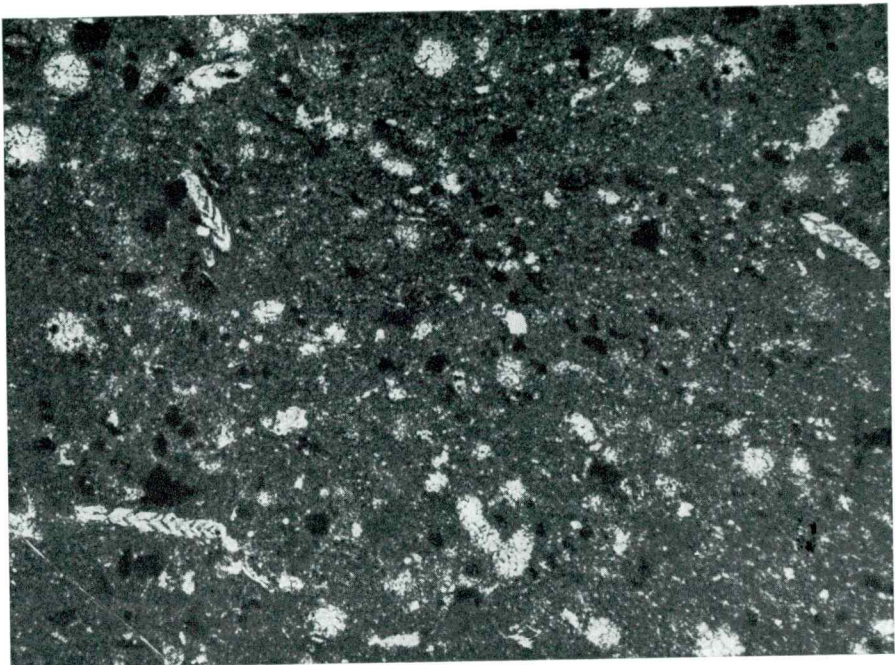


PLANCHE III

Fig. 1 et 2

Calcaire grumeleux à *Orbitopsella*, petits Foraminifères, *Thaumatoporella* et fins débris organogènes ( $\times 27,5$ ). Pl. mince 3072-60  
Versants nords de la montagne Rumija, Krajina de l'ouest  
LIAS MOYEN

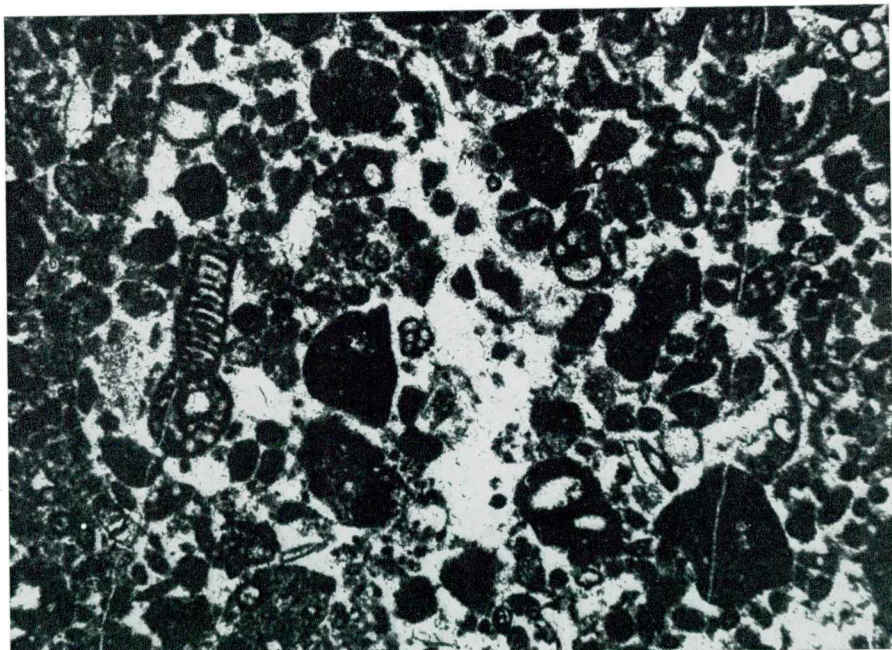
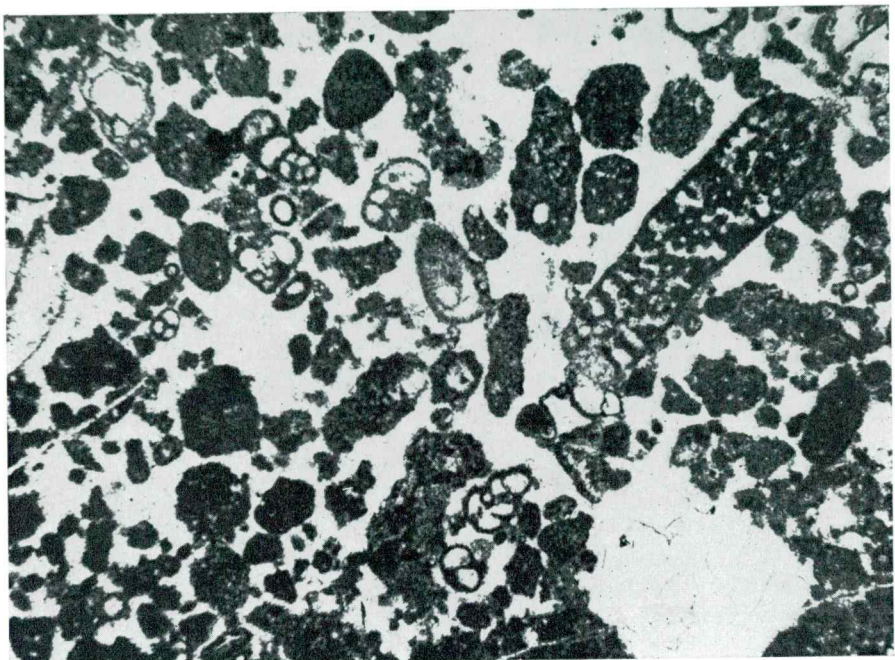


PLANCHE IV

Fig. 1

Calcaire oolithique à débris d'Echinodermes ( $\times 27$ ). Pl. mince 3074-60  
Versants nords de la montagne Rumija, Krajina de l'ouest  
LIAS SUPÉRIEUR

Fig. 2

Calcaire organogène-détritique à Lagénidés (*Cristellaria* sp. et autres), *Vidalina martana* Farinacci, Microgastéropodes et débris d'Echinodermes ( $\times 27,5$ ). Pl. mince 3077-60  
Versants nords de la montagne Rumija, Krajina de l'ouest  
LIAS SUPÉRIEUR (LIAS SUPÉRIEUR-DOGGER INFÉRIEUR)

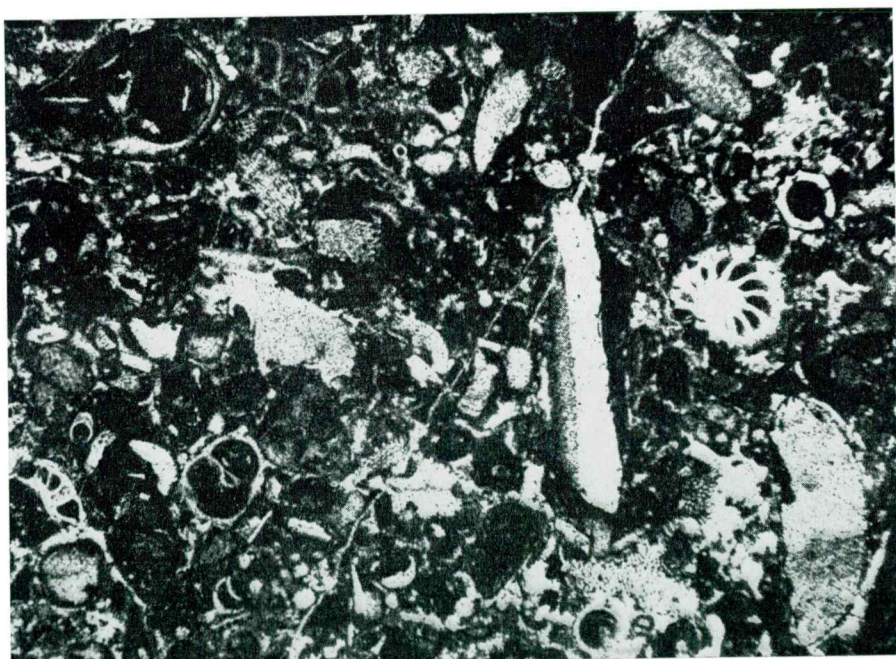
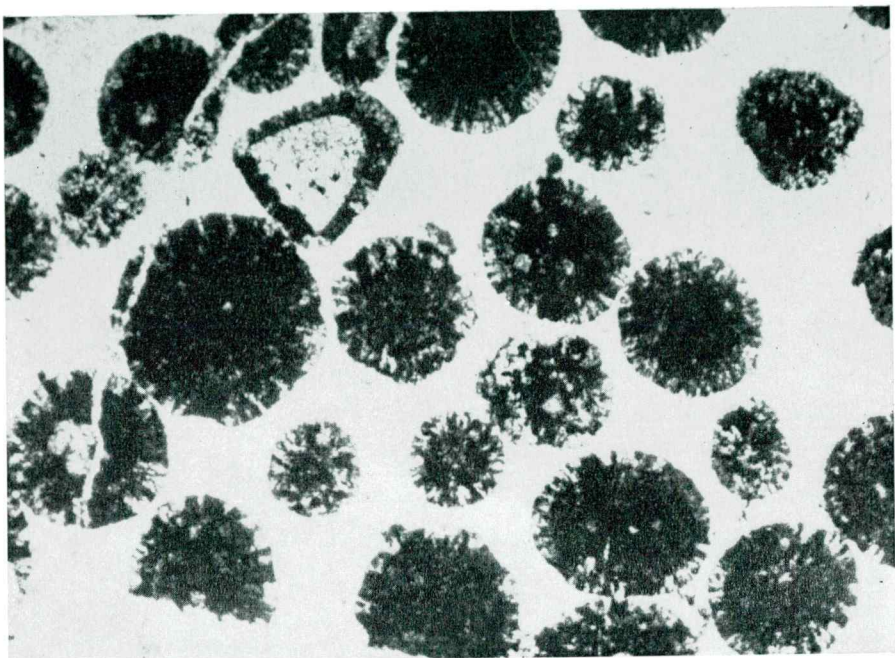


PLANCHE V

Fig. 1

Calcaire microgrumeleux à *Ophthalmidium* sp. et fins débris organogènes ( $\times 27,5$ ). Pl. mince 3077-60; le même plaque mince: pl. IV, fig. 2  
Versants nords de la montagne Rumija, Krajina de l'ouest  
LIAS SUPÉRIEUR (ou LIAS SUPÉRIEUR-DOGGER INFÉRIEUR)

Fig. 2

Calcaire grumeleux, organogène-détritique, à Trocholines, Lituolidés et autres Foraminifères ( $\times 35$ ). Pl. mince 03460  
Versants nords de la montagne Rumija, Krajina de l'ouest  
DOGGER INFÉRIEUR

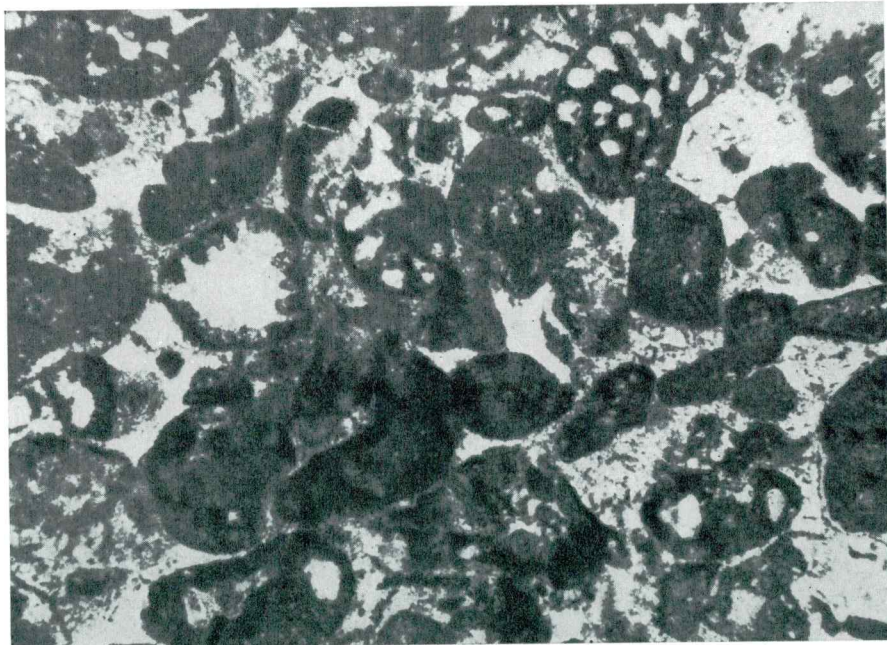
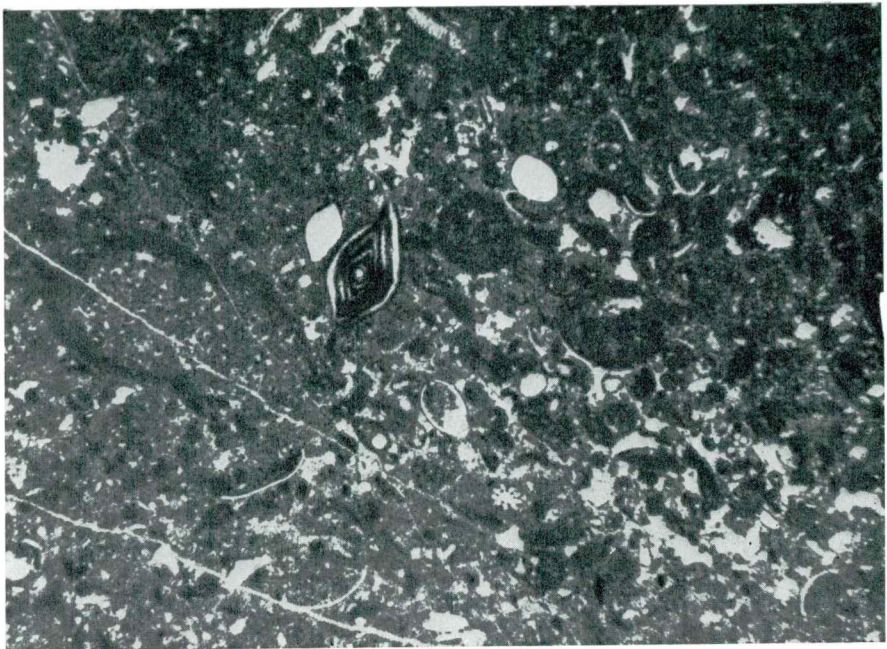


PLANCHE VI

Fig. 1

Calcaire à Codiacées et rares Foraminifères ( $\times 17,5$ ). Pl. mince 3078-60  
Versants nords de la montagne Rumija, Krajina de l'ouest  
DOGGER

Fig. 2

Calcaire oolithique à débris de Dasycladacée *Selliporella donzellii* Sartoni & Crescenti ( $\times 30$ ). Pl. mince 3079-60. Dans l'association: *Trocholina*, *Endothyra* et autres Foraminifères  
Versants nords de la montagne Rumija, Krajina de l'ouest  
DOGGER SUPÉRIEUR

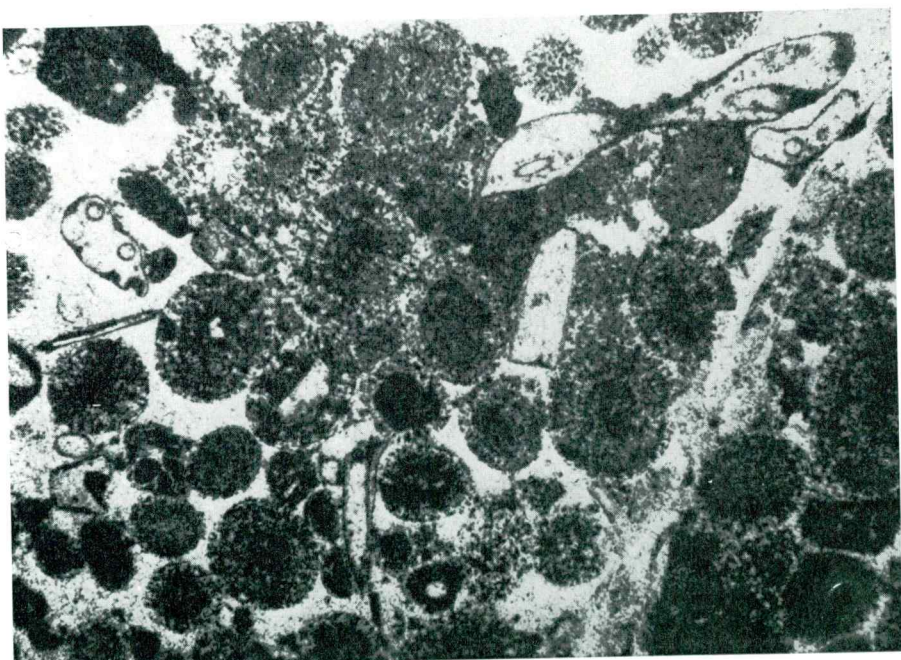
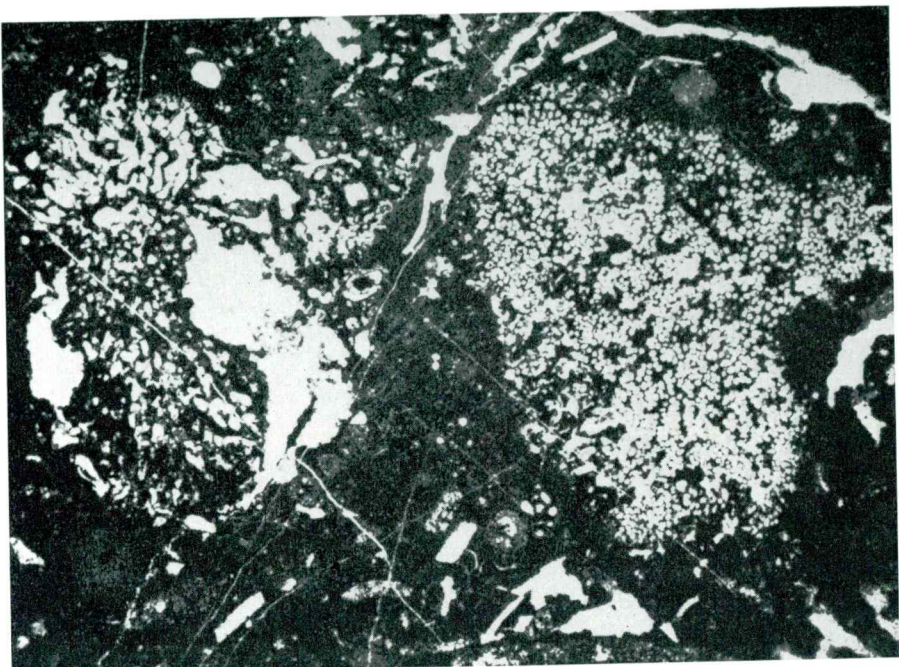


PLANCHE VII

Fig. 1

Calcaire oolithique à *Protopeneroplis striata* Weynschenk et Trocholines ( $\times 40$ ).  
Pl. mince 3083-60

Versants nords de la montagne Rumija, Krajina de l'ouest  
DOGGER SUPÉRIEUR

Fig. 2

Calcaire à Nerinéidés ( $\times 15$ ). Pl. mince 3084-60  
Versants nords de la montagne Rumija, Krajina de l'ouest  
DOGGER SUPÉRIEUR — MALM INFÉRIEUR

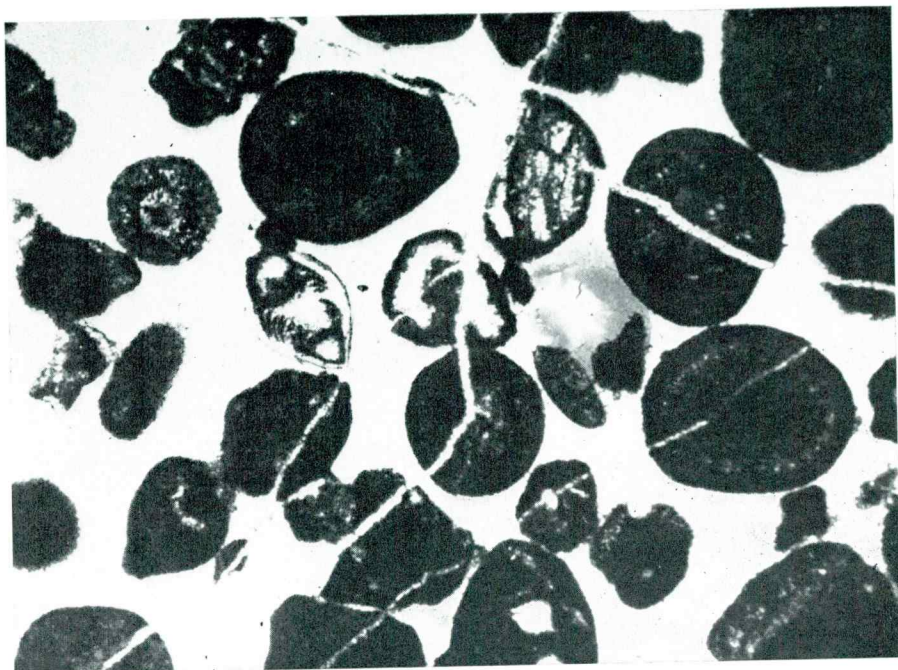


PLANCHE VIII

Fig. 1

Calcaire à *Thaumatoporella parvovesiculifera* (Rain.) ( $\times 27,5$ ). Pl. mince 3085-60.  
Dans l'association: *Bacinella*, rares Trocholines et mal conservés et «dissolus»  
*Cladocorpsis*

Versants nords de la montagne Rumija, Krajina de l'ouest

MALM INFÉRIEUR (les couches les plus anciennes)

Fig. 2

Calcaire organogène-détritique à *Pseudocodium convolvens* Praturlon et petits  
Foraminifères ( $\times 27,5$ ). Pl. mince 3089-60. Dans l'association: *Bacinella irregularis* Radoičić et autres Codiacées, *Pseudocyvlammina*, Polypiers, Hydrozoaires et débris d'Echinodermes

Versants nords de la montagne Rumija, Krajina de l'ouest

MALM INFÉRIEUR (les couches les plus anciennes)

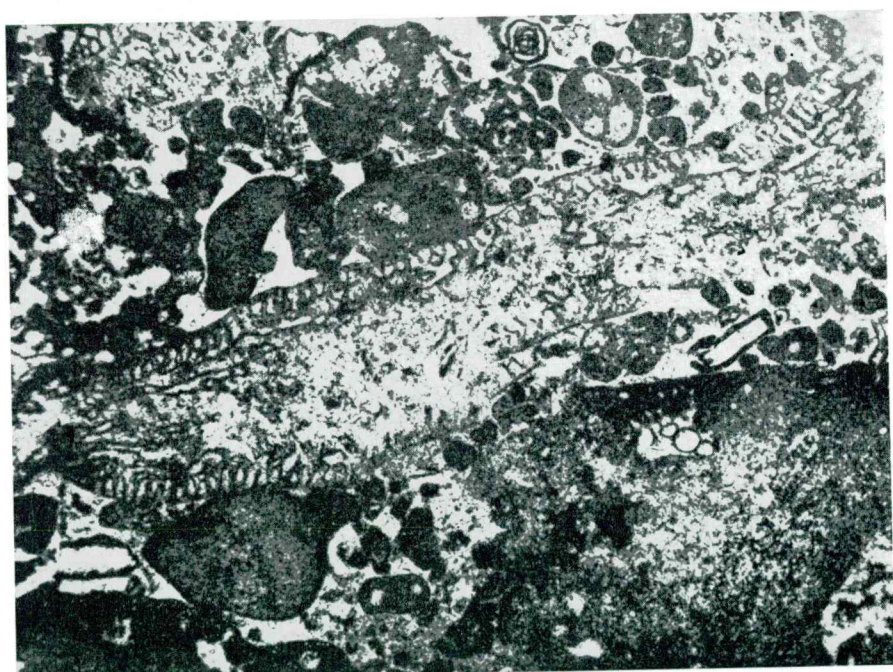
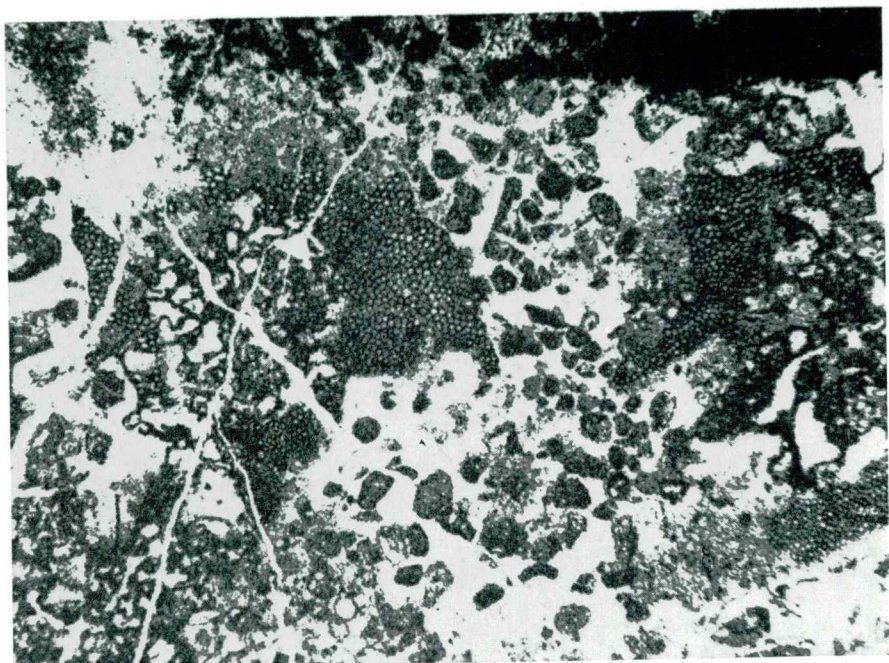


PLANCHE IX

Fig. 1

Calcaire pseudoolithique-détritique à Polypiers; Trocholines et autres Foraminifères ( $\times 17,5$ ). Pl. mince 3088-60. Dans l'association: *Protopeneroplis striata* Weynschenk, *Pseudocodium convolvens* Praturlon, etc.  
Versants nords de la montagne Rumija, Krajina de l'ouest  
MALM INFÉRIEUR (les couches les plus anciennes)

Fig. 2

Calcaire organogène-détritique à *Pseudocyclammina lituus* (Yokoyama), *Pseudocodium convolvens* Praturlon, etc. ( $\times 27,5$ ). Pl. mince 3090-60  
Versants nords de la montagne Rumija, Krajina de l'ouest  
MALM INFÉRIEUR (les couches les plus anciennes)

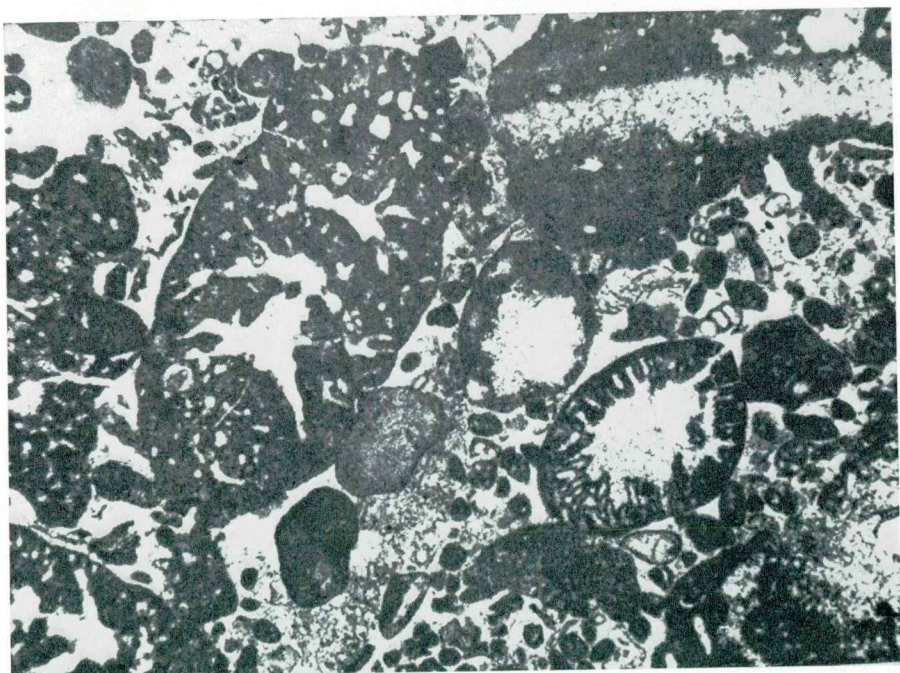
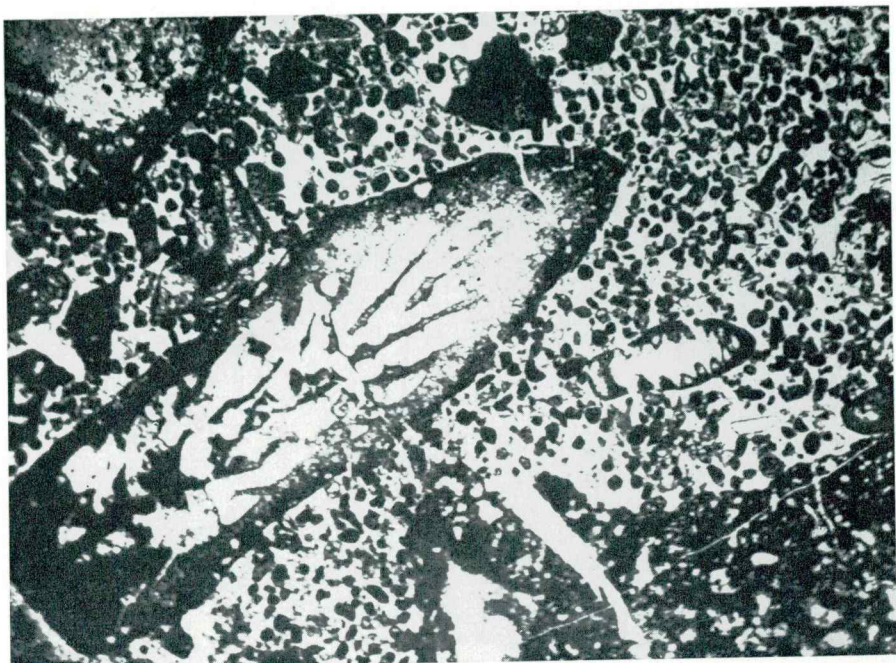


PLANCHE X

Fig. 1

Calcaire organogène-détritique à *Pseudocodium convolvens* Praturlon ( $\times 27,5$ ).  
Pl. mince 3090-60

Versants nords de la montagne Rumija, Krajina de l'ouest  
MALM INFÉRIEUR (les couches les plus anciennes)

Fig. 2

Calcaire à Foraminifères peu nombreux (Miliolidés et autres), débris de Mollusques, d'Echinodermes et d'Algues ( $\times 27,5$ ). Pl. mince 3092-60

Versants nords de la montagne Rumija, Krajina de l'ouest  
MALM INFÉRIEUR (probablement OXFORDIEN)

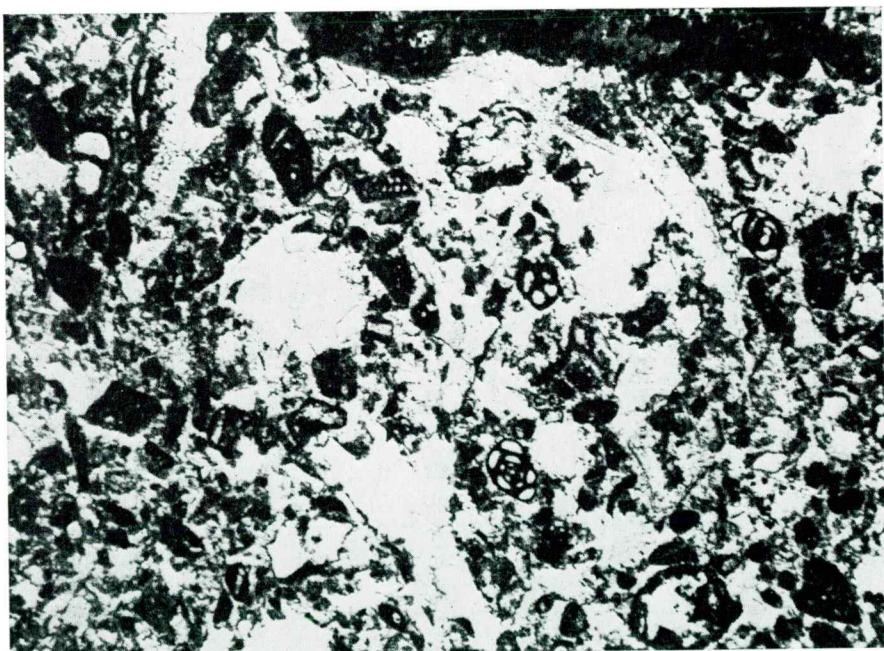
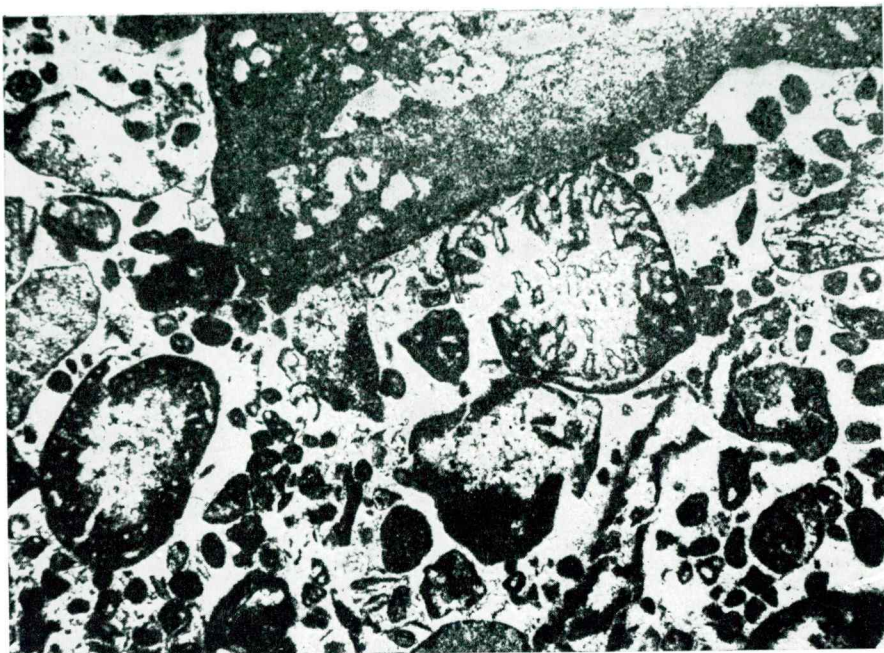


PLANCHE XI

Fig. 1 et 2

Calcaire légèrement marneux à Cyanophytes (*Girvanella* ?), ( $\times 17,5$ ). Pl. minces

2312 a et 2312 b-60

Versants nords de la montagne Rumija; Krajina, Murići

MALM (OXFORDIEN-KIMMÉRIDGIEN)

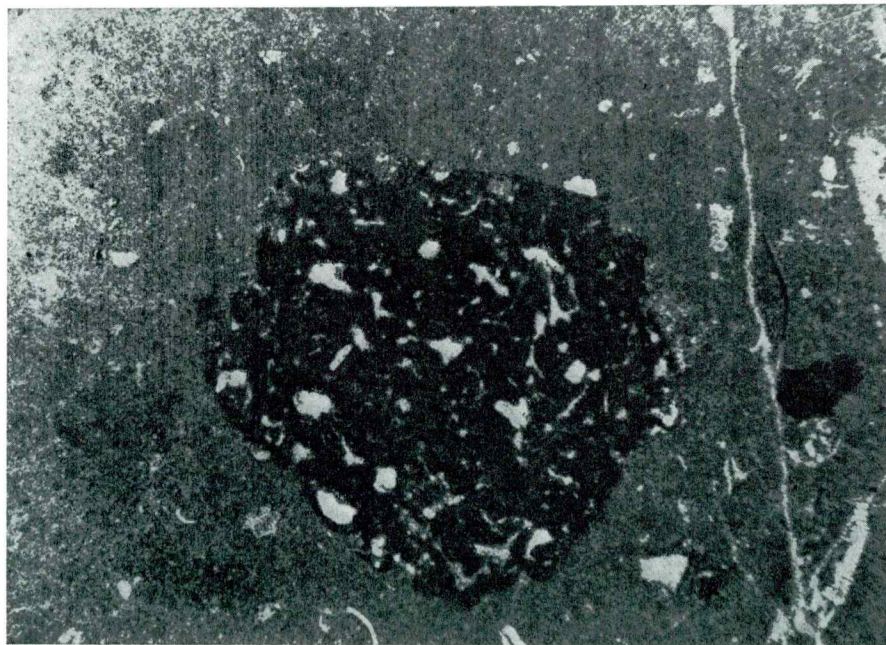
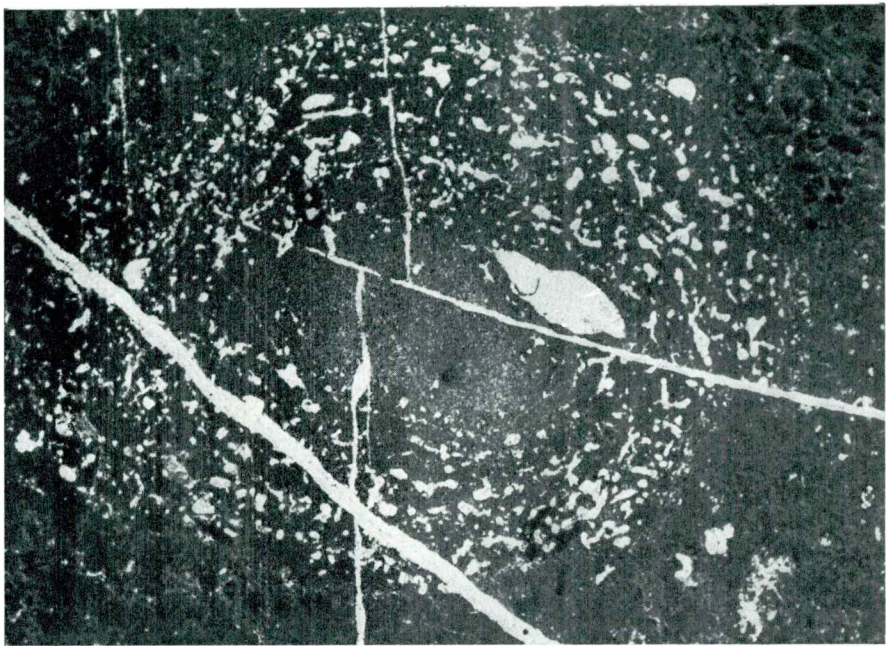


PLANCHE XII

Fig. 1 et 2

Calcaire fin microgrumeux à *Conicospirillina basiliensis* Möhler, *Pseudocyclammina* sp. et autres rares Foraminifères; *Prethocoprolithus centripetalus* Elliott, Cyanophytes, etc. ( $\times 27$ ). Pl. mince 2321-60  
Versants nords de la montagne Rumija, Krajina, environs de Murići  
MALM (KIMMÉRIDGIEN INFÉRIEUR)

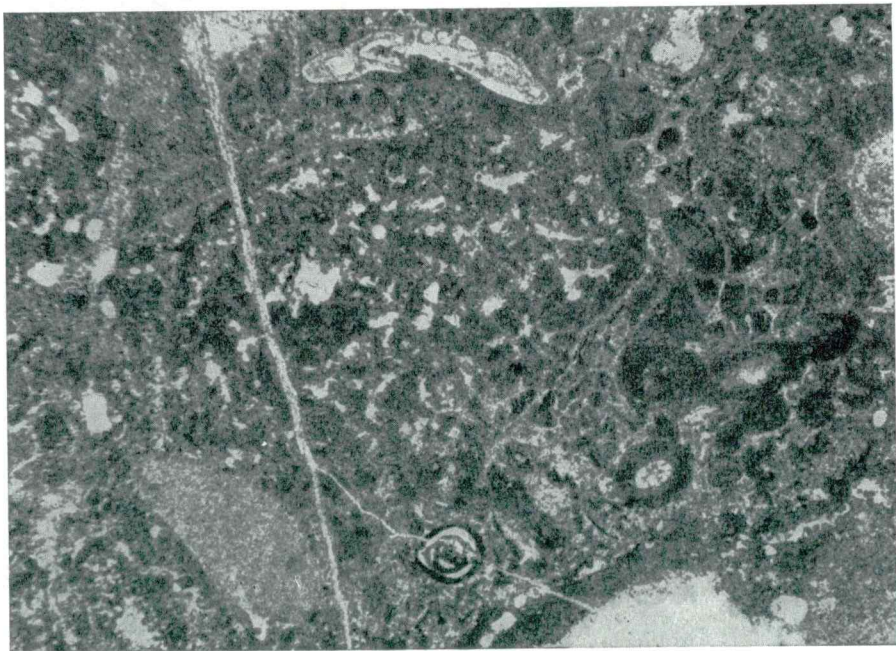
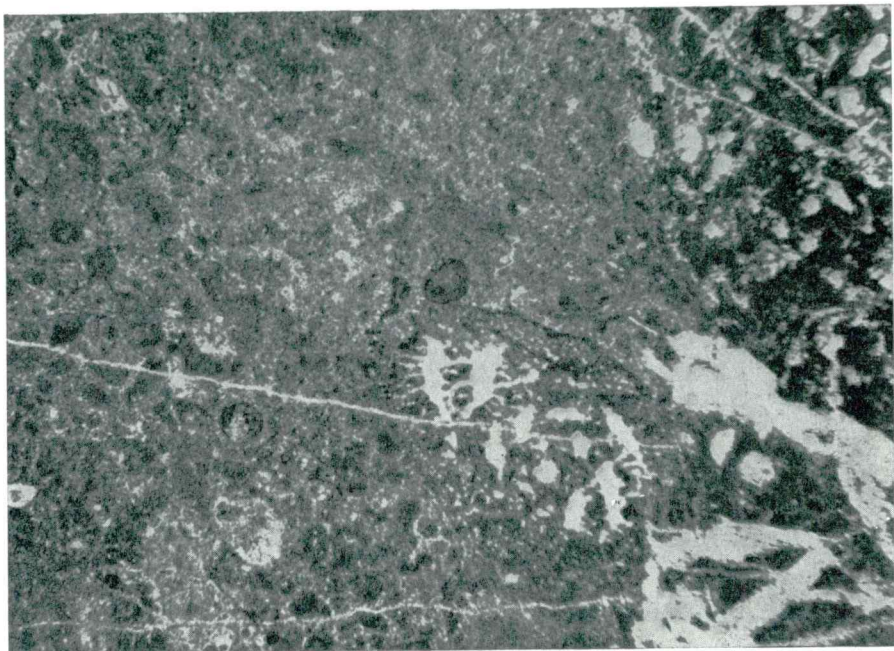


PLANCHE XIII

Fig. 1 et 2

Calcaire légèrement marneux à «*Lituonella*» et Cyanophytes ( $\times 27,5$  — fig. 1;  $\times 17,5$  — fig. 2). Pl. minces 2316 et 2315-60. Dans l'association: très rare *Clypeina jurassica* Favre, *Thaumatoporella parvovesiculifera* (Rain.) et Codiacées (= pl. XIV)

Versants nords de la montagne Rumija, Krajina, environs de Murići  
MALM SUPÉRIEUR (KIMMÉRIDGIEN SUPÉRIEUR)

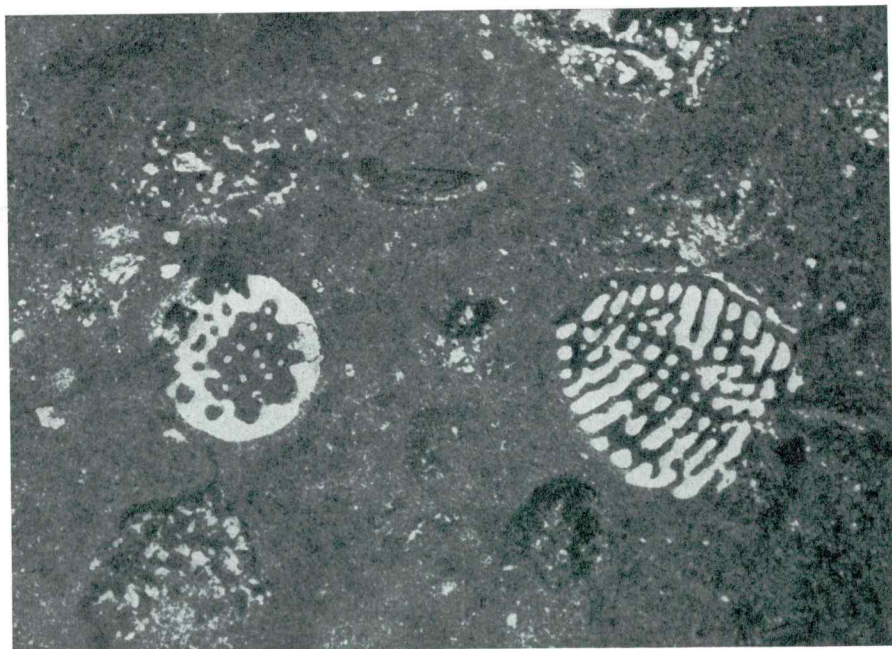


PLANCHE XIV

Fig. 1 et 2

Calcaire à *Thaumatoporella parvovesiculifera* (Rain.), Codiacées et «*Lituonella*»  
( $\times 27$ ). Pl. mince 2315-60

Versants nords de la montagne Rumija; Krajina, Murići

MALM SUPÉRIEUR (KIMMÉRIDGIEN SUPÉRIEUR)

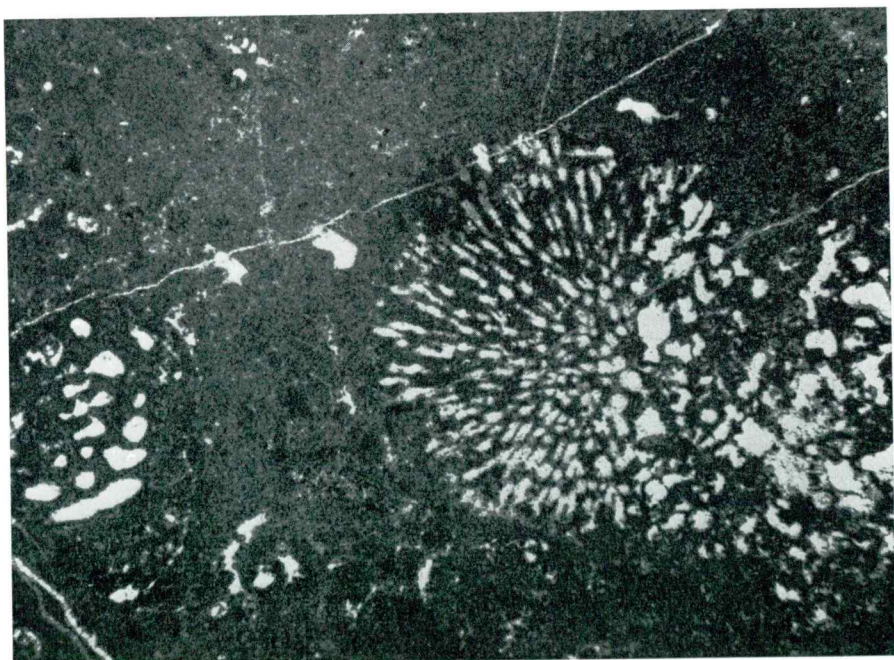
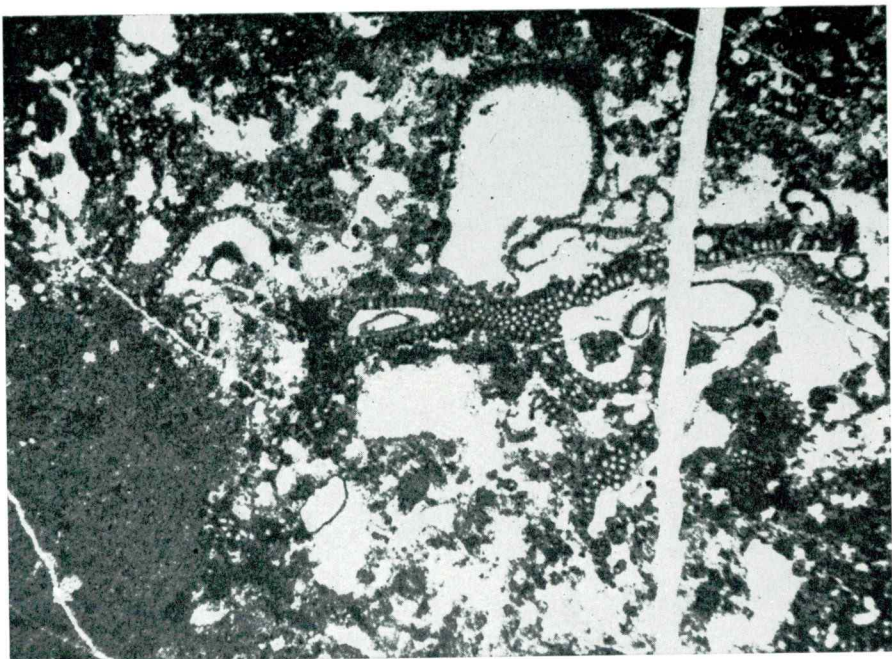


PLANCHE XV

Fig. 1

Calcaire à *Pseudocyclammina* cf. *lituus* (Yokoyama), ( $\times 27,5$ ). Pl. mince 2314-60.

Dans l'association: *Cladocoropsis mirabilis* Felix.

Versants nords de la montagne Rumija; Krajina, Murići

MALM SUPÉRIEUR (KIMMÉRIDGIEN SUPÉRIEUR)

Fig. 2

Calcaire à *Cladocoropsis mirabilis* Felix ( $\times 27$ ). Pl. mince 2314-60

Versants nords de la montagne Rumija; Krajina, Murići

MALM SUPÉRIEUR (KIMMÉRIDGIEN SUPÉRIEUR)

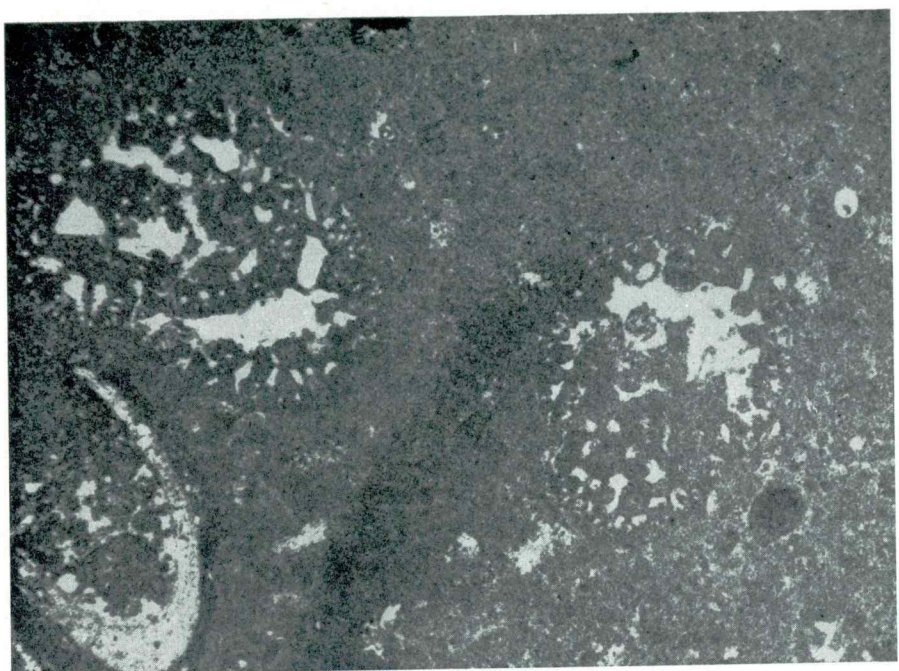


PLANCHE XVI

Fig. 1

Calcaire à *Clypeina jurassica* Favre ( $\times 27,5$ ). Pl. mince 2312-60. Dans l'association: Cyanophytes, Ostracodes et très rares petits Foraminifères  
Versants nords de la montagne Rumija; Krajina, Murići  
MALM SUPÉRIEUR (KIMMÉRIDGIEN SUPÉRIEUR-PORTLANDIEN)

Fig. 2

Calcaire à Charophytes ( $\times 27,5$ ). Pl. mince 2311-60. Dans l'association: Ostracodes  
Versants nords de la montagne Rumija; Krajina, Murići  
MALM SUPÉRIEUR (KIMMÉRIDGIEN SUPÉRIEUR-PORTLANDIEN)

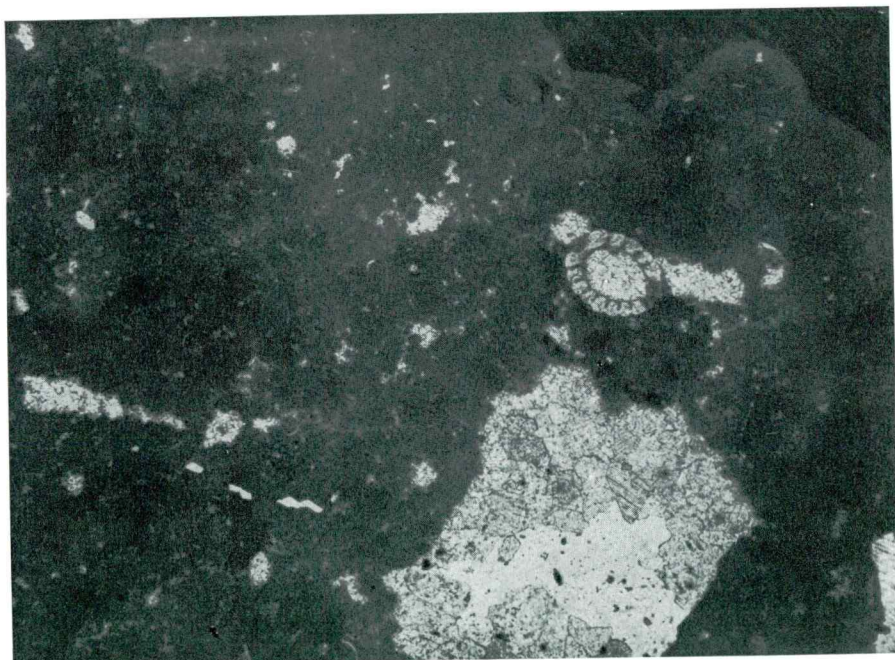


PLANCHE XVII

Fig. 1 et 2

Calcaire oolithique-détritique à *Nerinea* cf. *suessi* Peters\* et Codiacées ( $\times 15$ ).  
Pl. mince 2310-60

Versants nords de la montagne Rumija; Krajina, Murići  
MALM SUPÉRIEUR (PORTLANDIEN)

\* Détermination de Mme. O. Marković.

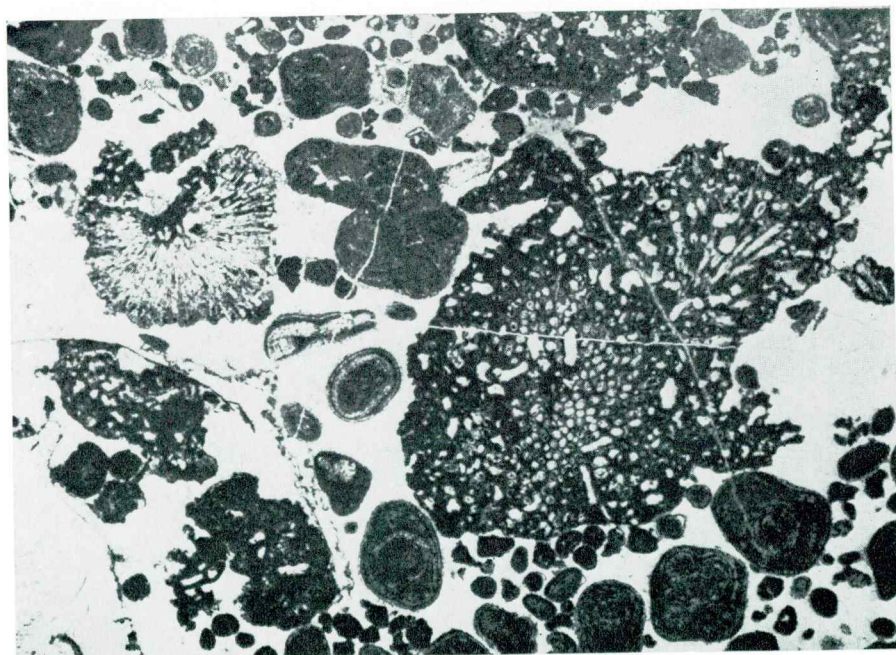
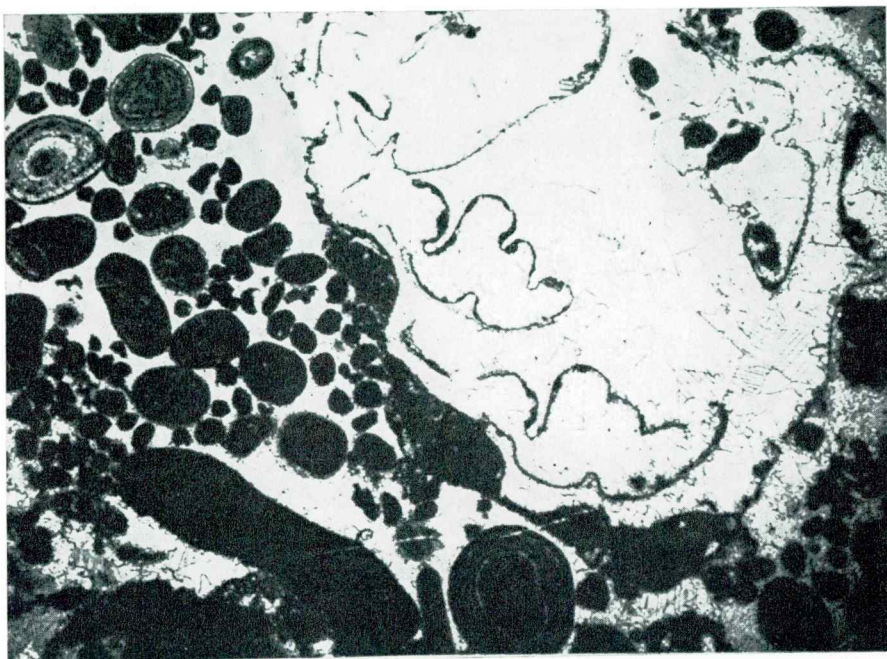


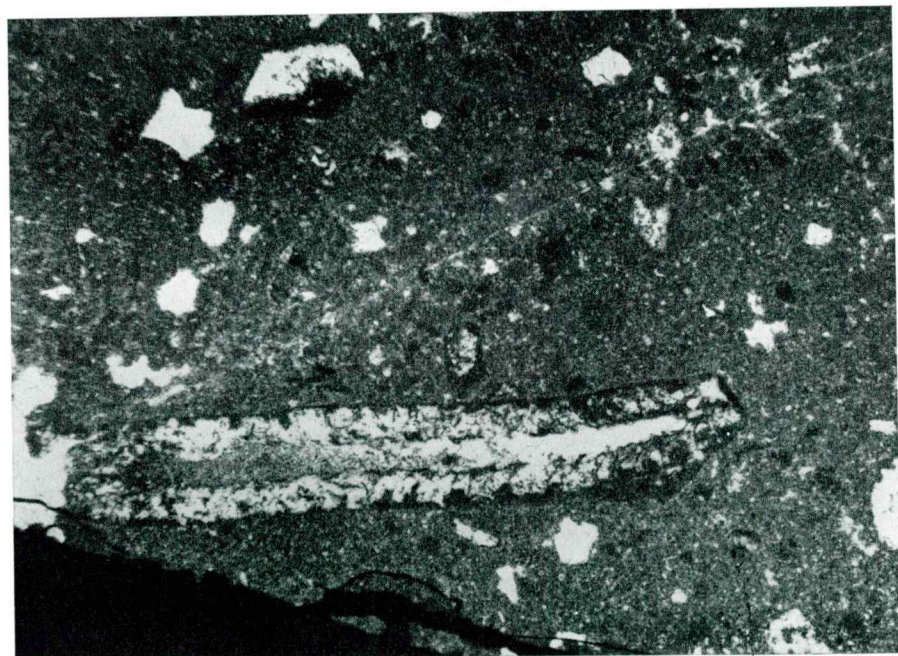
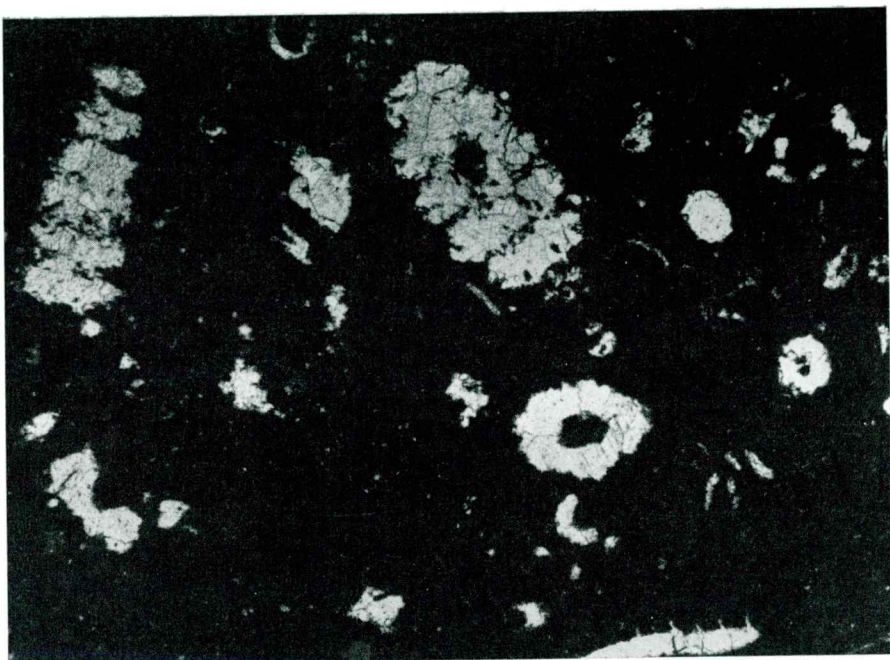
PLANCHE XVIII

Fig. 1 et 2

Calcaire légèrement marneux à *Salpingoporella annulata* Carozzi, une Dasy-cladacée inconnue (D27) et Mollusques ( $\times 27,5$ ). Pl. mince 2309-60. Dans l'association: *Clypeina jurassica* Favre, autres Dasycladacées, Kurnubia et rares Polypiers solitaires

Versants nords de la montagne Rumija; Krajina, Murići

MALM SUPÉRIEUR (PORTLANDIEN)





**LA SÉRIE JURASSIQUE DE LA BORDURE OUEST DE LA ZETSKA RAVNICA  
ET DU DISTRICT VERS L'ANCIEN MONTÉNÉGRO**

(Tableau № 2)

Planches: XIX à XLI

PLANCHE XIX

Fig. 1 et 2

Calcaire à *Palaeodasycladus mediterraneus* Pia et petits Foraminifères ( $\times 17$ ).

Pl. mince 1229-57

Odrinška gora (l'île dans le lac Skadarsko jezero)

LIAS INFÉRIEUR

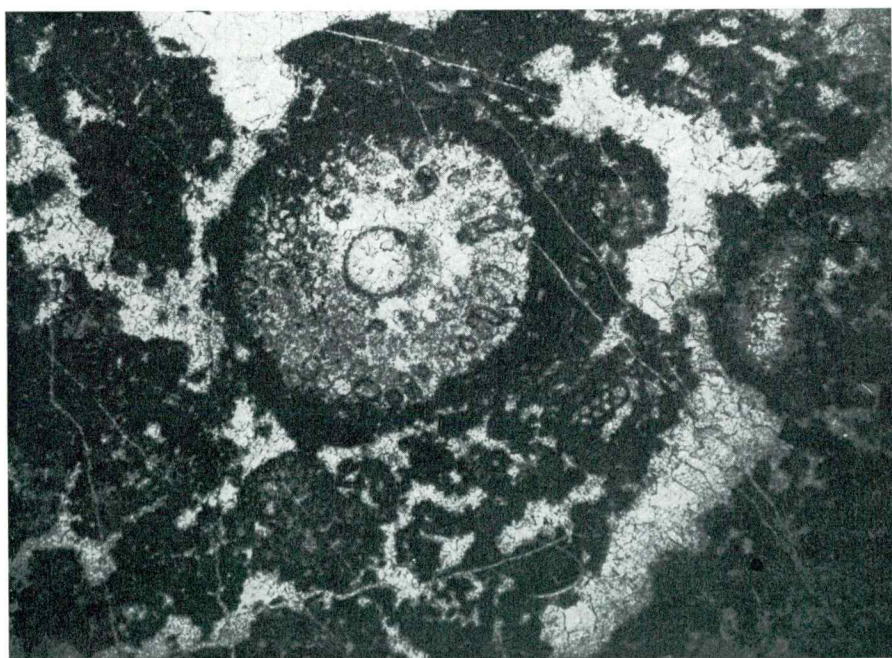
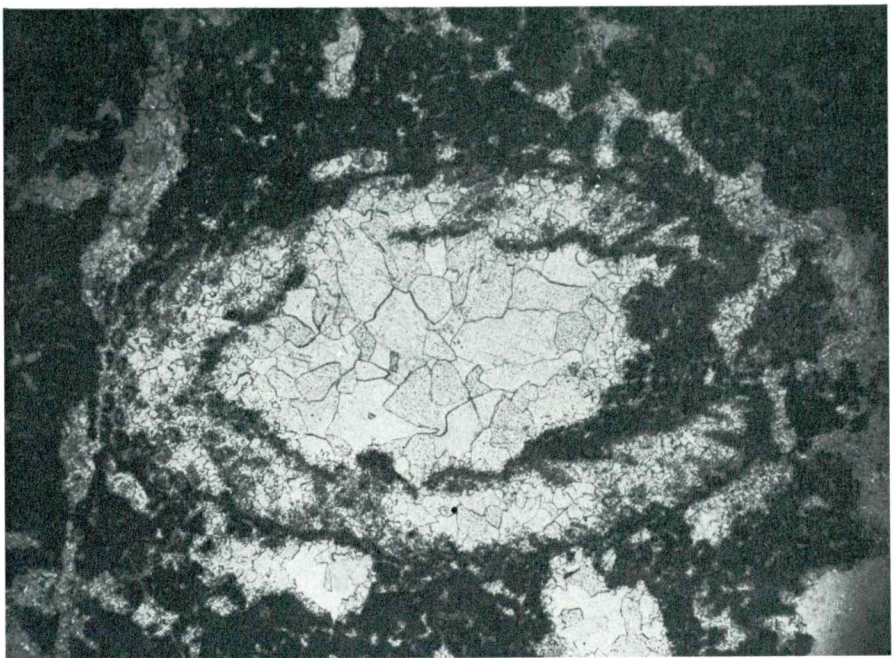


PLANCHE XX

Fig. 1 et 2

Calcaire microgrumeleux à *Orbitopsella praecursor* (Gümbel), ( $\times 17,5$ ). Pl. minces 1815 et 1816-60

Bordure ouest de la Zetska ravnica, Dodoši

LIAS MOYEN



PLANCHE XXI

Fig. 1 et 2

Calcaire légèrement marneux à «*Aeolisaccus*» (débris de Bryozoaires?), Bryozoaires et très transformées Dasycladacées-*Palaeodasycladus mediterraneus* Pia ( $\times 40$ ). Pl. mince 353-55

Bordure ouest de la Zetska ravnica, Dodoši

LIAS MOYEN

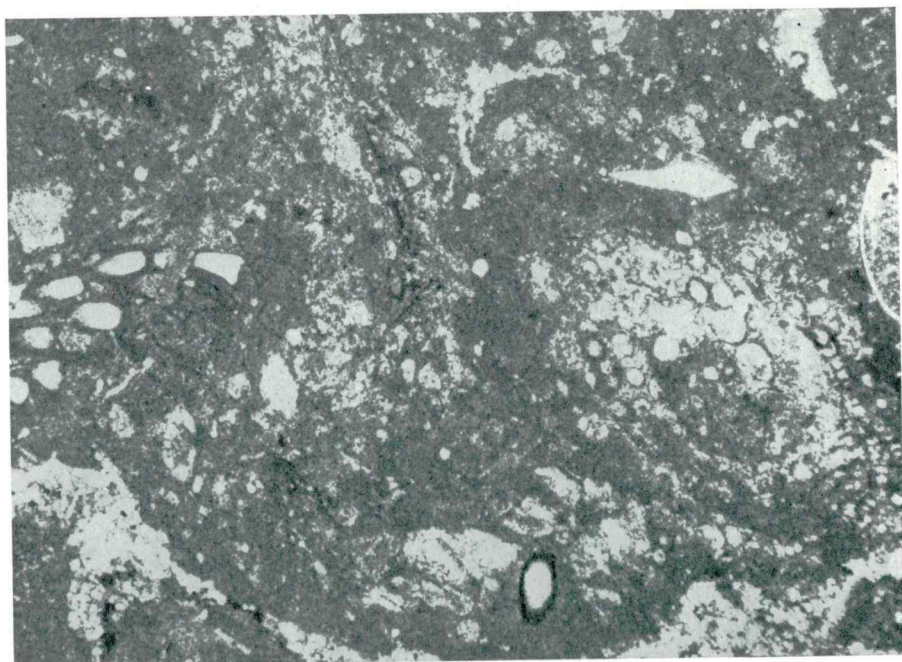
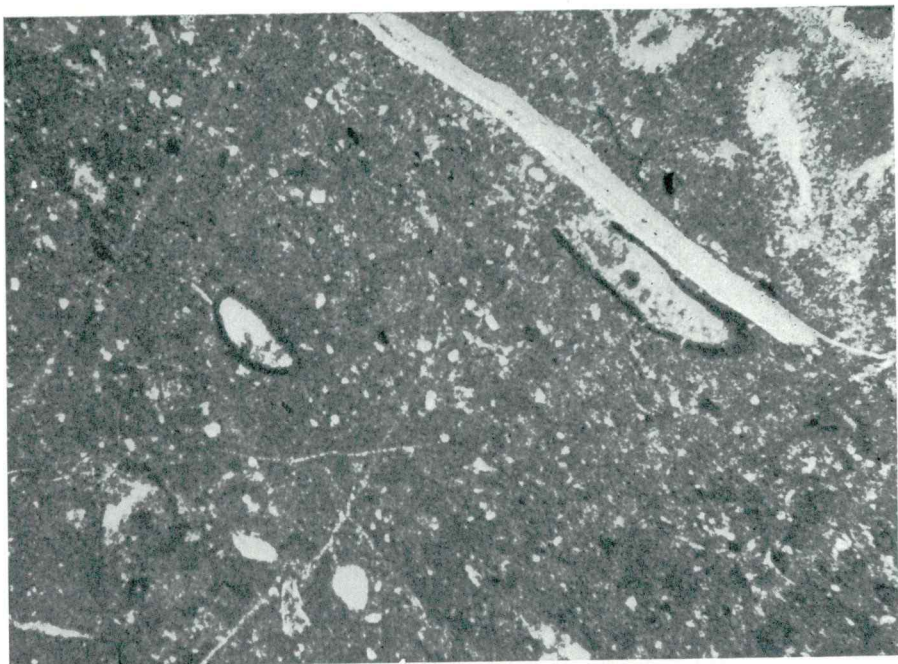


PLANCHE XXII

Fig. 1

Calcaire légèrement bitumineux à *Pseudocyclammina* sp., autres Foraminifères et débris de Mollusques ( $\times 40$ ). Pl. mince 197-55  
Bordure ouest de la Zetska ravnica, Dodoši  
LIAS MOYEN

Fig. 2

Calcaire bitumineux à *Pseudocyclammina* sp. et les coques des petites Lamellibranches ( $\times 40$ ). P. mince 351-55  
Bordure ouest de la Zetska ravnica, Dodoši  
LIAS MOYEN

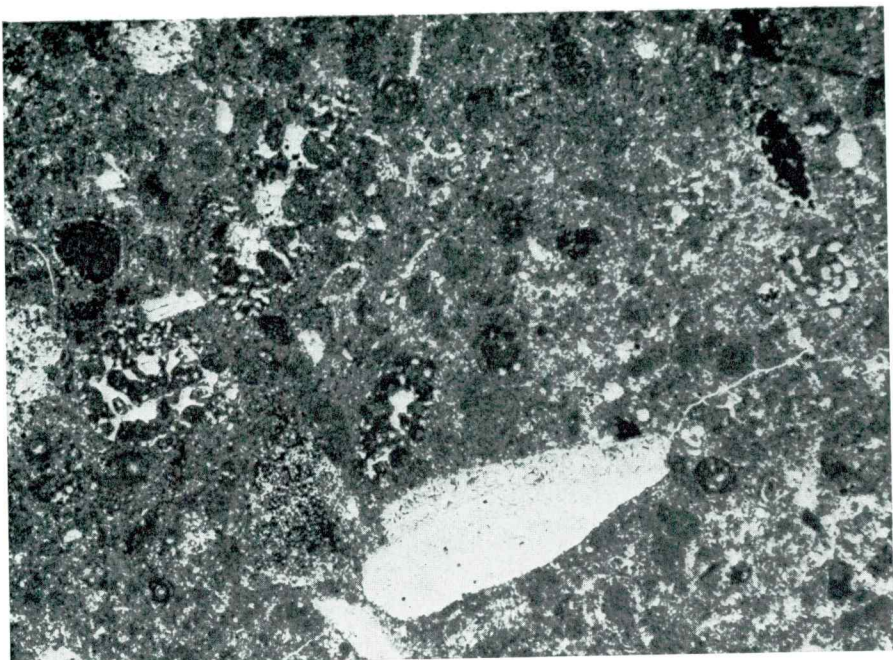


PLANCHE XXIII

Fig. 1

Calcaire marneux, peu bitumineux, à Lituolidés et autres Foraminifères, Micro-gastéropodes et débris de Mollusques ( $\times 17,5$ ). Pl. mince 354-55  
Bordure ouest de la Zetska ravnica, Dodoši  
LIAS MOYEN

Fig. 2

Calcaire à Codiacées ( $\times 17,5$ ). Pl. mince CG-1106. Dans l'association: *Thaumatoporella parvovesiculifera* (Rain.) et petits Foraminifères  
L'Ancien Monténégro, Topsude  
LIAS MOYEN-SUPÉRIEUR



PLANCHE XXIV

Fig. 1

Calcaire microgrumeleux à *Thaumatoporella parvovesiculifera* (Rain.) et rares petits Foraminifères ( $\times 29$ ). Pl. mince 1819-59  
Bordure ouest de la Zetska ravnica, Buza-Bobija  
LIAS SUPÉRIEUR-DOGGER INFÉRIEUR

Fig. 2

Calcaire grumeleux à Trechamminidés et Textularidés ( $\times 29$ ). Pl. mince 1820-60.  
Dans l'association: rares Codiacées et Microgastéropodes  
Bordure ouest de la Zetska ravnica, Buza-Bobija  
LIAS SUPÉRIEUR-DOGGER INFÉRIEUR

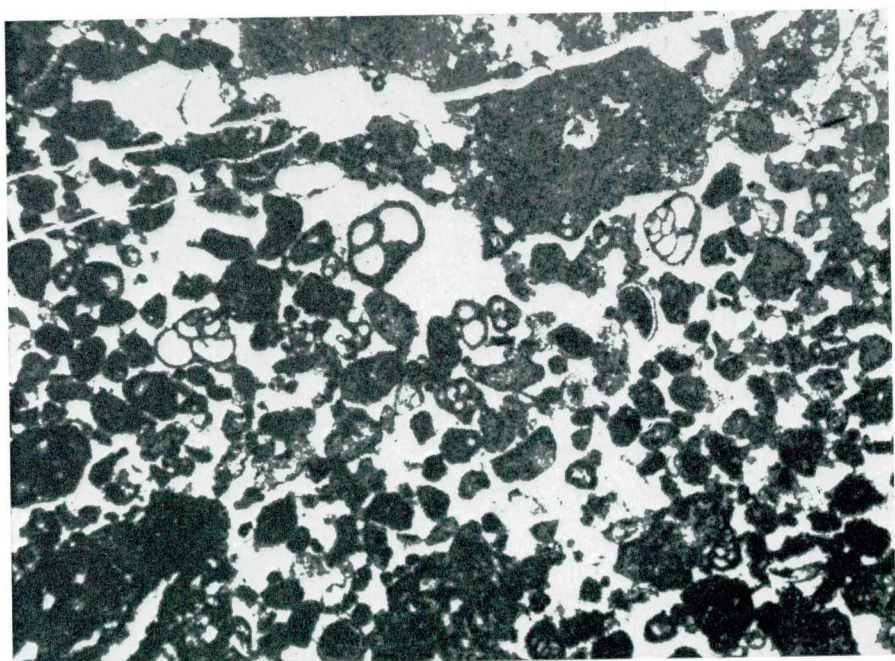
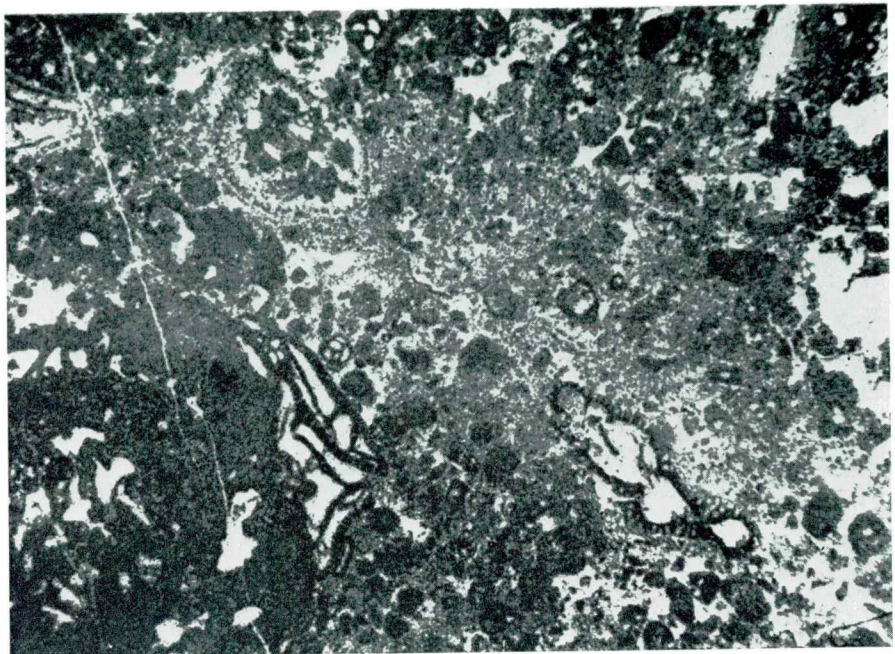


PLANCHE XXV

Fig. 1

Calcaire peu détritique, subcristallin, à Trochamminidés, Verneuilinidés, Textularidés et très rares Miliolidés ( $\times 28$ ). Pl. mince 1822-60. Dans l'association: *Thaumatoporella parvovesiculifera* (Rain.) et rares petits Trocholines  
Bordure ouest de la Zetska ravnica, Buza-Bobija  
DOGGER INFÉRIEUR

Fig. 2

Calcaire à Foraminifères peu abondants, *Aeolisaccus* sp. et Microgastéropodes ( $\times 28$ ). Pl. mince 1823-60. Dans l'association: *Thaumatoporella parvovesiculifera* (Rain.)  
Bordure ouest de la Zetska ravnica, Buza-Bobija  
DOGGER INFÉRIEUR

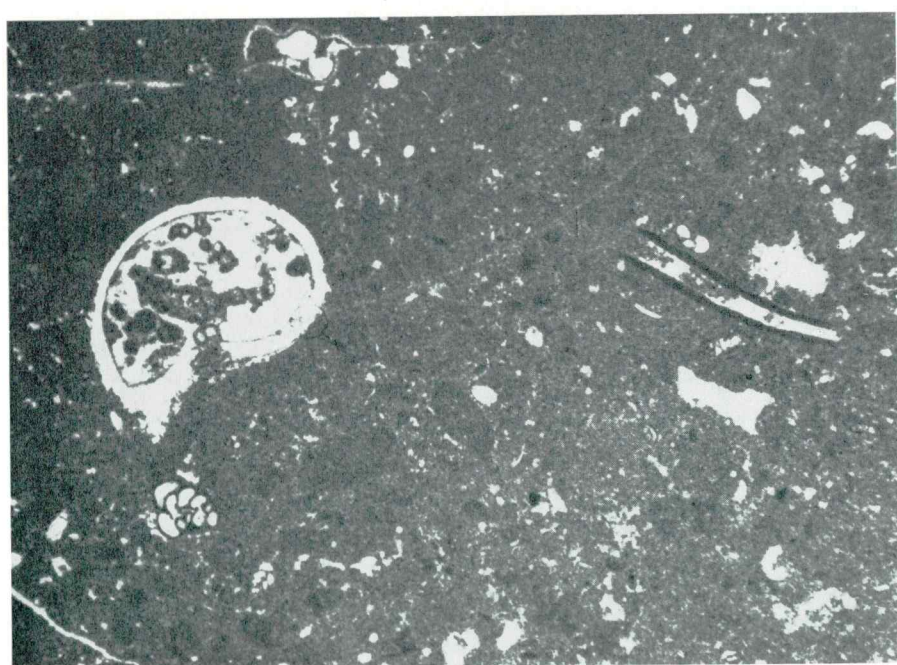
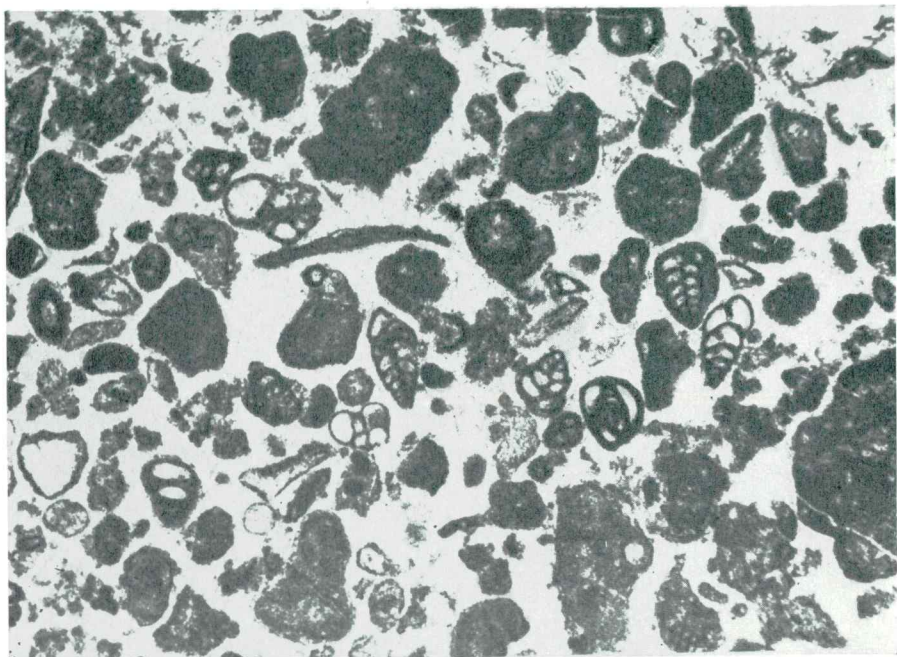


PLANCHE XXVI

Fig. 1

Calcaire grumeleux, en partie oolithique, à *Dictyoconus cayeuxi* (Lucas),  
( $\times 37,5$ ). Pl. mince 615-61

L'Ancien Monténégro, environs de Grkavac

DOGGER INFÉRIEUR

Fig. 2

Calcaire oolithique-détritique à *Dictyoconus cayeuxi* (Lucas), ( $\times 37,5$ ). Pl. mince  
621-61

L'Ancien Monténégro, environs de Resna

DOGGER INFÉRIEUR

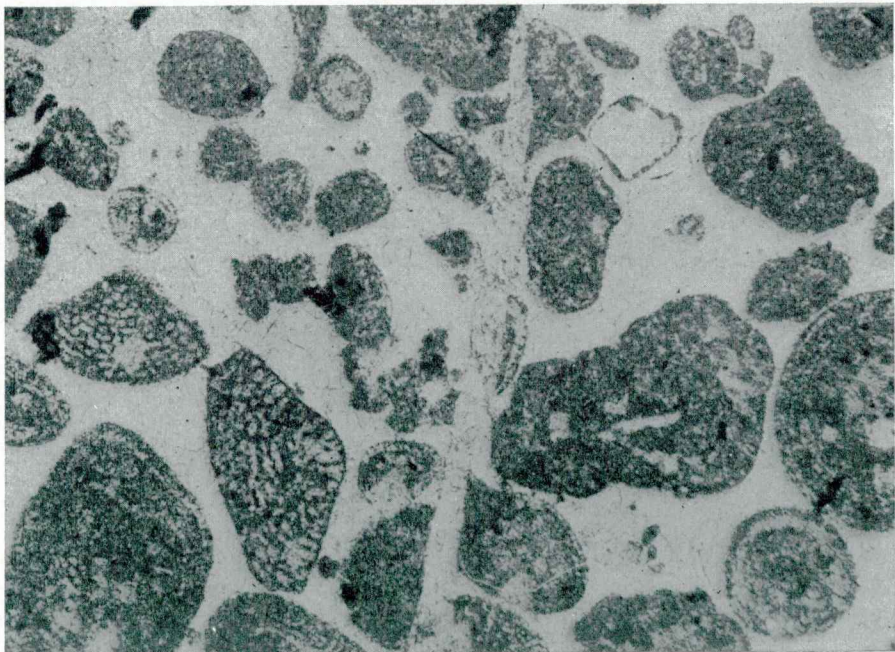


PLANCHE XXVII

Fig. 1

Calcaire organogène à Textularidés, Trochamminidés, Verneuilinidés, puis *Thaumatoporella parvovesiculifera* (Rain.), Dasycladacées et débris divers ( $\times 17,5$ ). Pl. mince 1824-59

Bordure ouest de la Zetska ravnica, Buza-Bobija

DOGGER INFÉRIEUR

Fig. 2

Calcaire organogène à nombreux Foraminifères (Textularidés, Trochamminidés, Verneuilinidés, Miliolidés, etc.), et débris de Mollusques ( $\times 28,5$ ). Pl. mince 1827-59. Dans l'association: Dasycladacées et petites *Nerinella*

Bordure ouest de la Zetska ravnica, Buza-Bobija

DOGGER SUPÉRIEUR

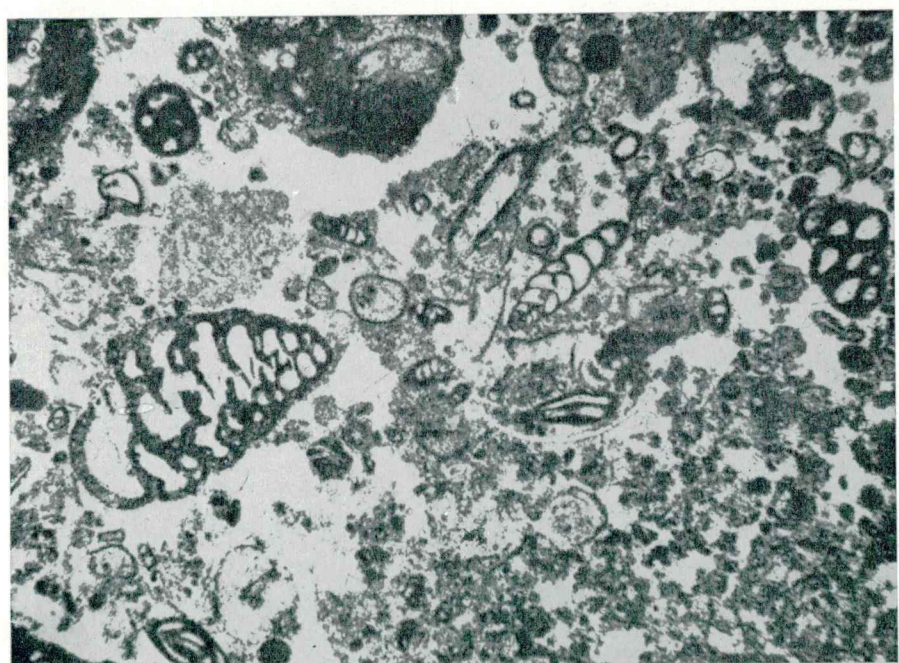
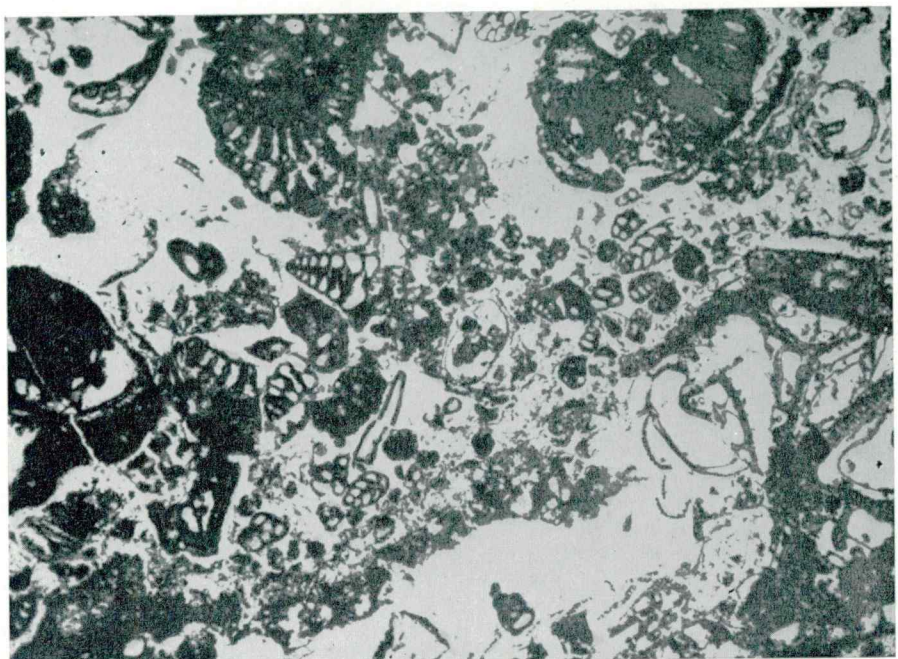


PLANCHE XXVIII

Fig. 1 et 2

Calcaire organogène à *Thaumatoporella parvovesiculifera* (Rain.), nombreux Foraminifères (Trochamminidés, Textularidés, Verneuilinidés et aut.) et débris très abondants de Dasycladacées (*Selliporella*) et de Mollusques ( $\times 28,5$ ). Pl. mince 1827-59

Bordure ouest de la Zetska ravnica, Buza-Bobija

DOGGER SUPÉRIEUR

*Protopeneroplis striata* apparaissant généralement dans les calcaires oolithiques et oolithiques-détritiques est peu fréquente dans les sédiments de la bordure ouest de la plaine Zetska ravnica où les calcaires oolithiques apparaissent secondairement dans le Dogger et Malm. Dans la colonne examinée les *Protopeneroplis* sont observés dans une couche des calcaires oolithiques détritiques se trouvant à quelques mètres au-dessus du calcaire présenté sur cette planche.

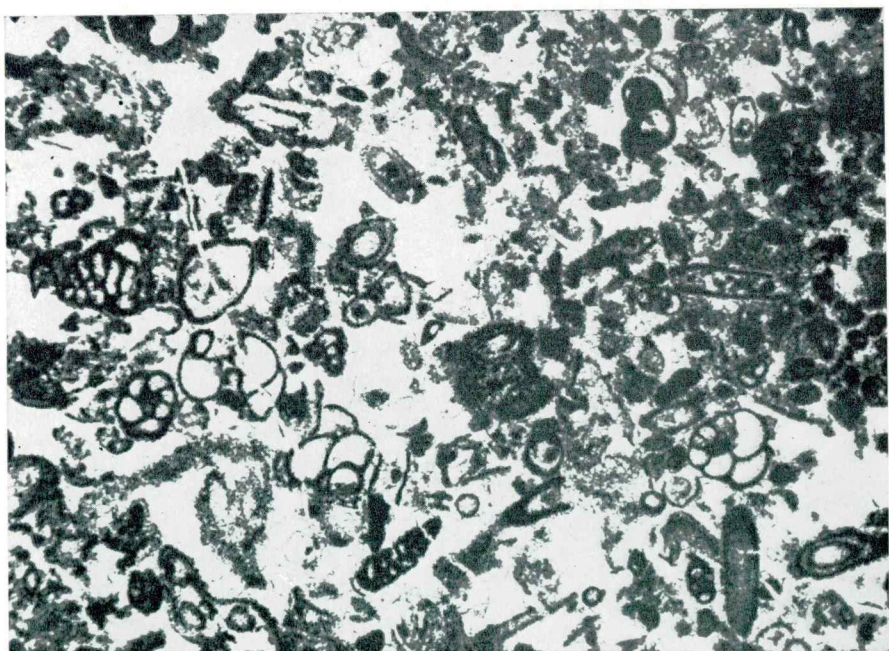
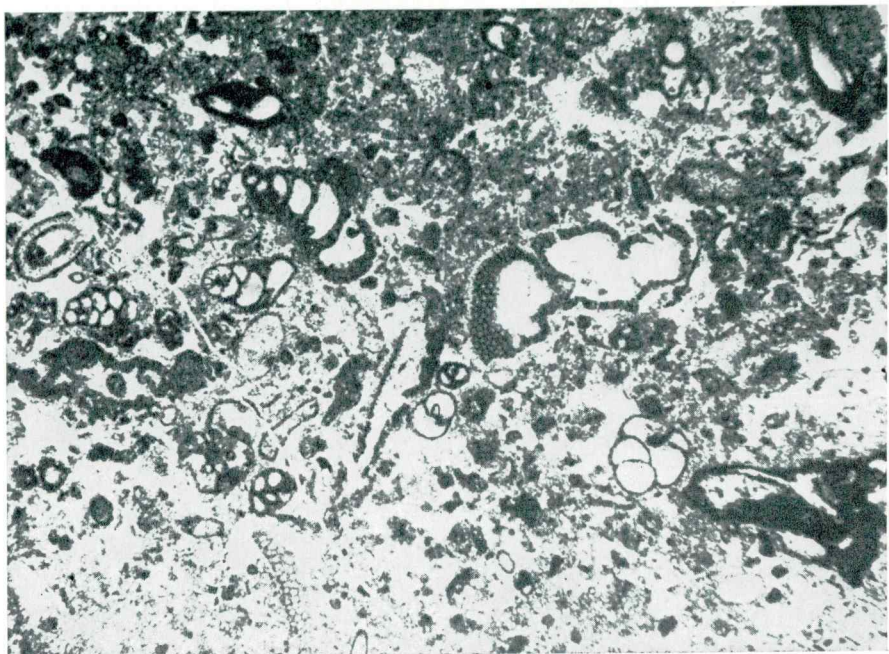


PLANCHE XXIX

Fig. 1

Calcaire phytogène à *Selliporella donzellii* Sartoni & Crescenti et Foraminifères très rares ( $\times 40$ ). Pl. mince 167-57

Bordure ouest de la Zetska ravnica, au nord de Ponar

DOGGER SUPÉRIEUR

Les microfaciès des calcaires à *Selliporella donzellii* ou leurs débris et autres microfossiles peu fréquents, représentent, ayant en vue leur large extension géographique, les microfaciès du Dogger les plus importants dans les Dinari-des externes. A côté de l'espèce *Selliporella donzellii* se trouvent de plus deux Dasycladacées: *Teutloporella gallaeformis* Rad. et la D4.

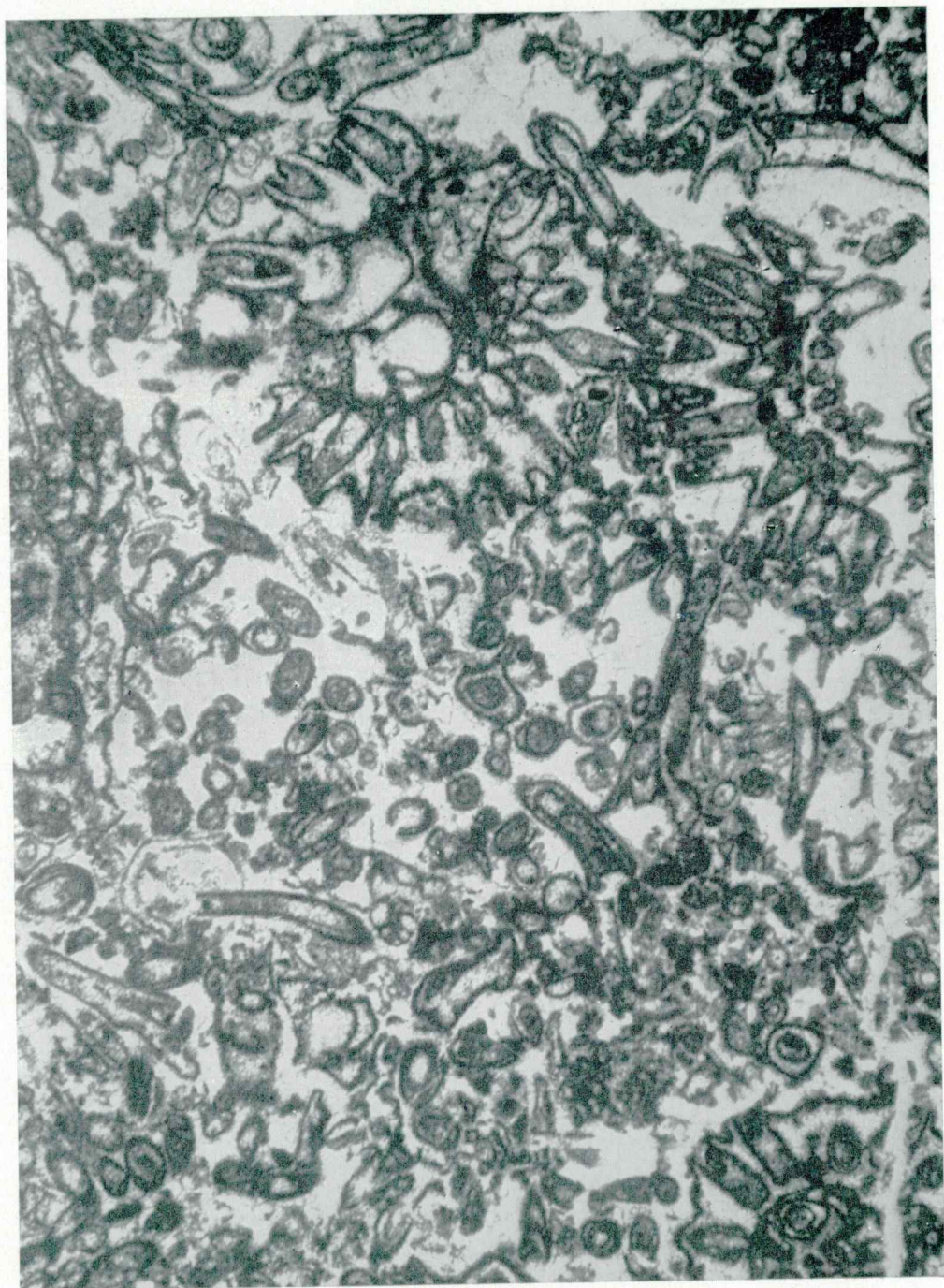


PLANCHE XXX

Fig. 1

Calcaire grumeleux à *Thaumatoporella parvovesiculifera* (Rain.) et Foraminifères ( $\times 28,5$ ). Pl. mince 1828-59. Dans l'association: débris de Dasycladacées, rares Microgastéropodes et Polypiers  
Bordure ouest de la Zetska ravnica, Buza-Bobija  
DOGGER SUPÉRIEUR

Fig. 2

Calcaire grumeleux à *Pfenderina salernitana* Sartoni & Crescenti ( $\times 30$ ). Pl. mince 1834-59. Dans l'association: autres Foraminifères peu abondants et débris de Dasycladacées  
Bordure ouest de la Zetska ravnica, Buza-Bobija  
DOGGER SUPÉRIEUR-MALM INFÉRIEUR

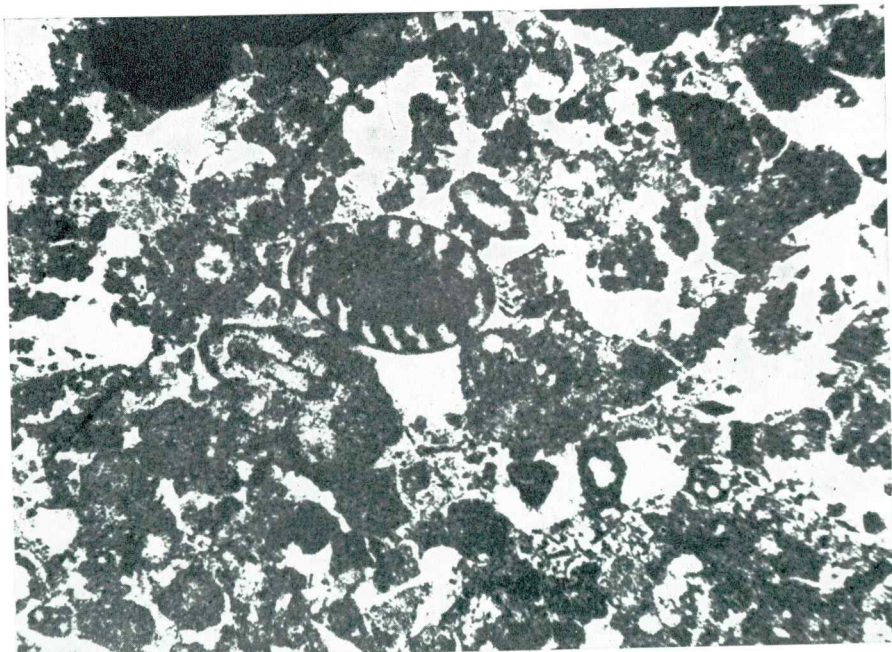
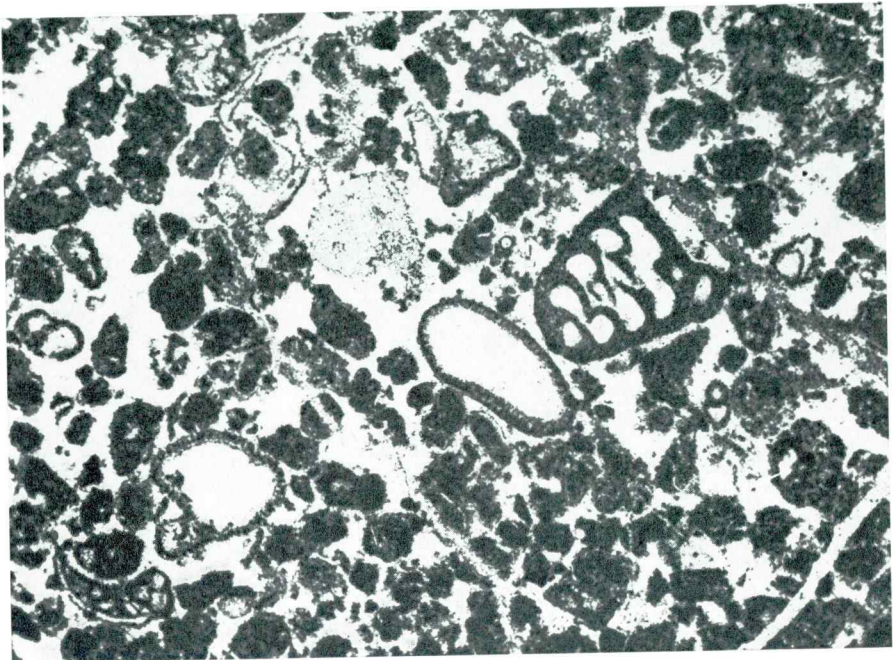


PLANCHE XXXI

Fig. 1 et 2

Calcaire à *Pfenderina* cf. *trochoidea* Smout & Sugden, *Meyendorffina bathonica* Aurouze & Bizon et autres Foraminifères ( $\times 28,5$ ). Pl. mince 1834-59  
Bordure ouest de la Zetska ravnica, Buza-Bobija  
DOGGER SUPÉRIEUR-MALM INFÉRIEUR

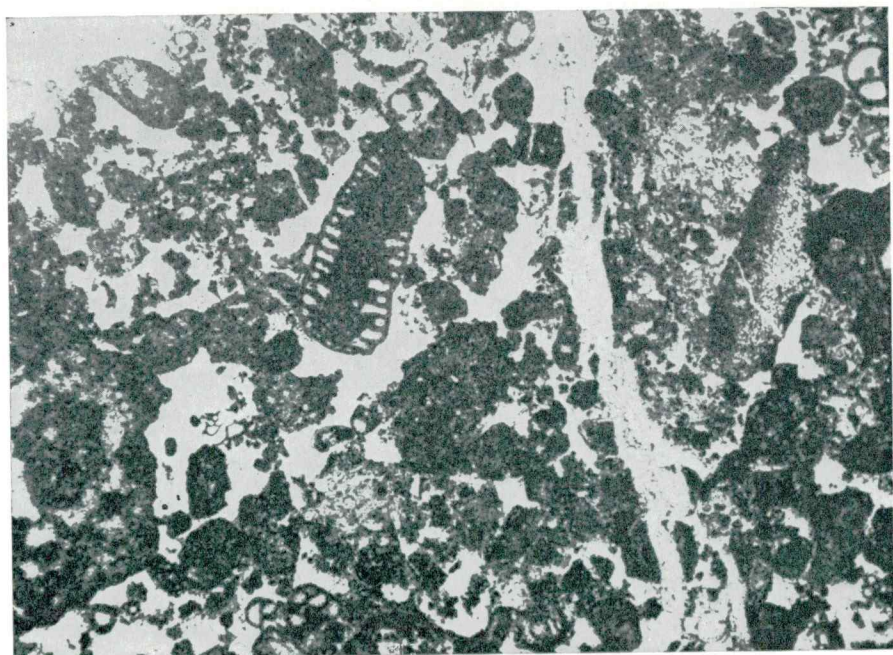
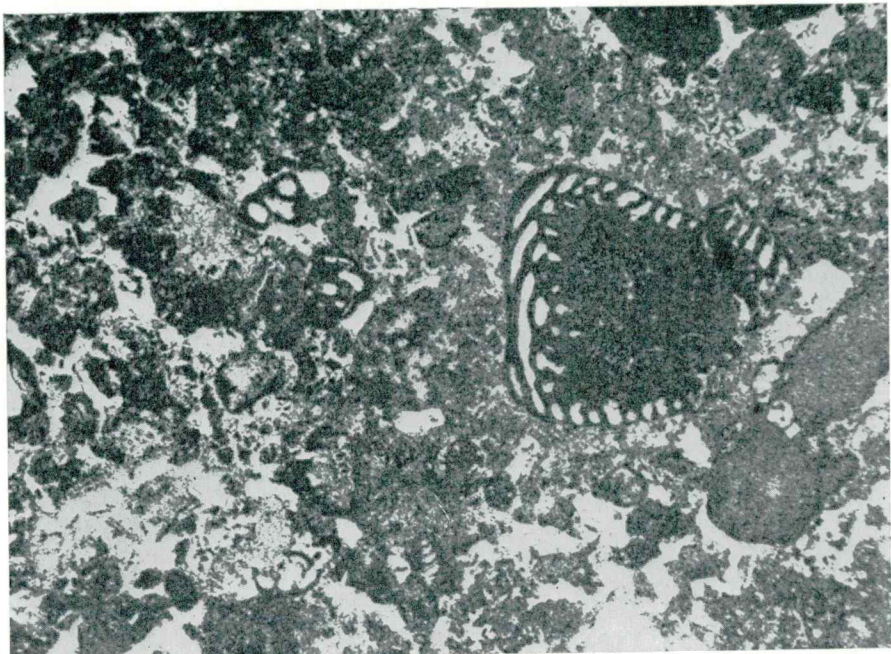


PLANCHE XXXII

Fig. 1 et 2

Calcaire à Pfenderines (*Pfenderina* sp.), Verneuilinidés, Textularidés et autres Foraminifères ( $\times 30$ ). Pl. mince 1841-59. Dans l'associations: *Thaumatoporella parvovesiculifera* (Rain.), *Teutloporella gallaeformis* Radoičić, Microgastéropodes et débris de Mollusques

Bordure ouest de la Zetska ravnica, près de Ponar

DOGGER SUPÉRIEUR-MALM INFÉRIEUR

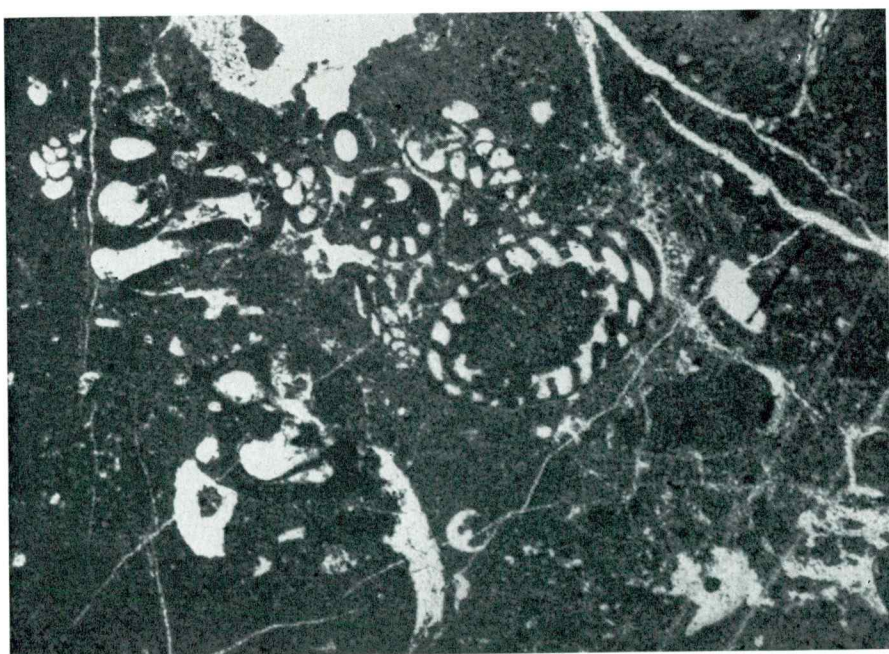
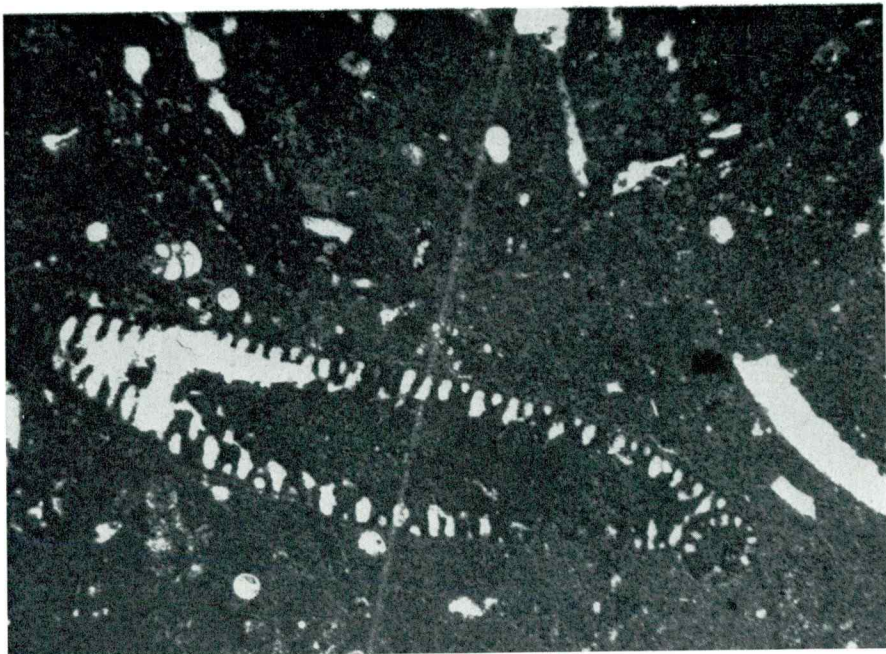


PLANCHE XXXIII

Fig. 1

Calcaire oolithique-détritique à Trocholines, *Labyrinthina mirabilis* Weynschenk et autres Foraminifères ( $\times 17$ ). Pl. mince 44-57  
Bordure ouest de la Zetska ravnica, Kurioci-Vukovci  
MALM INFÉRIEUR (partie inférieure des couches à *Cladocoropsis mirabilis*)

Fig. 2

Calcaire oolithique-détritique à Trocholines ( $\times 17$ ). Pl. mince 133 a-57  
Bordure ouest de la Zetska ravnica, Kurioci-Vukovci  
MALM INFÉRIEUR

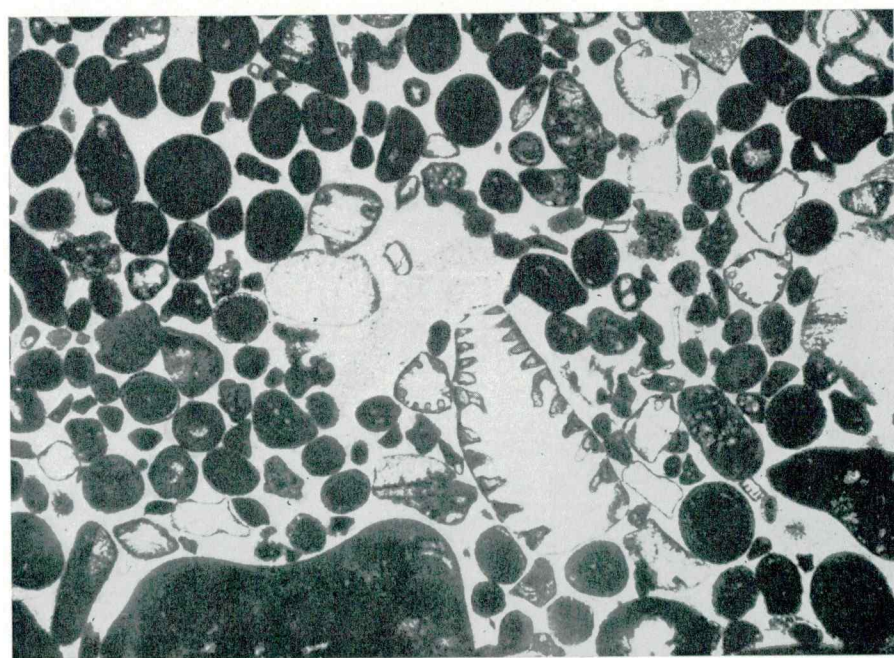


PLANCHE XXXIV

Fig. 1

Calcaire à *Cladocoropsis mirabilis* Felix ( $\times 10$ ). Pl. mince 137-57  
Bordure ouest de la Zetska ravnica, au sud de Vukovci  
MALM INFÉRIEUR (KIMMÉRIDGIEN INFÉRIEUR)

Fig. 2

Calcaire à *Kurnubia palastiniensis* Henson, autres Foraminifères et Dasycladacées (*Clypeina* spp. et autres), ( $\times 30$ ). Pl. mince 1095-57  
Bordure ouest de la Zetska ravnica, Rvaši  
MALM SUPÉRIEUR (partie inférieure des couches à *Clypeina jurassica*)

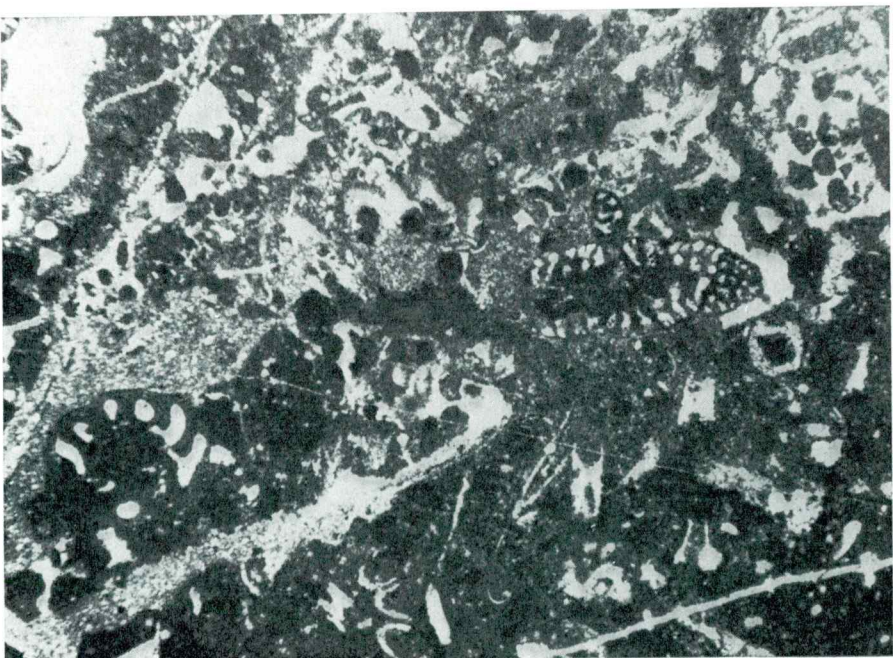
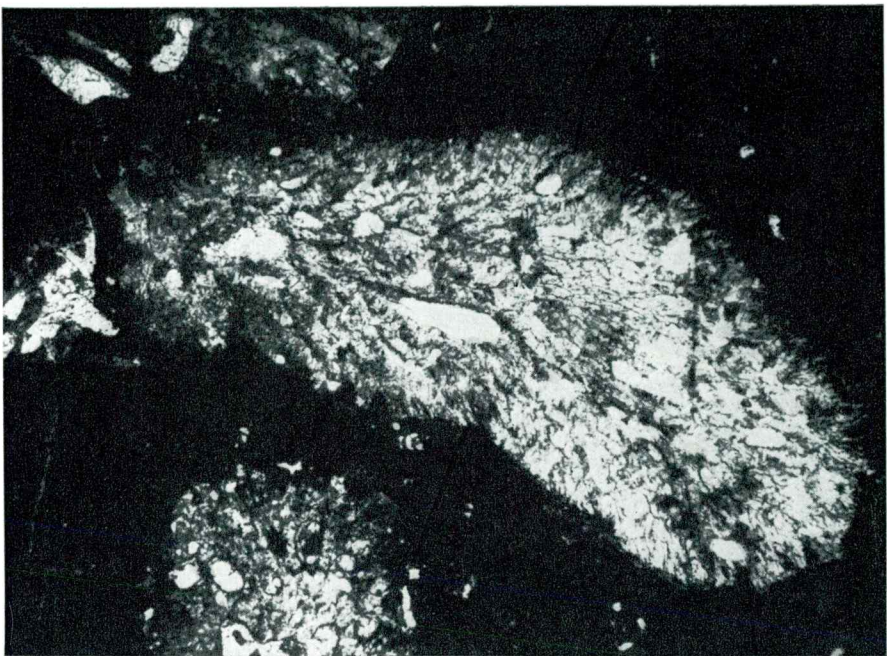


PLANCHE XXXV

Fig. 1 et 2

Calcaire à Dasycladacées (*Clypeina* spp. et autres), ( $\times 30$ ). Pl. mince 1095-57  
Bordure ouest de la Zetska ravnica, Rvaši  
MALM SUPÉRIEUR (partie inférieure des couches à *Clypeina jurassica*)

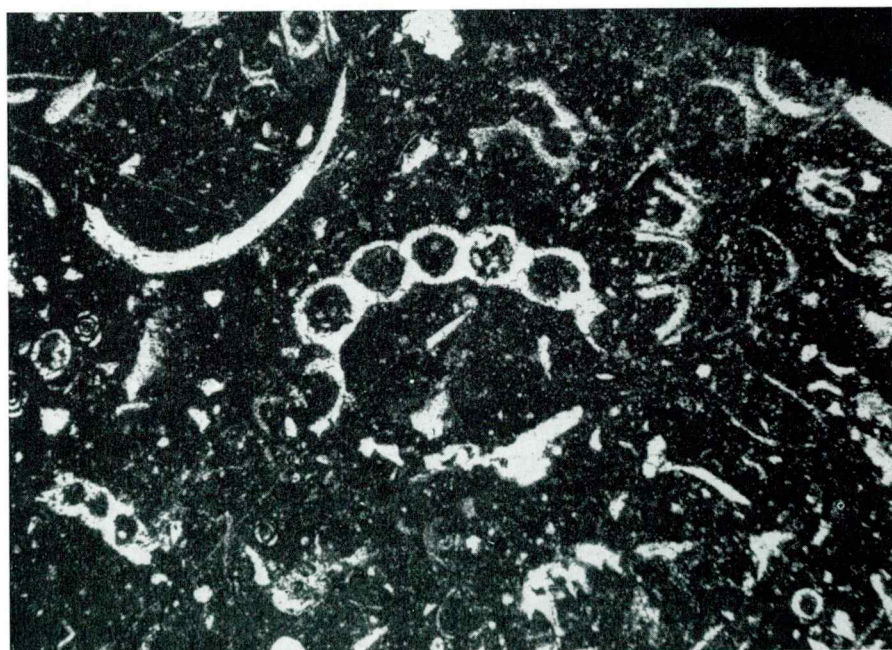


PLANCHE XXXVI

Fig. 1 et 2

Calcaire à Dasycladacées (*Clypeina* spp. et autres) et Foraminifères peu abondants ( $\times 30$ ). Pl. mince 1095-57

Bordure ouest de la Zetska ravnica, Rvaši

MALM SUPERIEUR (partie inférieure des couches à *Clypeina jurassica*)

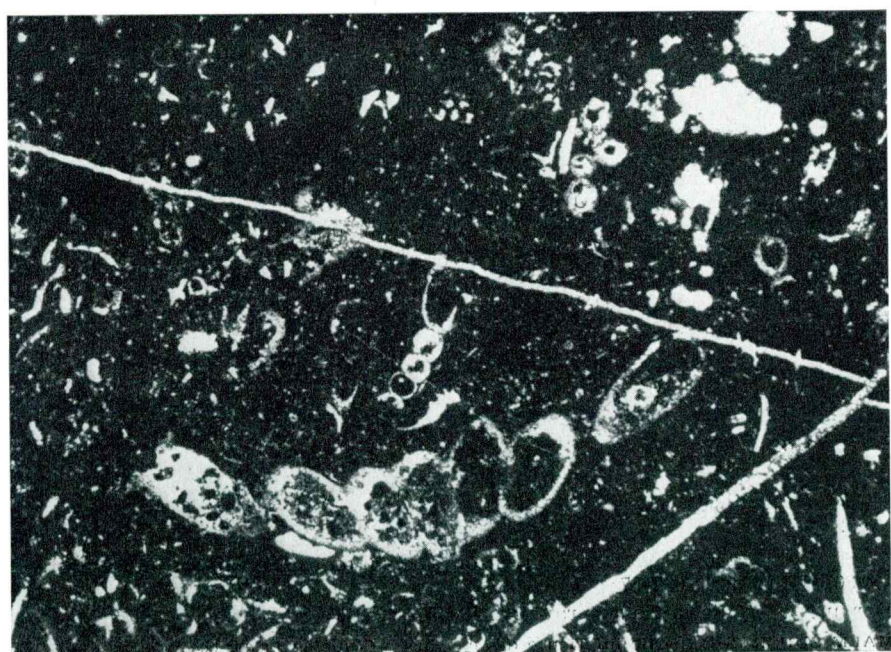
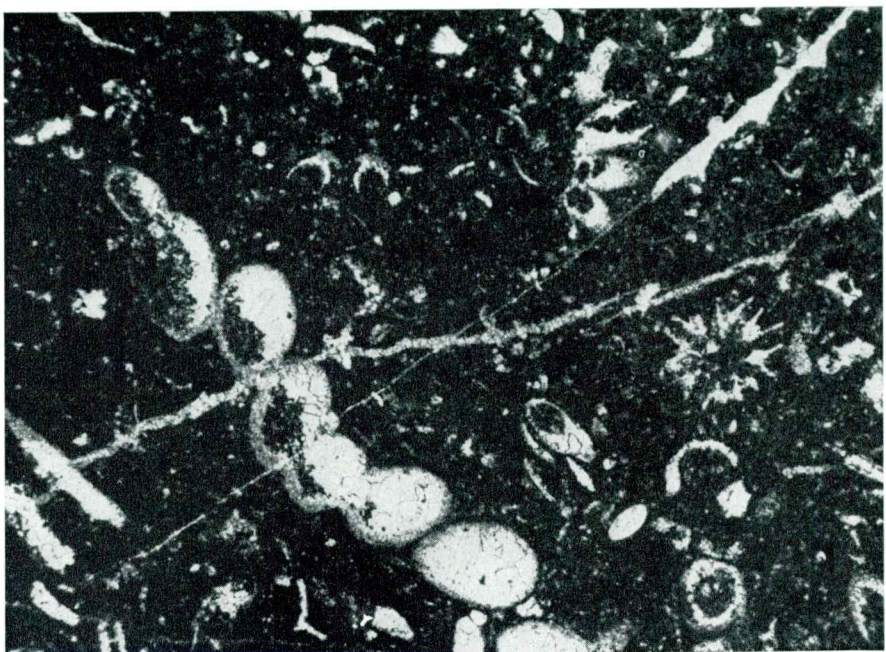


PLANCHE XXXVII

Fig. 1

Calcaire à *Kurnubia* sp. et Dasycladacées ( $\times 35$ ). Pl. mince 1096-57  
Bordure ouest de la Zetska ravnica, Rvaši  
MALM SUPÉRIEUR (partie inférieure des couches à *Clypeina jurassica*)

Fig. 2

Calcaire à *Kurnubia wellingsi* (Henson), *Kurnubia* sp. et autres Foraminifères  
( $\times 30$ ). Pl. mince 1097-57  
Bordure ouest de la Zetska ravnica, Rvaši  
MALM SUPÉRIEUR (partie inférieure des couches à *Clypeina jurassica*)

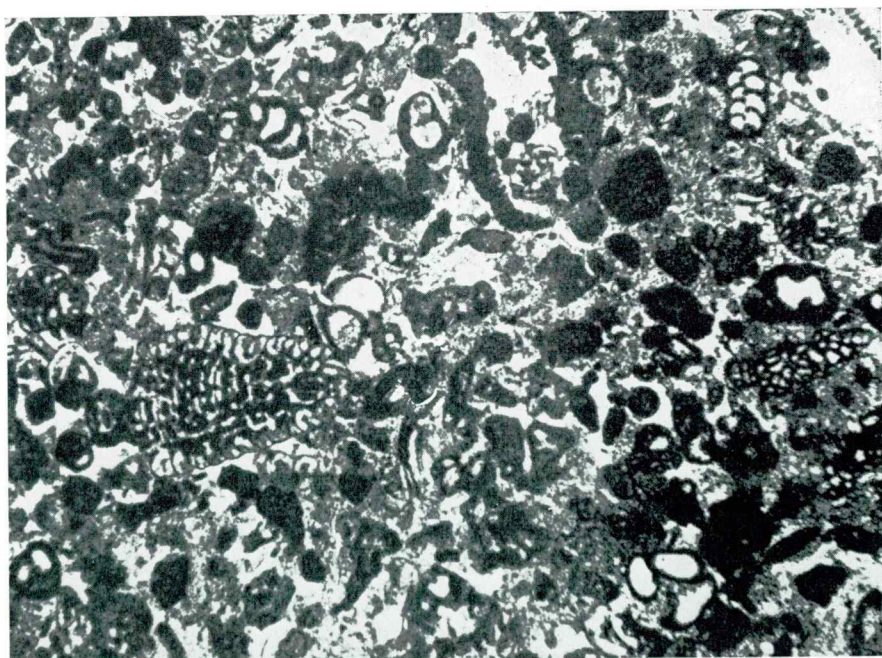
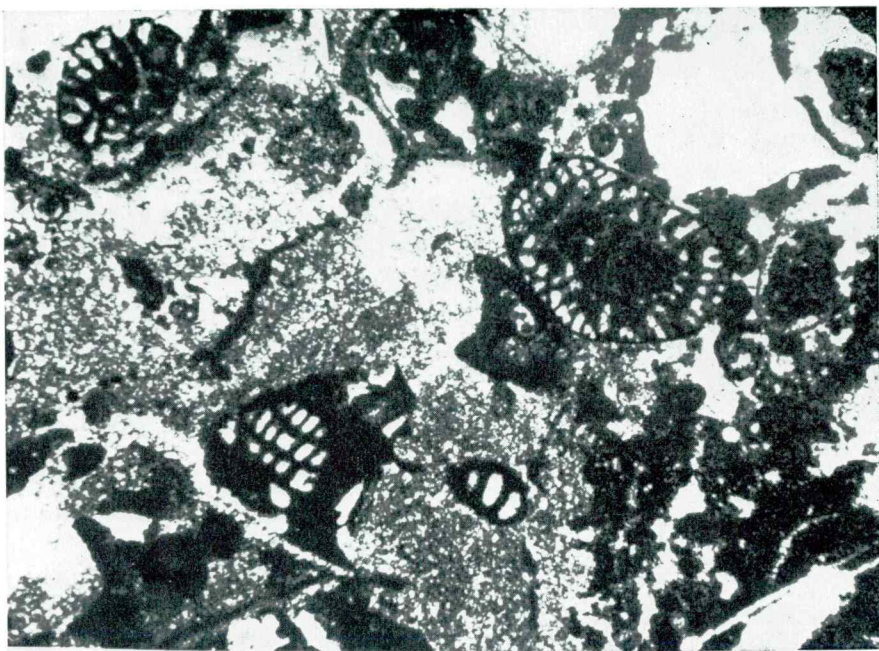


PLANCHE XXXVIII

Fig. 1

Calcaire marneux, peu bitumineux, à Charophytes ( $\times 28,5$ ). Pl. mince 1851-59  
Bordure ouest de la Zetska Ravnica, Bobija  
MALM SUPÉRIEUR (partie inférieure des couches à *Clypeina jurassica*)

Fig. 2

Calcaire marneux à Ostracodes ( $\times 70$ ). Pl. mince 1099-57  
Bordure ouest de la Zetska ravnica, Rvaši  
MALM SUPÉRIEUR (partie inférieure des couches à *Clypeina jurassica*)

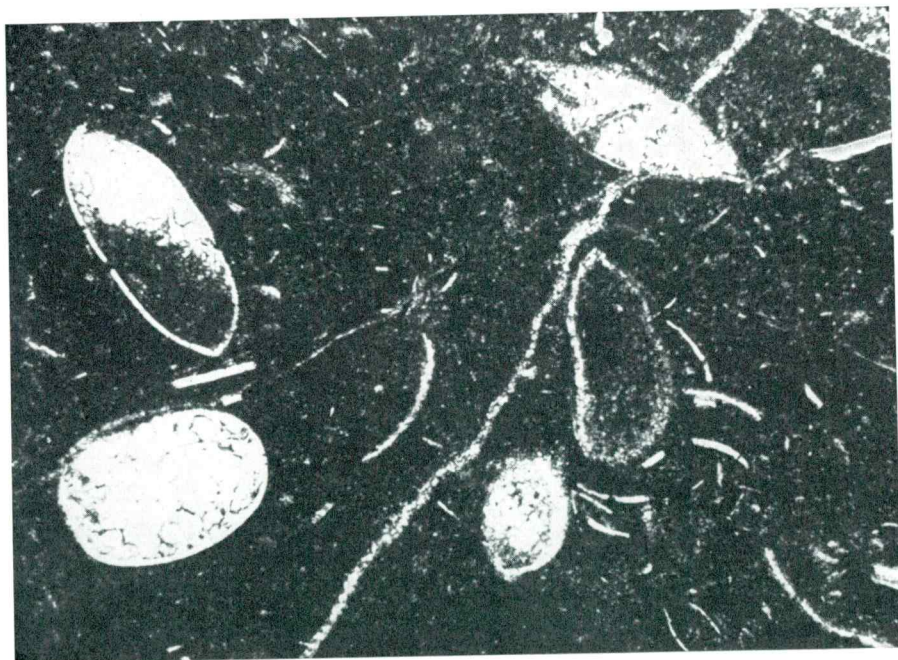
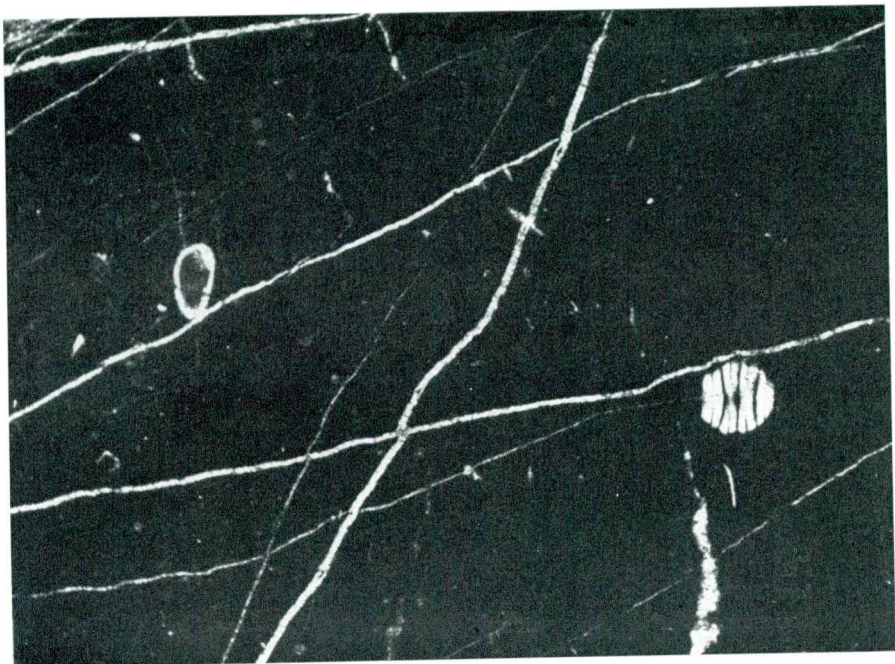


PLANCHE XXXIX

Fig. 1

Calcaire à rhomboèdres de dolomie, *Clypeina jurassica* Favre et *Kurnubia palastiniensis* Henson ( $\times 30$ ). Pl. mince 55-57  
Bordure ouest de la Zetska ravnica, Vukovci  
MALM SUPÉRIEUR (PORTLANDIEN)

Fig. 2

Calcaire à *Pianella* cf. *gigantea* Carozzi, *Salpingoporella annulata* Carozzi et *Clypeina jurassica* Favre ( $\times 30$ ). Pl. mince 139-57  
Bordure ouest de la Zetska ravnica, Vukovci  
MALM SUPÉRIEUR (PORTLANDIEN)

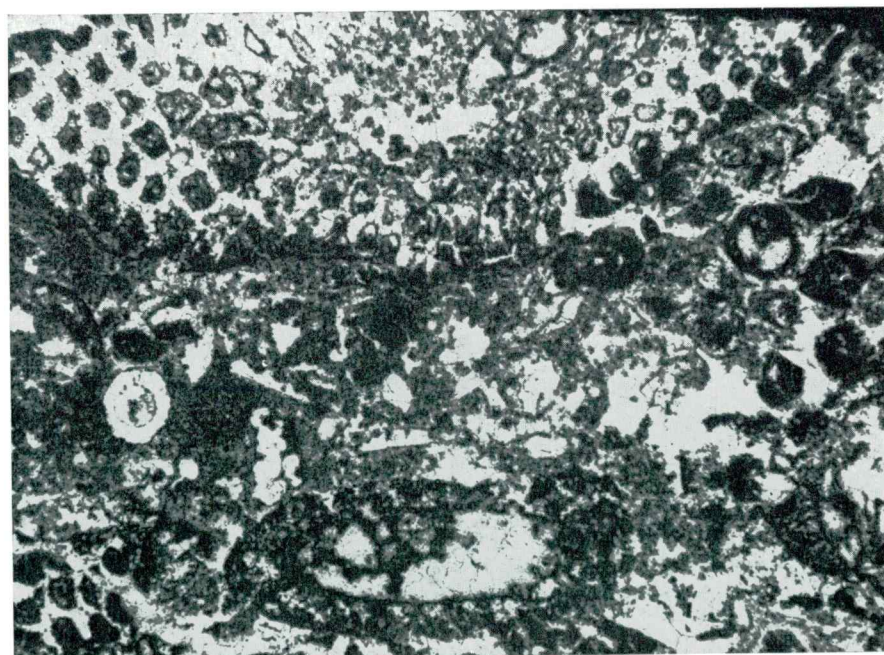
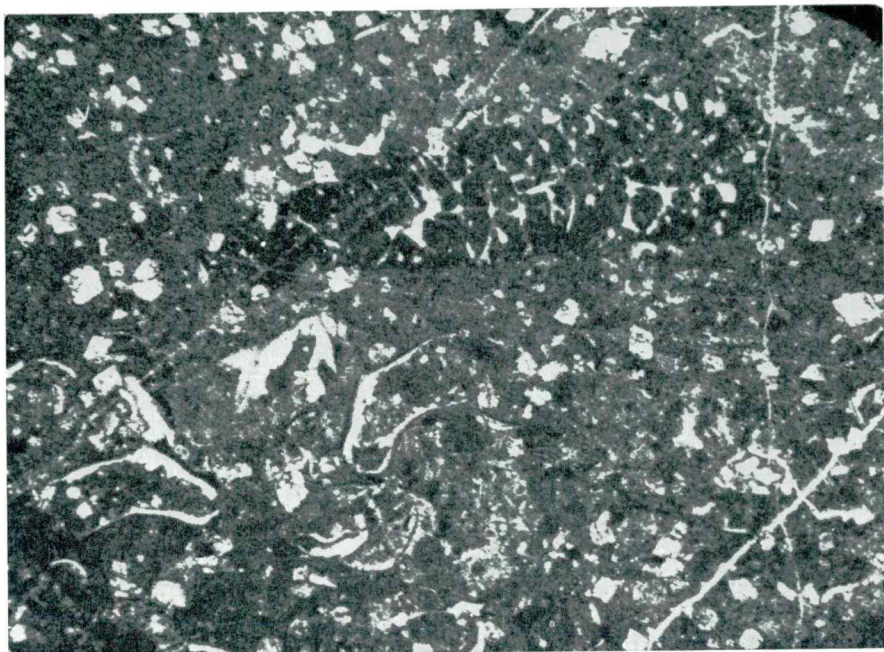


PLANCHE XI.

Fig. 1

Calcaire marneux à *Clypeina jurassica* Favre et *Teutloporella obsoleta* Carozzi ( $\times 17,5$ ). Pl. mince 159-57  
Bordure ouest de la Zetska ravnica, Vukovci  
MALM SUPÉRIEUR (PORTLANDIEN)

Fig. 2

Calcaire légèrement marneux et dolomitique à *Clypeina jurassica* Favre ( $\times 17,5$ ).  
Pl. mince 160-57  
Bordure ouest de la Zetska ravnica, Vukovci  
MALM SUPÉRIEUR (PORTLANDIEN)

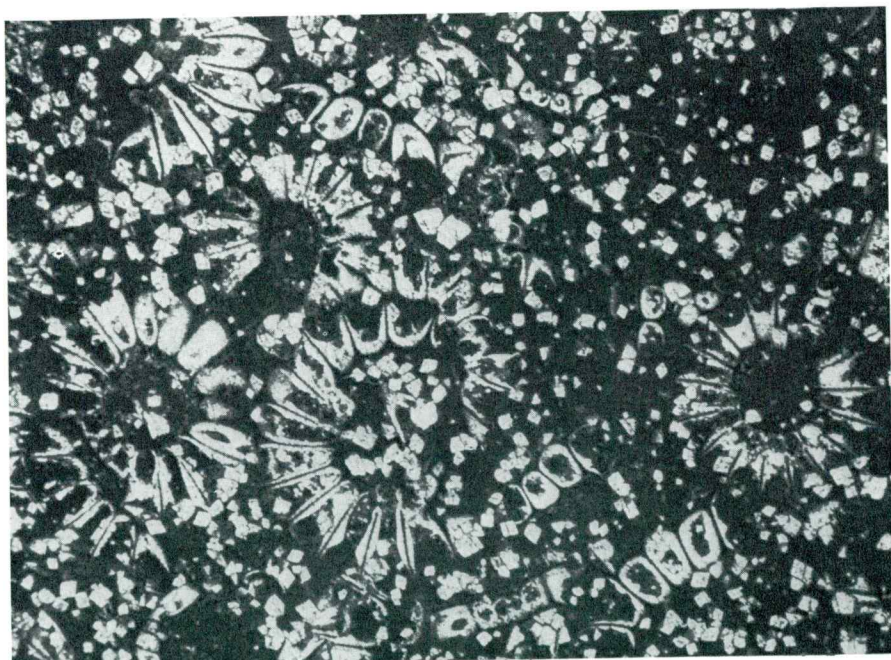
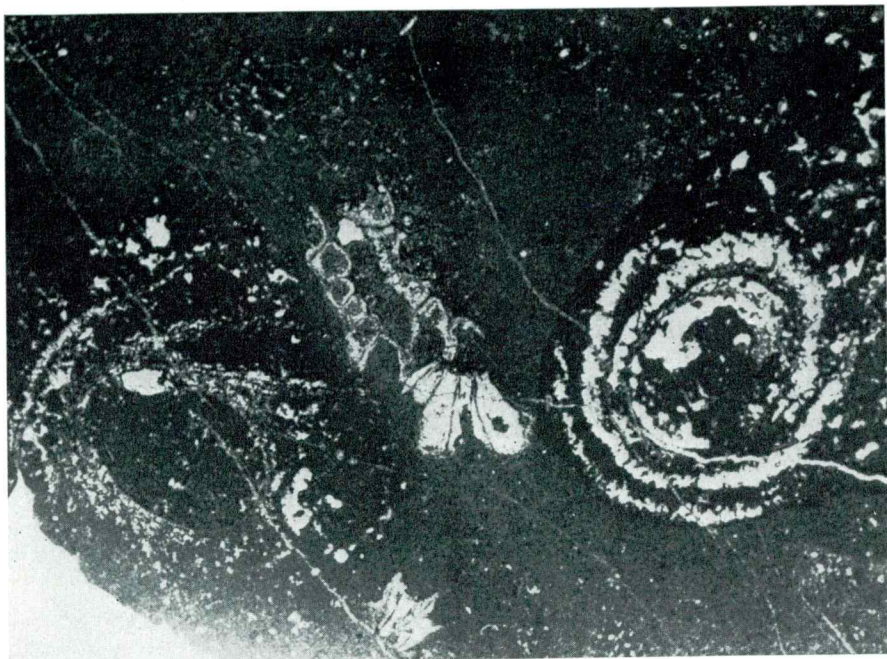


PLANCHE XLI

Fig. 1

Calcaire à Tintinnines aberrantes — (*Daturellina costata* Rad.) — et *Salpingoporella annulata* Carozzi ( $\times 27,5$ ). Pl. mince 289-55  
Bordure ouest de la Zetska ravnica, Trštenik  
VALANGINIEN INFÉRIEUR





101

**LA SÉRIE JURASSIQUE DE LA BORDURE NORD DE LA ZETSKA RAVNICA  
DISTRICT DE ĐEČIĆ ET DE CIJEVNA**

(Tableau № 3)

Planches: XLII à LV

PLANCHE XLII

Fig. 1 et 2

Calcaire oolithique-détritique à *Protopeneroplis striata* Weynschenk et Codiacée Cl (fig. 1 —  $\times 82$ ; fig. 2 —  $\times 32$ ). Pl. mince 1197-57. Dans l'association: Trocholines, rares Miliolidés et autres Foraminifères, *Cladocoropsis mirabilis* Felix. Bordure nord de la Zetska ravnica — cañon de la rivière Cijevna, au sud de Stepovo.

MALM INFÉRIEUR

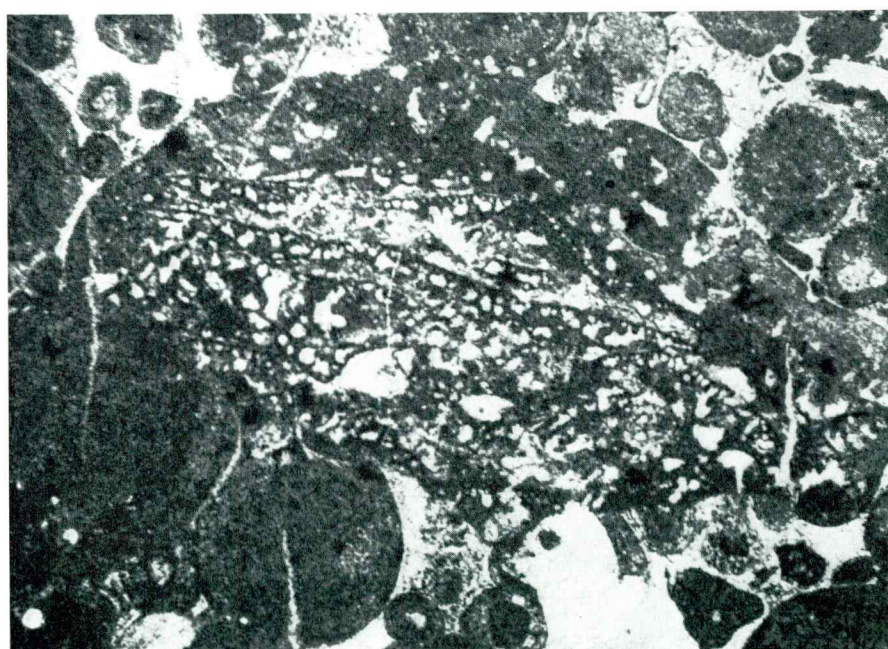
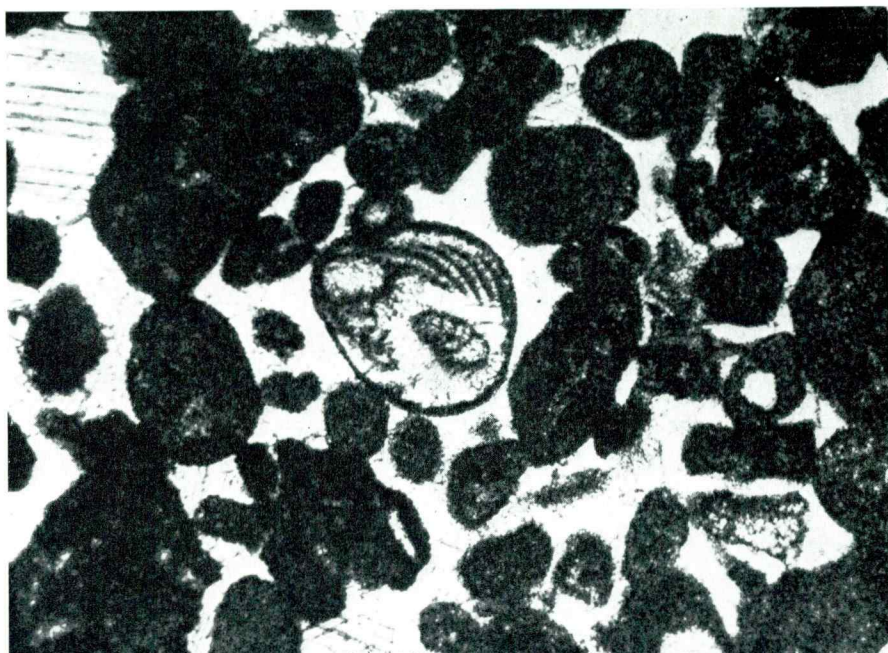


PLANCHE XLIII

Fig. 1

Calcaire oolithique-détritique à *Protopeneroplis striata* Weynoschenk et *Nau-tiloculina* sp. (J. Speck: «*Nautiloculina* n. sp. aff. *oolithica* Möhler»), ( $\times 60$ ). Pl. mince 1193 a-57

Bordure nord de la Zetska ravnica — cañon de la rivière Cijevna  
MALM INFÉRIEUR (OXFORDIEN)

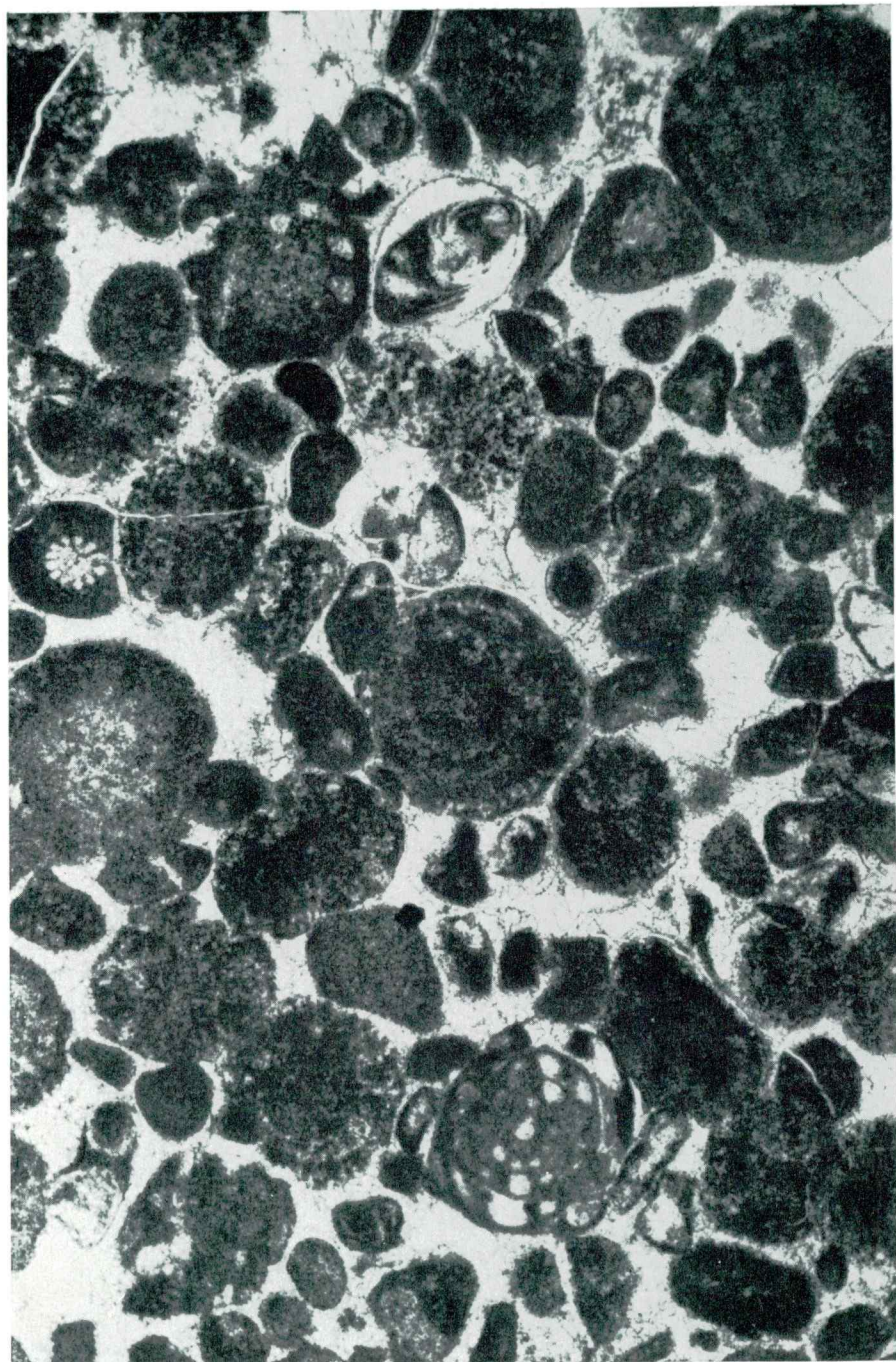


PLANCHE XLIV

Fig. 1

Calcaire grumeleux à Codiacées ( $\times 17,5$ ). Pl. mince 1198-57. Dans l'association:  
*Thaumatoporella parvovesiculifera* (Rain.) et Foraminifères peu abondants  
Bordure nord de la Zetska ravnica — cañon de la rivière Cijevna  
MALM INFÉRIEUR

Fig. 2

Calcaire grumeleux à Codiacéss ( $\times 17,5$ ). Pl. mince 1199-57. Dans l'association:  
*Protopeneroplis striata* Weynschenk  
Bordure nord de la Zetska ravnica — cañon de la rivière Cijevna  
MALM INFÉRIEUR

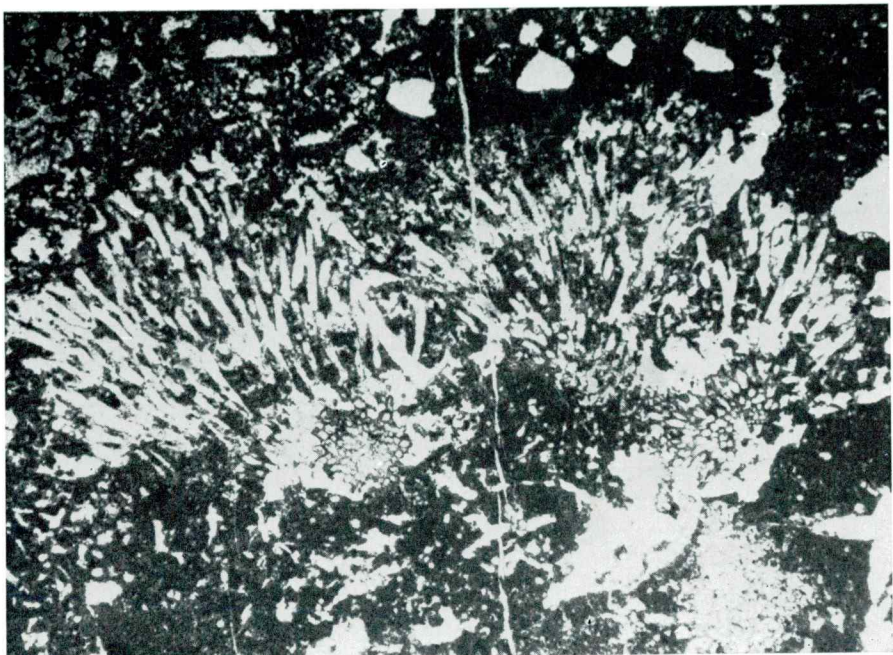


PLANCHE XLV

Fig. 1

Calcaire peu bitumineux à *Cladocoropsis mirabilis* Felix ( $\times 16$ ). Pl. mince 1152-57. Dans l'association: *Thaumatoporella parvovesiculifera* (Rain.), Cyanophytes, Codiacées; puis Kurnubies et autres Foraminifères  
Bordure nord de la Zetska ravnica—Spilja  
MALM INFÉRIEUR (probablement KIMMÉRIDGIEN INFÉRIEUR)

Fig. 2

Calcaire grumeleux à *Pseudocyclammina* sp. ( $\times 35$ ). Pl. mince 1124 a-57. Dans l'association: rares «*Lituonella*» et autres Foraminifères, rare *Clypeina jurassica* Favre  
Bordure nord de la Zetska ravnica—Spilja  
MALM SUPÉRIEUR (KIMMÉRIDGIEN SUPÉRIEUR)

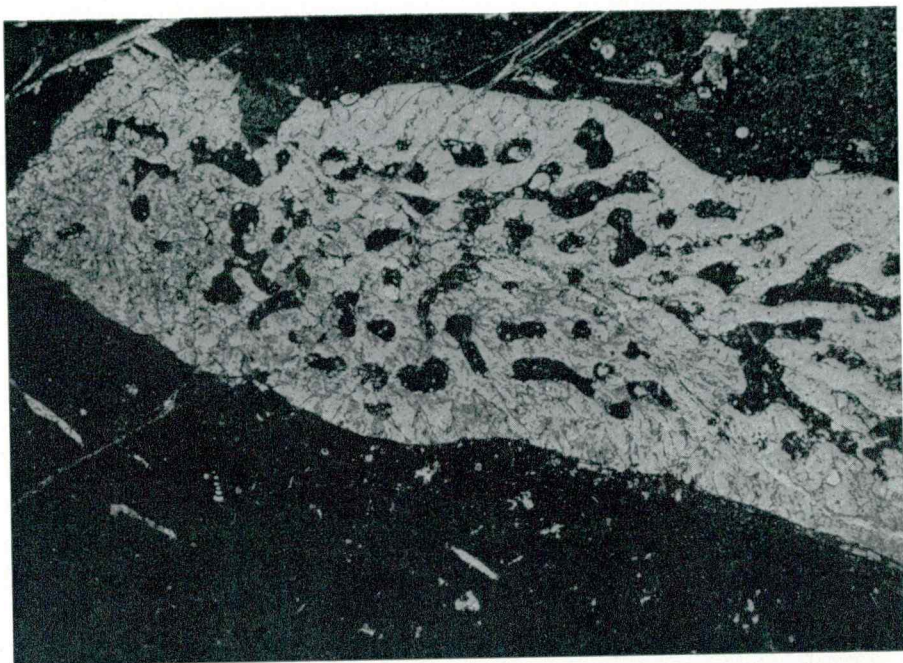


PLANCHE XLVI

Fig. 1 et 2

Calcaire peu bitumineux à Microproblematica, *Thaumatoporella parvovesiculifera* (Rain.), «*Macroporella*» *sellii* Crescenti, *Kurnubia palastiniensis* Henson, etc. (fig. 1 —  $\times 30$ , fig. 2 —  $\times 70$ ). Pl. mince 1071-57

Bordure nord de la Zetska ravnica — environs de Spilja

MALM SUPÉRIEUR (KIMMÉRIDGIEN SUPÉRIEUR)

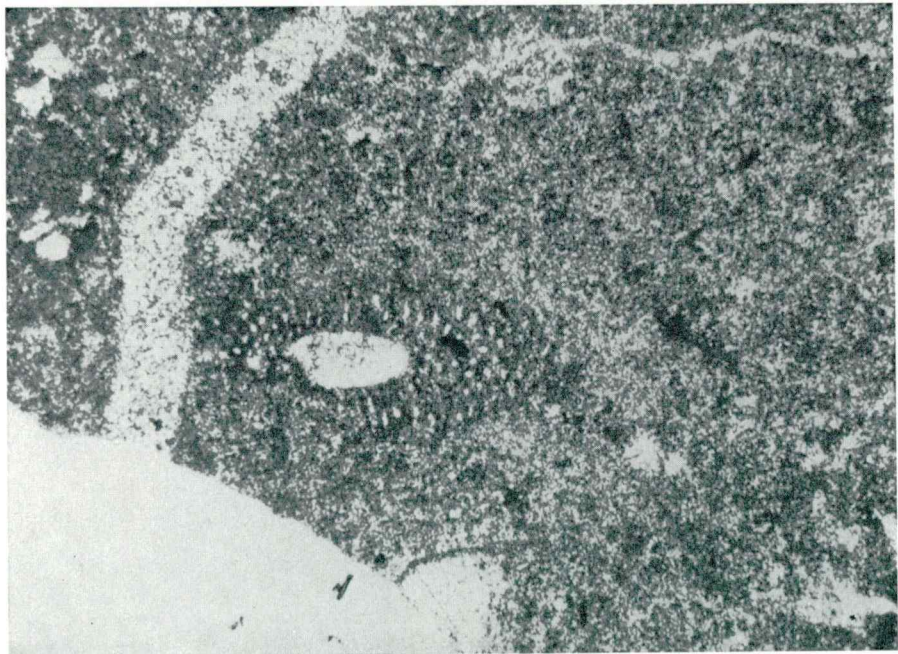
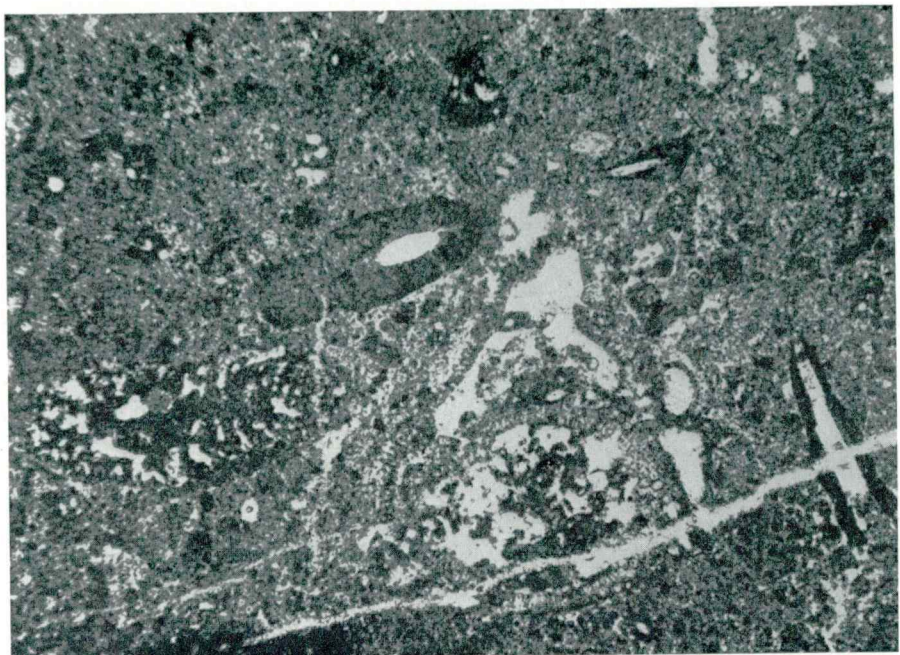


PLANCHE XLVII

Fig. 1

Calcaire peu bitumineux à Cyanophytes ( $\times 30$ ). Pl. mince 833-57  
Bordure nord de la Zetska ravnica, Dečić  
MALM SUPÉRIEUR (KIMMERIDGIEN SUPÉRIEUR)

Fig. 2

Calcaire peu bitumineux à Cyanophytes et «Lituonella» ( $\times 26$ ). Pl. mince 842-57  
Bordure nord de la Zetska ravnica, Dečić  
MALM SUPÉRIEUR (KIMMERIDGIEN SUPÉRIEUR)

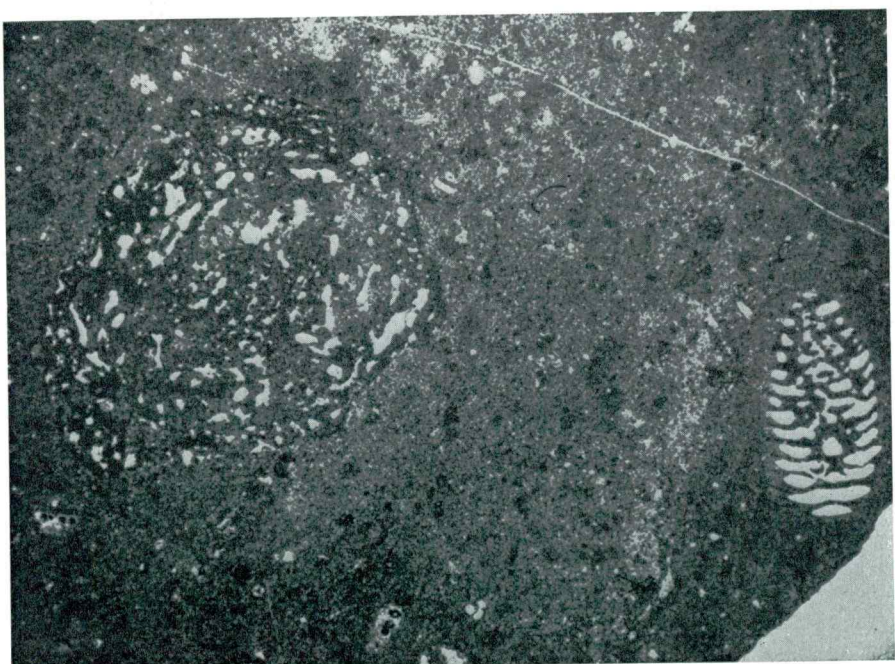
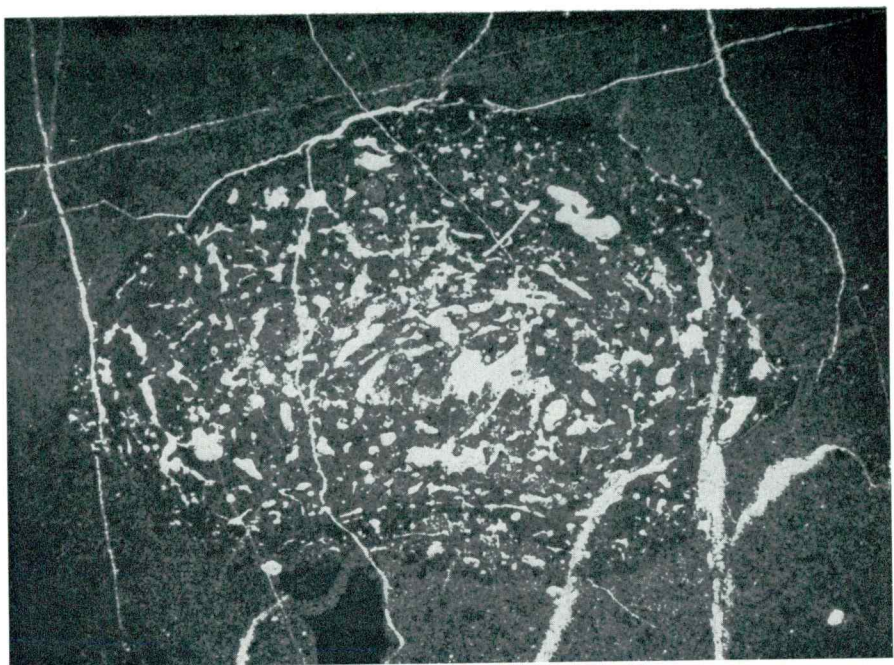


PLANCHE XLVIII

Fig. 1 et 2

Calcaire peu bitumineux à «*Lituonella*», *Pseudocyclammina*, *Kurnubia palastiniensis* Henson, autres Foraminifères et Algues: Cyanophytes et *Clypeina jurassica* Favre ( $\times 17$ ). Pl. mince 1124 et 1124a-57

Bordure nord de la Zetska ravnica, environs de Skorać

MALM SUPÉRIEUR (KIMMERIDGIEN SUPÉRIEUR)



PLANCHE XLIX

Fig. 1

Calcaire bitumineux à Ostréidés ( $\times 17,5$ ). Pl. mince 1181-57  
Bordure nord de la Zetska ravnica — Mileš, Kečeva  
MALM SUPÉRIEUR (KIMMÉRIDGIEN SUPÉRIEUR-PORTLANDIEN)

Fig. 2

Calcaire légèrement bitumineux à Charophytes et Ostracodes ( $\times 25,5$ ). Pl. mince 313-57  
Bordure nord de la Zetska ravnica, Mileš  
MALM SUPÉRIEUR (KIMMÉRIDGIEN SUPÉRIEUR-PORTLANDIEN)

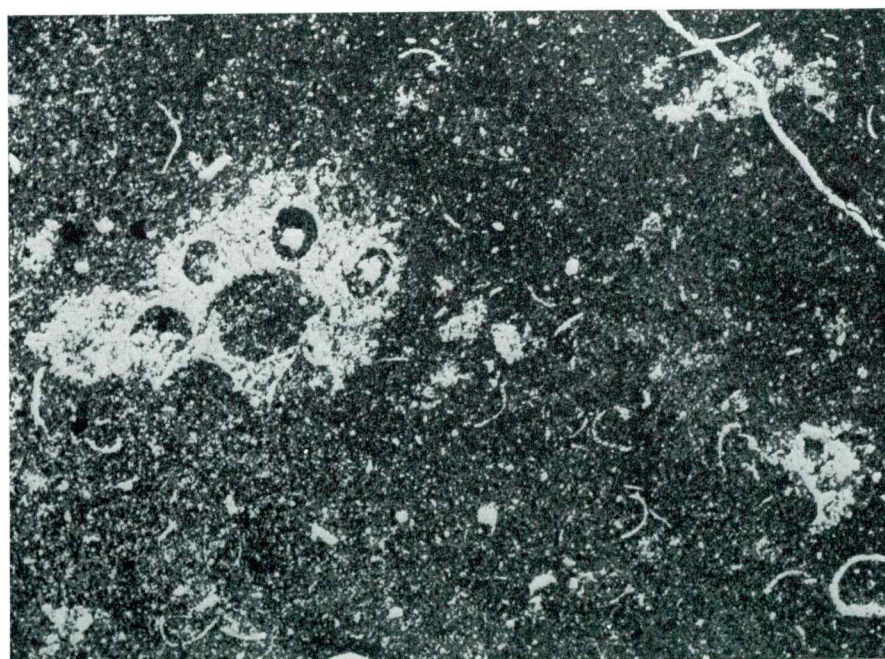


PLANCHE L

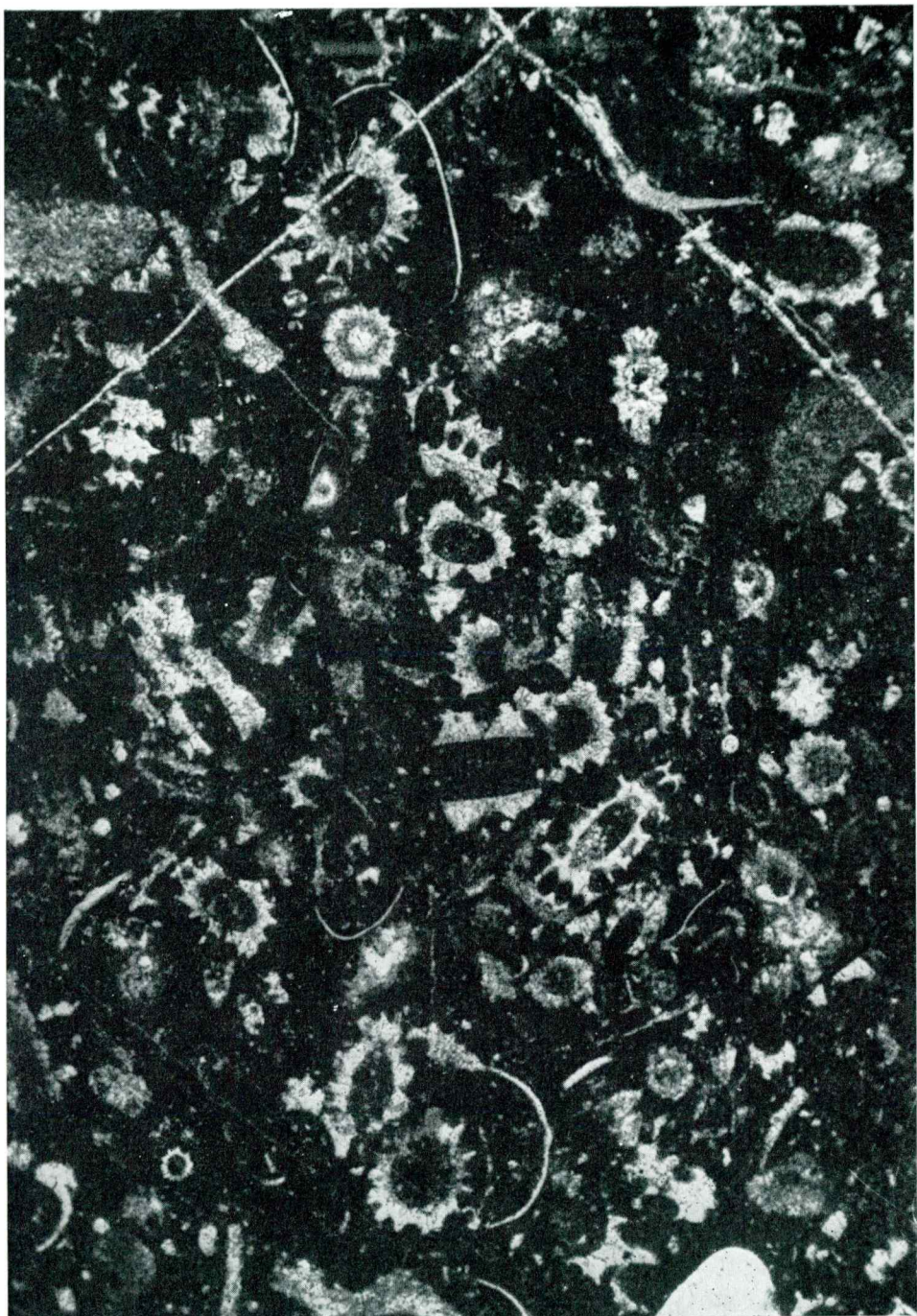
Fig. 1

Calcaire légèrement bitumineux à *Pianella grudii* Radoičić et Ostracodes ( $\times 30$ ).

Pl mince 340 a-57. Dans l'association: Charophytes

Bordure nord de la Zetska ravnica, Dečić

MALM SUPÉRIEUR (KIMMÉRIDGIEN SUPÉRIEUR-PORTLANDIEN)



9 — Geologija št. 9

PLANCHE LI

Fig. 1

Calcaire bitumineux à Ostracodes et Charophytes ( $\times 18$ ). Pl. mince 1182-57  
Bordure nord de la Zetska ravnica, Mileš  
MALM SUPÉRIEUR (KIMMÉRIDGIEN SUPÉRIEUR-PORTLANDIEN)

Fig. 2

Calcaire peu bitumineux à rares oolithes ( $\times 27,5$ ). Pl. mince 1188-57  
Bordure nord de la Zetska ravnica, Mileš  
MALM SUPÉRIEUR (KIMMÉRIDGIEN SUPÉRIEUR-PORTLANDIEN)

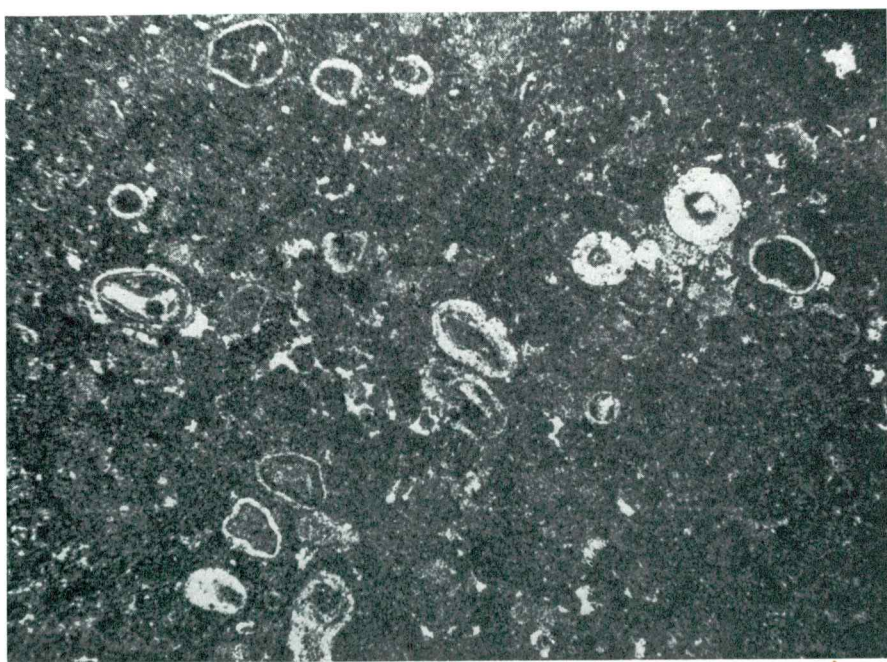
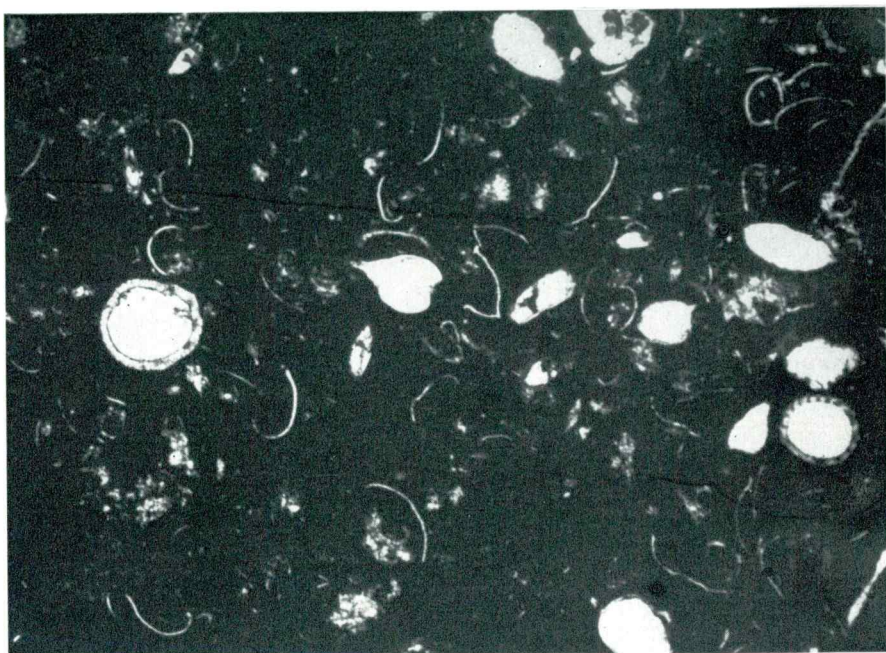


PLANCHE LII

Fig. 1 et 2

Calcaire peu bitumineux à Charophytes (fig. 1:  $\times 21$ , fig. 2:  $\times 18$ ). Pl. minces  
866 et 867-57

Bordure nord de la Zetska ravnica, Mileš  
MALM SUPÉRIEUR (PORTLANDIEN)

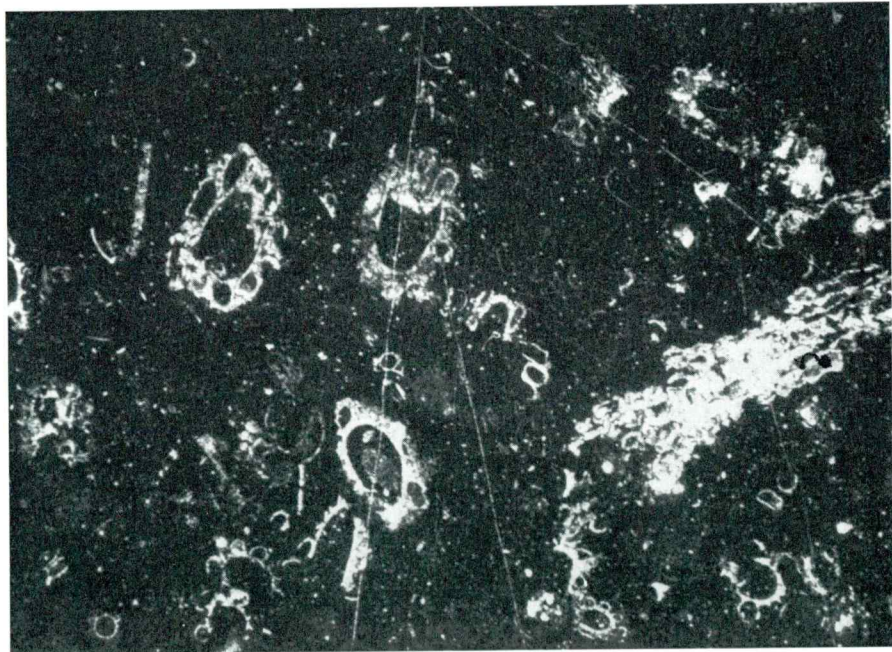
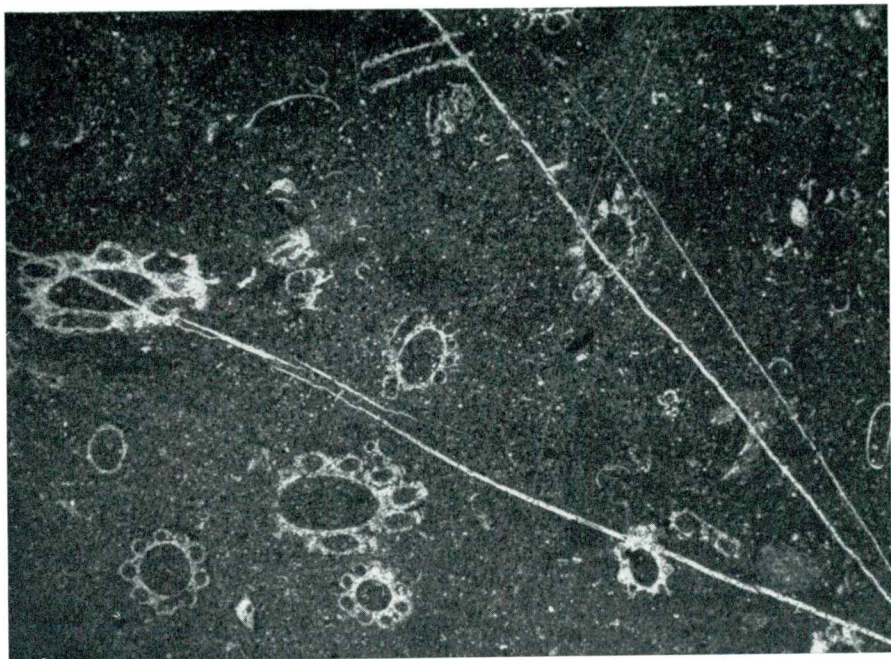


PLANCHE LIII

Fig. 1

Calcaire microgrumeleux à Charophytes ( $\times 48$ ). Pl. mince 186 a-57  
Bordure nord de la Zetska ravnica, Mileš  
MALM SUPÉRIEUR (PORTLANDIEN)

Fig. 2

Calcaire dolomitique à *Clypeina jurassica* Favre ( $\times 27,5$ ). Pl. mince 1191-57  
Bordure nord de la Zetska ravnica, Mileš  
MALM SUPÉRIEUR (PORTLANDIEN)

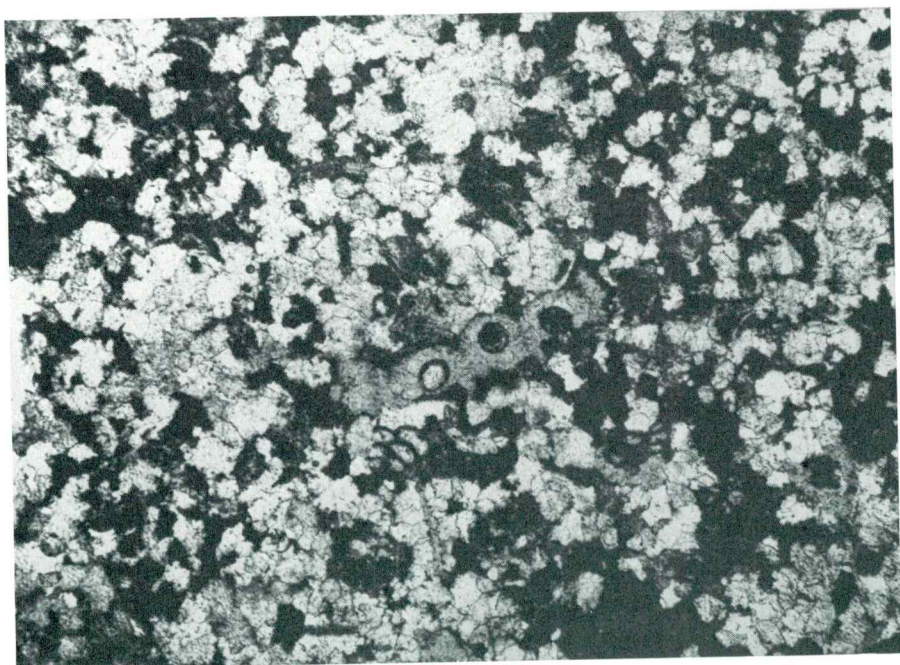
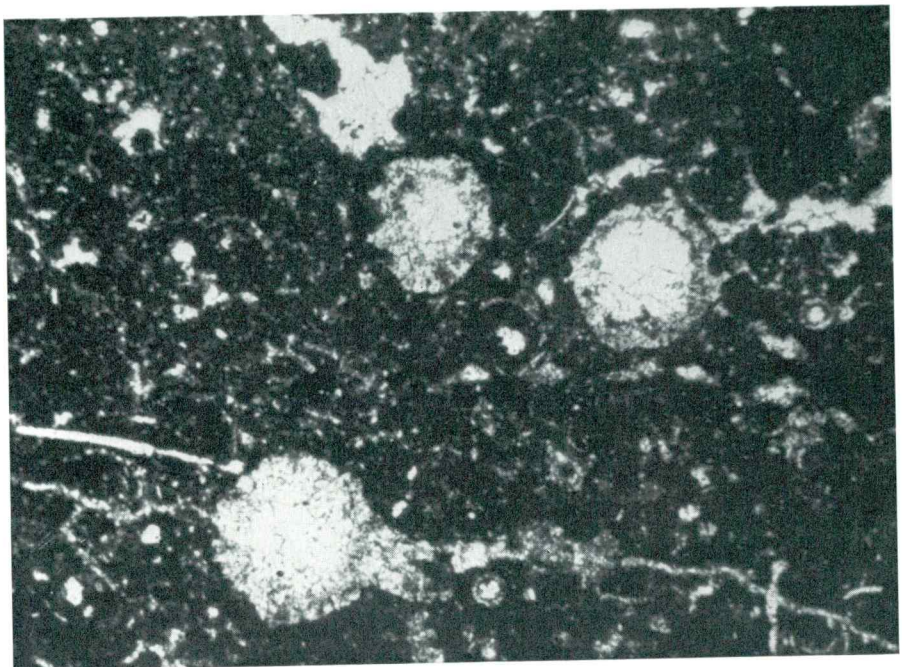


PLANCHE LIV

Fig. 1

Calcaire bitumineux à *Clypeina jurassica* Favre et rares Foraminifères ( $\times 15$ ).  
Pl. mince 245-57  
Bordure nord de la Zetska ravnica, Dečić  
MALM SUPÉRIEUR (PORTLANDIEN)

Fig. 2

Calcaire peu bitumineux à *Salpingoporella annulata* Carozzi ( $\times 27,5$ ). Pl. mince  
1192-57. Dans l'association: Tintinnines aberrantes  
Bordure nord de la Zetska ravnica, Mileš  
VALANGINIEN

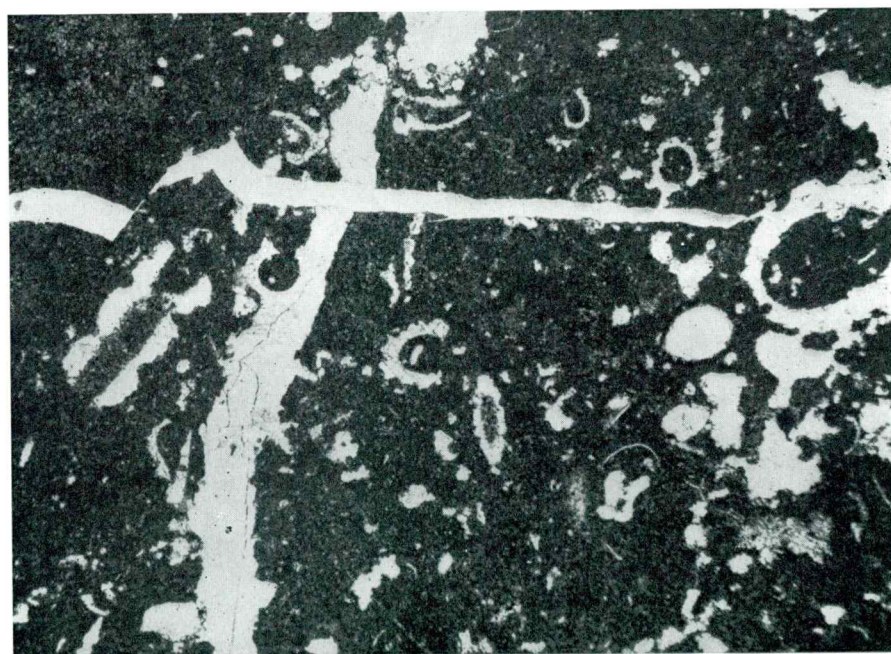


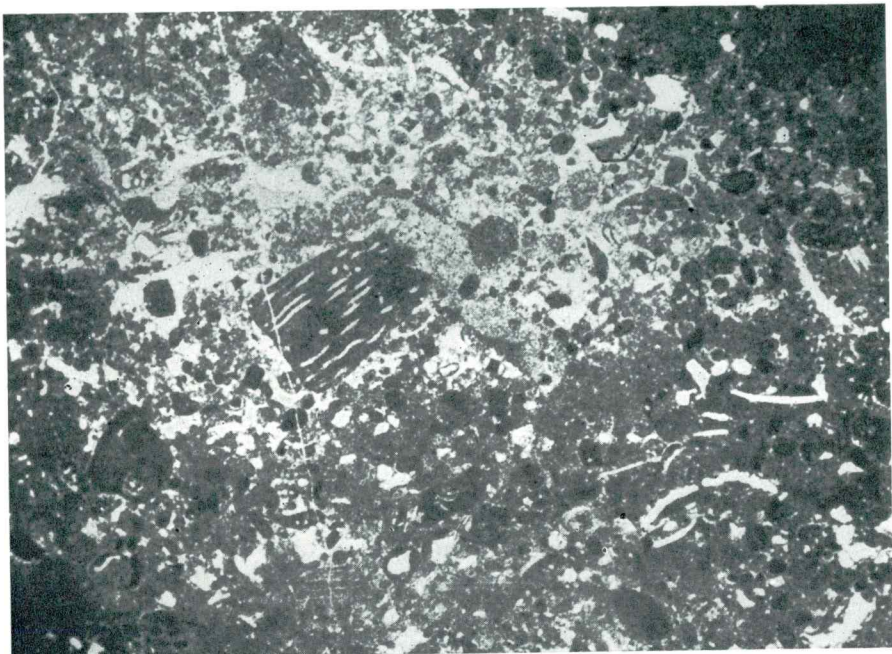
PLANCHE LV

Fig. 1 et 2

Calcaire grumeleux, peu bitumineux, à *Favreina salevensis* (Paréjas), Tintinnines aberrantes, etc. ( $\times 26$ ). Pl. mince 8-57

Bordure nord de la Zetska ravnica, Dečić

VALANGINIEN





**LA SÉRIE JURASSIQUE DE LA MONTAGNE VOJNIK**

(Tableau № 4)

Planches: LVI à LXXII

PLANCHE I.VI

Fig. 1

Calcaire organogène à petits Brachiopodes, débris d'Echinodermes et de Mollusques, et Foraminifères: *Spirillina liassica* (Jones), *Trocholina* sp. nov. et Lagénidés ( $\times 45$ ). Pl. mince 785-62

Montagne Vojnik, environs de Lipova Ravan

LIAS INFÉRIEUR

Fig. 2

Calcaire à *Permodiscus sinuosus* (Weynschenk) ( $\times 32$ ). Pl. mince 787-62  
Montagne Vojnik, environs de Lipova Ravan

LIAS INFÉRIEUR

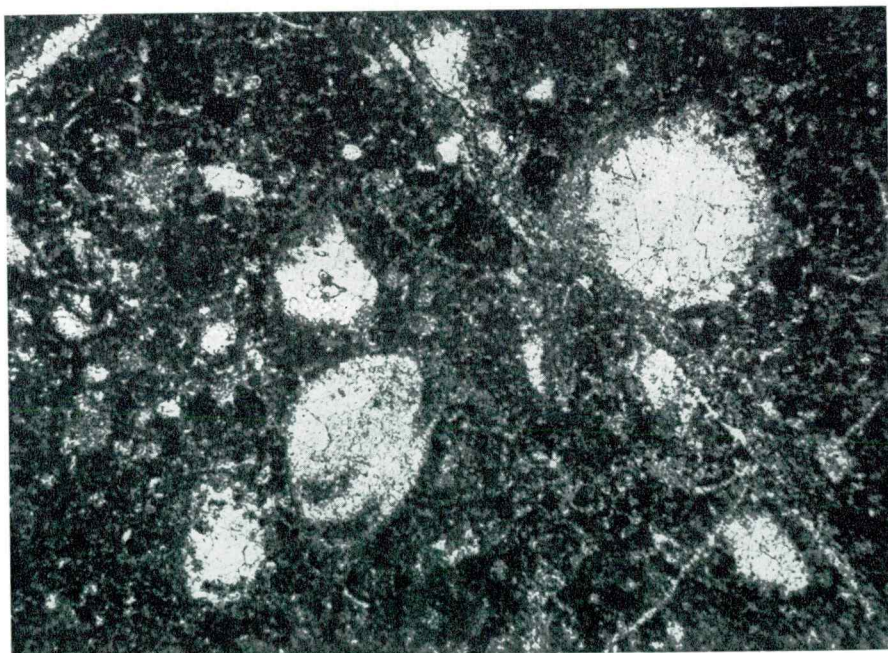
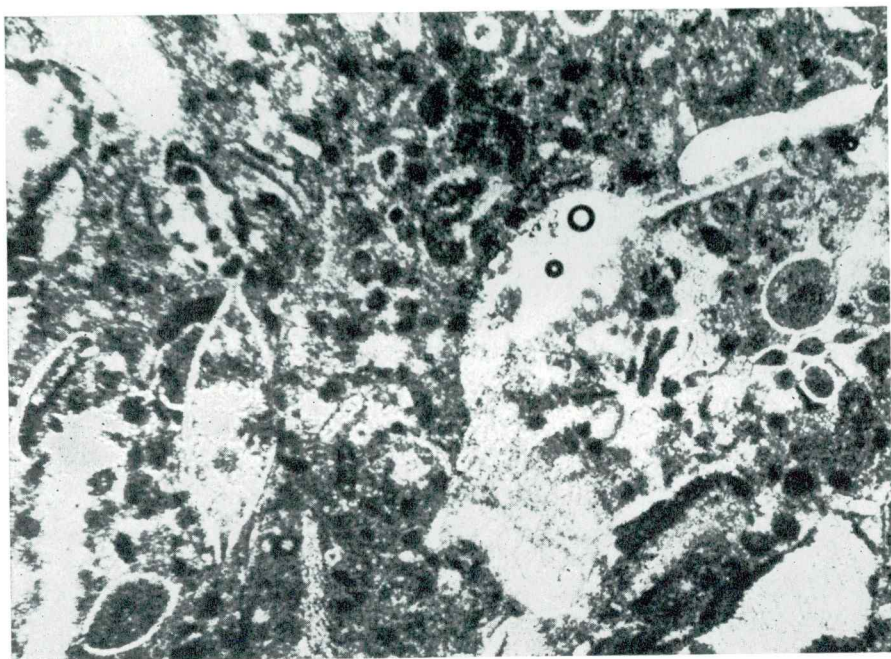


PLANCHE LVII

Fig. 1 et 2

Calcaire microgrumeux, en partie subcristallin à *Triassina hantkeni* Majzon, *Permodiscus sinuosus* (Weynschenk) et autres Foraminifères peu abondants ( $\times 32$ ). Pl. minces 788 et 788a-62. Dans l'association: Dasycladacées (*Sestro-sphaera*)

Montagne Vojnik, environs de Lipova Ravan

LIAS INFÉRIEUR

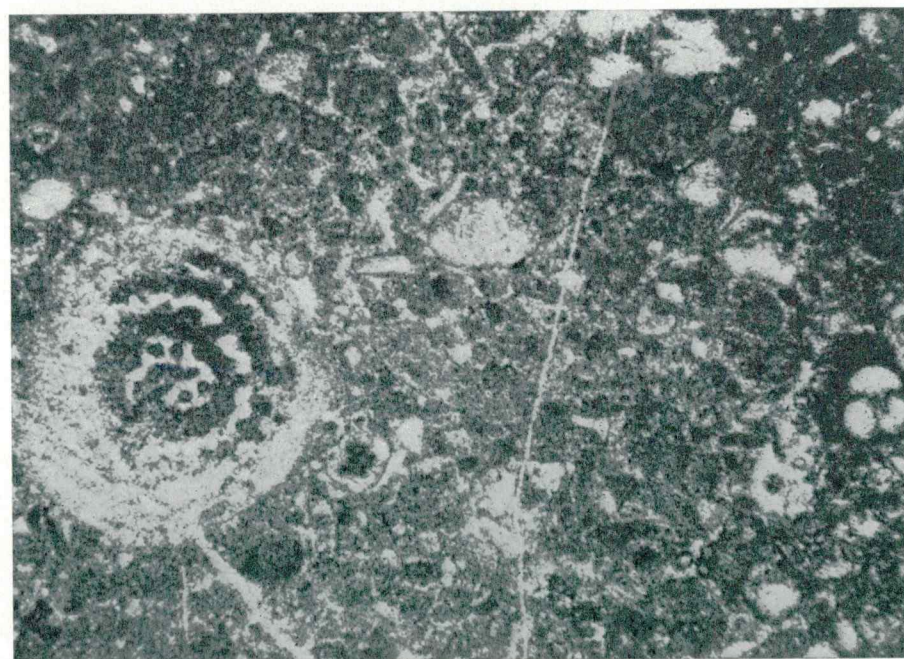
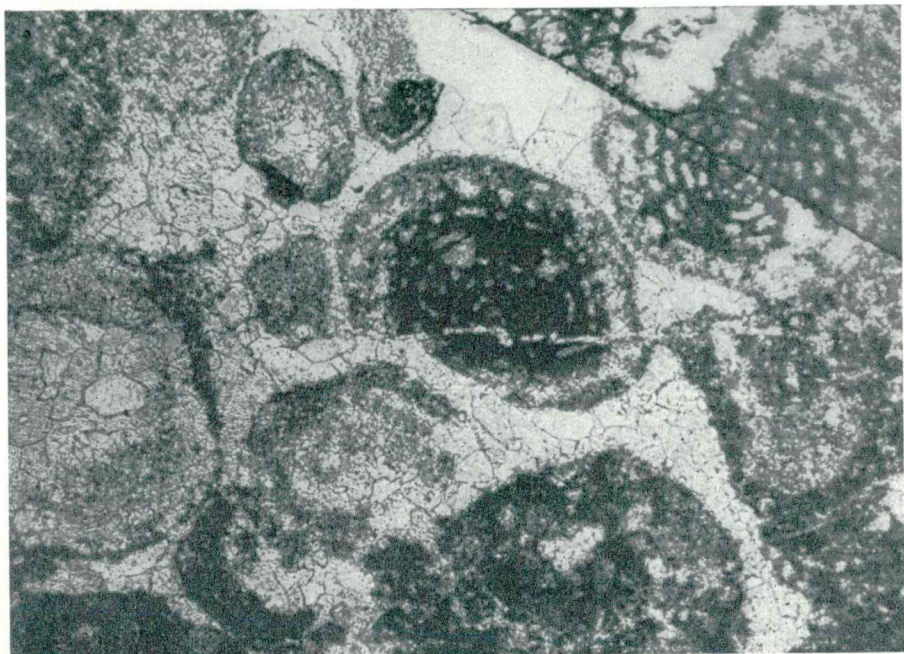


PLANCHE LVIII

Fig. 1 et 2

Calcaire microgrumeleux à *Sestrophaera liasina* Pia, *Permodiscus sinuosus* (Weynschenk) (très recristallisé), etc. ( $\times 32$ ). Pl. mince 788 a et 788 b-62  
Montagne Vojnik, environs de Lipova Ravan  
LIAS INFÉRIEUR

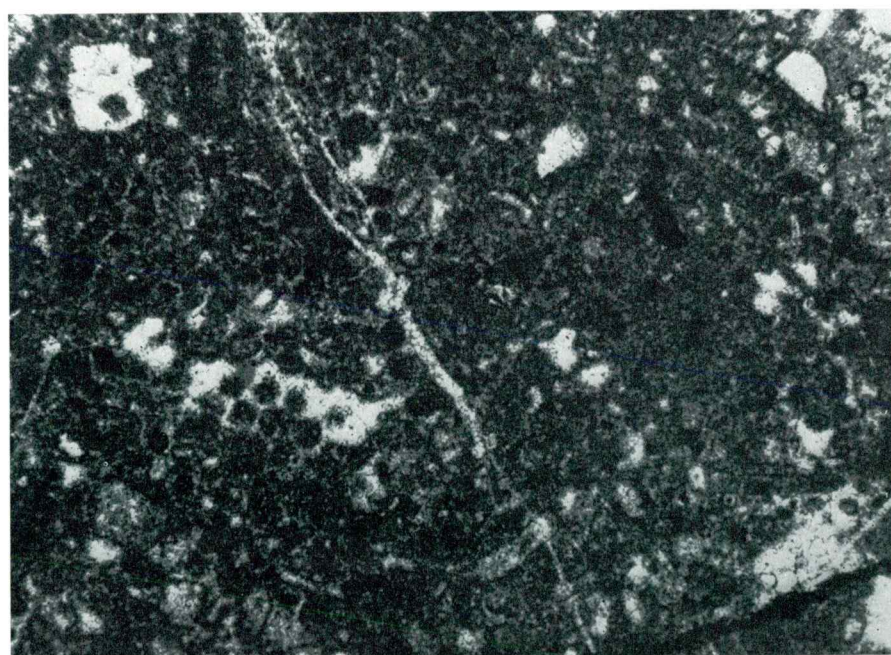
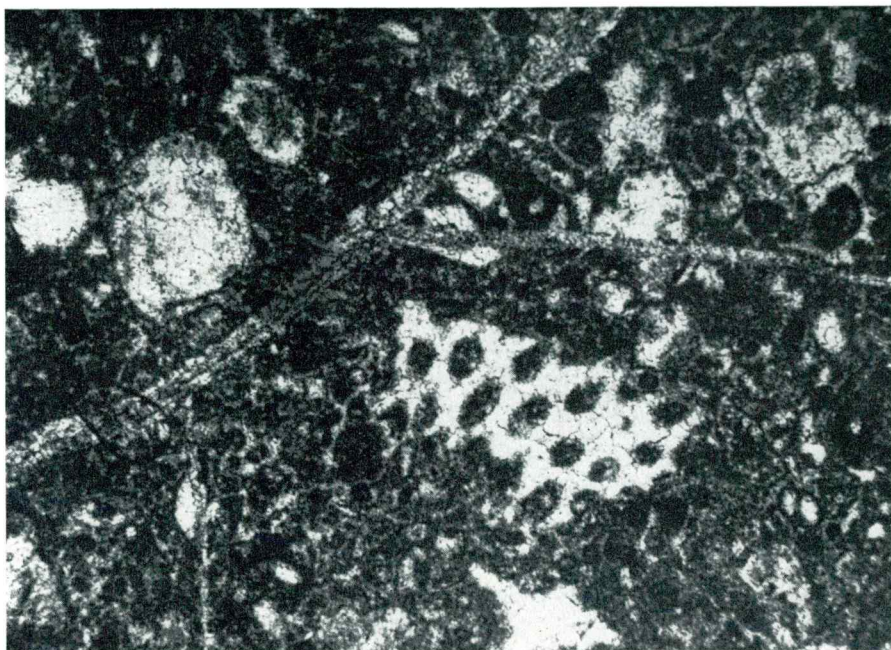


PLANCHE LIX

Fig. 1

Calcaire détritique, subcristallin, à *Trocholina* spec. nov., *Vidalina martana* Farinacci, Lagénidés et débris d'Echinodermes ( $\times 32$ ). Pl. mince 789-62  
Montagne Vojnik, environs de Lipova Ravan  
LIAS (partie moyenne de la série liasique)

Fig. 2

Calcaire légèrement marneux à Lagénidés (*Cristellaria* sp. et autres), débris d'Echinodermes, etc. ( $\times 35$ ). Pl. mince 791-62  
Montagne Vojnik, environs de Lipova Ravan  
LIAS (partie moyenne de la série liasique)

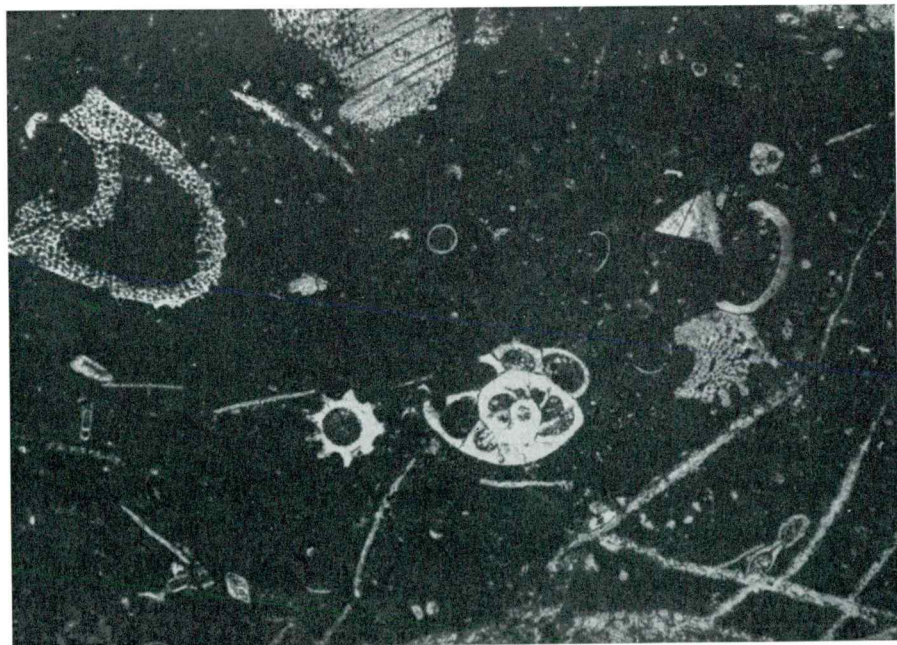
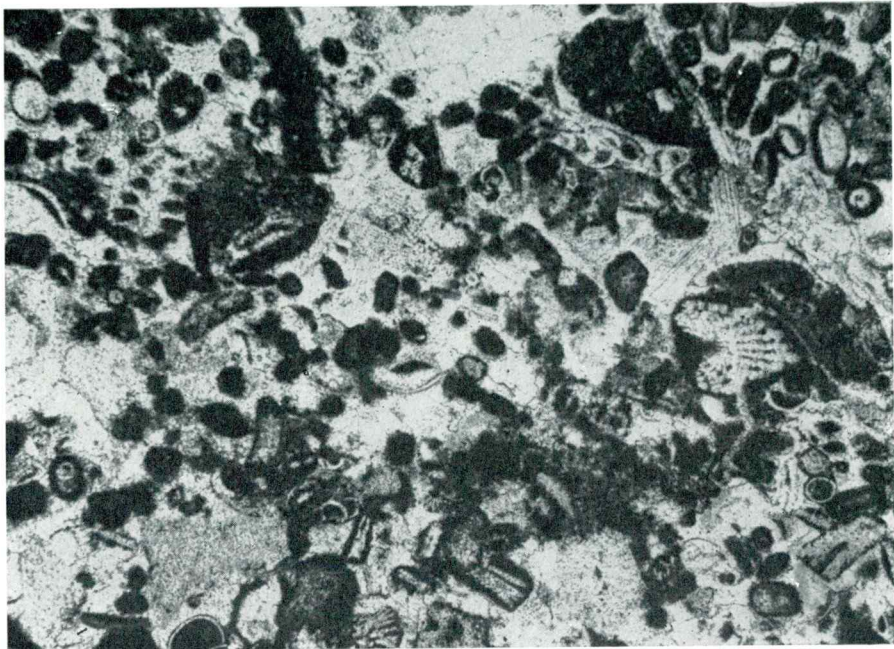


PLANCHE LX

Fig. 1 et 2

Calcaire finement organogène-détritique à débris d'Echinodermes et de Mollusques, petits Brachiopodes et Foraminifères: *Vidalina martana* Farinacci et nombreuses Lagénidés (fig. 1 —  $\times 21$ , fig. 2 —  $\times 45$ ). Pl. mince 88-54. Dans l'association: *Spirillina lassica* (Jones)

Montagne Vojnik, environs de Lipova Ravan

LIAS SUPÉRIEUR («Ammonitico rosso inferiore»)

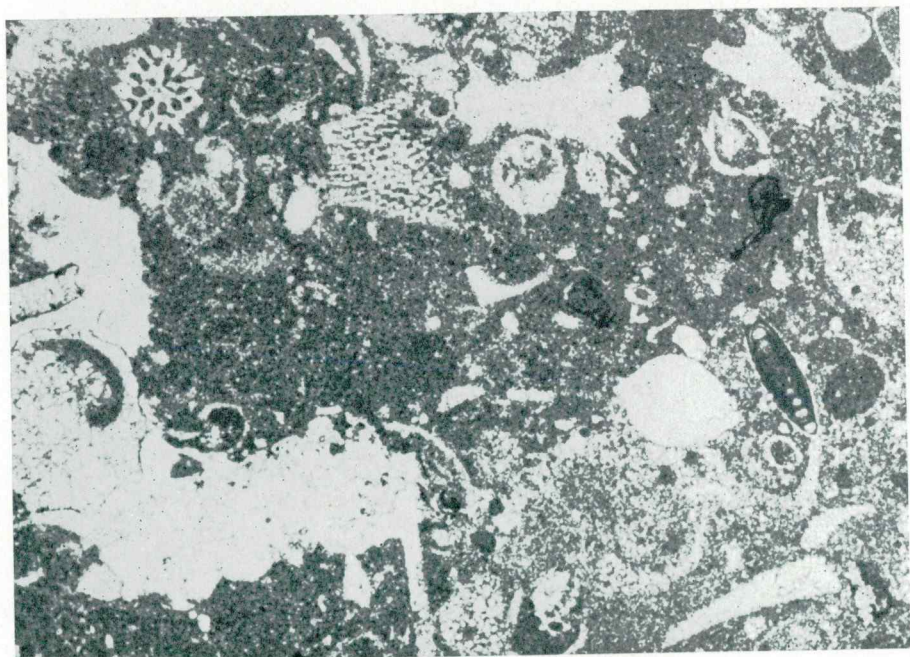
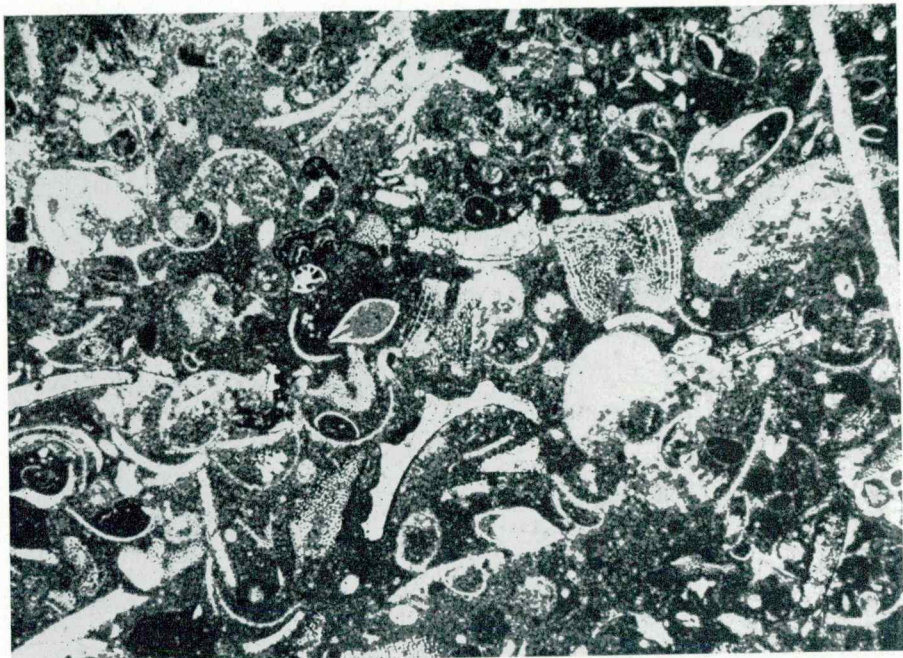


PLANCHE LXI

Fig. 1

Calcaire finement organogène-détritique à Lagénidés, loges initiales d'Ammonites et petits Ammonites, Brachiopodes, spicules de Spongiaires et débris de Mollusques et d'Echinodermes ( $\times 32$ ). Pl. mince 90-54. Dans l'association: *Spirillina liassica* (Jones) et *Vidalina martana* Farinacci

Montagne Vojnik, environs de Lipova Ravan

LIAS SUPÉRIEUR

Fig. 2

Calcaire organogène-détritique à débris de Mollusques et d'Echinodermes, petits Ammonites, spicules de Spongiaires et Foraminifères: *Vidalina martana* Farinacci, *Trocholina cf. conica* (Schlumb.), Lagénidés, etc. ( $\times 35$ ). Pl. mince 794-62 Montagne Vojnik, environs de Lipova Ravan

LIAS SUPÉRIEUR

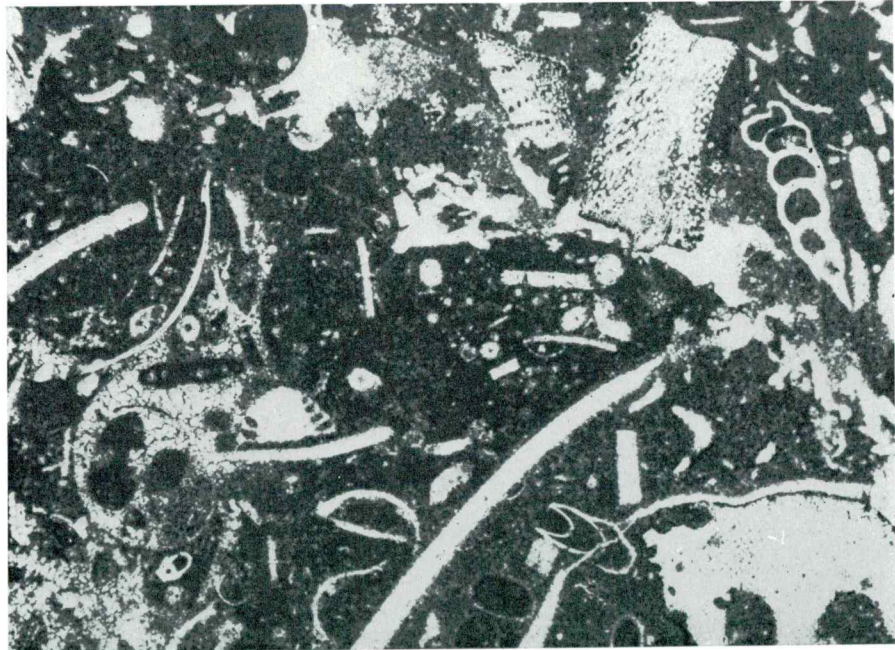
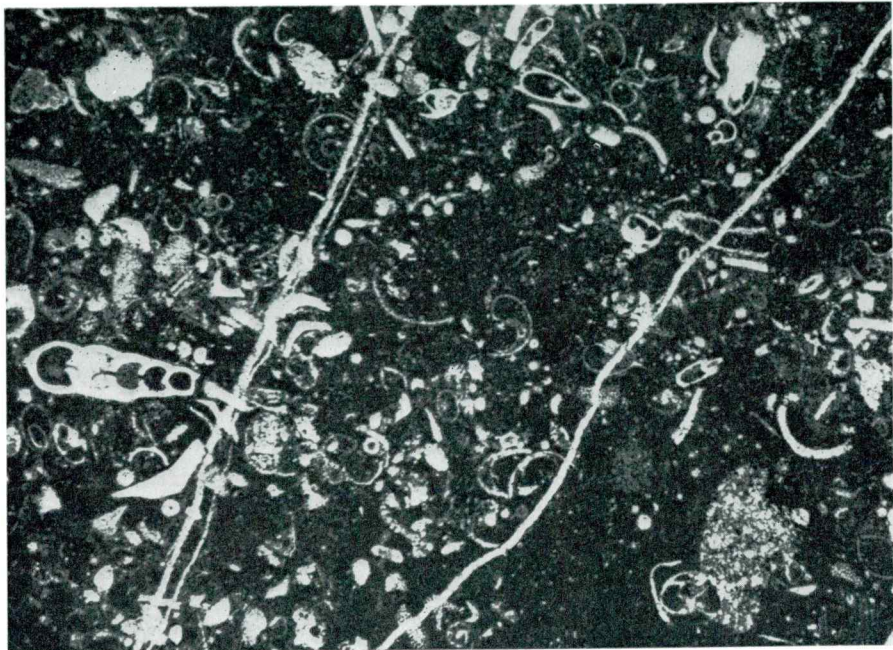


PLANCHE LXII

Fig. 1 et 2

Calcaire légèrement marneux à loges initiales d'Ammonites et petits Ammonites, Microgastéropodes, Spongiaires, débris d'Echinodermes et Foraminifères: *Spirillina liassica* (Jones), *Trocholina* spec. nov., Lagénidés (fig. 1 —  $\times 32$ , fig. 2 —  $\times 35$ ). Pl. mince 96-54 (différemment vue la même plaque mince: sur la fig. 1 — essaim d'Ammonites)

Montagne Vojnik, environs de Lipova Ravan

LIAS SUPERIEUR

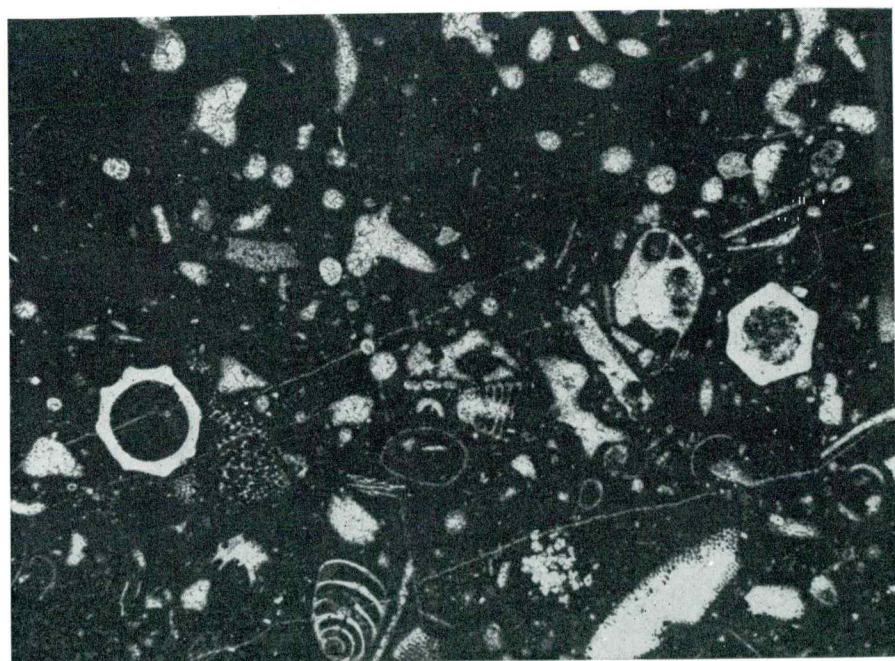
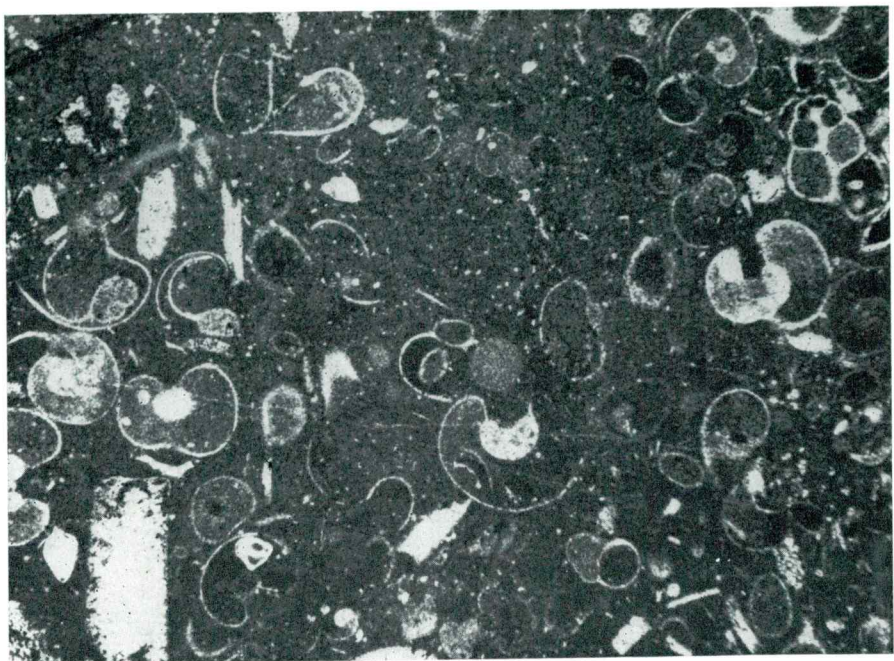


PLANCHE LXIII

Fig. 1

Calcaire marneux, finement organogène-détritique, à débris d'Echinodermes et de Mollusques, petits Ammonites, spicules de Spongiaires et Foraminifères: *Spirillina liassica* (Jones) et aut. ( $\times 50$ ). Pl. mince 794 a-62

Montagne Vojnik, environs de Lipova Ravan

LIAS SUPÉRIEUR

Le faciès des calcaires rougeâtres aux Céphalopodes est très répandu dans la région de la montagne Vojnik et renferme la faune abondante: *Hildoceras bifrons* Brug., *Hildoceras comensis* Buch., *Hildoceras laevisoni* Sim., *Phylloceras nilssoni* Héb., *Phylloceras gardanum* Vacek, *Phylloceras heterophyllum* Sow., *Lythoceras velifer* Men., *Lythoceras francisci* Opp., *Nautilus* spp., *Atractites* spp., etc.

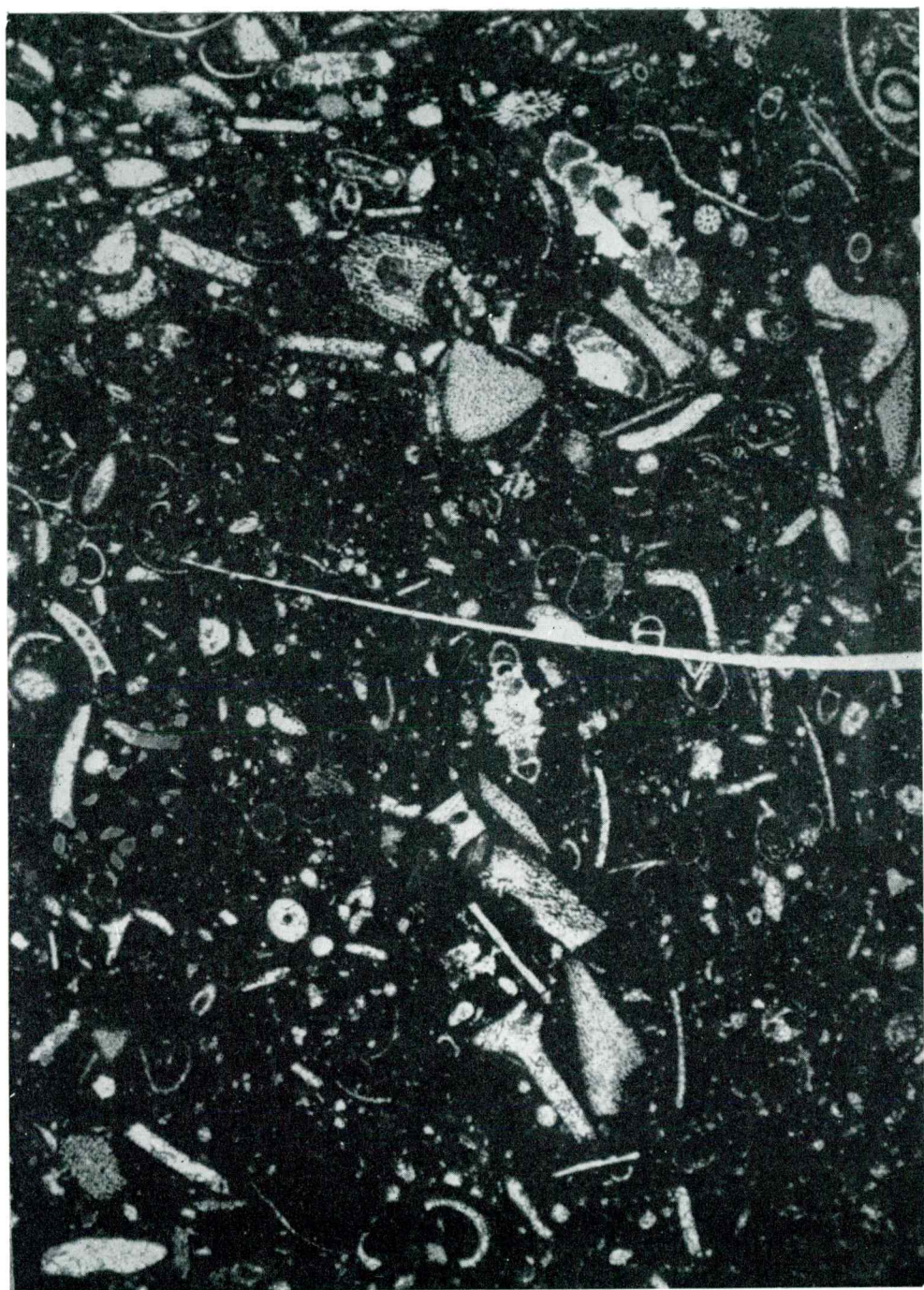


PLANCHE LXIV

Fig. 1

Calcaire légèrement marneux à débris d'Echinodermes, Microgastéropodes,  
*Spirillina liassica* (Jones), etc. ( $\times 45$ ). Pl. mince 94-54  
Montagne Vojnik, environs de Lipova Ravan  
LIAS SUPÉRIEUR (couches les plus jeunes)

Fig. 2

Calcaire finement organogène-détritique à débris d'Echinodermes et de Mollusques et rares Lagénidés ( $\times 19$ ). Pl. mince 2301-60  
Montagne Vojnik, environs de Lipova Ravan  
LIAS SUPÉRIEUR-DOGGER INFÉRIEUR

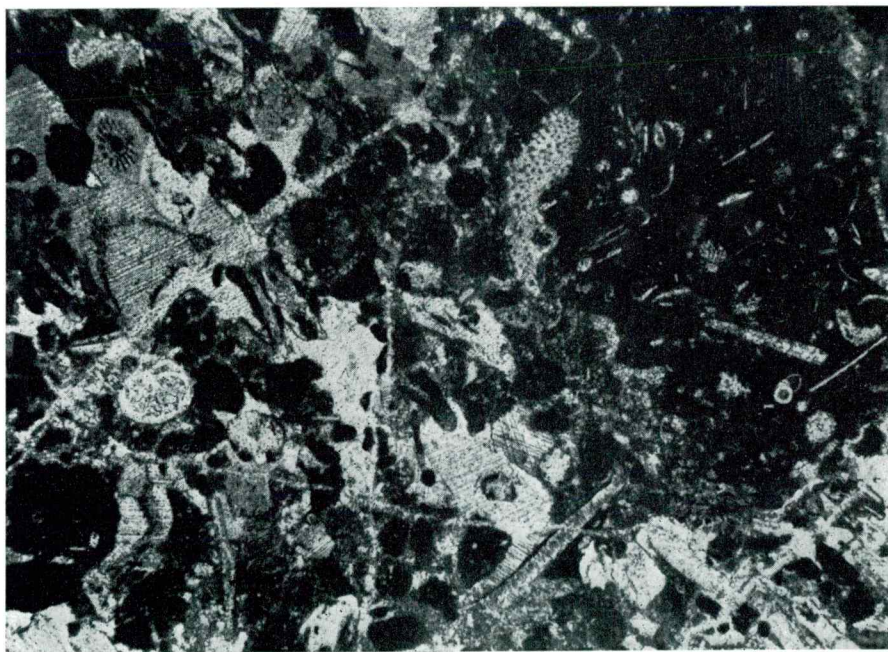
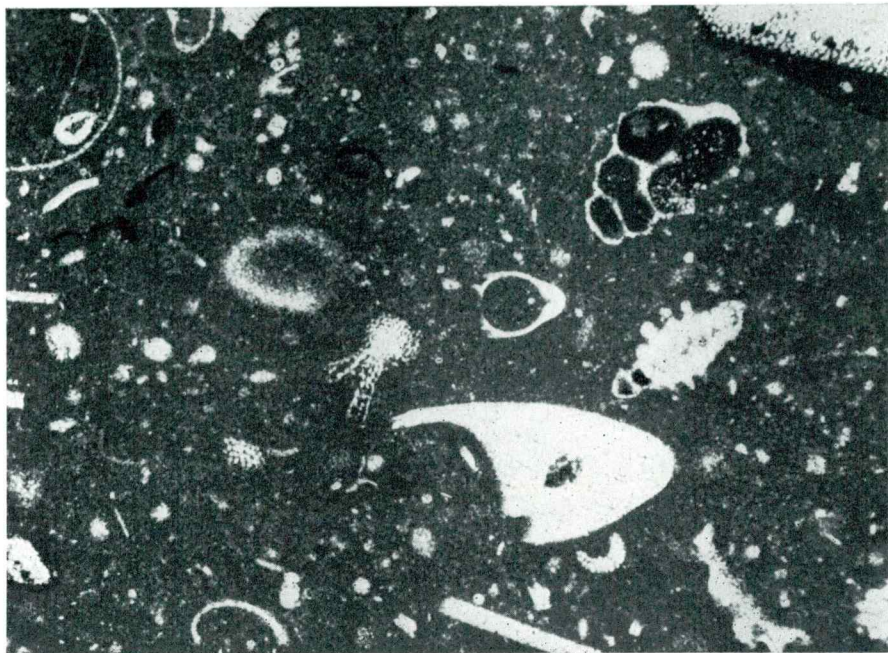


PLANCHE LXV

Fig. 1

Calcaire à *Globigerina helveto-jurassica* Haeussler et débris de Lamellibranches ( $\times 100$ ). Pl. mince 2303-60. Dans l'association: *Spirillina* sp.  
Montagne Vojnik, environs de Lipova Ravan  
DOGGER INFÉRIEUR (BAJOCIEN)

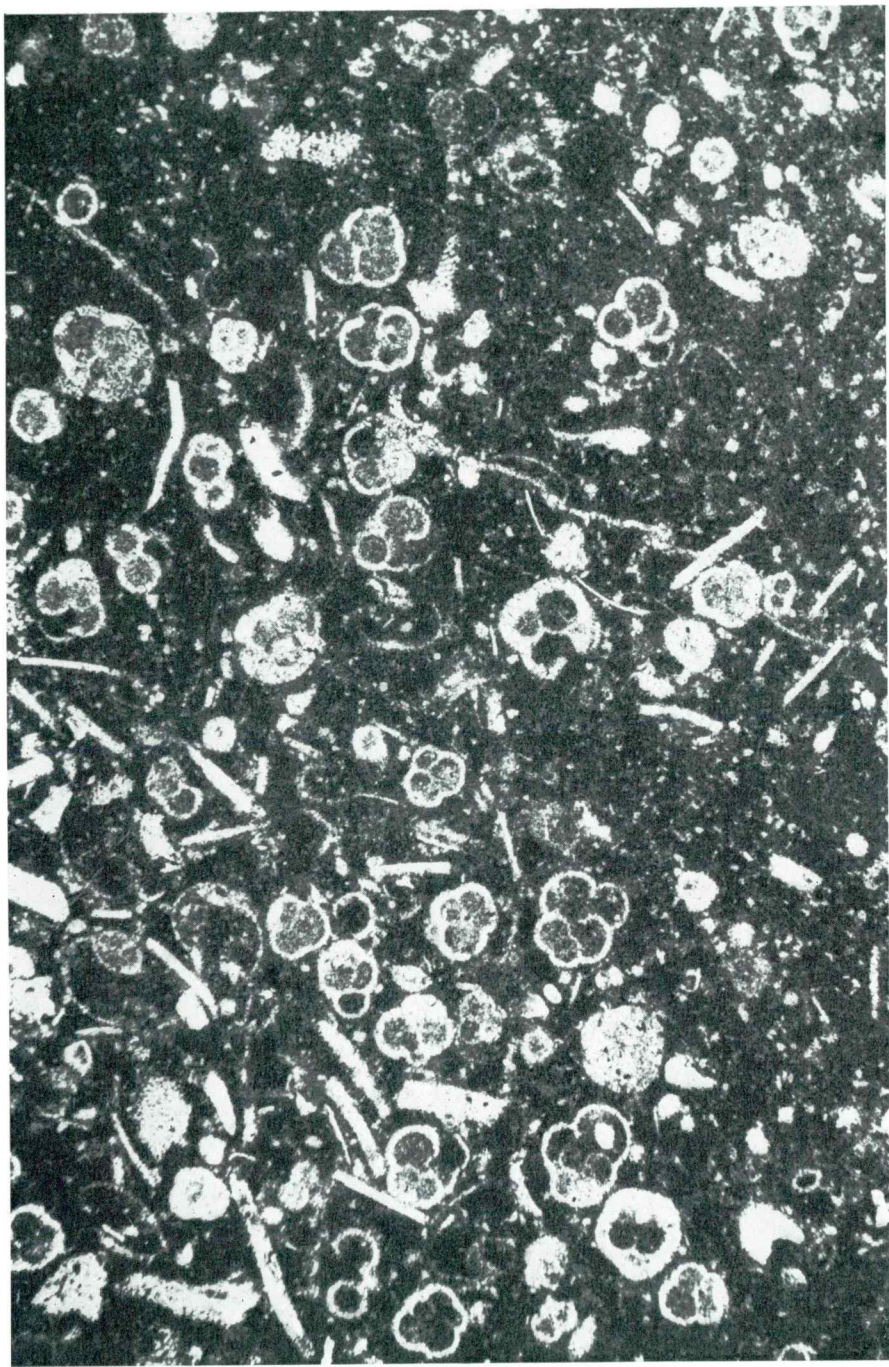


PLANCHE LXVI

Fig. 1

Calcaire microgrumeux à Lamellibranches pélagiques ( $\times 30$ ). Pl. mince 795-62  
Montagne Vojnik, environs de Lipova Ravan  
DOGGER INFÉRIEUR

Fig. 2

Microbrèches à *Pseudocyclammina* sp. ( $\times 19$ ). Pl. mince 797-62. Les composantes: calcaire à Lamellibranches pélagiques et calcaire à Globigérines — rares oolithes dans le ciment  
Montagne Vojnik, environs de Lipova Ravan  
DOGGER INFÉRIEUR

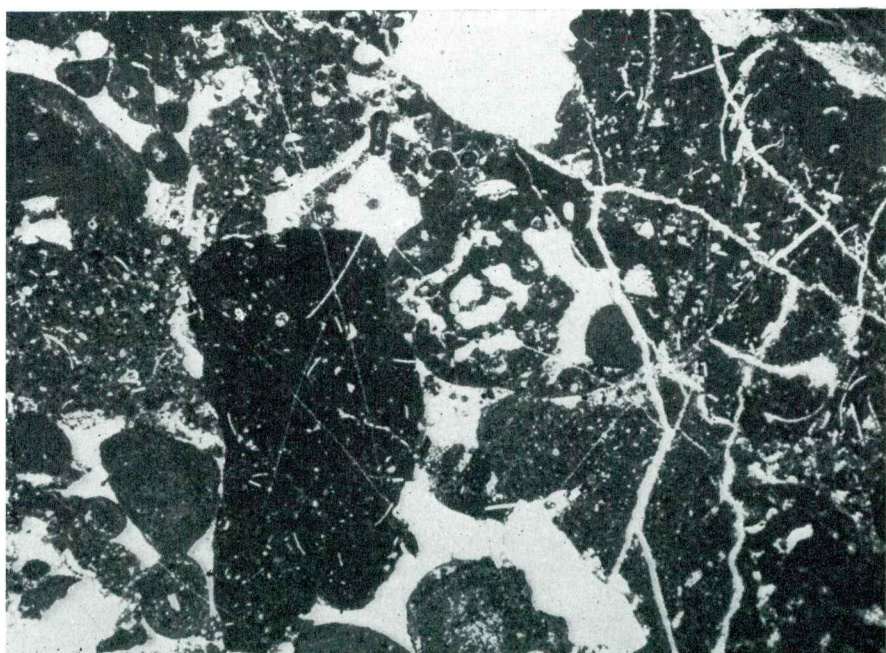


PLANCHE LXVII

Fig. 1 et 2

Calcaire oolithique-détritique à Trocholines ( $\times 45$ ). Pl. minces 796 et 801-62  
Montagne Vojnik, environs de Lipova Ravan  
DOGGER SUPÉRIEUR

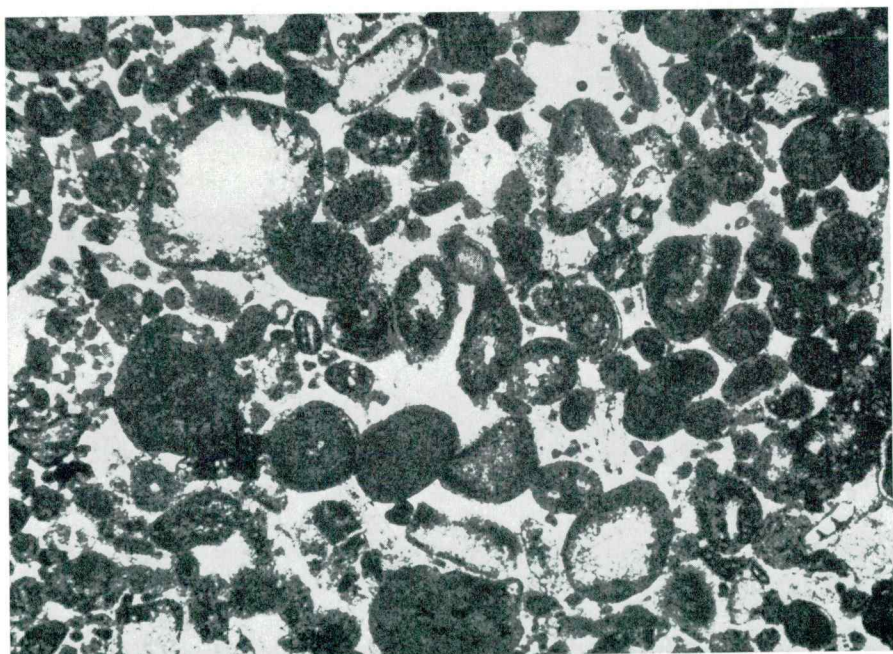
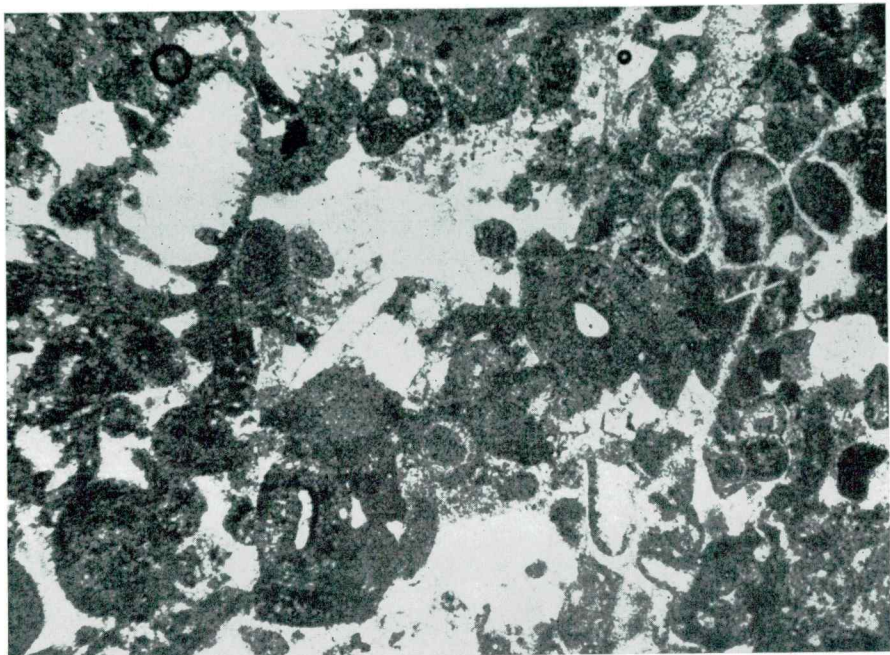


PLANCHE LXVIII

Fig. 1

Calcaire oolithique à *Protopeneroplis striata* Weynschenk ( $\times 72$ ). Pl. mince  
2306-60

Montagne Vojnik, environs de Lipova Ravan  
DOGGER SUPÉRIEUR

Fig. 2

Calcaire grumeleux, subcristallin, à fin débris divers et *Aeolisaccus* sp. ( $\times 30$ ).  
Pl. mince 2307-60

Montagne Vojnik, environs de Lipova Ravan  
DOGGER SUPÉRIEUR-MALM INFÉRIEUR

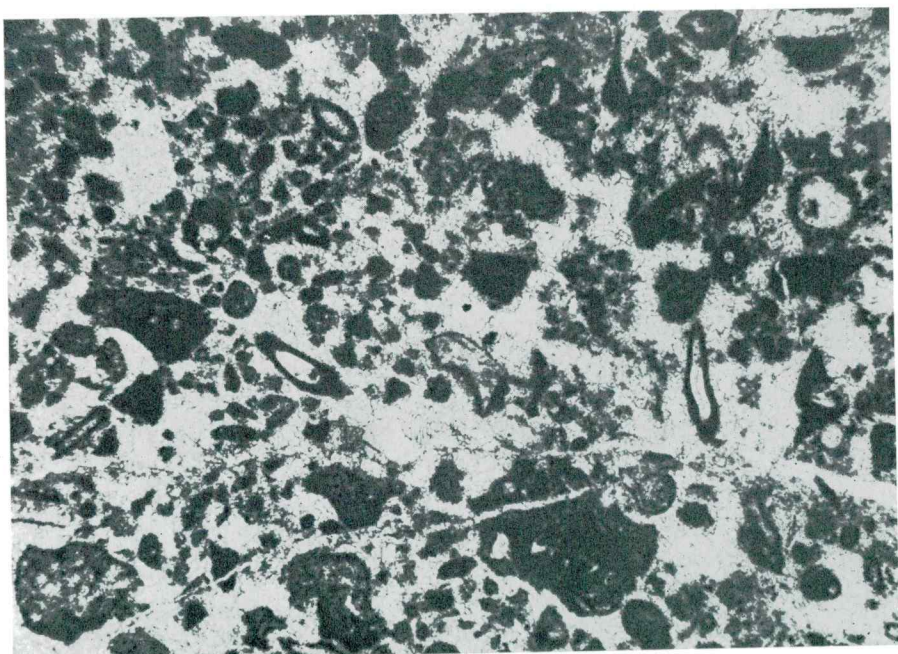
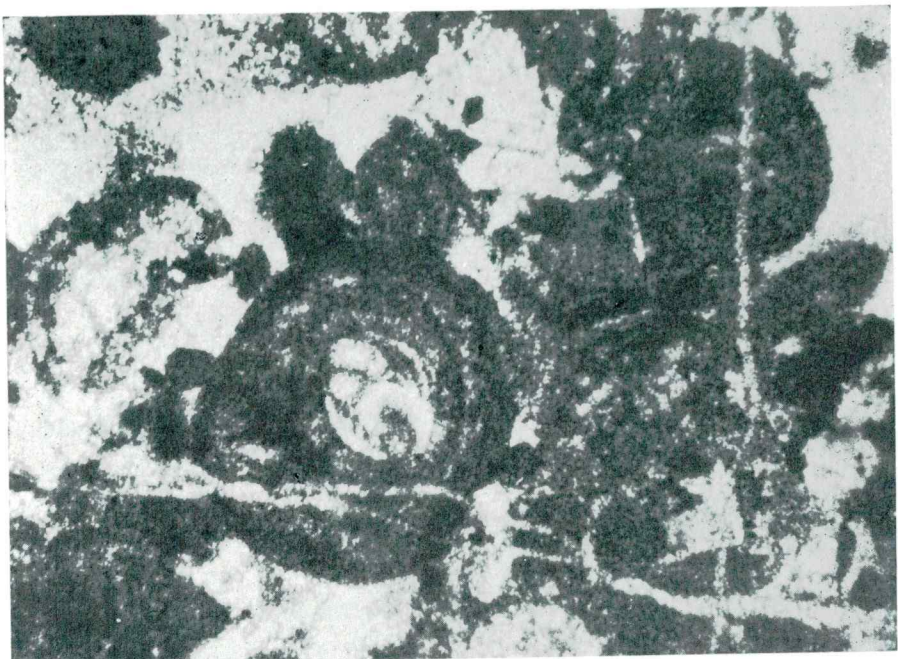


PLANCHE LXIX

Fig. 1

Calcaire grumeleux, subcristallin, à rares Foraminifères (Miliolidés et autres),  
( $\times 60$ ). Pl. mince 2307 a-62  
Montagne Vojnik, environs de Lipova Ravan  
DOGGER SUPÉRIEUR-MALM INFÉRIEUR

Fig. 2

Calcaire à Microproblematica Br 1 (Briozoaires?), ( $\times 30$ ). Pl. mince 2307 b-60  
Montagne Vojnik, environs de Lipova Ravan  
MALM INFÉRIEUR (OXFORDIEN-KIMMÉRIDGIEN)

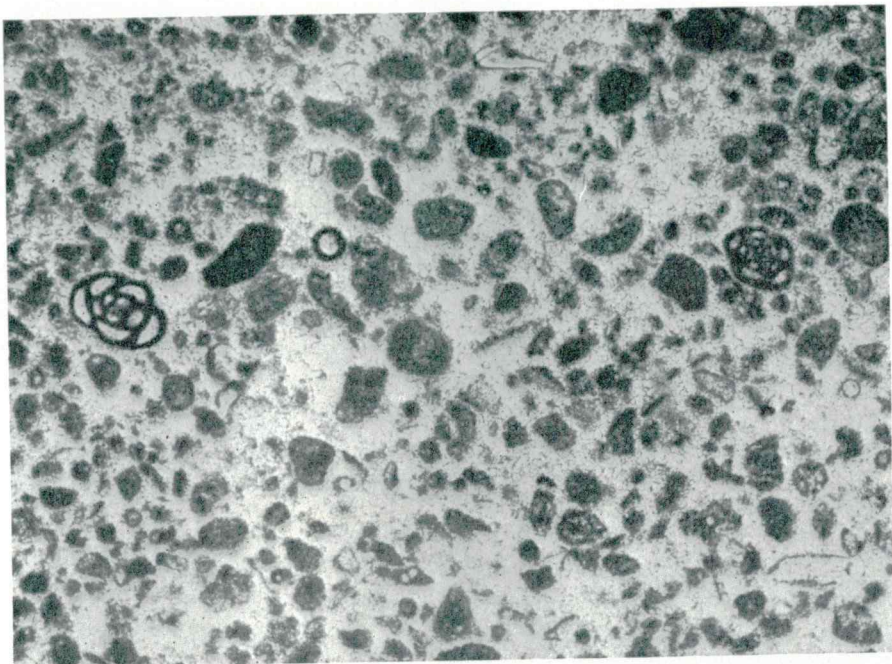


PLANCHE LXX

Fig. 1

Calcaire organogène à Polypiers, Codiacés et Foraminifères. Codiacée croûteuse renferme le Polypies et partiellement une Conicospirillina (C), ( $\times 35$ ). Pl. mince 813-62

Montagne Vojnik, environs de Lipova Ravan  
MALM INFÉRIEUR (OXFORDIEN-KIMMÉRIDGIEN)

Fig. 2

Calcaire marneux à rares Ostracodes, Microgastéropodes et Charophytes ( $\times 35$ ). Pl. mince 814-62

Montagne Vojnik, environs de Lipova Ravan  
MALM SUPÉRIEUR (la série du toit des bauxites)

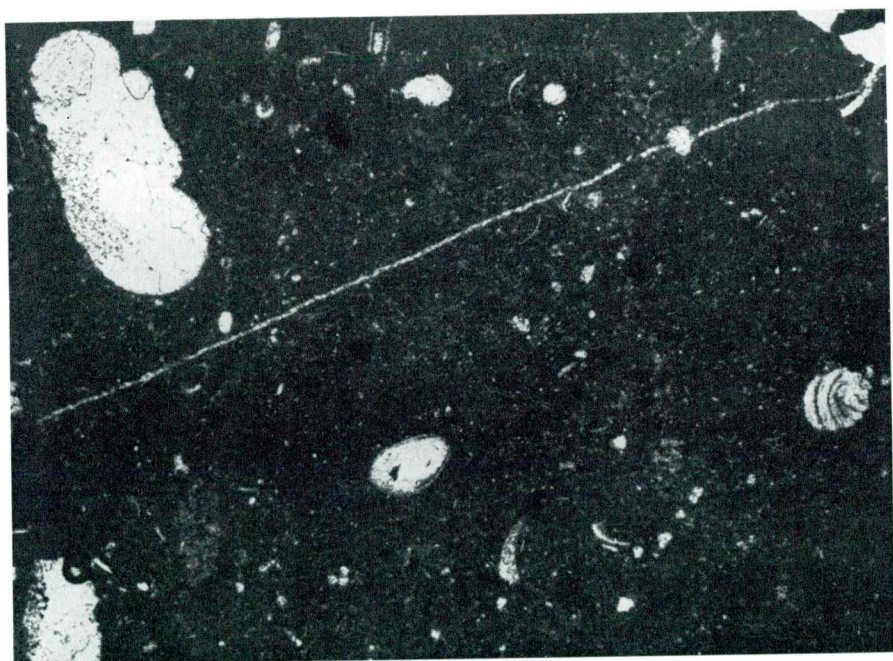


PLANCHE LXXI

Fig. 1

Calcaire marneux à Ostracodes ( $\times 30$ ). Pl. mince 801-62  
Montagne Vojnik, environs de Lipova Ravan  
MALM SUPÉRIEUR (KIMMÉRIDGIEN SUPÉRIEUR-PORTLANDIEN)

Fig. 2

Calcaire marneux à *Pianella grudii* Radoičić et rares Ostracodes ( $\times 32$ ). Pl.  
mince 806-62  
Montagne Vojnik, environs de Lipova Ravan  
MALM SUPÉRIEUR (KIMMÉRIDGIEN SUPÉRIEUR-PORTLANDIEN)

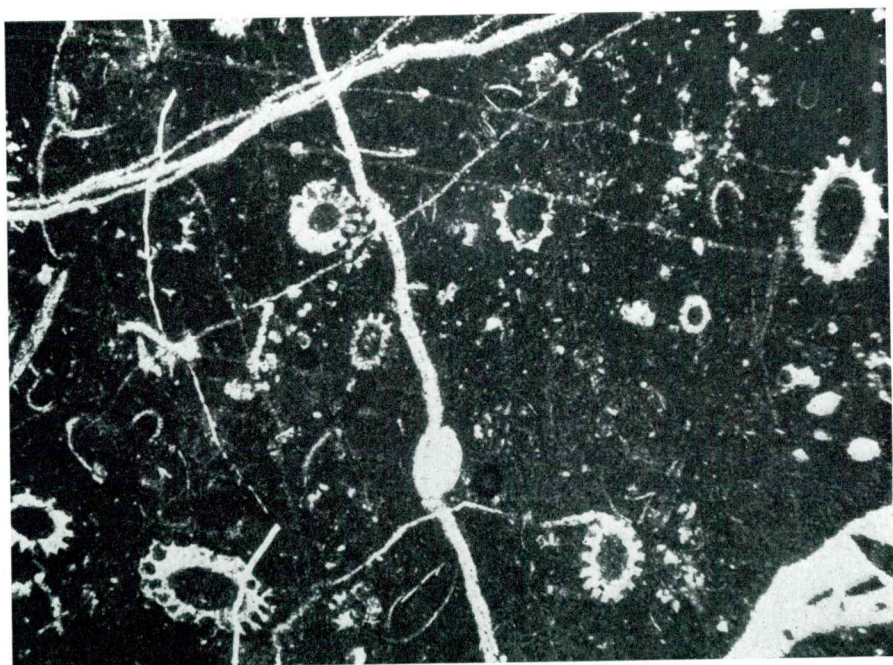


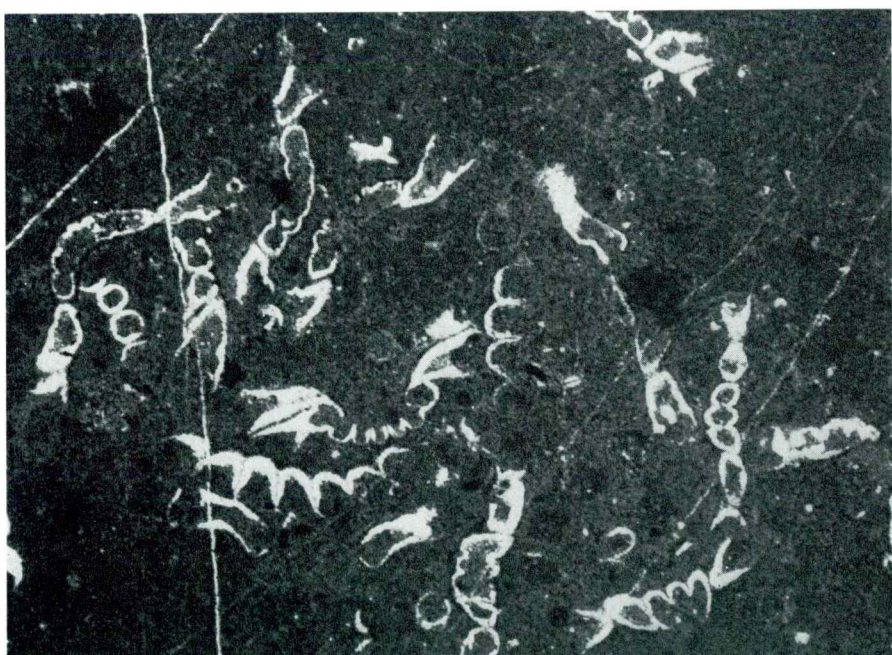
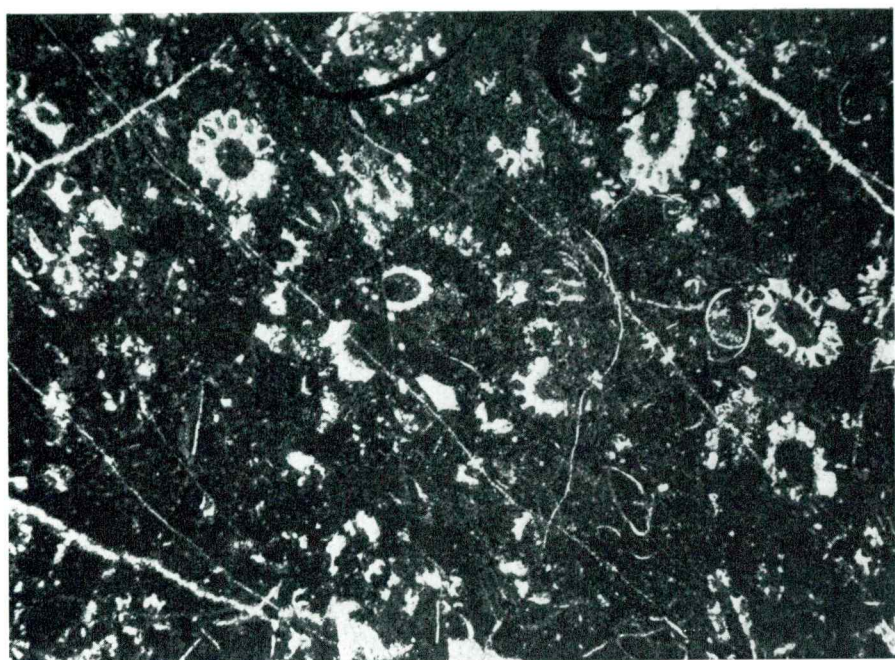
PLANCHE LXXII

Fig. 1

Calcaire marneux à *Pianella grudii* Radoičić et Ostracodes ( $\times 32$ ). Pl. mince 806-62  
Montagne Vojnik, environs de Lipova Ravan  
MALM SUPÉRIEUR (KIMMÉRIDGIEN SUPÉRIEUR-PORTLANDIEN)

Fig. 2

Calcaire marneux à *Clypeina jurassica* Favre ( $\times 32$ ). Pl. mince 809-62  
Montagne Vojnik, environs de Lipova Ravan  
MALM SUPÉRIEUR (PORTLANDIEN)





**LA SÉRIE JURASSIQUE DE KOSANICA ET DE KRALJEVA GORA**

(Tableau № 5)

Planches: LXXIII à LXXIX

PLANCHE LXXIII

Fig. 1

Calcaire détritique, subcristallin, à *Permodiscus sinuosus* (Weynschenk)\* ( $\times 45$ ).  
Pl. mince 2160-60

Kraljeva gora, contreforts sud-est vers Kosanica

LIAS INFÉRIEUR

\* Quoique la structure de la paroi de ces formes ne soit pas visible à cause de la recristallisation, il semble qu'il est mieux de les traiter comme les représentants du genre *Permodiscus* que de l'*Aulotortus* comme l'avait proposé R. Oberhauser (1964).

Fig. 2

Calcaire à *Thaumatoporella parvovesiculifera* (Rain.), rares Lagénidés et Spi-  
rillines ( $\times 45$ ). Pl. mince 2161 a-60

Kraljeva gora, contreforts sud-est vers Kosanica

LIAS

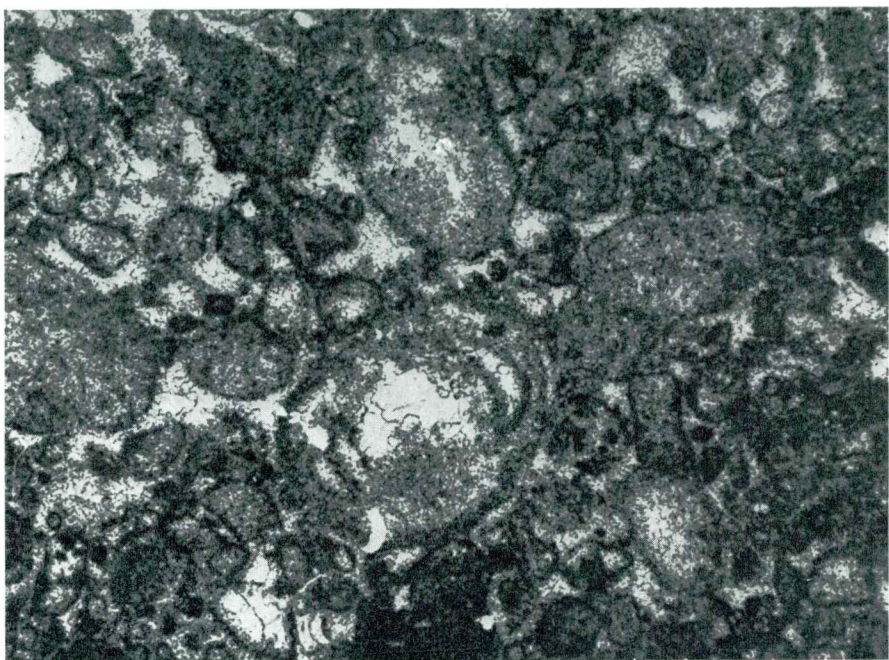


PLANCHE LXXIV

Fig. 1

Calcaire à *Spirillina liassica* (Jones), petits Brachiopodes et débris d'Echinodermes ( $\times 40$ ). Prep. 2164-60. Dans l'association: *Hildoceras bifrons* Brug. et autres Ammonites

Kraljeva gora, contreforts sud-est vers Kosanica

LIAS SUPÉRIEUR

Fig. 2

Calcaire pseudo-oolithique à petits Lamellibranches, débris d'Echinodermes, Lagénidés et *Vidalina martana* Farinacci ( $\times 28$ ). Pl. mince 2166-60

Kraljeva gora, contreforts sud-est vers Kosanica

LIAS SUPÉRIEUR-DOGGER

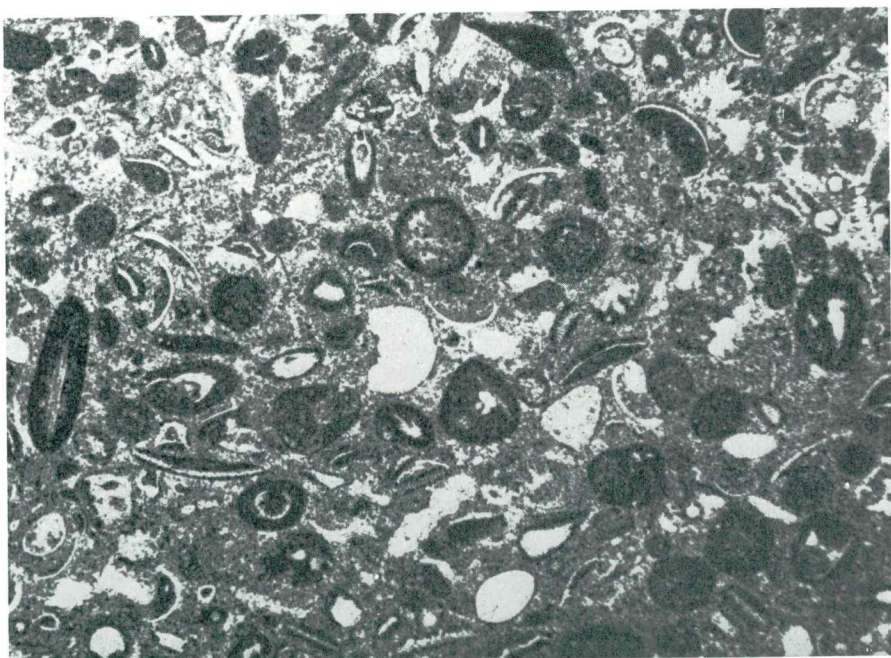
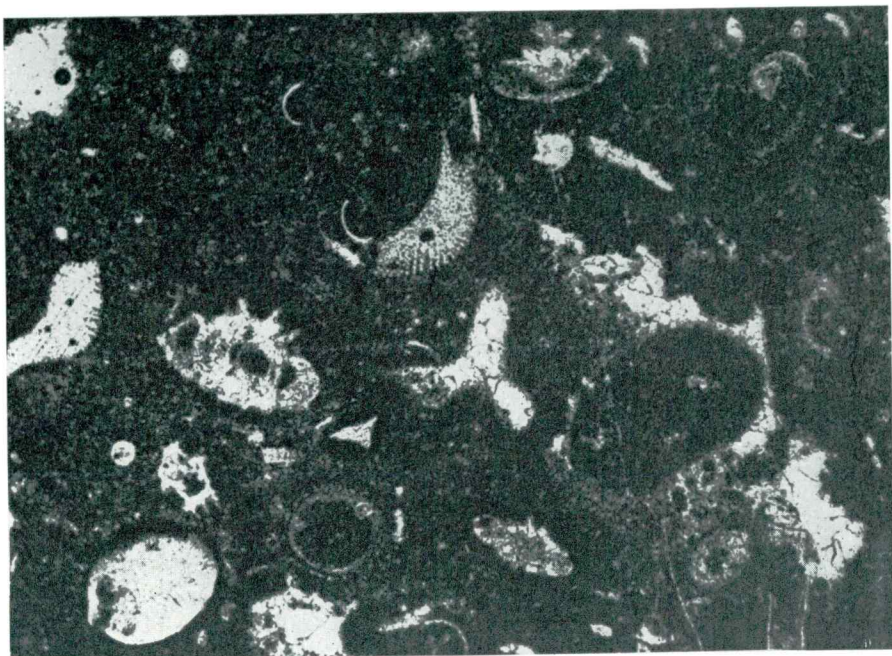


PLANCHE LXXV

Fig. 1

Calcaire microgrumeux-subcristallin à rares Foraminifères et *Aeolisaccus* sp.  
( $\times 37,5$ ). Pl. mince 2169-60  
Kraljeva gora, contreforts sud-est vers Kosanica  
DOGGER

Fig. 2

Calcaire organogène-détritique à Codiacées et débris de Mollusques ( $\times 30$ ), Pl.  
mince 2175-60. Dans l'association: Codiacées C1 et C2, Bryozoaires? — Br1,  
Annélides, débris de Dasycladacées, etc. — planche LXXVI  
Kraljeva gora, contreforts sud-est vers Kosanica  
MALM INFÉRIEUR



PLANCHE LXXVI

Fig. 1 et 2

Calcaire organogène-détritique à Codiacées C1 et C2, Annélides, Bryozoaires? —  
Br1, débris de Mollusques, etc. ( $\times 30$ ). Pl. mince 2175-60  
Kraljeva gora, contreforts sud-est vers Kosanica

MALM INFÉRIEUR

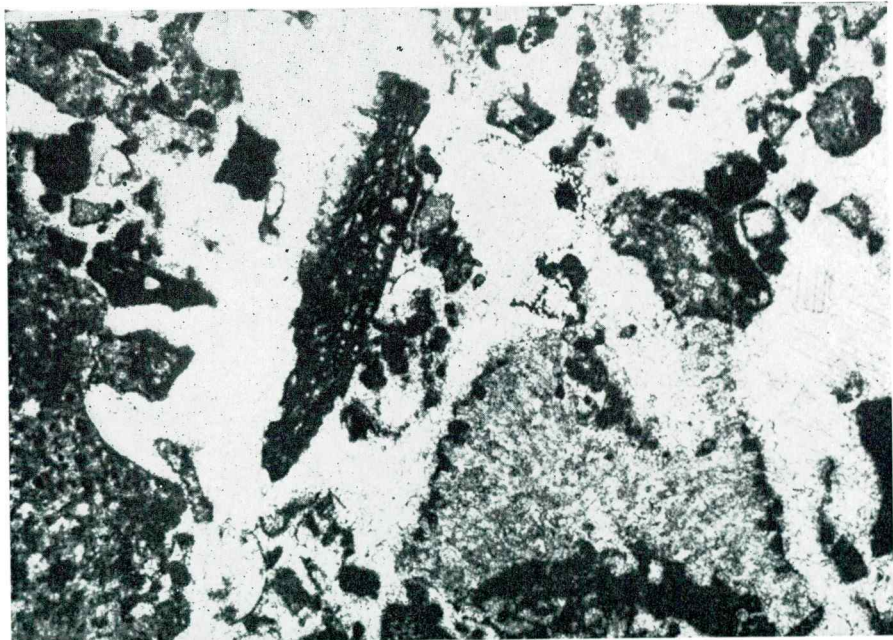


PLANCHE LXXVII

Fig. 1 et 2

Calcaire à Radiolaires (*Cenosphaera* sp., *Lithostrobus* sp. et aut.), ( $\times$  cca 200).

Pl. minces 819 et 820-58

Kraljeva gora, contreforts sud-est vers Kosanica

MALM SUPÉRIEUR

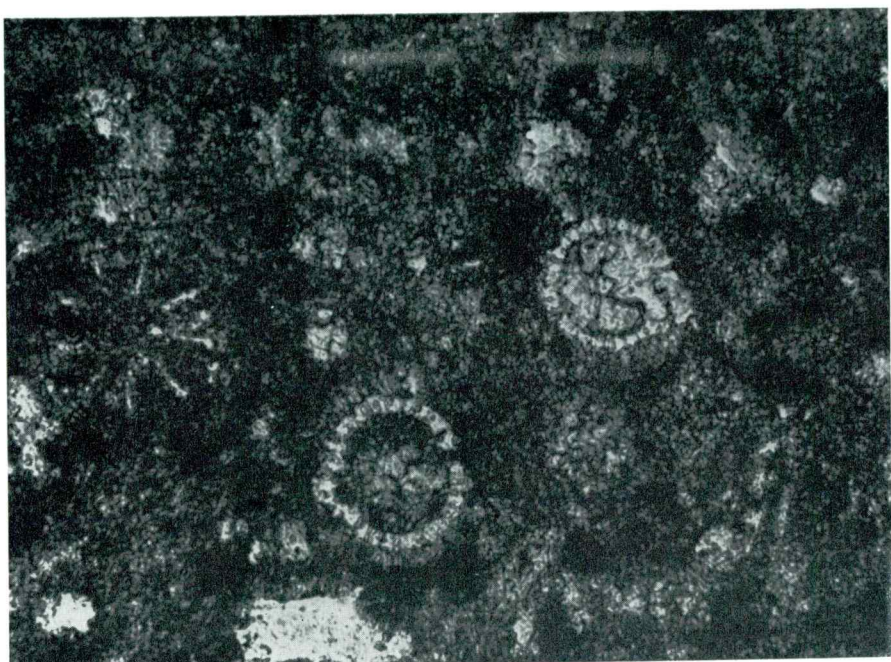


PLANCHE LXXVIII

Fig. 1

Calcarénite à fragment de Dasycladacée *Clypeina jurassica* Favre ( $\times 43$ ). Pl. mince 2183-60. Dans l'association: rares Calpionelles. Dans ce sédiment les Clypeines sont les fossiles allochtones apportés de régions voisines méridionales Kraljeva gora, contreforts sud-est — Kosanica

MALM SUPÉRIEUR (PORTLANDIEN)

Fig. 2

Calcaire à *Calpionella alpina* Lorenz ( $\times 210$ ). Pl. mince 821-58  
Kraljeva gora, contreforts sud-est — Kosanica

MALM SUPÉRIEUR (PORTLANDIEN)

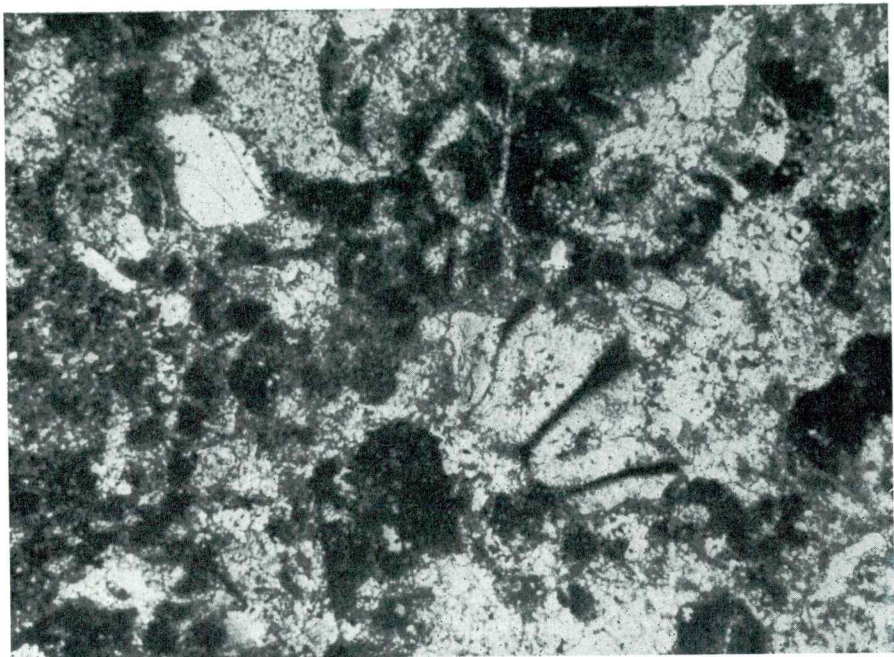
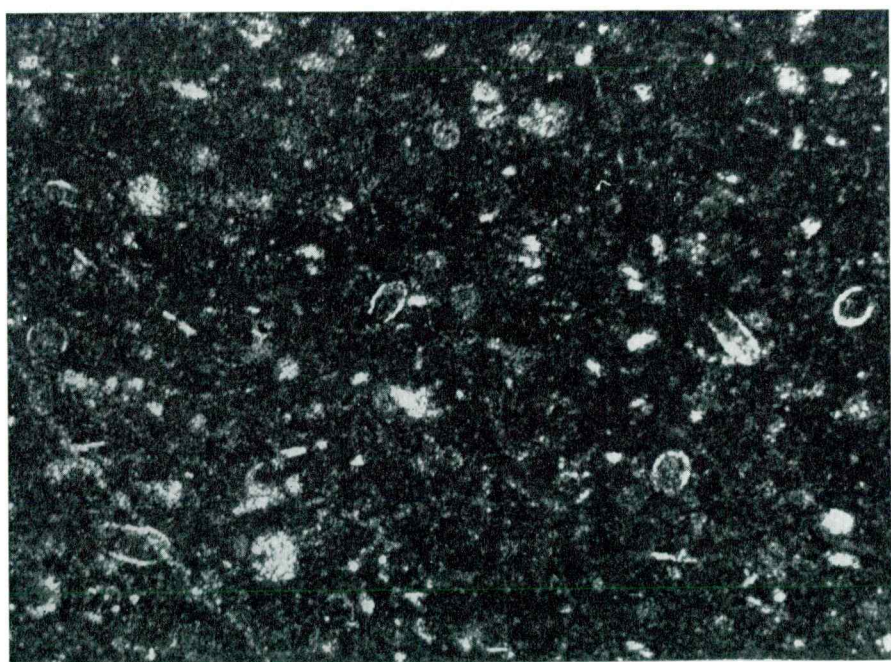
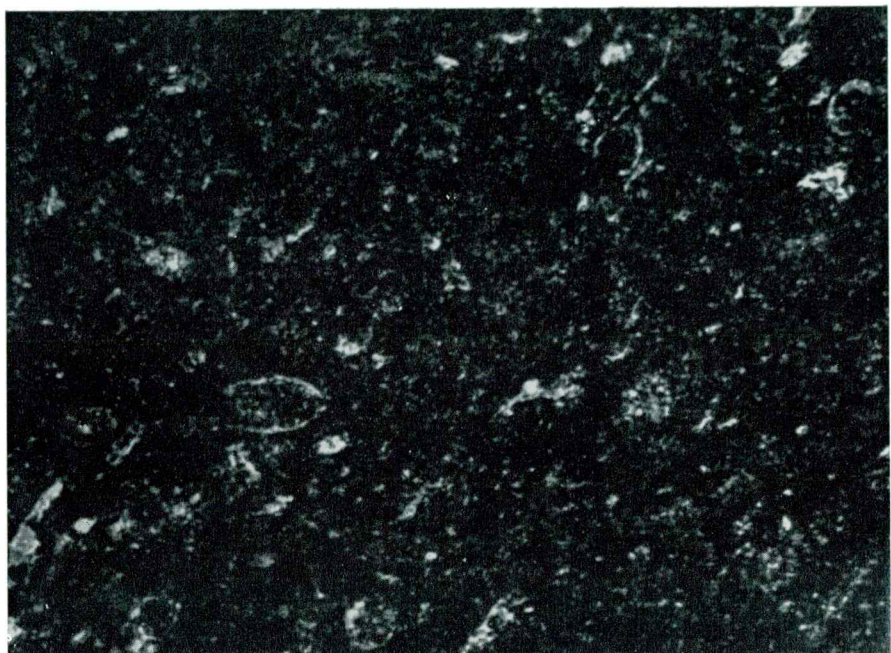


PLANCHE LXXIX

Fig. 1 et 2

Calcaire à *Calpionella alpina* Lorenz, *Calpionella elliptica* Cadisch et *Calpionellopsis oblonga* (Cadisch), ( $\times 140$  — fig. 1;  $\times 95$  — fig. 2). Pl. mince 3116-60  
Kraljeva gora, contreforts sud-est vers Kosanica  
BERRIASIEN





**LA SÉRIE JURASSIQUE DES ENVIRONS DE PLJEVLJA  
DINARIDES INTERNES**

(Tableau № 6)

Planches: LXXX à LXXXVIII

PLANCHE LXXX

Fig. 1

Calcaire marneux à Ostracodes ( $\times 72,5$ ). Pl. mince 2188-60  
Environs de Pljevlja, près de Mihajlović  
LIAS INFÉRIEUR

Fig. 2

Calcaire à Thaumatoporellles transformées ( $\times 72,5$ ). Pl. mince 2189-60  
Environs de Pljevlja, près de Mihajlović  
LIAS INFÉRIEUR

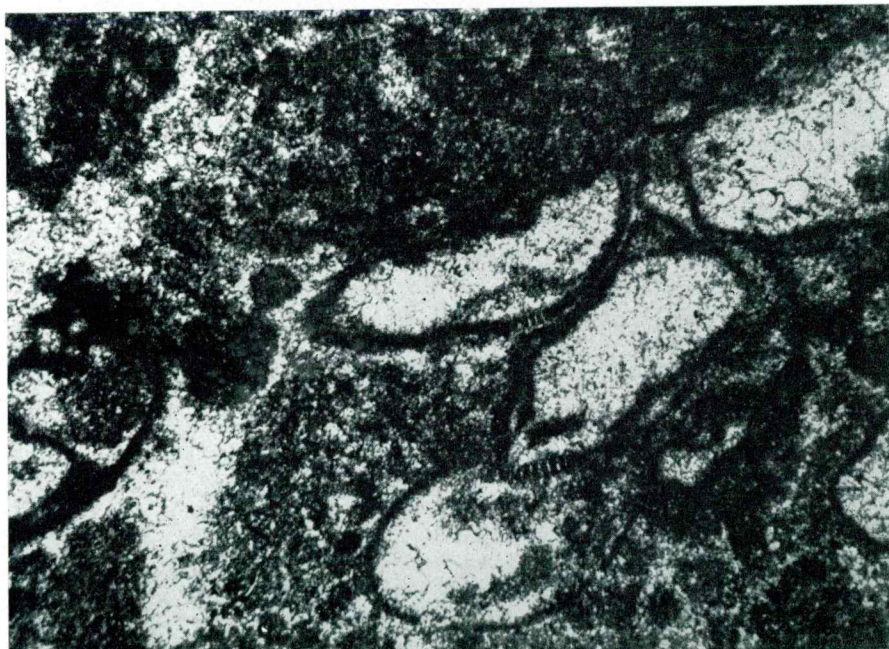
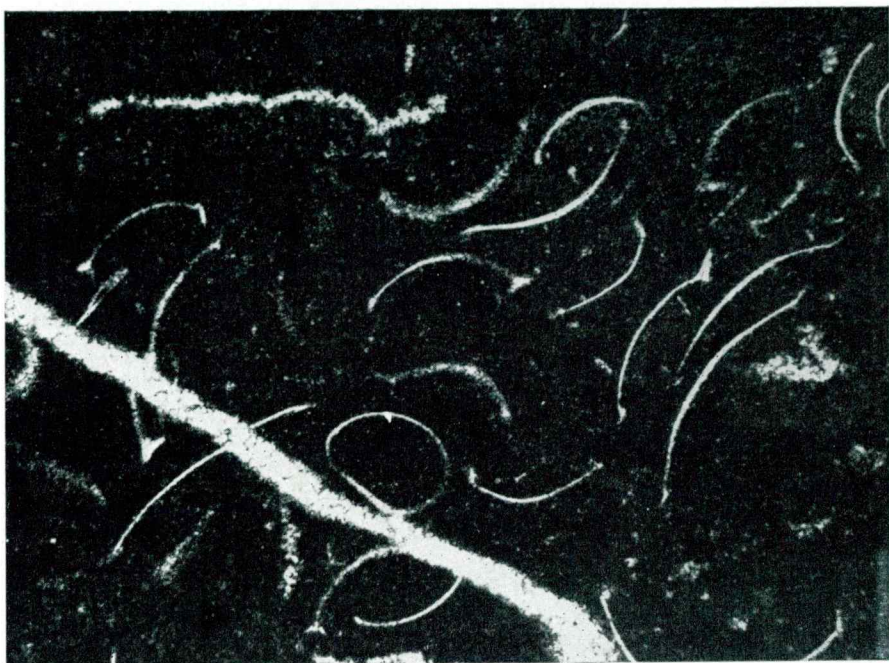


PLANCHE LXXXI

Fig. 1

Calcaire à Lagénidés, autres Foraminifères et débris d'Echinodermes ( $\times 72$ ).  
Pl. mince 2191-60  
Environs de Pljevlja, près de Mihajlovići  
LIAS

Fig. 2

Calcaire pseudo-oolithique à *Spirillina liassica* (Jones), *Globochaete* et débris  
de Mollusques ( $\times 72$ ). Pl. mince 2192-60  
Environs de Pljevlja, près de Mihajlovići  
LIAS (MOYEN-SUPÉRIEUR)

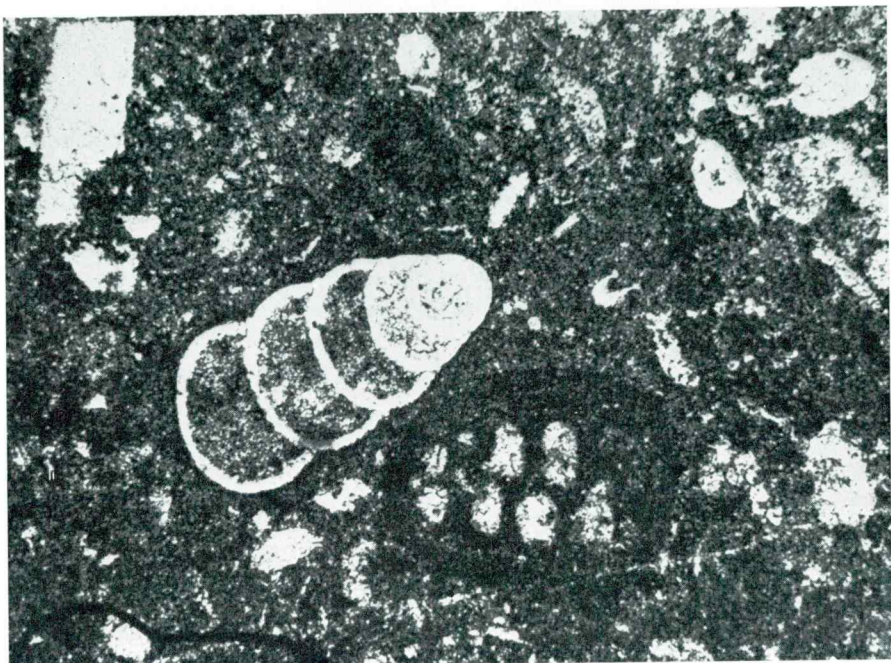


PLANCHE LXXXII

Fig. 1

Calcaire à Lamellibranches pélagiques et Lagénidés peu abondants ( $\times 72$ ).  
Pl. mince 2193-60  
Environs de Pljevlja, près de Mihajlovići  
LIAS (MOYEN-SUPÉRIEUR)

Fig. 2

Calcaire organogène-détritique jusqu'à pseudo-oolithique à *Globochaete alpina*  
Lombard, rares Lagénidés et débris de Mollusques et Brachiopodes ( $\times 72$ ). Pl.  
mince 2195-60  
Environs de Pljevlja, près de Mihajlovići  
LIAS (MOYEN-SUPÉRIEUR)

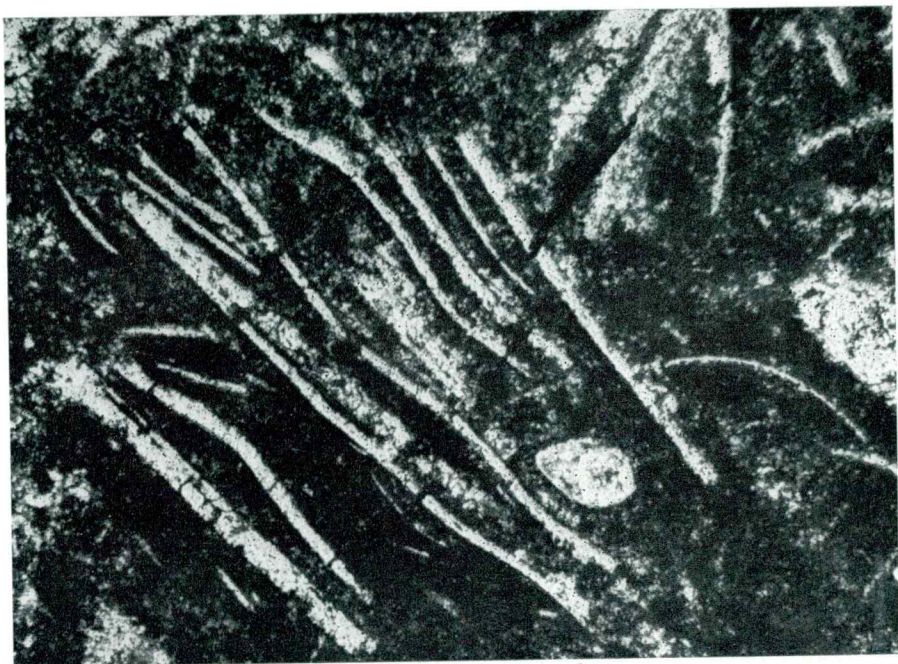


PLANCHE LXXXIII



Fig. 1

Calcaire organogène-détritique à pseudo-oolitique à Lagénidés, petits Brachio-podes, débris d'Echinodermes et de Mollusques ( $\times 72$ ). Pl. mince 2195-60  
Environs de Pljevlja, Mihajlovići  
LIAS (MOYEN-SUPÉRIEUR)



Fig. 2

Calcaire à Globochaete, puis Lagénidés et autres Foraminifères et débris d'Echinodermes et de Mollusques ( $\times 72$ ). Pl. mince 2196-60  
Environs de Pljevlja, près de Mihajlovići  
LIAS (MOYEN-SUPÉRIEUR)

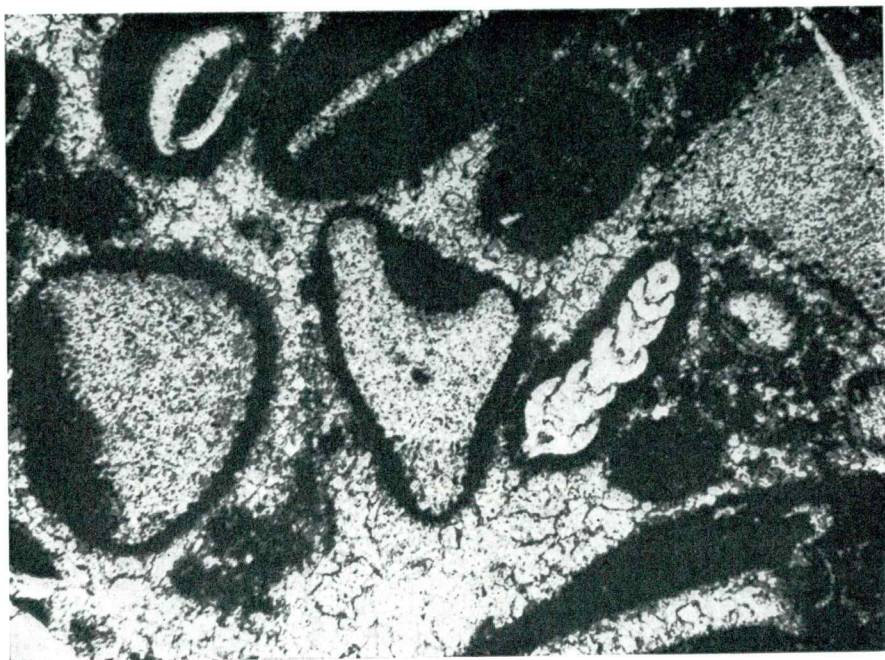


PLANCHE LXXXIV

Fig. 1

Calcaire à Lagénidés et débris d'Echinodermes ( $\times 72$ ). Pl. mince 2198-60. Dans l'association: Ammonites et Brachiopodes

Environs de Pljevlja, près de Mihajlovići

LIAS SUPERIEUR

La faune d'Ammonites est composée des espèces: *Phylloceras nilssoni* Heb., *Phylloceras heterophyllum* Sow., *Lythoceras francisci* Opp., *Lythoceras velifer* Men. et autres

Fig. 2

Calcaire à débris d'Echinodermes et de Mollusques, petits Ammonites et rares Foraminifères (*Trocholina* sp. et aut.) ( $\times 72$ ). Pl. mince 2199-60

Environs de Pljevlja, près de Mihajlovići

LIAS SUPÉRIEUR

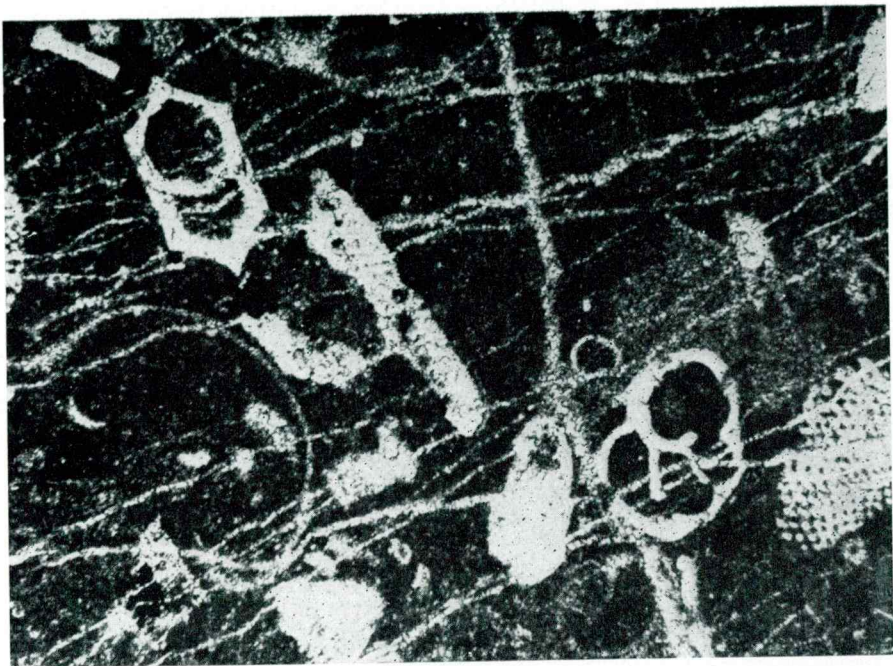


PLANCHE LXXXV

Fig. 1

Calcaire à *Globochaete alpina* Lombard et débris divers peu abondant ( $\times 72$ ).  
Pl. mince 2199-60  
Environs de Pljevlja, près de Mihajlovići  
LIAS SUPÉRIEUR

Fig. 2

Calcaire à rares Globigérines, *Globochaete alpina* Lombard et coquilles écrasées  
de Lamellibranches pelagiques ( $\times 72$ ). Pl. mince 2201-60  
Environs de Pljevlja, près de Mihajlovići  
DOGGER INFÉRIEUR



PLANCHE LXXXVI

Fig. 1

Calcaire avec écrasées coquilles de Lamellibranches pélagiques ( $\times 72$ ). Pl. mince 2202-60  
Environs de Pljevlja, près de Vlahovići  
DOGGER-MALM

Fig. 2

Calcaire à Lamellibranches pélagiques et Radiolaires ( $\times 30$ ). Pl. mince 3104-60  
Environs de Pljevlja, Vlahovići  
DOGGER-MALM



PLANCHE LXXXVII

Fig. 1

Calcaire à Radiolaires ( $\times 30$ ). Pl. mince 3105-60  
Environs de Pljevlja, Vlahovići  
DOGGER-MALM

Fig. 2

Calcaire à Radiolaires et les parties du calcaire fort silifié  
Environs de Pljevlja, Vlahovići  
DOGGER-MALM

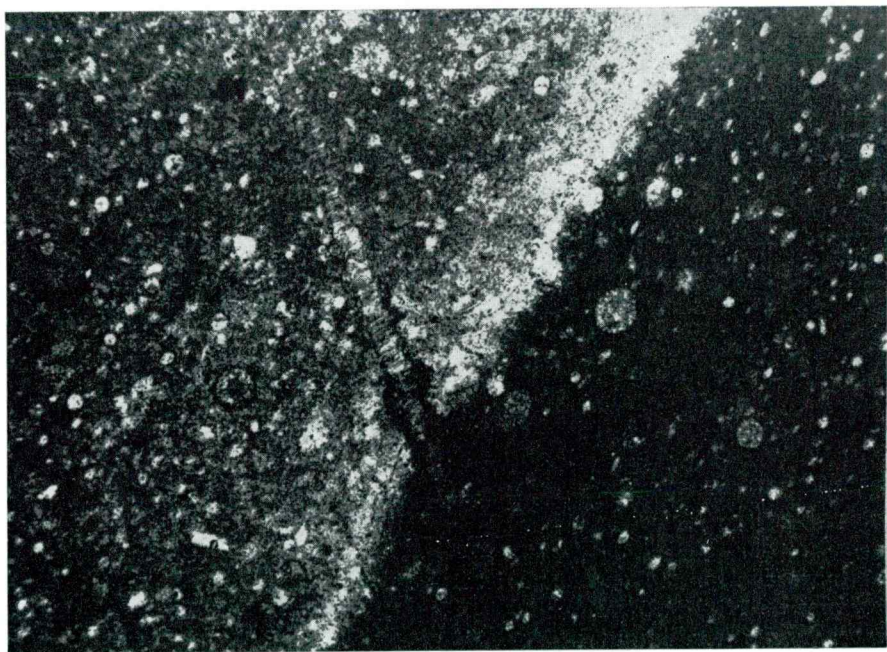
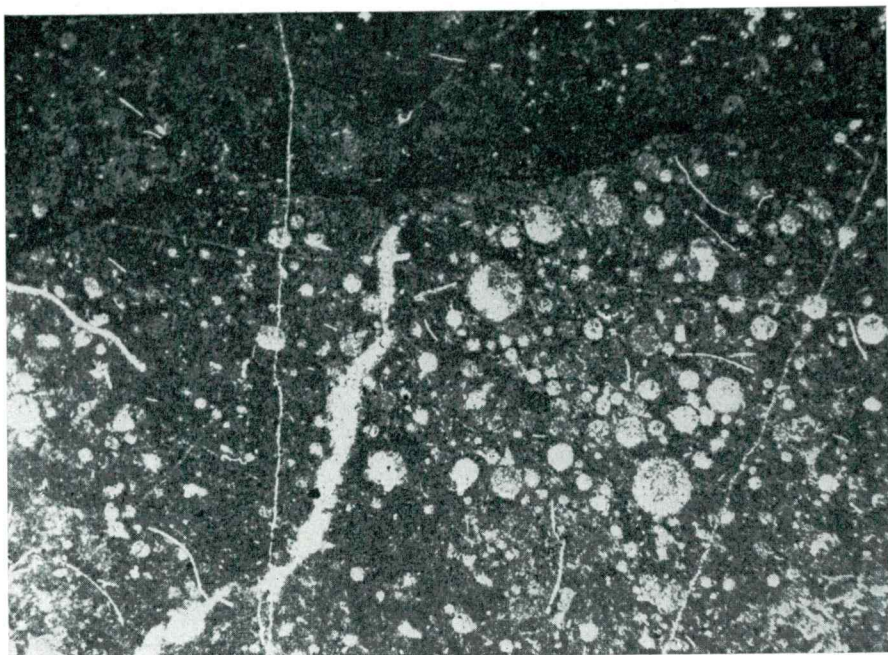


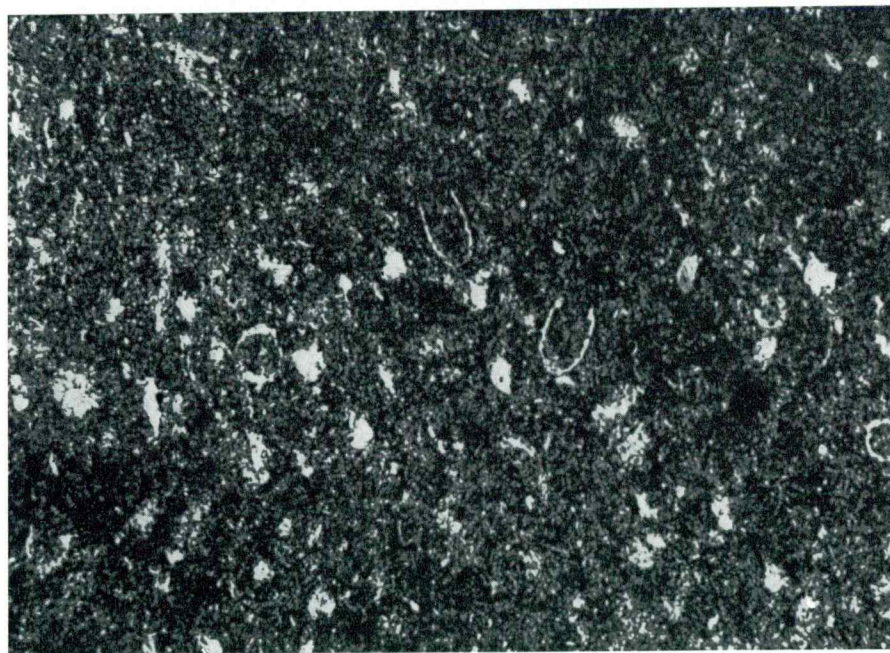
PLANCHE LXXXVIII

Fig. 1 et 2

Calcaire marneux à *Calpionella alpina* Lorenz, *Calpionella elliptica* Cadisch et *Tintinnopsella* sp. ( $\times 120$ ). Pl. mince 3111-60

Environs de Pljevlja, Dragaš

PORLANDIEN (TITHONIQUE)





**LA SÉRIE JURASSIQUE DE L'HERZÉGOVINE DU SUD  
DISTRICT ENTRE DUBROVAČKO PRIMORJE ET TREBINJE-POPOVO POLJE**

(Tableau N° 7)

Planches: LXXXIX — CIX

PLANCHE LXXXIX

Fig. 1

Calcaire à *Palacodasycladus mediterraneus* Pia et Foraminifères peu abondants ( $\times 35$ ). Pl. mince 377-61  
Herzégovine du sud, environs d'Ivanica  
LIAS INFÉRIEUR

Fig. 2

Calcaire à *Pseudocyclammina* sp. et rares autres Foraminifères ( $\times 15$ ). Pl. mince 416-61. Dans l'association: *Thaumatoporella parvovesiculifera* (Rain.), *Sestrosphaera liasina* Pia et Microgaséropodes (= pl. XC)  
Domaine limitrophe entre l'Herzégovine du sud et Dubrovačko primorje, environs de Gromača  
LIAS MOYEN (couches à *Lithiotis*)

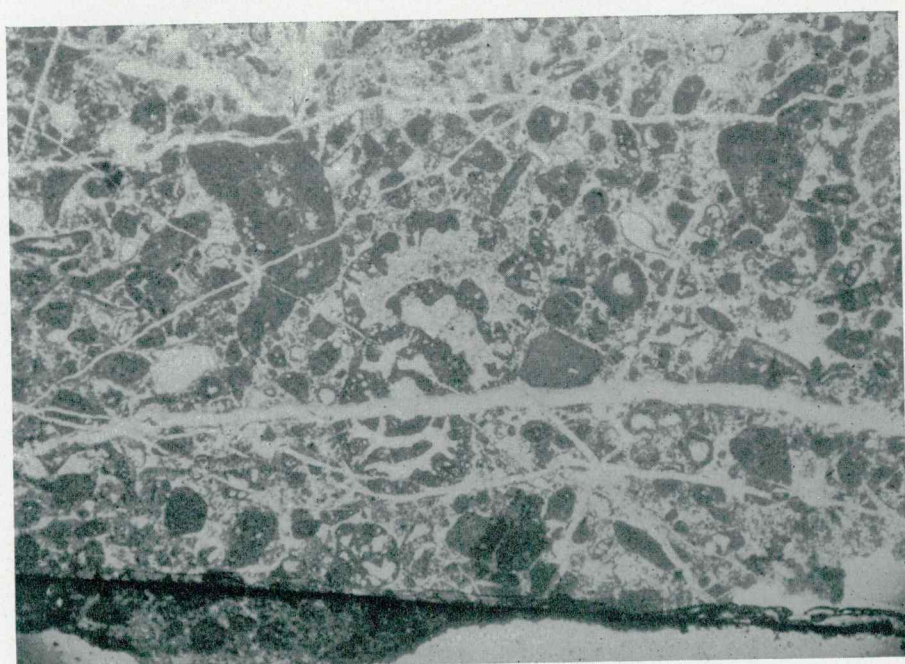
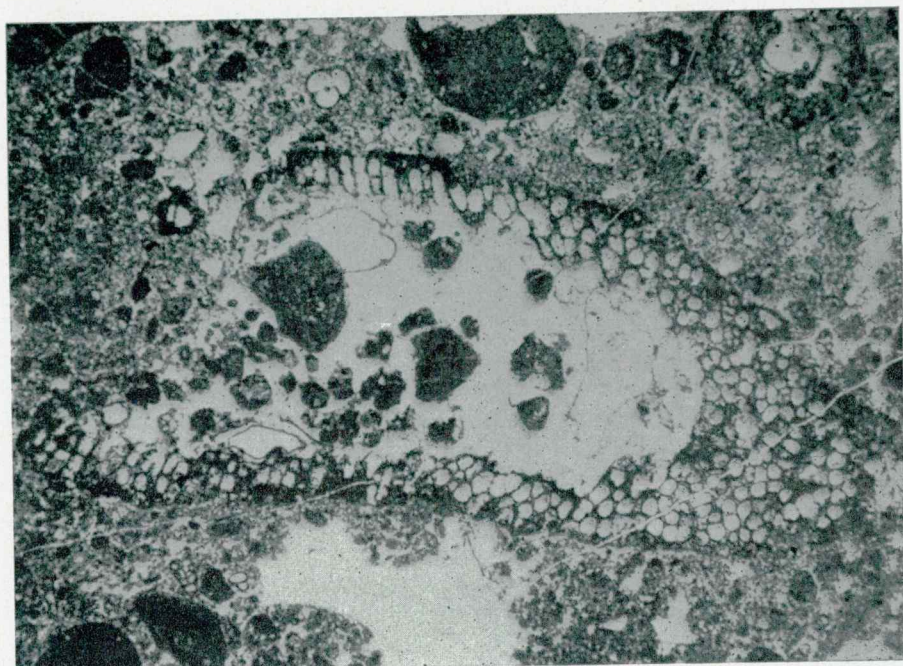


PLANCHE XC

Fig. 1

Calcaire organogène-détritique à *Sestrosphaera liasina* Pia, autres Algues, Foraminifères et Microgastéropodes ( $\times 15$ ). Pl. mince 416-61  
Domaine limitrophe entre l'Herzégovine du sud et Dubrovačko primorje,  
environs de Gromača  
LIAS MOYEN (couches à *Lithiotis*)

Fig. 2

Calcaire à débris de Dasycladacée *Sestrosphaera liasina* Pia et débris divers  
peu abondants ( $\times 15$ ). Pl. mince 417-61  
Domaine limitrophe entre l'Herzégovine du sud et Dubrovačko primorje,  
environs de Gromača  
LIAS MOYEN (couches à *Lithiotis*)

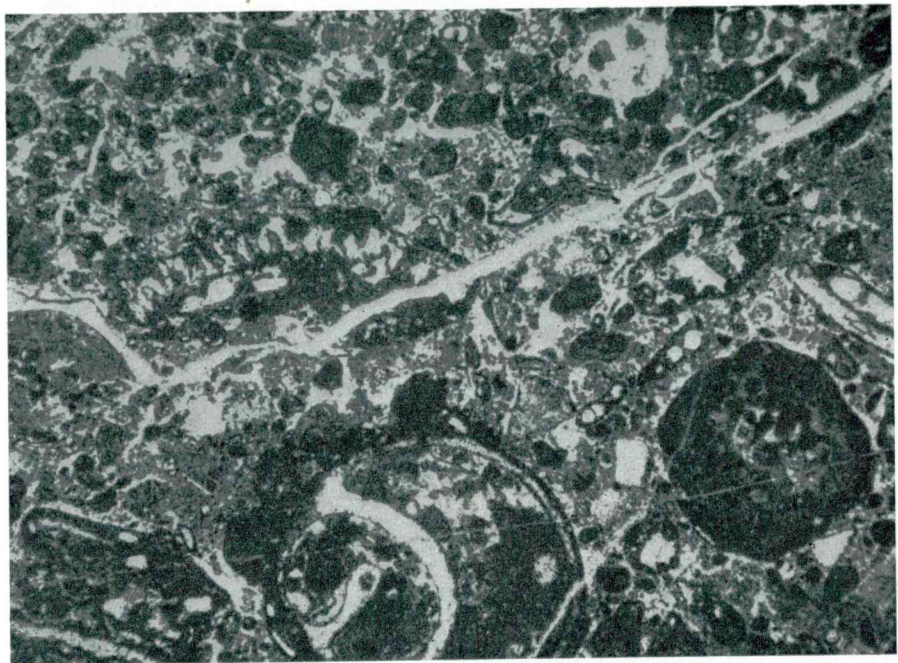


PLANCHE XCI

Fig. 1 et 2

Calcaire grumeleux, en partie subcristallin, à *Palaeodasycladus mediterraneus* Pia, *Thaumatoporella parvovesiculifera* (Rain.) et petits Foraminifères ( $\times 30$ ).  
Pl. mince 418-61

Domaine limitrophe entre l'Herzégovine du sud et Dubrovačko primorje,  
environs de Grcmaća

LIAS MOYEN (couches à *Lithiotis*, *Orbitopsella*, etc.)

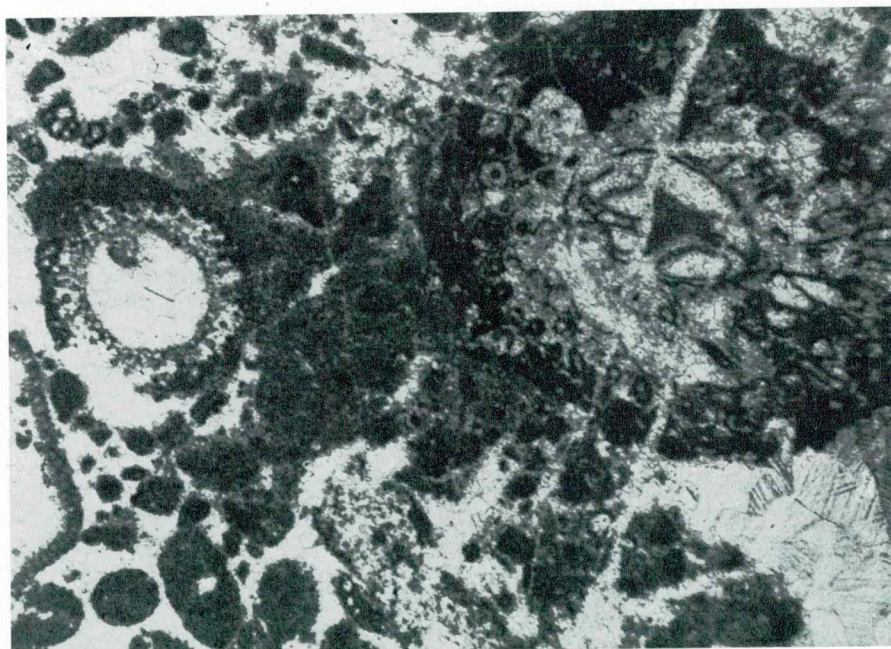


PLANCHE XCII

Fig. 1

Calcaire à débris de coquilles de Lamellibranches (*Lithiotis, Durga*), ( $\times 15$ ).  
Pl. mince 419 a-61

Domaine limitrophe entre l'Herzégovine du sud et Dubrovačko primorje,  
environs de Gromača

LIAS MOYEN

Fig. 2

Calcaire grumeleux à *Glomospira* ( $\times 70$ ). Pl. mince 420-61

Domaine limitrophe entre l'Herzégovine du sud et Dubrovačko primorje,  
environs de Gromača

LIAS MOYEN-SUPÉRIEUR

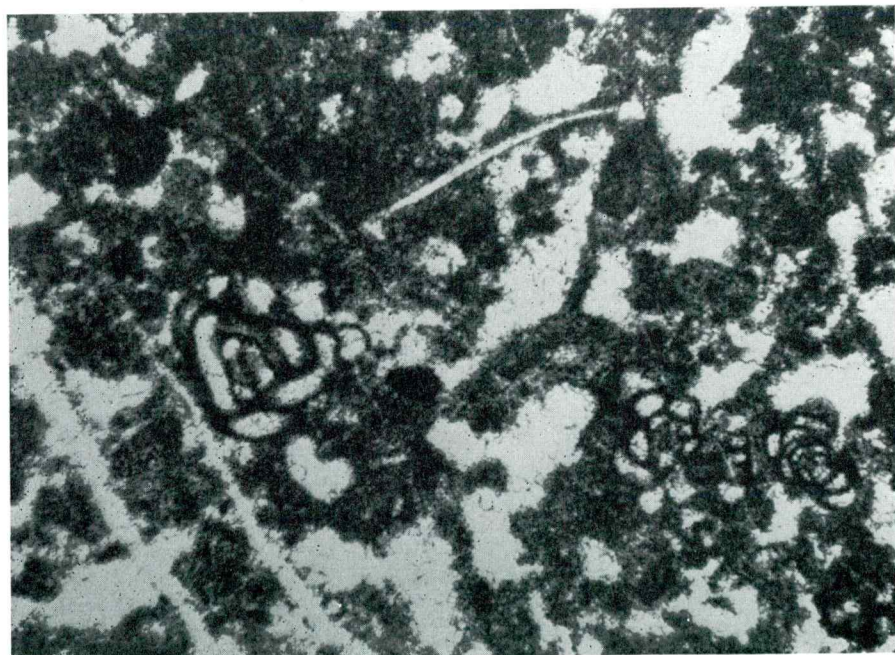


PLANCHE XCIII

Fig. 1

Calcaire pseudo-oolithique à débris de Mollusques et de Dasycladacées et petits Foraminifères peu nombreux ( $\times 15$ ). Pl. mince 421-61  
Herzégovine du sud, environs de Gromača  
LIAS MOYEN-SUPÉRIEUR

Fig. 2

Dolomie stérile (intercalation dans les calcaires oolithiques), ( $\times 30$ ). Pl. mince 1745-62  
Au nord de Župa dubrovačka  
LIAS SUPÉRIEUR

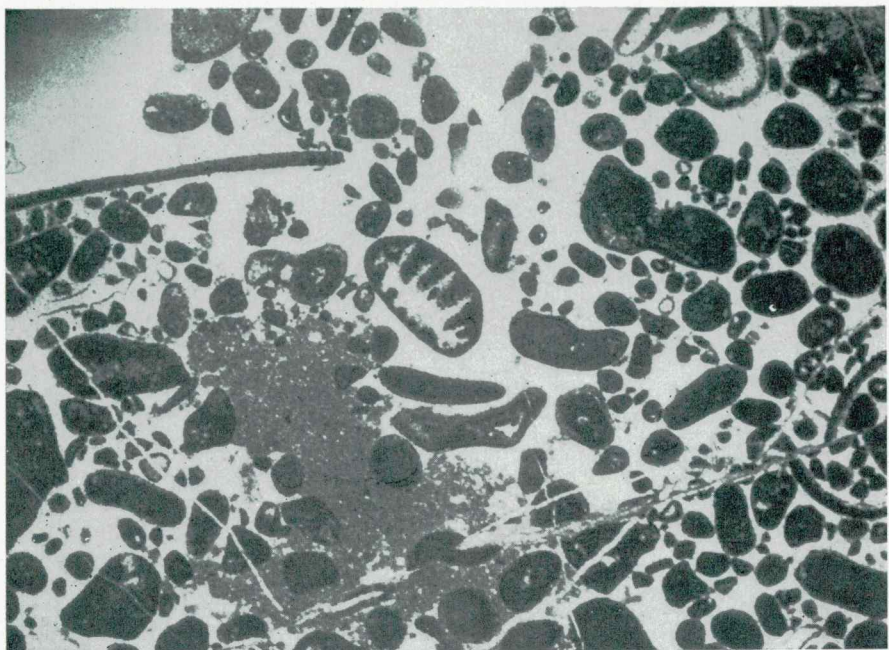


PLANCHE XCIV

Fig. 1

Calcaire finement oolithique azoïque ( $\times 32$ ). Pl. mince 337-61  
Herzégovine du sud, environs d'Uskoplje  
LIAS SUPÉRIEUR-DOGGER INFÉRIEUR

Fig. 2

Calcaire organogène, subcristallin à Microgastéropodes (*Nerinella* et aut.),  
( $\times 15$ ). Pl. mince 338-61. Dans l'association: Foraminifères peu abondants  
Herzégovine du sud, environs d'Uskoplje  
DOGGER INFÉRIEUR

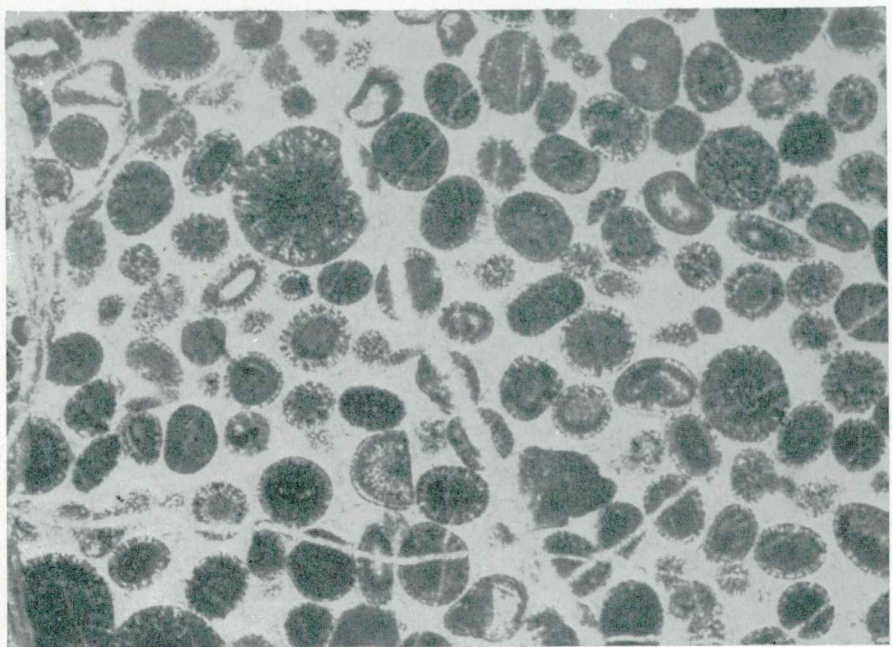


PLANCHE XCV

Fig. 1

Calcaire grumeleux à Coprolithes et petits Foraminifères peu abondants ( $\times 28$ ).  
Pl. mince 431-61  
Herzégovine du sud, entre Gromača et Šćenica  
DOGGER INFÉRIEUR

Fig. 2

Calcaire organogène-détritique, subcristallin, à débris de Mollusques et de  
Dasycladacées et à Foraminifères (*Endothyra* sp. et autres), ( $\times 28$ ). Pl. mince  
432-61  
Herzégovine du sud, entre Gromača et Šćenica  
DOGGER

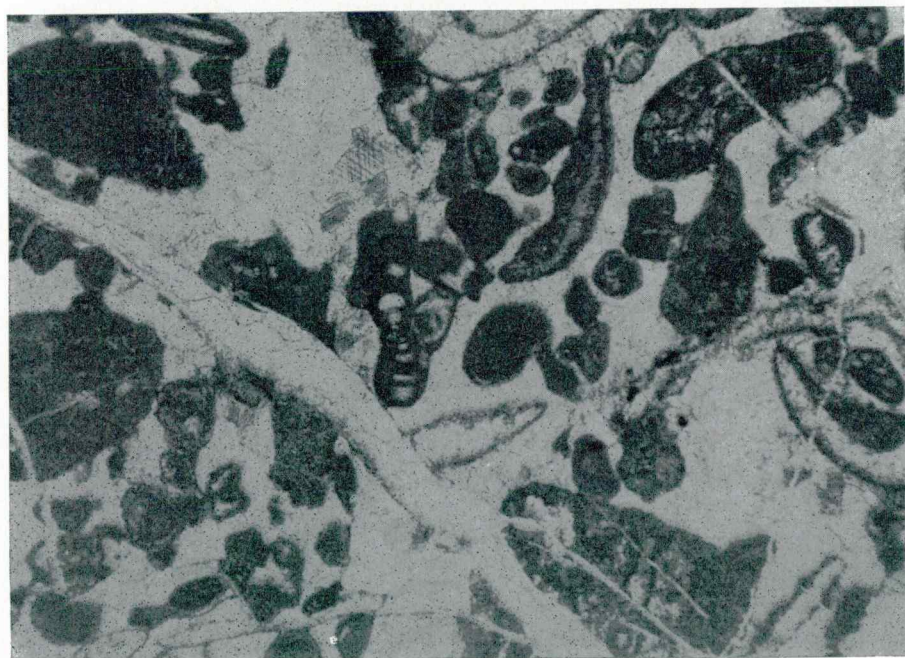
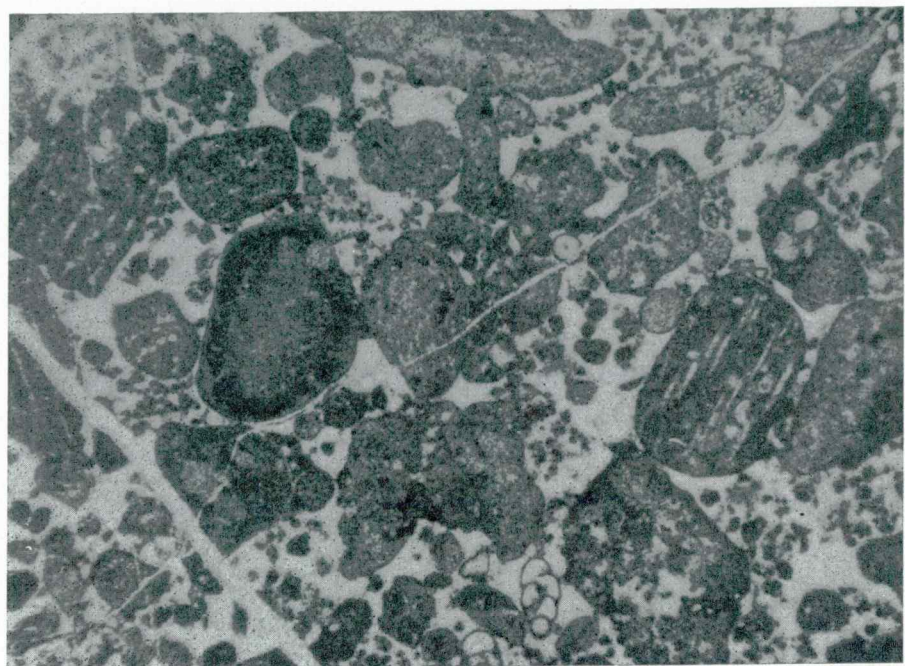


PLANCHE XCVI

Fig. 1

Calcaire organogène-détritique, subcristallin, à débris de Dasycladacée *Selliporella donzellii* Sartoni & Crescenti et Foraminifères — *Endothyra* sp. — ( $\times 28$ ).  
Pl. mince 433-61

Herzégovine du sud, entre Gromača et Šćenica

DOGGER SUPÉRIEUR

Fig. 2

Calcaire organogène-détritique à débris de Dasycladacées et de Mollusques et nombreux Foraminifères (Textularidés, Trochamminidés, Verneuilinidés), ( $\times 28$ ).  
Pl. mince 436-61

Herzégovine du sud, entre Gromača et Šćenica

DOGGER SUPÉRIEUR

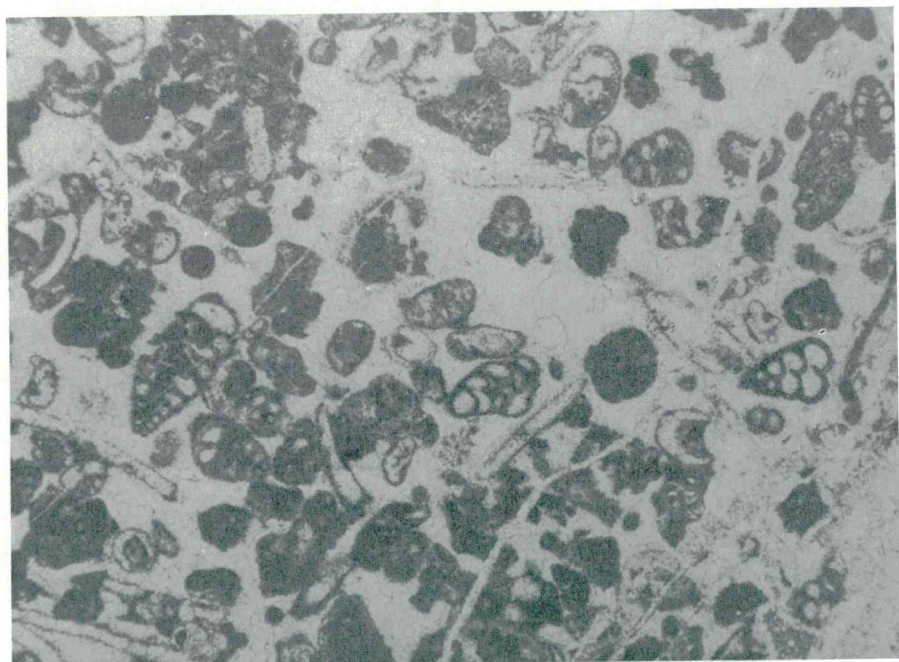
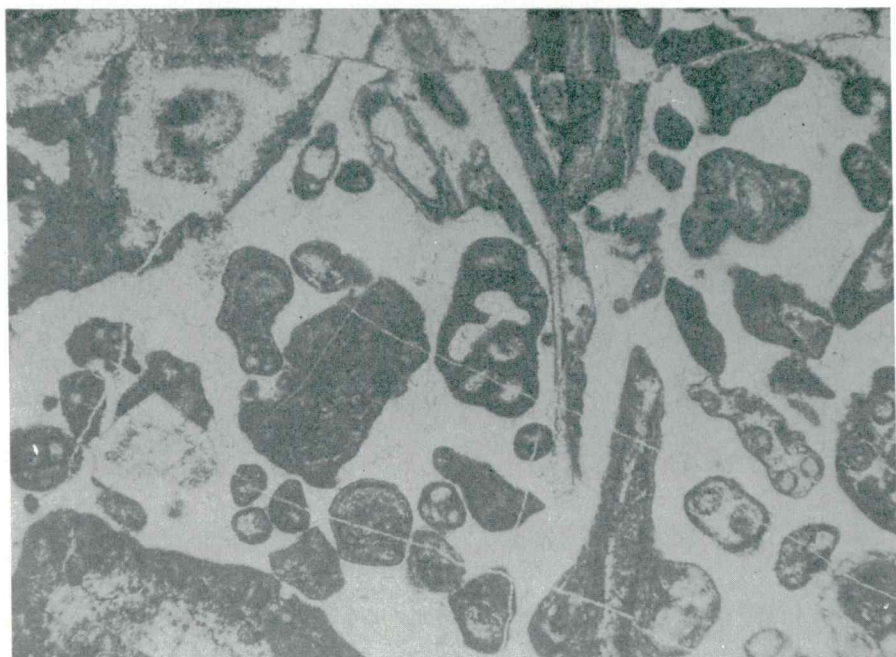


PLANCHE XCVII

Fig. 1

Calcaire organogène-détritique à *Selliporella donzellii* Sartoni & Crescenti et  
Foraminifères peu abondants ( $\times 17$ ). Pl. mince 433 a-61  
Herzégovine du sud, entre Gromača et Šćenica  
DOGGER SUPÉRIEUR

Fig. 2

Calcaire organogène-détritique à *Selliporella donzellii* Sartoni & Crescenti,  
Foraminifères et Microgastéropodes ( $\times 17$ ). Pl. mince 560-61  
Herzégovine du sud, Čovine-Vlaka  
DOGGER SUPÉRIEUR

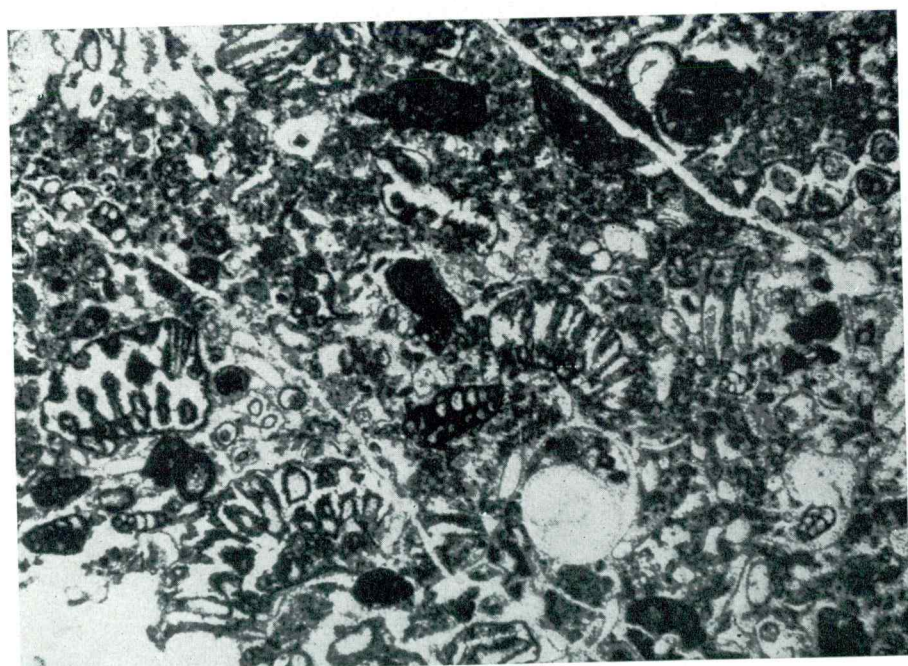


PLANCHE XCVIII

Fig. 1

Calcaire à *Selliporella donzellii* Sartoni & Crescenti et Foraminifères ( $\times 27$ ).  
Pl. mince 560-61  
Herzégovine du sud, Čovine-Vlaka  
DOGGER SUPÉRIEUR

Fig. 2

Calcaire à Trochamminidés, Textularidés et Verneuilinidés ( $\times 15$ ). Pl. mince  
561-61. Dans l'association: *Selliporella donzellii* Sartoni & Crescenti  
Herzégovine du sud, Čovine-Vlaka  
DOGGER SUPÉRIEUR

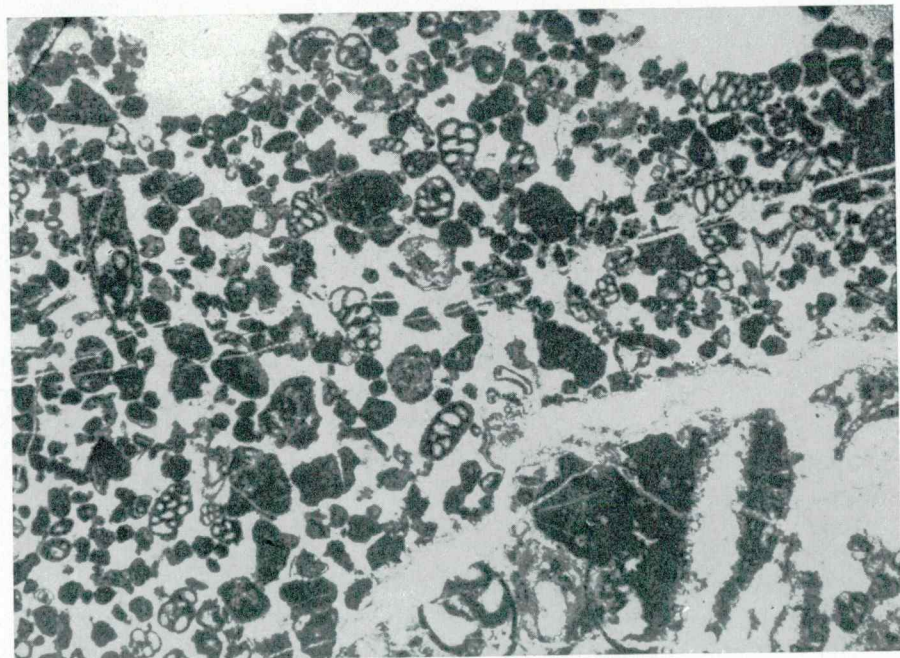
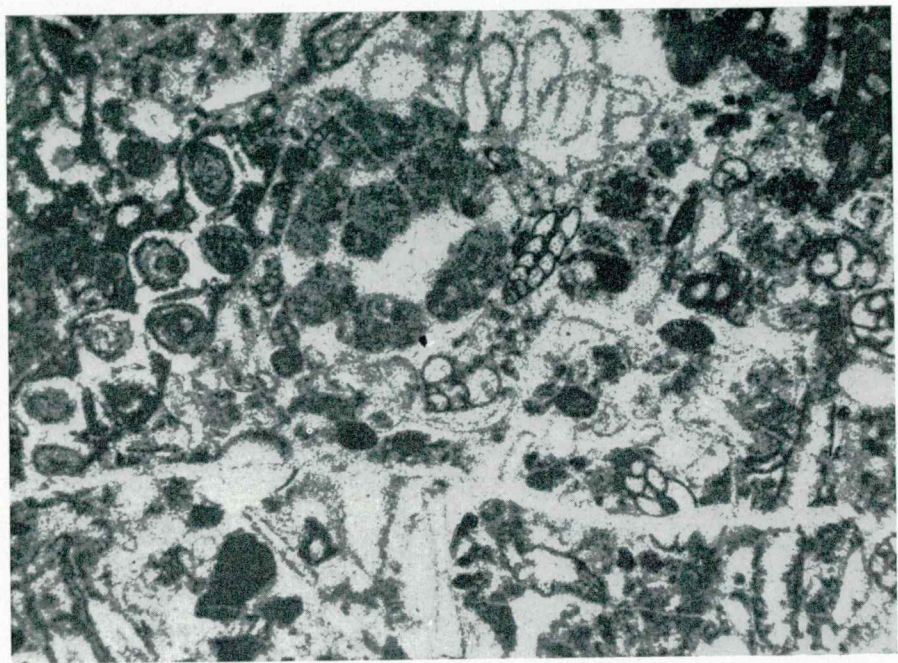


PLANCHE XCIX

Fig. 1 et 2

Calcaire subcristallin à *Selliporella donzellii* Sartoni & Crescenti et Foraminifères peu abondants ( $\times 15$ ). Pl. mince 388-63

Herzégovine du sud, entre Visočnik et Radovan ždrijelo

DOGGER SUPÉRIEUR

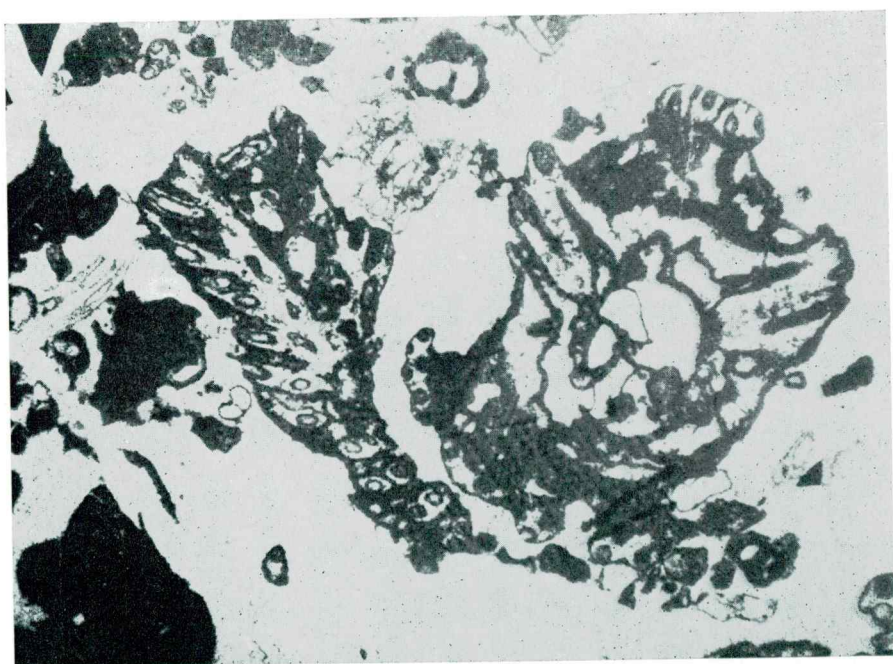
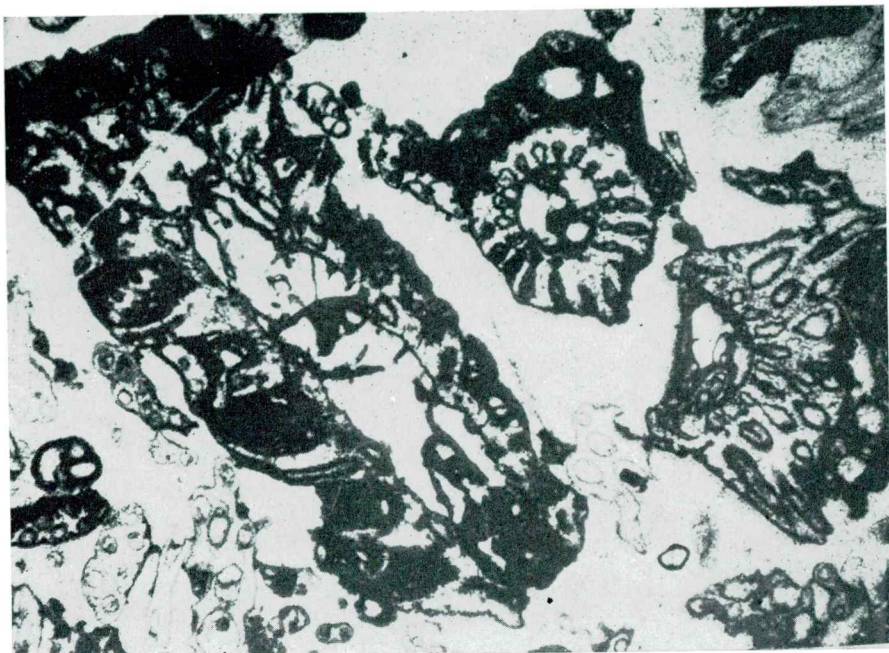


PLANCHE C

Fig. 1 et 2

Calcaire à Textularidés, Trochamminidés, Verneuilinidés, Microgastéropodes,  
*Aeolisaccus* sp., etc. ( $\times 28$ ). Pl. mince 437-61  
Herzégovine du sud, au sud de Ščenica  
DOGGER SUPÉRIEUR-MALM INFÉRIEUR

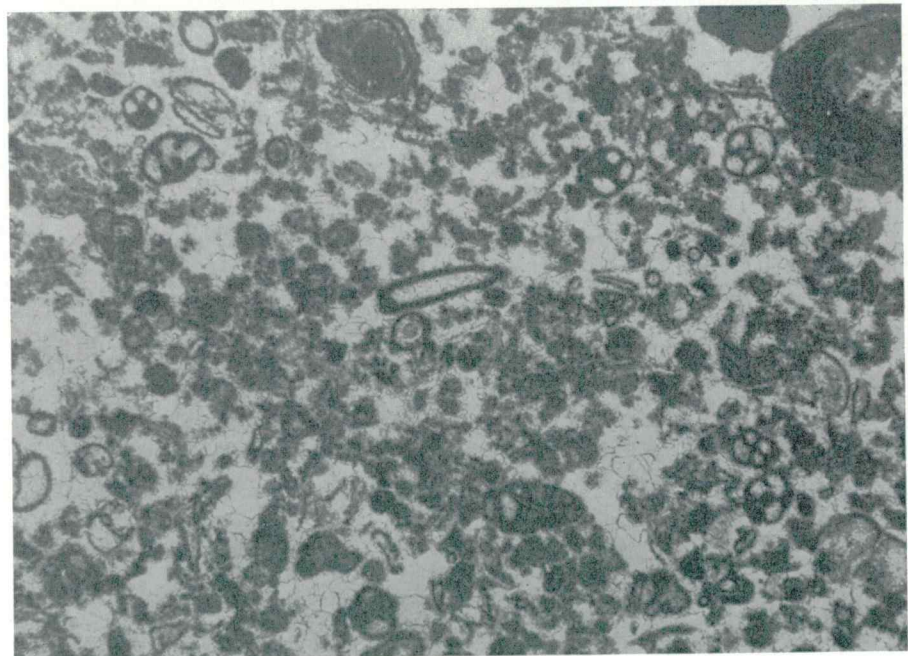
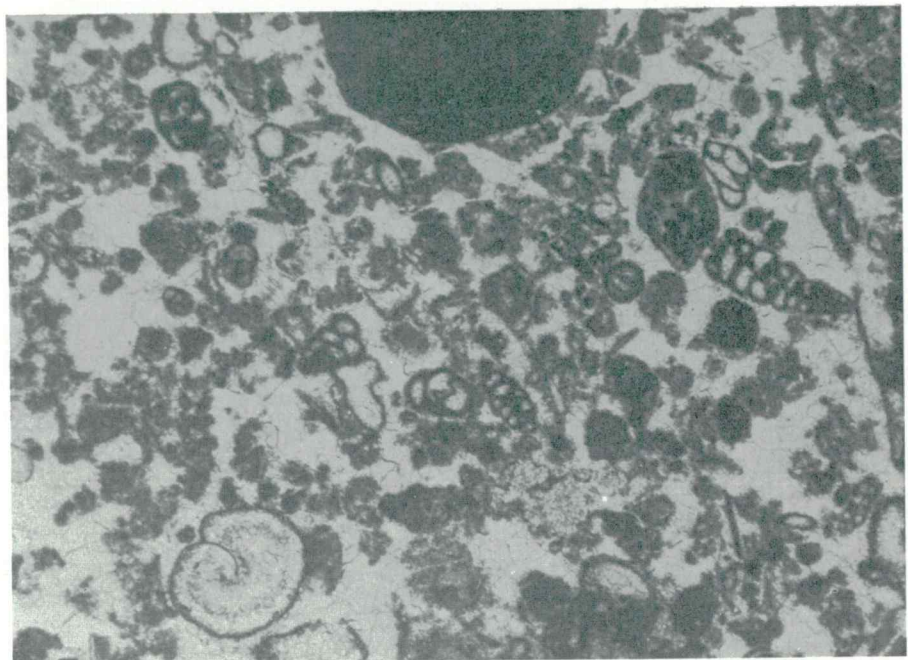


PLANCHE CI

Fig. 1 et 2

Calcaire grumeleux à Pfenderinidés et autres Foraminifères et *Thaumatoporella parvovesiculifera* (Rain.), ( $\times 30$ ). Pl. mince 1779-62  
Herzégovine du sud, au nord de Plat  
MALM INFÉRIEUR (couches les plus anciennes)

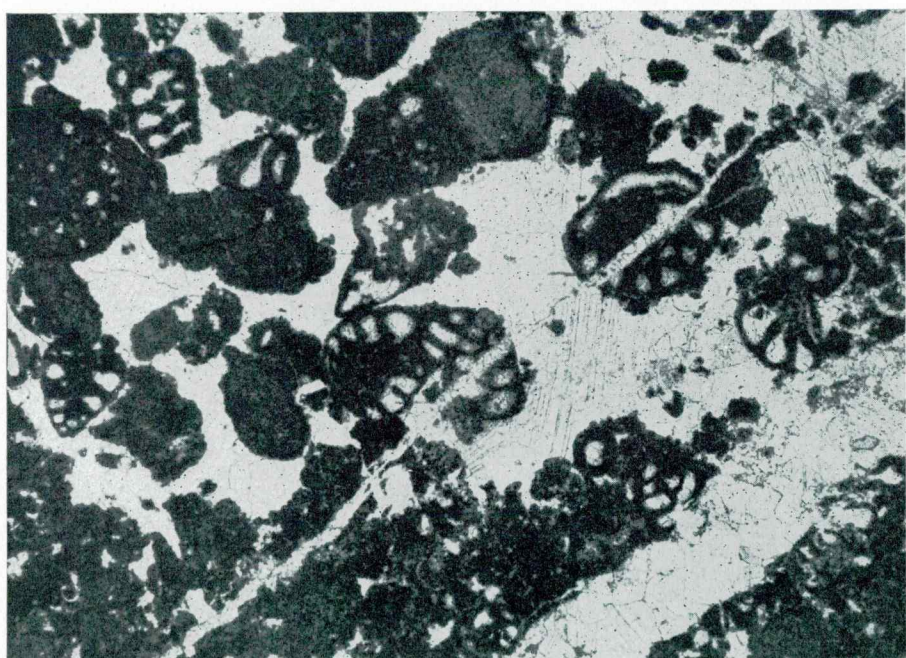
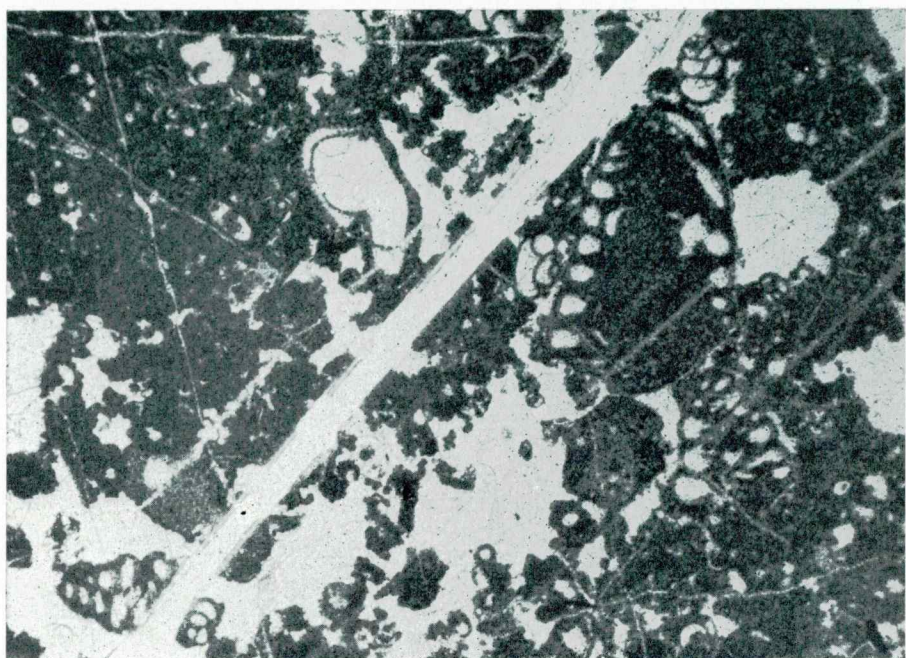


PLANCHE CII

Fig. 1 et 2

Calcaire grumeleux à *Pfenderina salernitana* Sartoni & Crescenti, rares Trochamminidés et Verneuilinidés et *Thaummatoporella parvovesiculifera* (Rain.).  
( $\times 32$ ). Pl. minces 1779a et 1779b-62

Herzégovine du sud, entre Plat et Glavska  
MALM INFÉRIEUR (couches les plus anciennes)

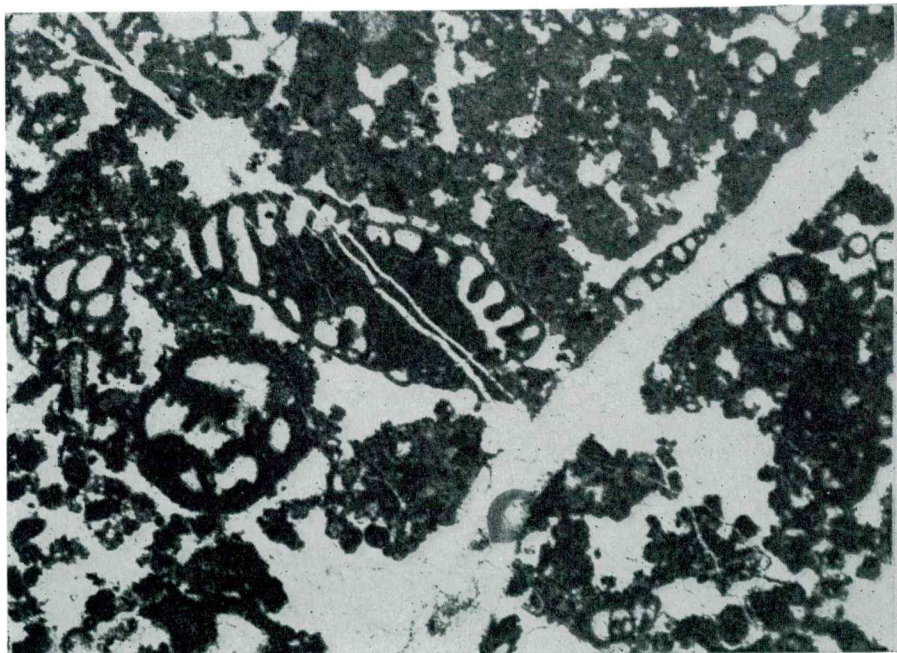
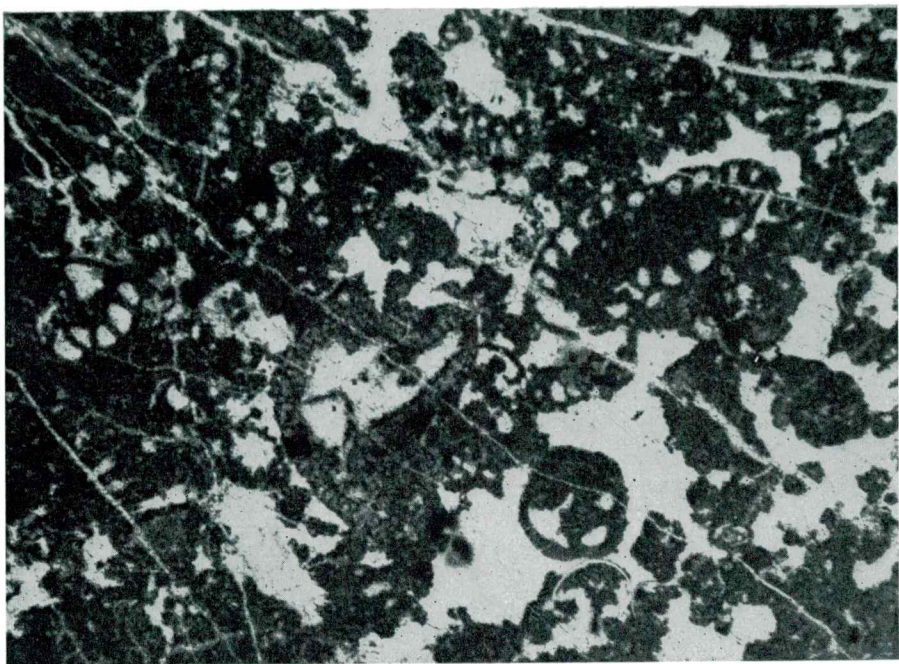


PLANCHE CIII

Fig. 1

Calcaire organogène-détritique, subcristallin, à *Clypeina* (?) sp. ( $\times 28$ ). Pl. mince 344-61. Dans l'association: Foraminifères, Micropoproblematica, Microgastéropodes  
Herzégovine du sud, Uskoplje-Orah  
MALM (couches à *Cladocoropsis mirabilis*)

Fig. 2

Calcaire à «*Macroporella*» *sellii* Crescenti, *Thaumatoporella parvovesiculifera* (Rain.) etc. ( $\times 28$ ). Pl. mince 354-61. Dans l'association: Kurnubies, Lituolidés, *Labyrinthina*  
Herzégovine du sud, Uskoplje-Orah  
MALM (couches à *Cladocoropsis mirabilis*)

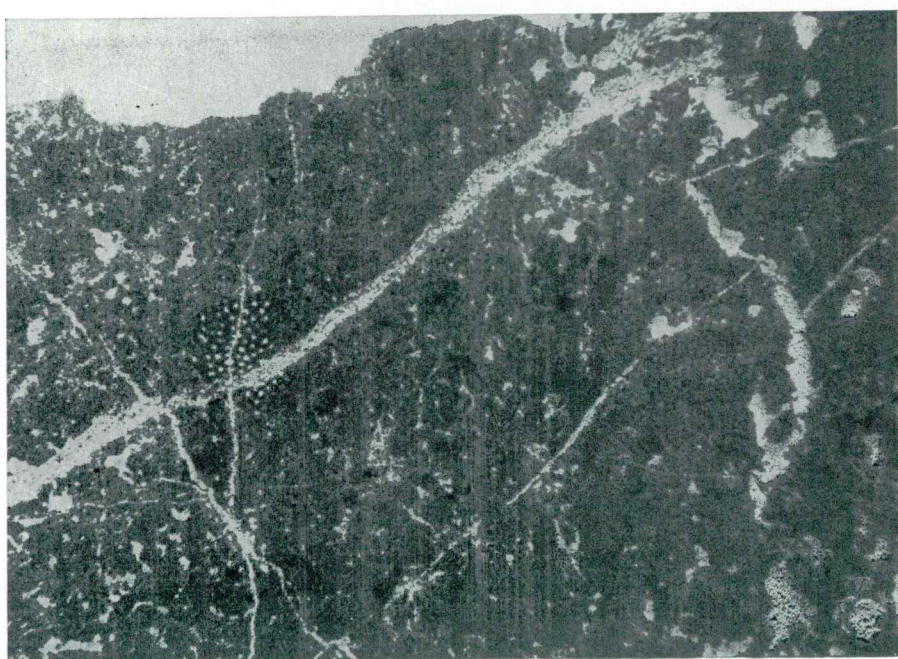


PLANCHE CIV

Fig. 1 et 2

Calcaire à *Bullopora* sp., Kurnubies, autres Foraminifères et Dasycladacées  
(fig. 1 —  $\times 50$ , fig. 2 —  $\times 28$ ). Pl. minces 566 et 567-61  
Herzégovine du sud, Čovine-Vlaka  
MALM (couches à *Cladocoropsis mirabilis*)

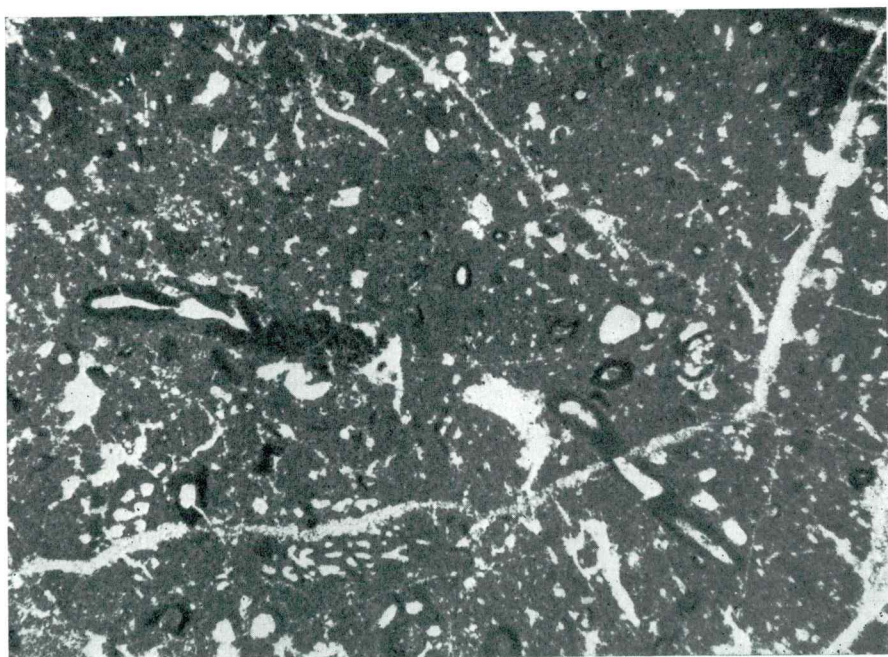
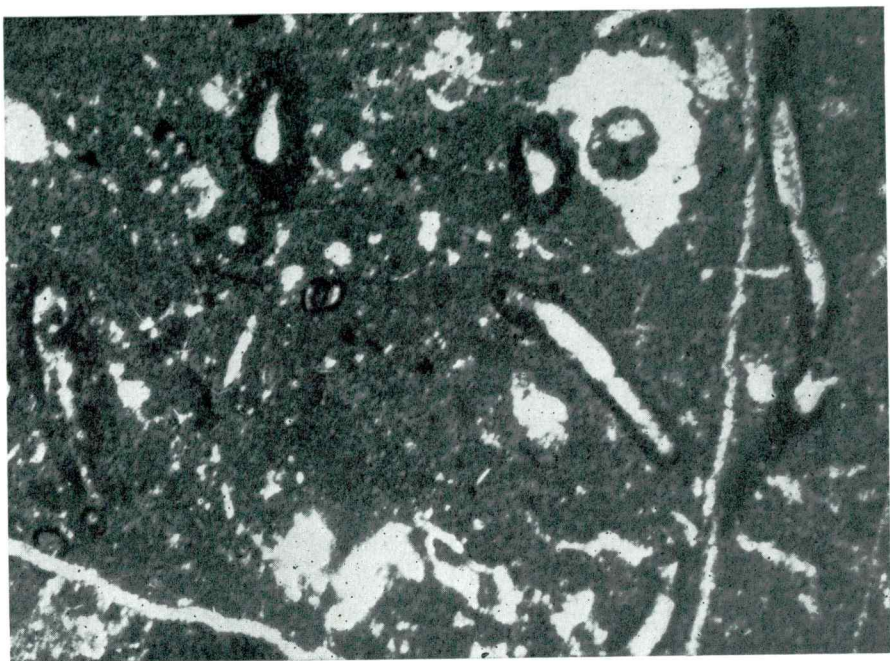


PLANCHE CV

Fig. 1

Calcaire à Foraminifères ( $\times 28$ ). Pl. mince 346-61. Dans l'association: rares *Kurnubia* et *Thaumatoporella*  
Herzégovine du sud, Uskoplje-Orah  
MALM (KIMMÉRIDGIEN)

Fig. 2

Calcaire à Cyanophytes ( $\times 15$ ). Pl. mince 348-61. Dans l'association: rares Ostracodes et Foraminifères  
Herzégovine du sud, Uskoplje-Orah  
MALM SUPÉRIEUR (couche à *Clypeina jurassica*)

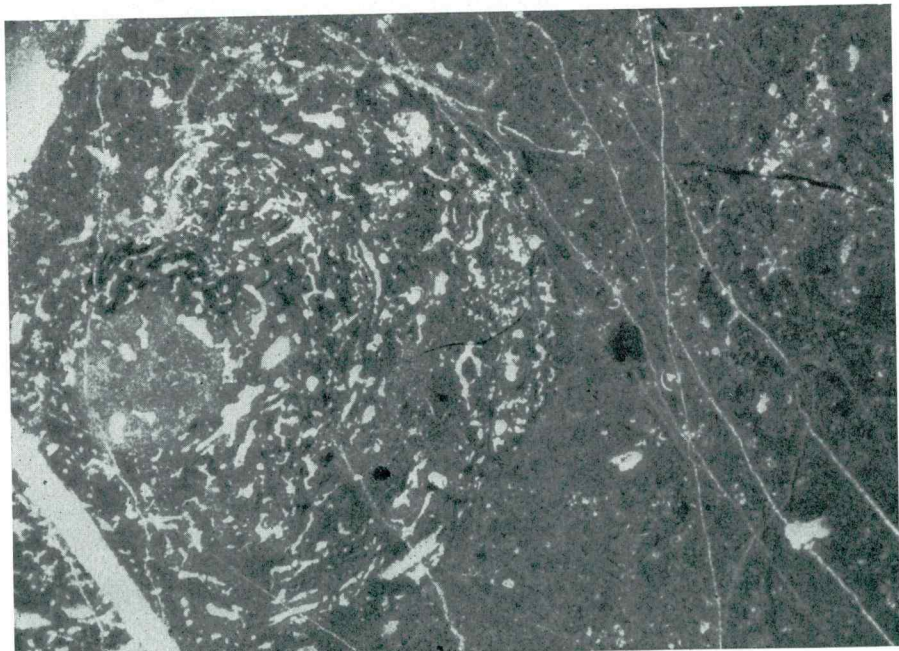
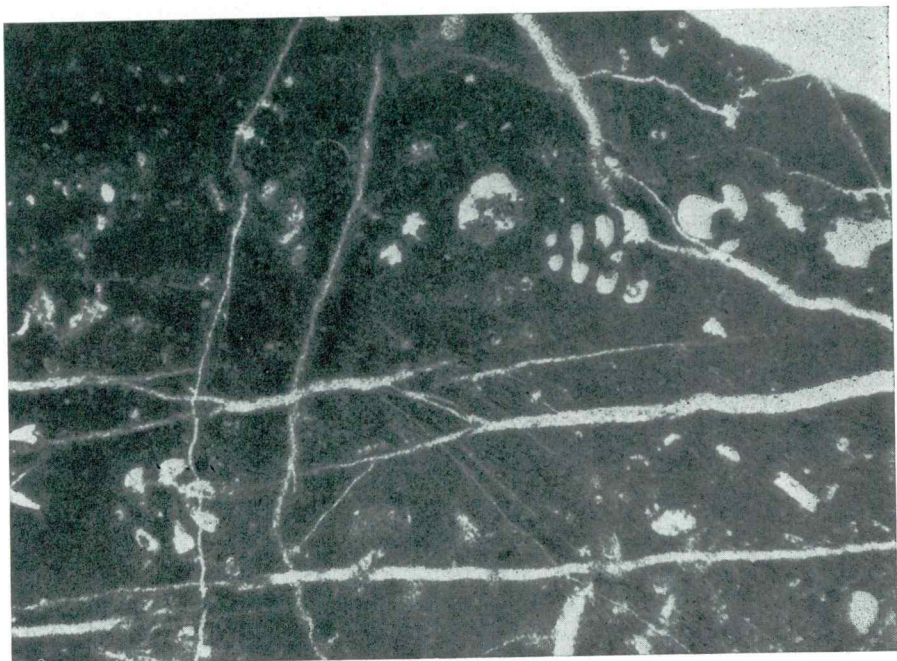


PLANCHE CVI

Fig. 1

Calcaire à *Kurnubia palastiniensis* Henson et *Pfenderina* sp. ( $\times 28$ ). Pl. mince 512-61. Dans l'association: *Thaumatoporella parvovesiculifera* (Rain.) Herzégovine du sud, environs de Radovan ždrijelo  
MALM SUPÉRIEUR

Fig. 2

Calcaire à Charophytes ( $\times 28$ ). Pl. mince 444-61  
Herzégovine du sud, Šćenica  
MALM SUPÉRIEUR (couche à *Clypeina jurassica*)

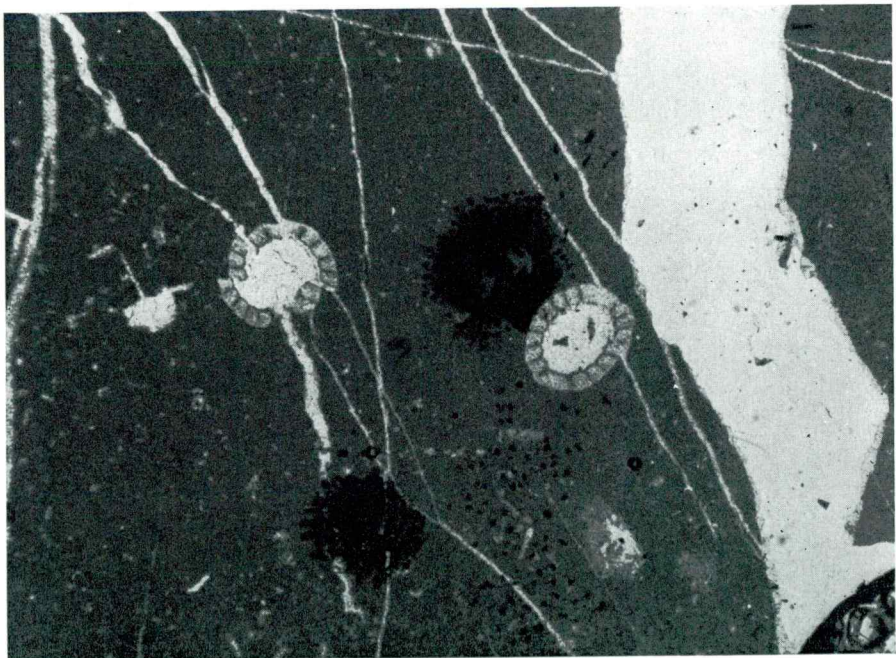


PLANCHE CVII

Fig. 1

Calcaire marneux à Ostracodes ( $\times 28$ ). Pl. mince 360-61  
Herzégovine du sud, au sud d'Orah  
MALM SUPÉRIEUR (PORTLANDIEN, couches à *Clypeina jurassica*)

Fig. 2

Calcaire dolomitique à *Clypeina jurassica* Favre ( $\times 28$ ). Pl. mince 349-61  
Herzégovine du sud, au sud d'Orah  
MALM SUPÉRIEUR (PORTLANDIEN)

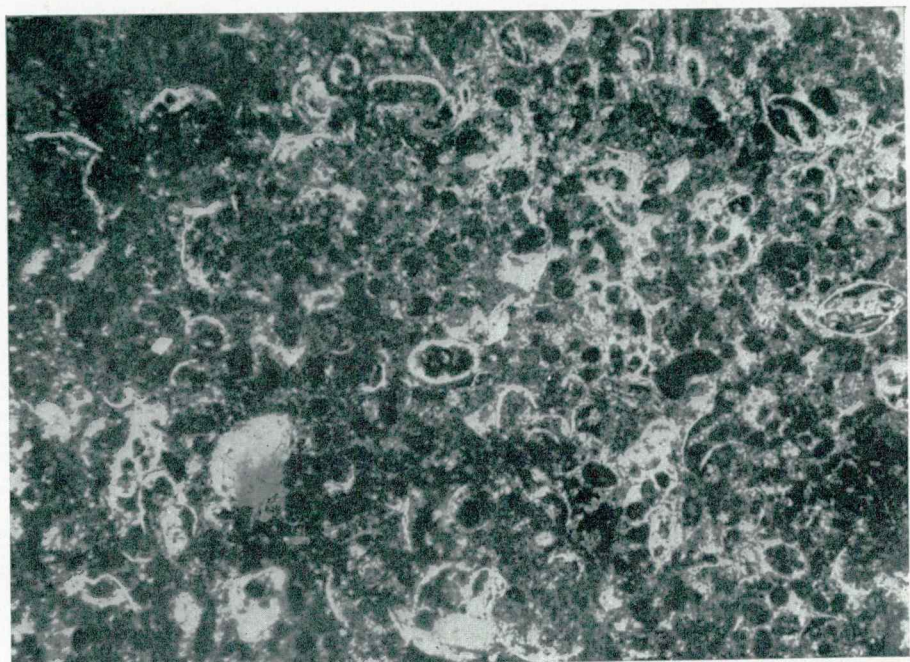


PLANCHE CVIII

Fig. 1

Calcaire organogène à *Clypeina jurassica* Favre, *Pianella gigantea* (Carozzi), Tintinnines aberrantes et Foraminifères peu abondants ( $\times 28$ ). Pl. mince 521-61 Herzégovine du sud, Radovan ždrijelo

INFRALANGINIEN

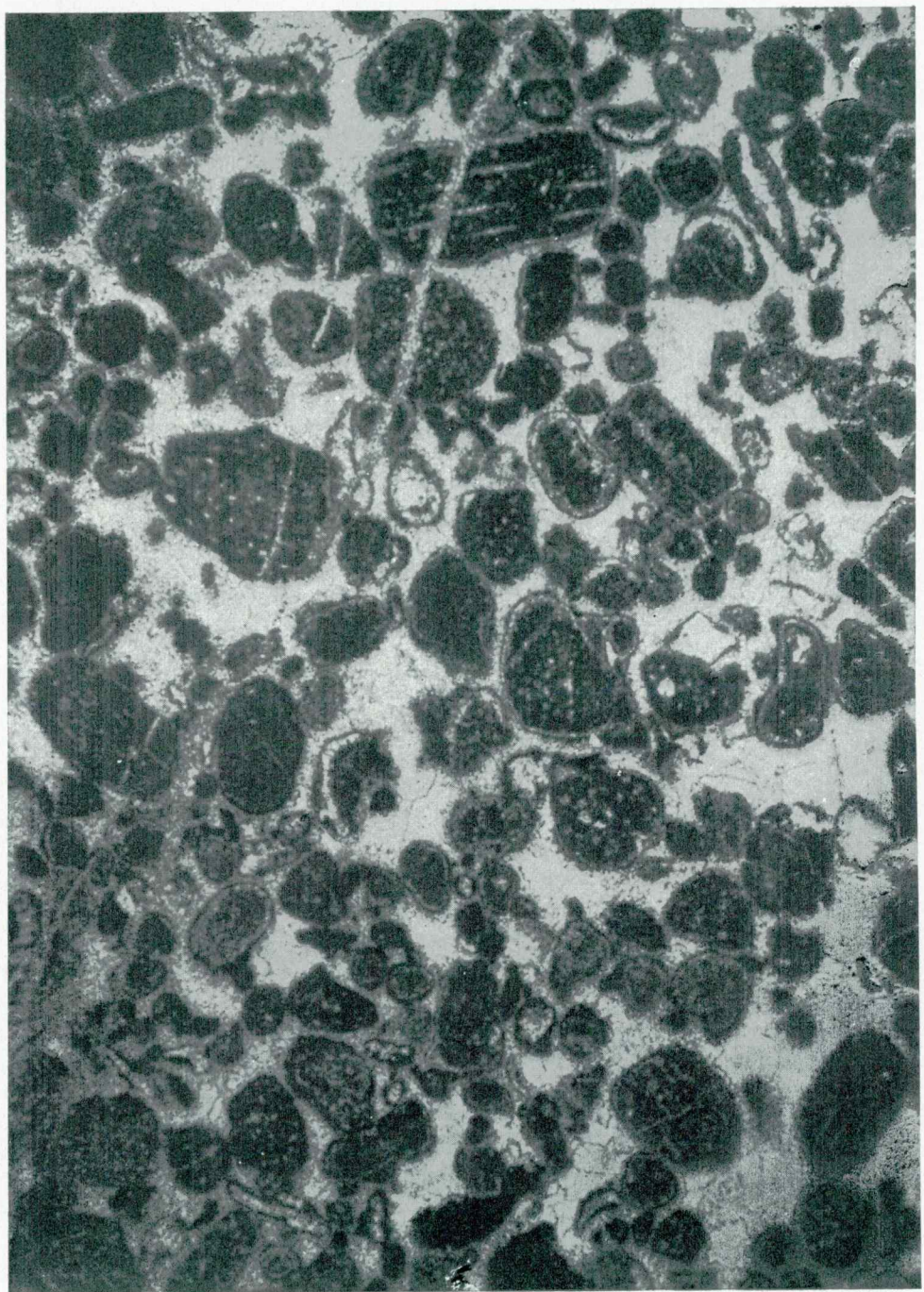


PLANCHE CIX

Fig. 1

Calcaire à Coprolithes — *Favreina salevensis* (Paréjas) ( $\times 35$ ). Pl. mince 362-61  
Herzégovine du sud, Zaplanik

INFRAVALANGINIEN (couches à *Clypeina jurassica* et Tintinnines aberrantes)





**LA SÉRIE JURASSIQUE DE LA RÉGION MOSOR—BIOKOVO—BAČINE**

(Tableau № 8)

Planches: CX à CXXI

PLANCHE CX

Fig. 1

Calcaire à *Palaeodasycladus mediterraneus* Pia ( $\times 18$ ). Pl. mince 1000-61. Dans l'association: *Thaumatoporella parvovesiculifera* (Rain.) et Foraminifères peu nombreux

Montagne Biokovo, versants suds

LIAS (partie moyenne de la série liasique)

Fig. 2

Calcaire à *Thaumatoporella parvovesiculifera* (Rain.), ( $\times 27,5$ ). Pl. mince 1001-61  
Montagne Biokovo, versants suds

LIAS (partie moyenne de la série liasique)

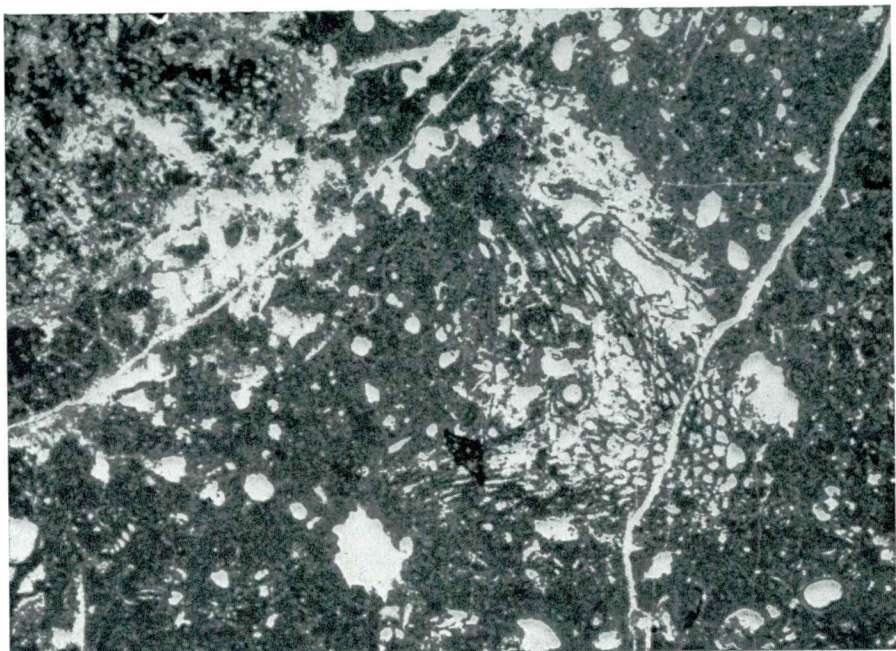


PLANCHE CXI

Fig. 1 et 2

Calcaire à *Orbitopsella* sp., *Glomospira* sp., Lituolidés, Trocholines et débris divers peu abondants (fig. 1 —  $\times 27$ , fig. 2 —  $\times 60$ ). Pl. mince 1061-61. Dans l'association: rares Codiacées

Montagne Biokovo, versants suds

LIAS (partie moyenne de la série liasique)

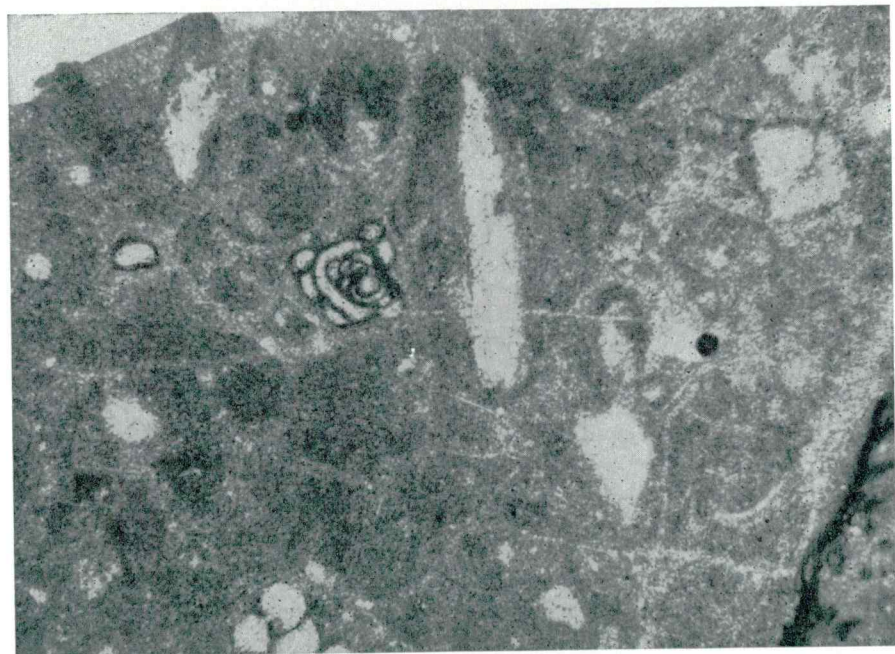


PLANCHE CXII

Fig. 1 et 2

Calcaire oolithique-détritique à *Dictyoconus cayeuxi* (Lucas), *Endothyra*, etc.  
( $\times 37$ ). Pl. mince 1005a-61

Montagne Biokovo, versants sud

DOGGER INFÉRIEUR

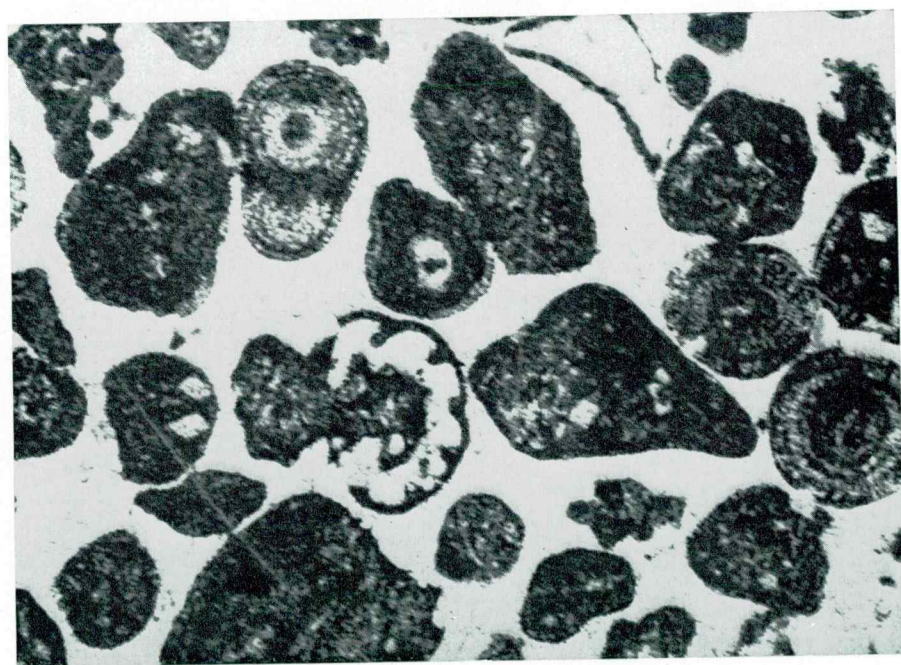
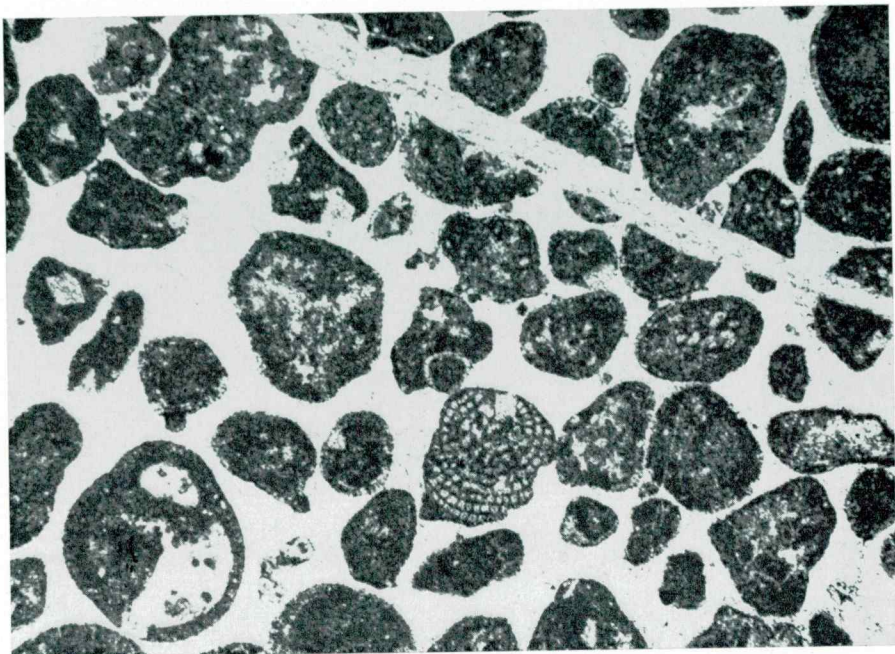


PLANCHE CXIII

Fig. 1 et 2

Calcaire oolithique-détritique à *Dictyoconus cayeuxi* (Lucas), ( $\times 37$ ). Pl. mince  
1005 a-61

Montagne Biokovo, versants suds  
DOGGER INFÉRIEUR

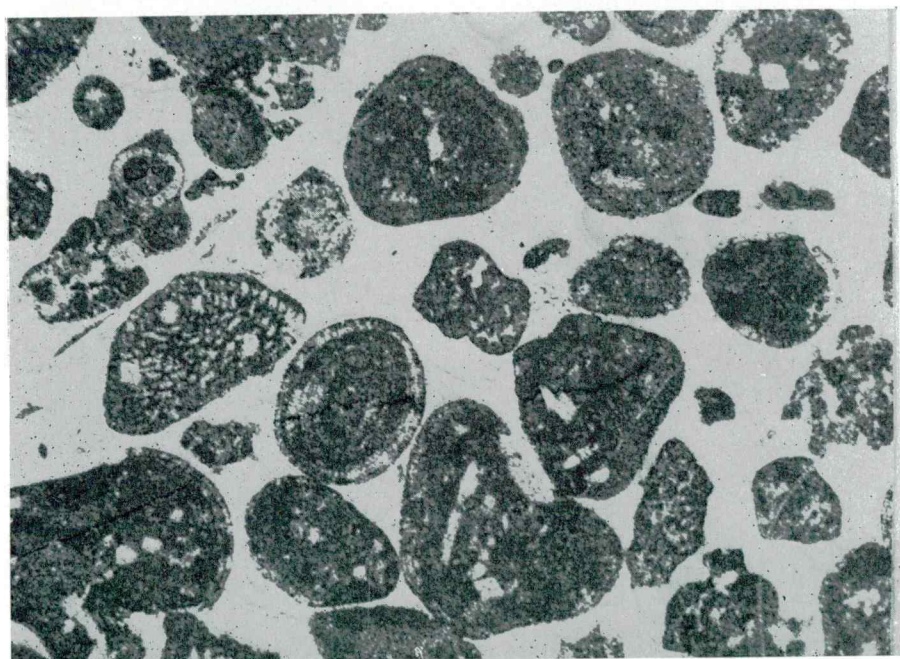
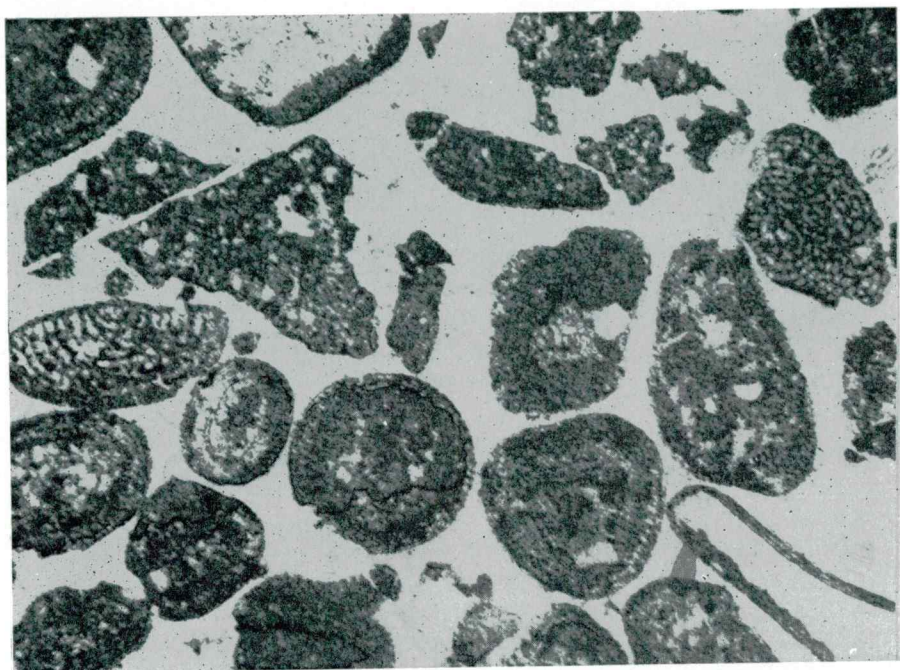


PLANCHE CXIV

Fig. 1

Calcaire oolithique-détritique à *Protopeneroplis striata* Weynschenk ( $\times 65$ ).  
Pl. mince 1012-61  
Biokovo de l'ouest, environs de Zadvarje  
DOGGER SUPÉRIEUR

Fig. 2

Calcaire oolithique-détritique à Trocholines ( $\times 65$ ). Pl. mince 1013-61. Dans  
l'association: *Protopeneroplis striata* Weynschenk, petits Foraminifères, débris  
de Mollusques, d'Echinodermes et de Dasycladacées  
Biokovo de l'ouest, environs de Zadvarje  
DOGGER SUPÉRIEUR

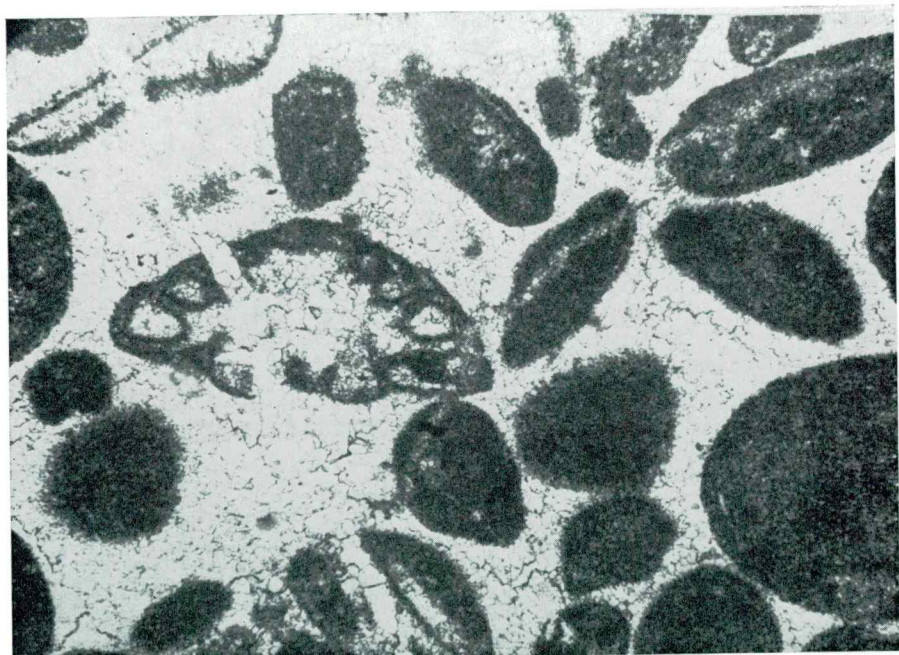
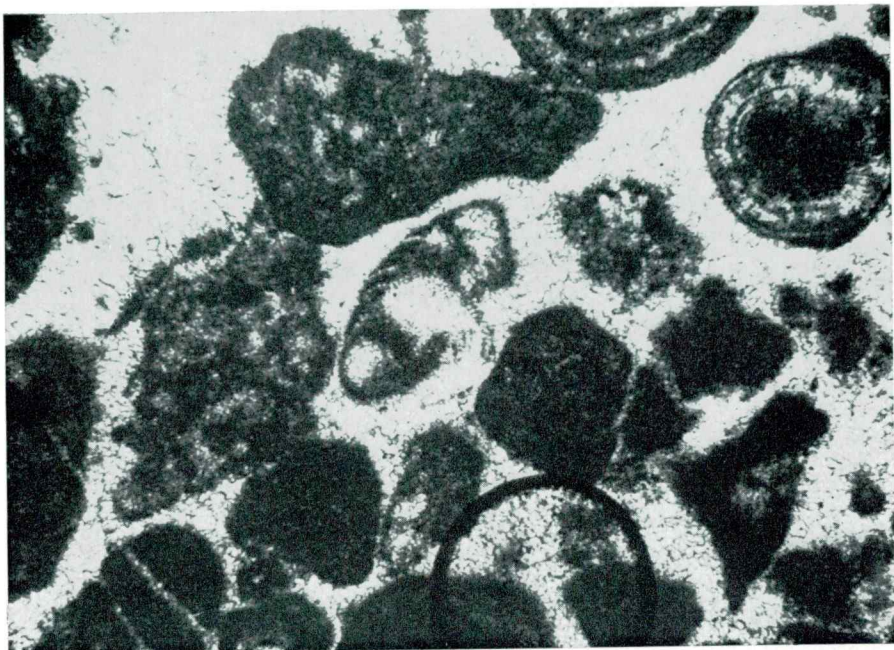


PLANCHE CXV

Fig. 1 et 2

Calcaire organogène-détritique, subcristallin, à *Selliporella donzellii* Sartoni & Crescenti et débris de Mollusques ( $\times 17,5$ ). Pl. mince 994-61  
Montagne Biokovo, versants suds du St Ilija  
DOGGER SUPÉRIEUR

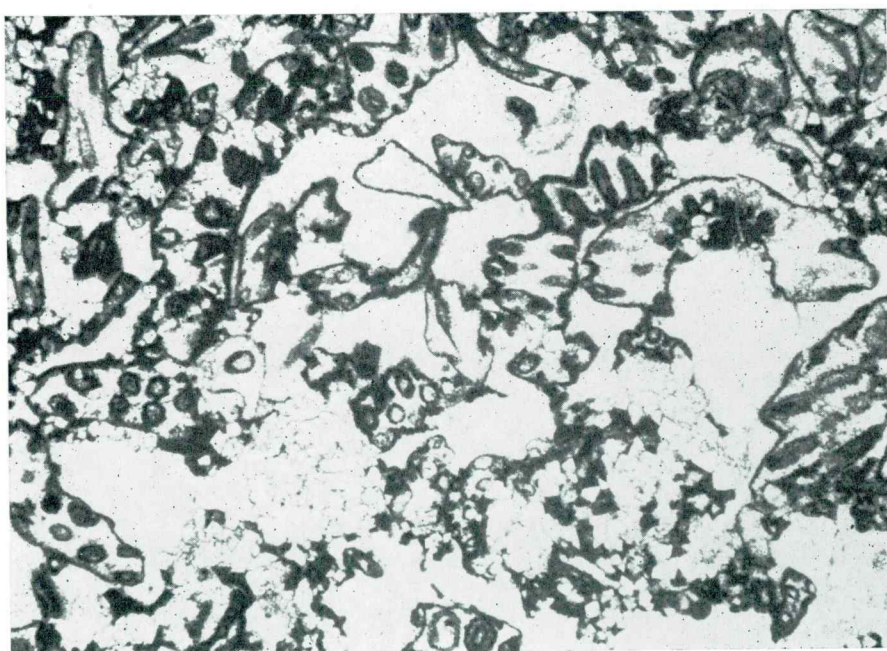
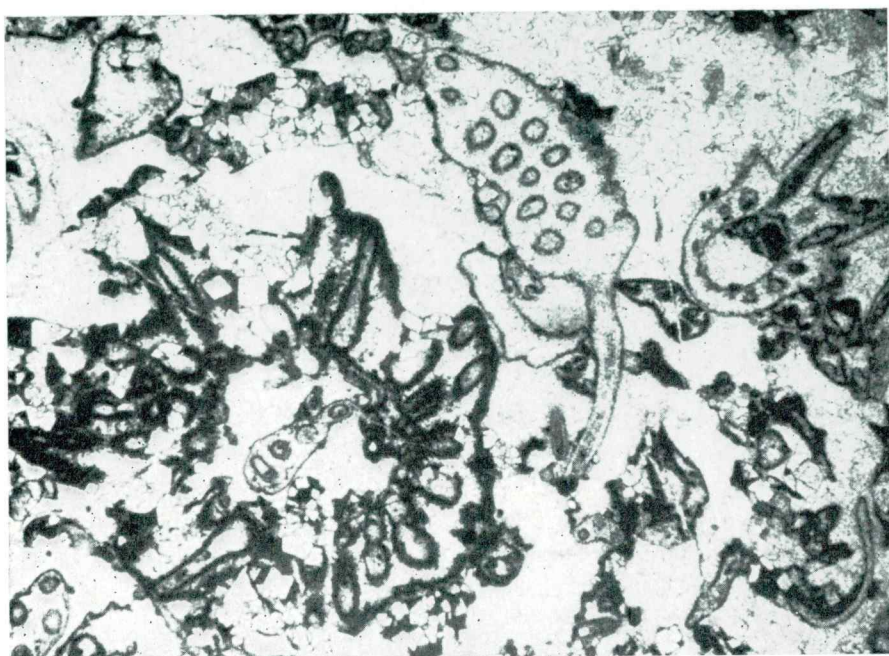


PLANCHE CXVI

Fig. 1

Calcaire grumeleux à Pfenderines, autres Foraminifères et débris divers peu abondants ( $\times 27,5$ ). Pl. mince 1071-61  
Biokovo de l'ouest, Kolibret-Čikeš  
MALM INFÉRIEUR (couches les plus anciennes)

Fig. 2

Calcaire légèrement marneux à *Pseudocyclammina lituus* (Yocoyama), ( $\times 27,5$ ).  
Pl. mince 1123-61. Dans l'association: *Thaumatoporella parvovesiculifera* (Rain.),  
*Cladocoropsis mirabilis* Felix et *Kurnubia*  
Montagne Biokovo, Babinjača  
MALM (OXFORDIEN-KIMMÉRIDGIEN)

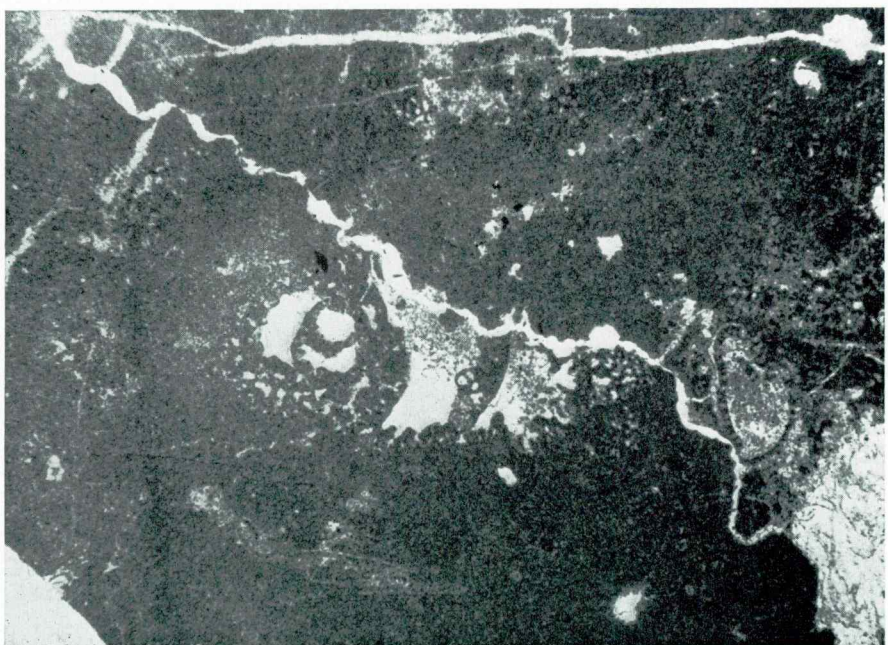
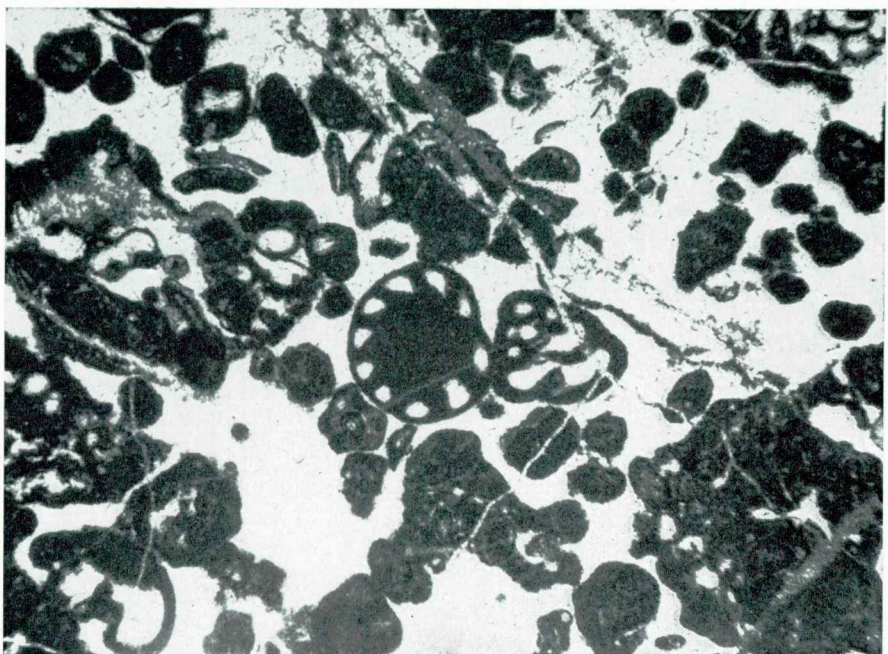


PLANCHE CXVII

Fig. 1 et 2

Calcaire à *Labyrinthina mirabilis* Weynschenk ( $\times 27,5$ ). Pl. mince 703-60. Dans l'association: *Conicospirillina*, *Pseudocyclamina* et autres Foraminifères  
Montagne Mosor, sud-ouest de Ljubljen  
MALM (KIMMÉRIDGIEN)

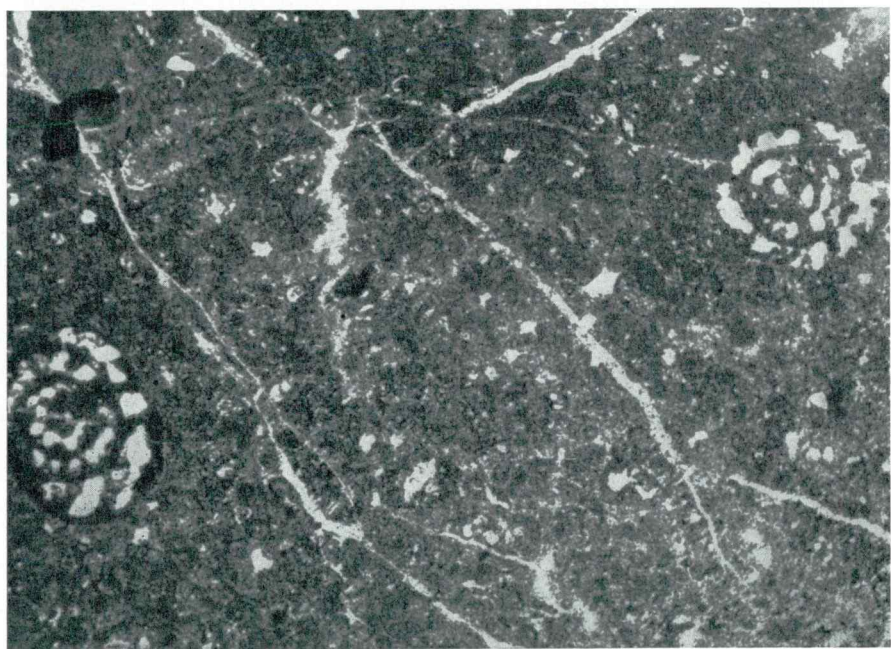
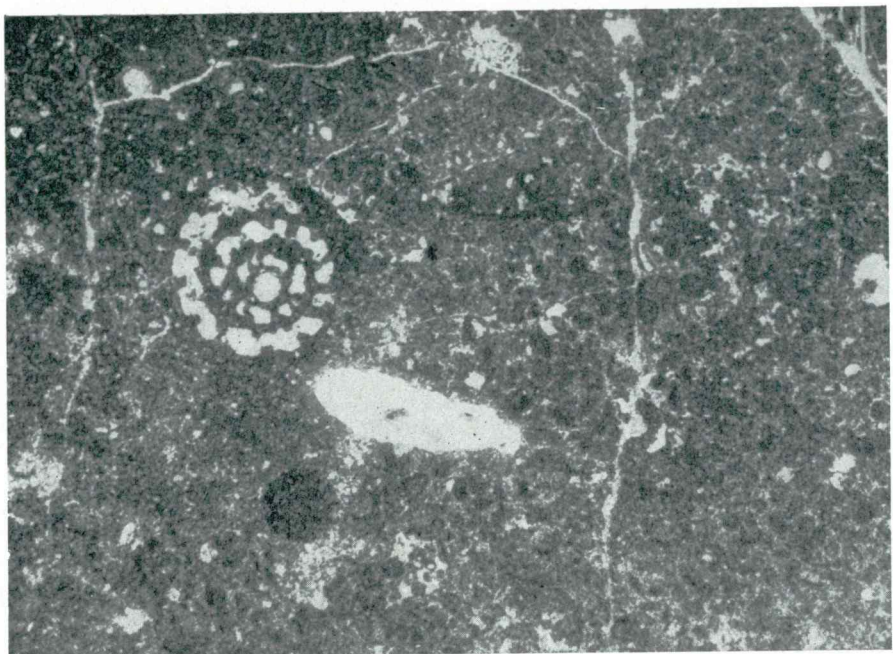


PLANCHE CXVIII

Fig. 1 et 2

Calcaire grumeleux à *Clypeina jurassica* Favre, *Pianella* cf. *gigantea* Carozzi  
et Foraminifères peu nombreux ( $\times 27,5$ ). Pl. mince 1126-60  
Montagne Mosor, Ljubljen de l'ouest  
MALM SUPÉRIEUR (PORTLANDIEN)

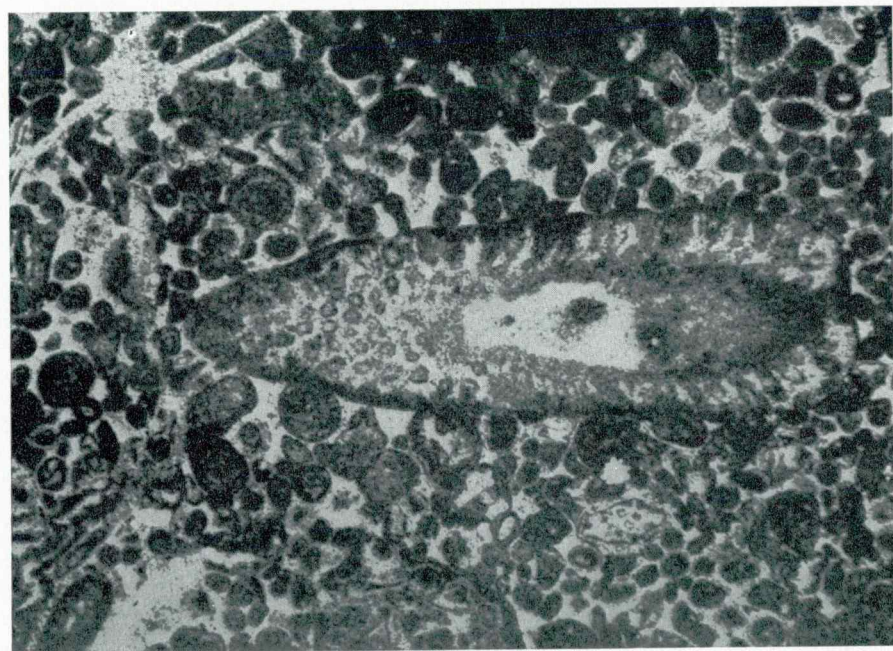


PLANCHE CXIX

Fig. 1

Calcaire grumeleux, en partie oolithique, à *Clypeina jurassica* Favre et Codiacées ( $\times 27,5$ ). Pl. mince 713-60  
Montagne Mosor, versant sud-est  
MALM SUPÉRIEUR (PORTLANDIEN)

Fig. 2

Calcaire cristallin à *Clypeina jurassica* Favre et Tintinnines aberrantes —  
*Campbelliella mileši* Radoičić et aut. ( $\times 17,5$ ). Pl. mince 2297-60  
Environs du lac Bačinsko jezero  
INFRAVALANGINIEN

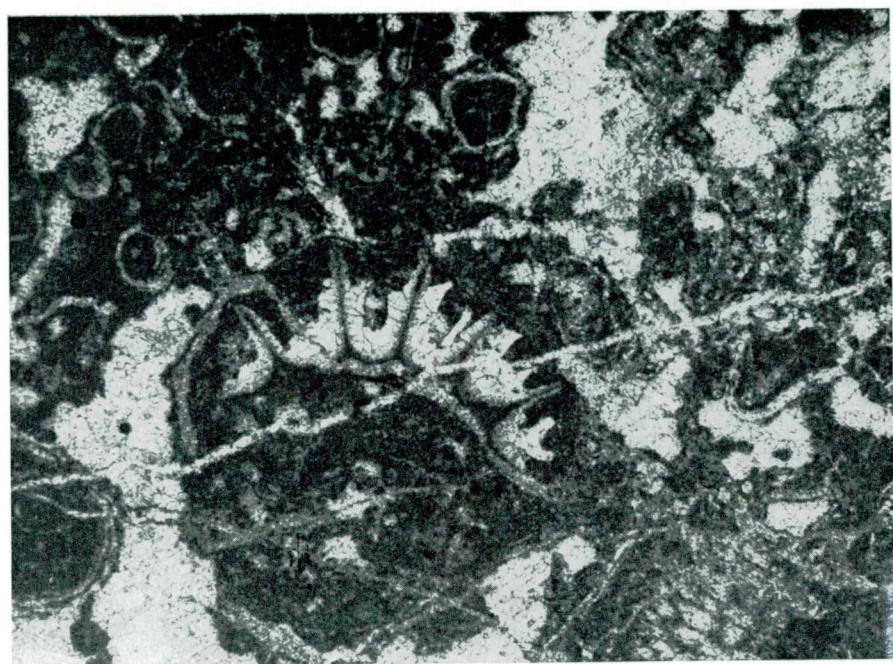


PLANCHE CXX

Fig. 1

Calcaire grumeleux à Tintinnines aberrantes — *Campbelliella mileši* Radoičić (× 40). Pl. mince 1074-61. Dans l'association: *Salpingoporella annulata* Carozzi et petits Foraminifères peu nombreux

Biokovo de l'ouest, Kolibret-Čikeš

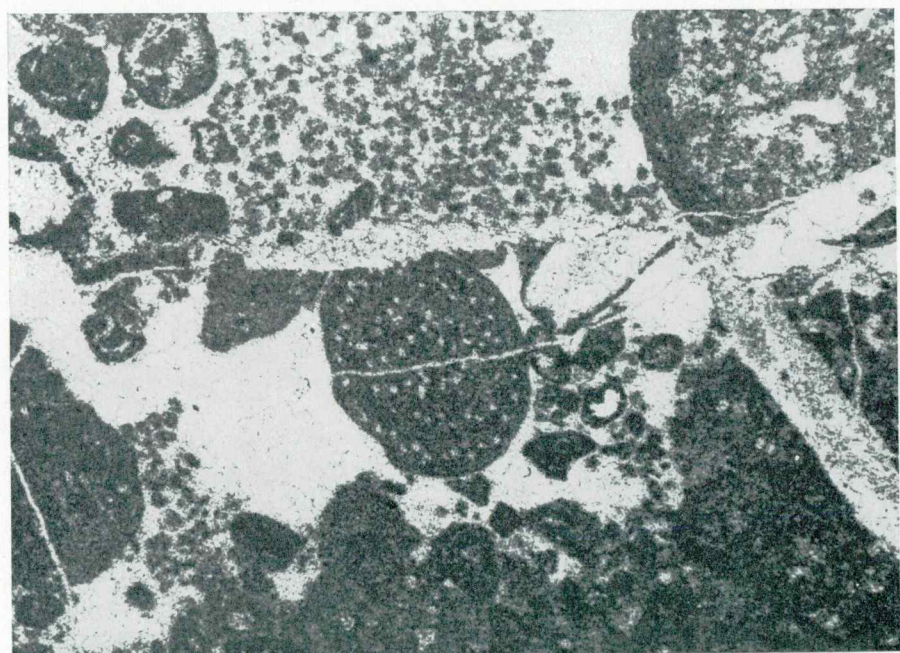
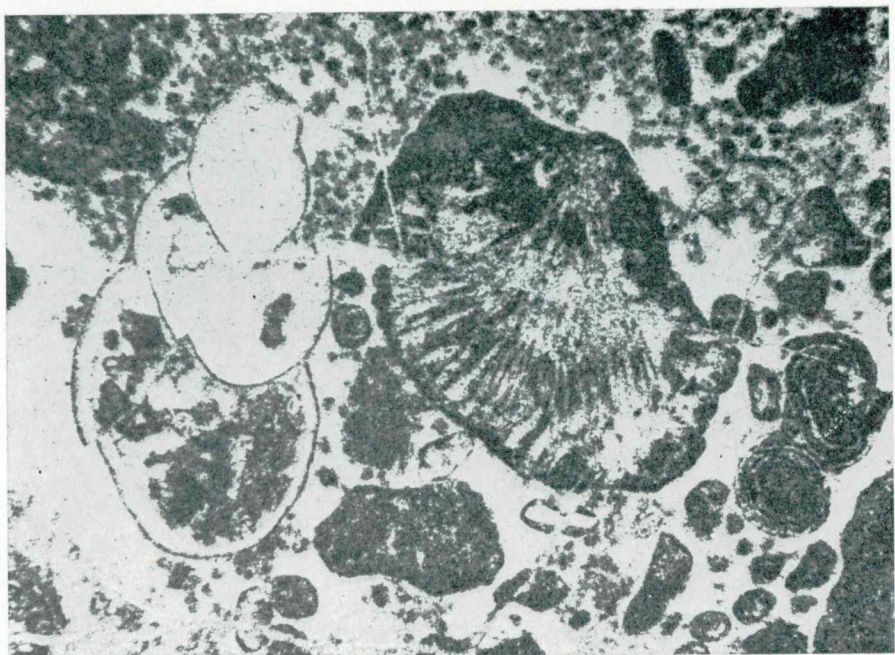
VALANGINIEN



PLANCHE CXXI

Fig. 1 et 2

Calcaire, en partie oolithique jusqu'à grumeleux, à *Favreina salevensis* (Paréjas),  
Codiacées, Microgastéropodes, etc. ( $\times 50$ ). Pl. mince 2298-60  
Environs du lac Bačinsko jezero  
VALANGINIEN





**LA SÉRIE JURASSIQUE DE LEMES ET DE SES ENVIRONS**

(Tableau N° 9)

Planches: CXXII à CXXXIII

PLANCHE CXXII

Fig. 1 et 2

Calcaire à *Orbitopsella praecursor* (Gümbel), ( $\times 17,5$ ). Pl. mince 2420-60. Dans l'association: *Glomospira* sp. et autres Foraminifères  
Lemeš, environs de Vinica

LIAS

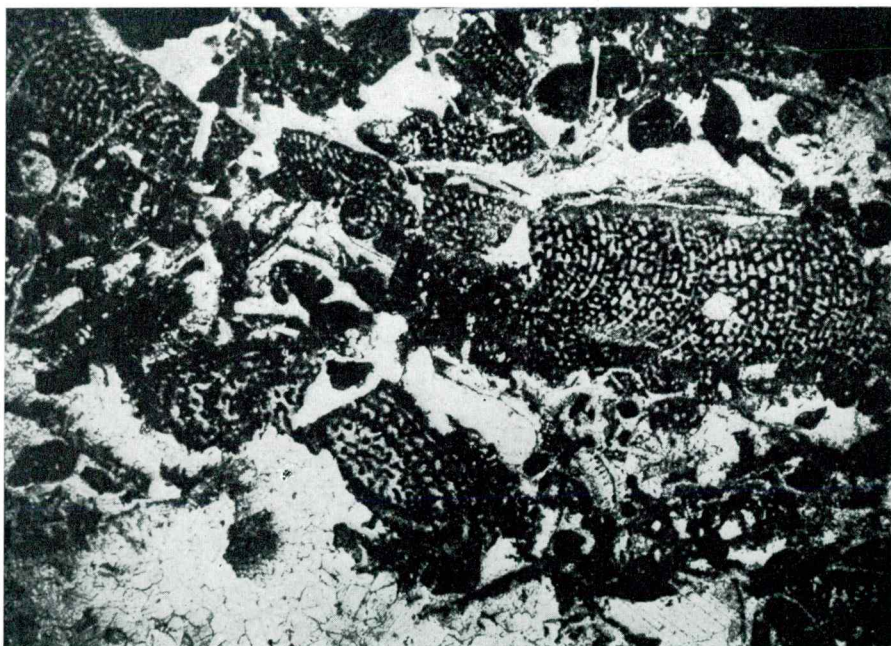
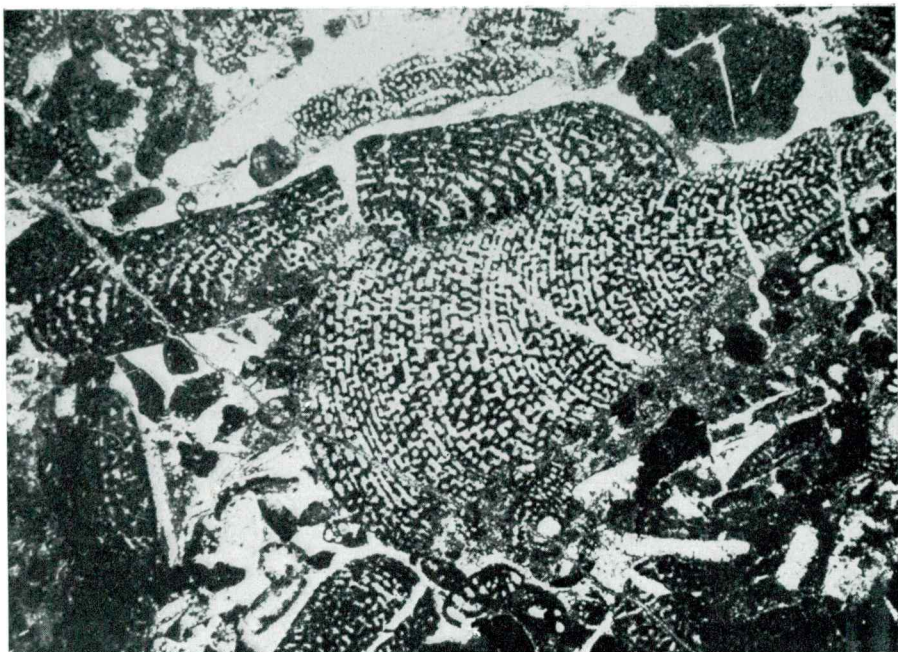


PLANCHE CXXIII

Fig. 1 et 2

Calcaire à Ostracodes et Foraminifères peu abondants (fig. 1 —  $\times 20$ ; fig. 2 —  $\times 27,5$ ). Pl. mince 2423-60

Lemeš, environs de Vinica

LIAS (couches à *Lithiotis*)

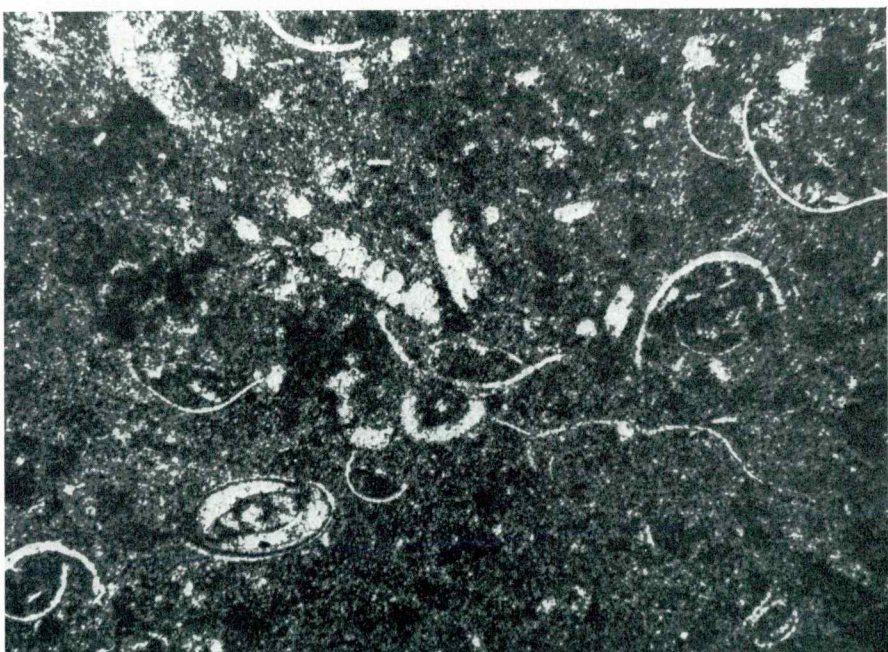
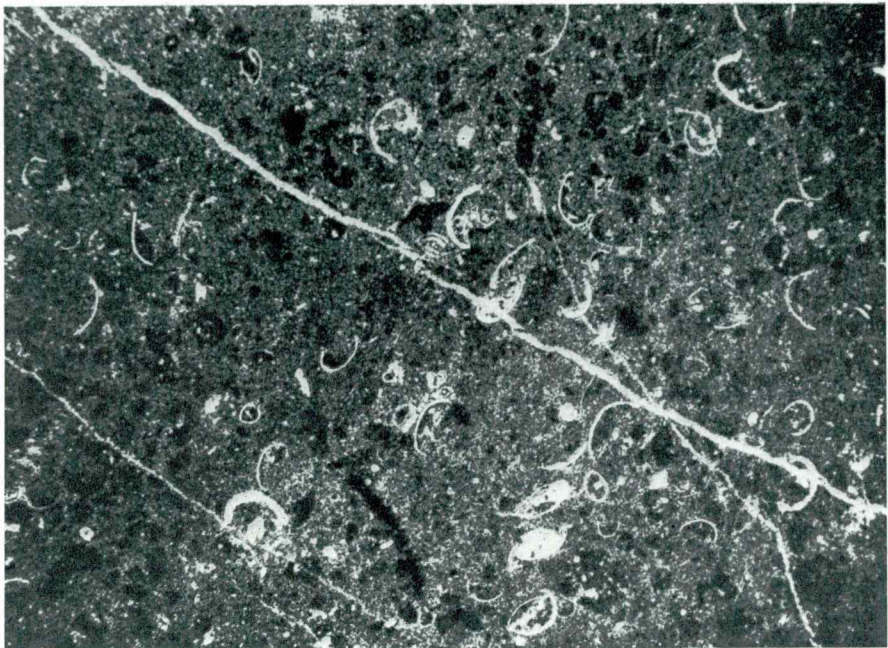


PLANCHE CXXIV

Fig. 1 et 2

Calcaire à Foraminifères (Lituolidés, *Glomospira* et autres), débris de Mollusques etc. (fig. 1 —  $\times 30$ ; fig. 2 —  $\times 72$ ). Pl. mince 2412. Dans l'association: *Palaeodasycladus mediterraneus* Pia.

Lemeš, environs de Vinica

LIAS (couches à *Lithiotis*)

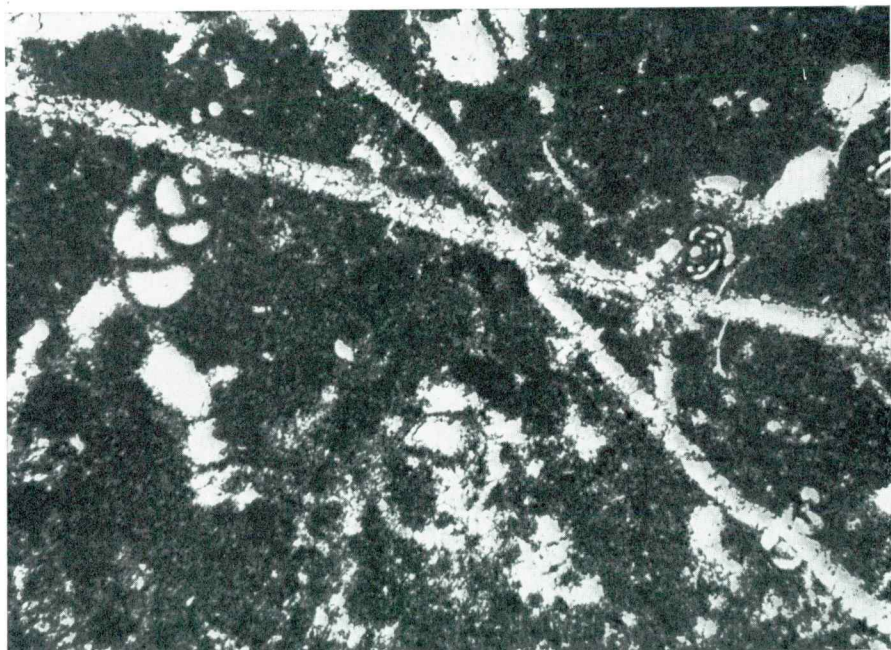


PLANCHE CXXV

Fig. 1 et 2

Calcaire à *Glomospira* sp., Trochamminidés, Verneuilinidés, autres Foraminifères et *Thaumatoporella parvovesiculifera* (Rain.)

Lemeš, environs de Vinica

LIAS MOYEN-SUPÉRIEUR

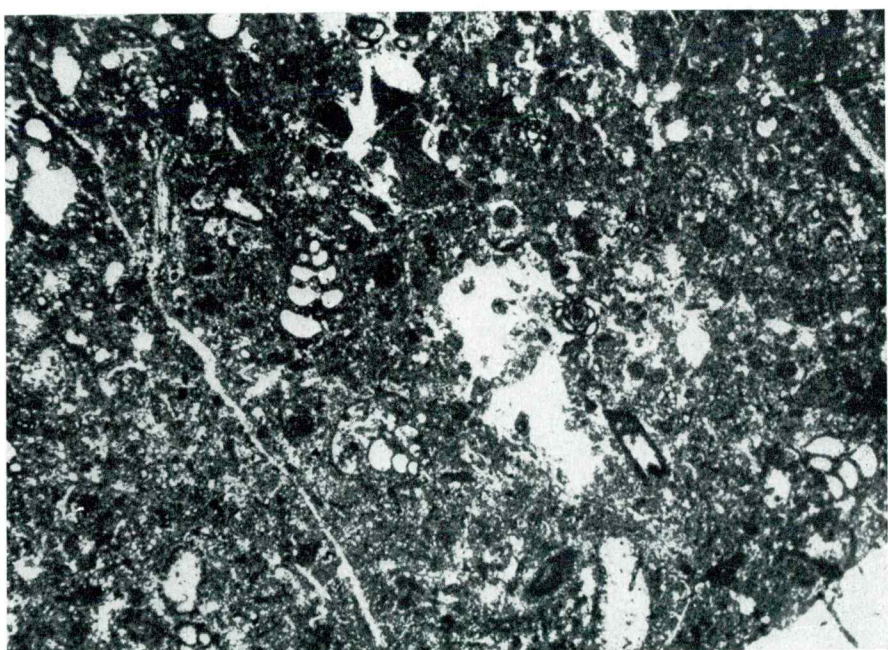
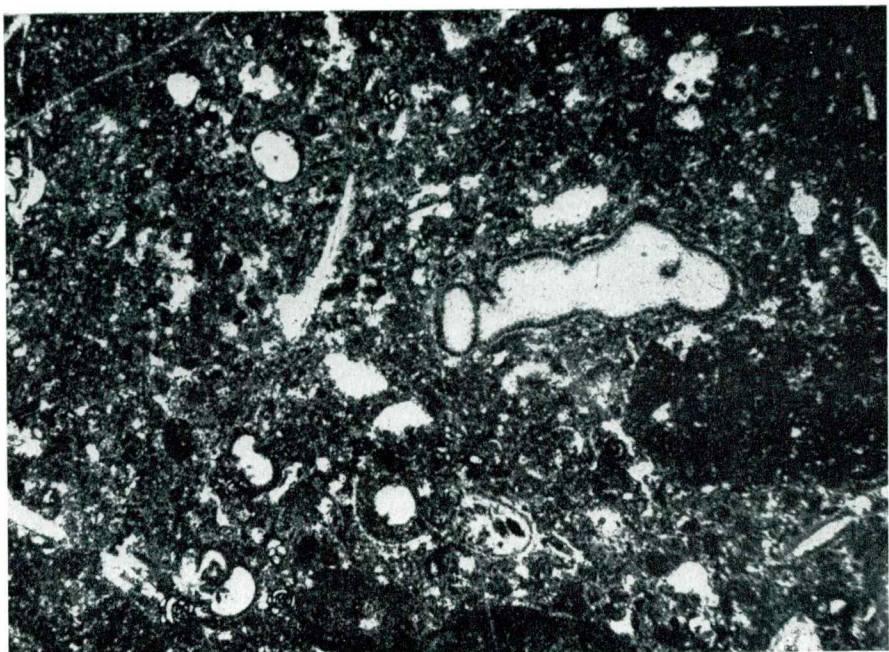


PLANCHE CXXVI

Fig. 1

Calcaire oolithique à rares débris organogène ( $\times 27,5$ ). Pl. mince 2416-60  
Lemeš, environs de Vinica  
LIAS MOYEN-SUPÉRIEUR

Fig. 2

Calcaire micro-oolithique à *Glomospira* sp., etc. ( $\times 27,5$ ). Pl. mince 2417-60  
Lemeš, environs de Vinica  
LIAS MOYEN-SUPÉRIEUR

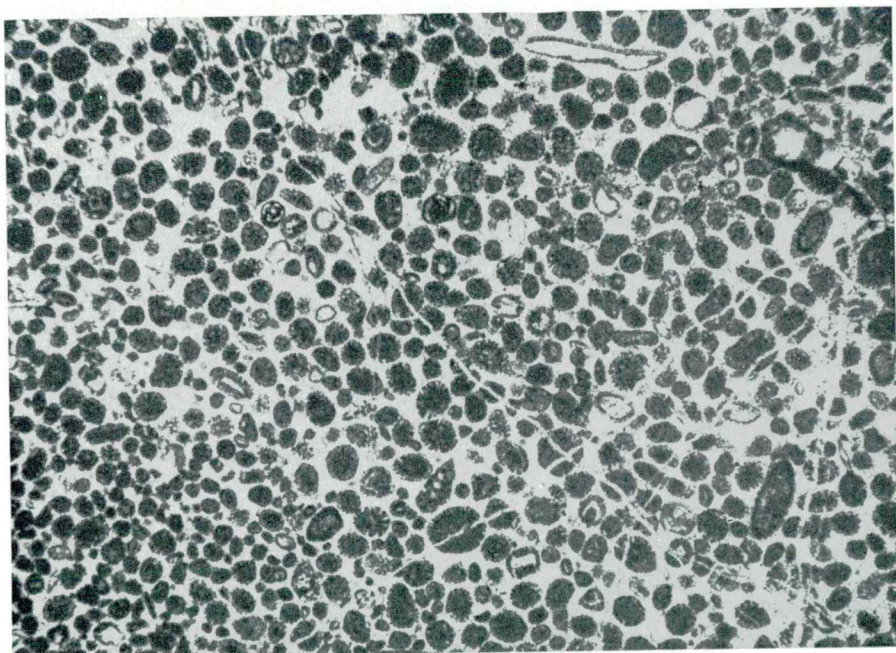
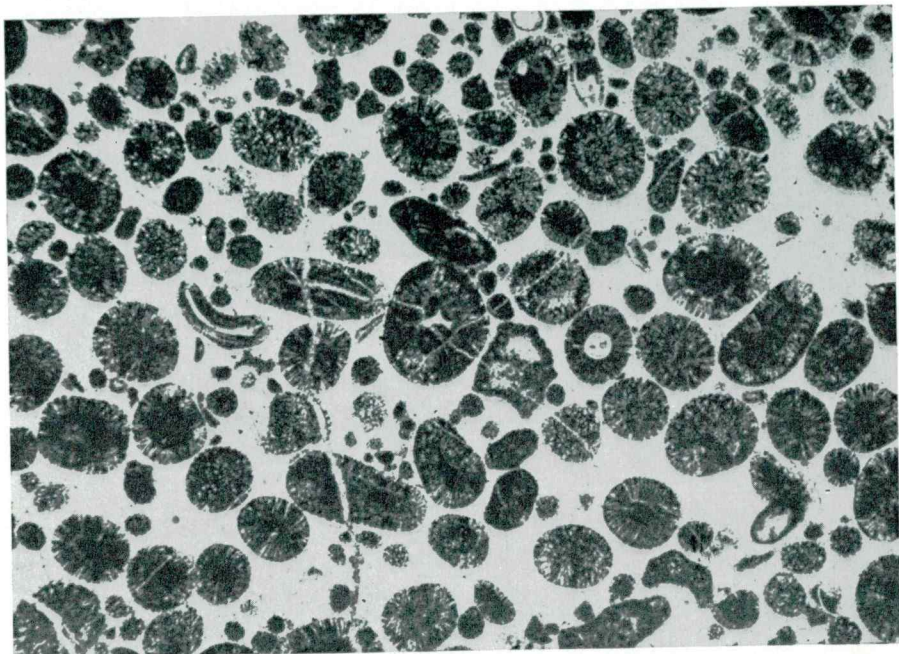


PLANCHE CXXVII

Fig. 1 et 2

Calcaire à Pfenderines ( $\times 72$ ). Pl. mince 2400-60. Dans l'association: *Thaumatoporella parvovesiculifera* (Rain.)

Lemeš, environs de Kuk

DOGGER SUPÉRIEUR-MALM INFÉRIEUR

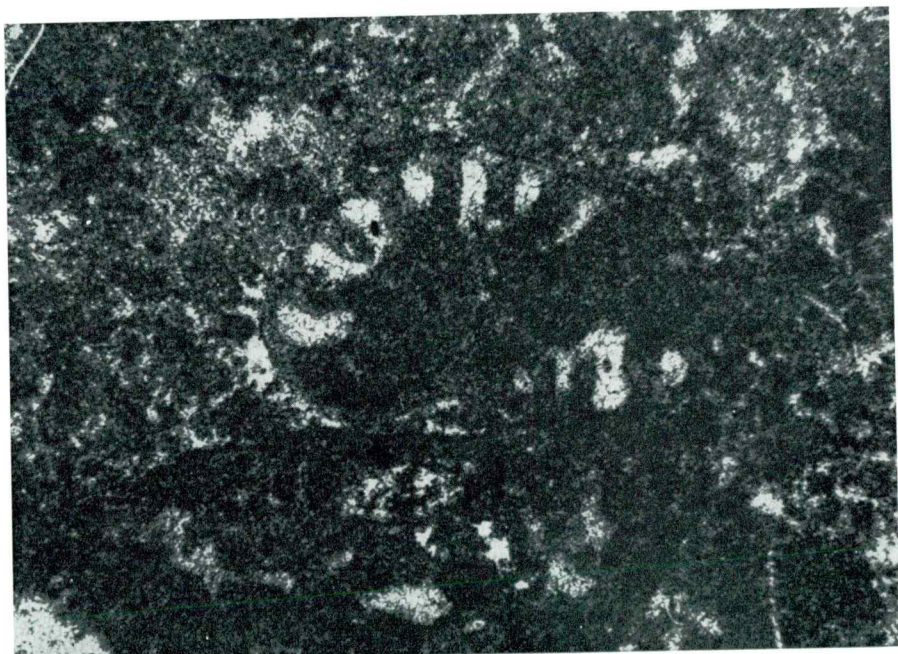
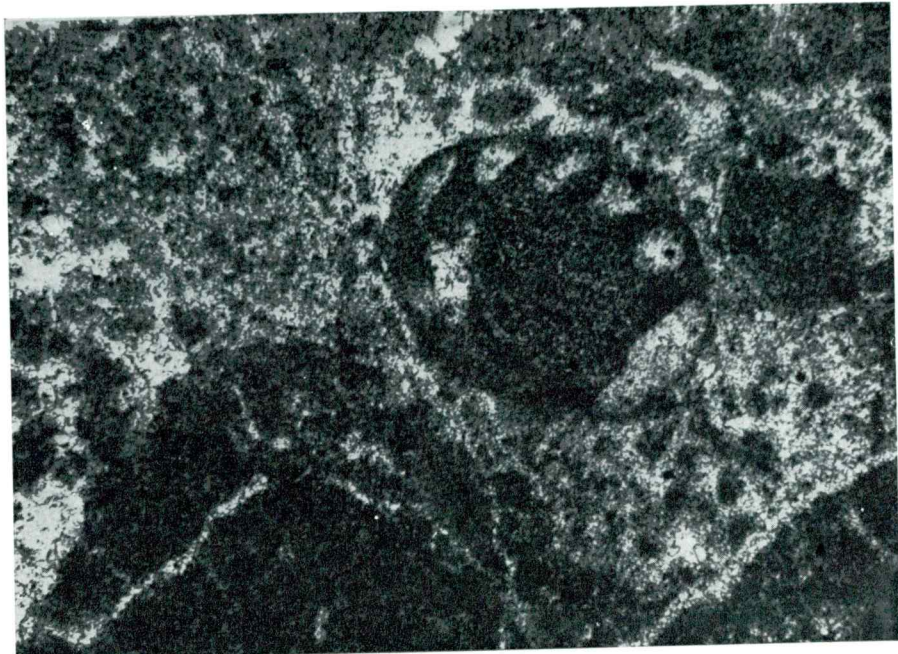


PLANCHE CXXVIII

Fig. 1

Calcaire à *Thaumatoporella parvovesiculifera* (Rain.) et Foraminifères (Pfendrines et autres), ( $\times 72$ ). Pl. mince 2402-60  
Lemeš, environs de Kuk  
DOGGER SUPÉRIEUR-MALM INFÉRIEUR

Fig. 2

Calcaire subcristallin à rares Foraminifères (Miliolidés et autres) etc. ( $\times 75$ ).  
Pl. mince 2338-60  
Lemeš  
DOGGER SUPÉRIEUR (?)—MALM INFÉRIEUR

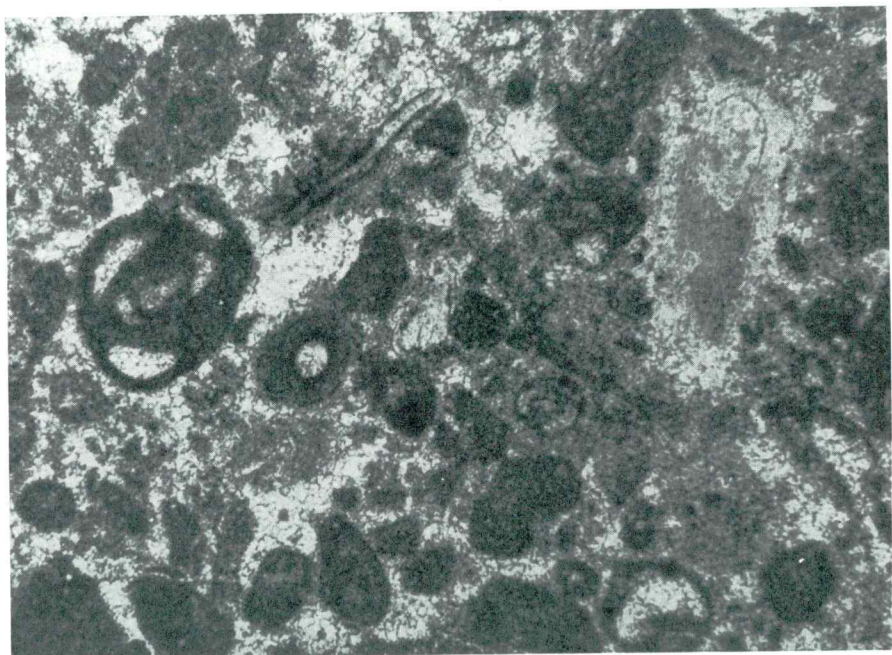
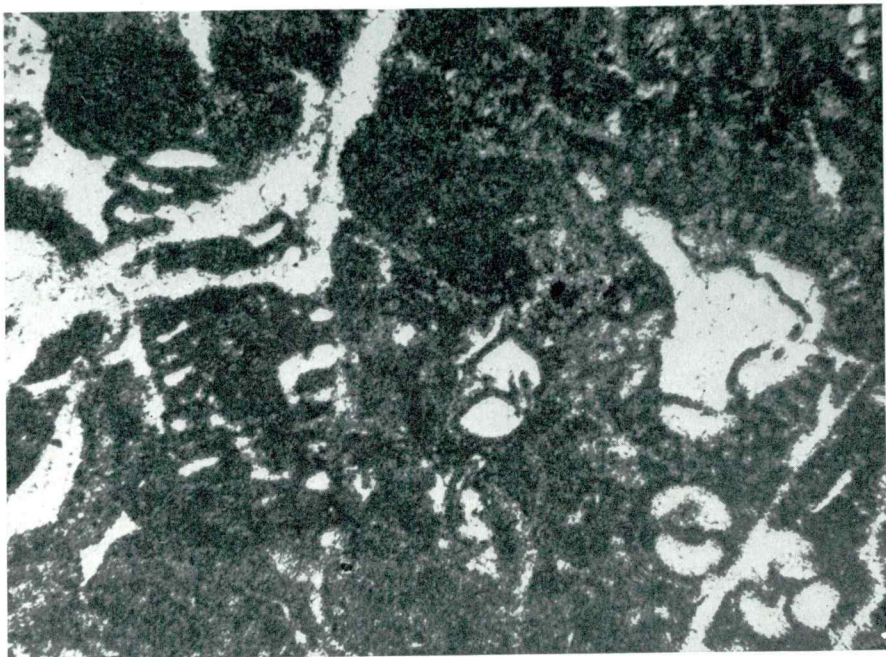


PLANCHE CXXIX

Fig. 1

Calcaire à Radiolaires ( $\times 80$ ). Pl. mince 2340-60

Lemeš

MALM INFÉRIEUR

Fig. 2

Calcaire à Globigérines peu abondantes ( $\times 100$ ). Pl. mince 2341-60. Dans l'association: Radiolaires et Lamellibranches pélagiques

Lemeš

MALM INFÉRIEUR

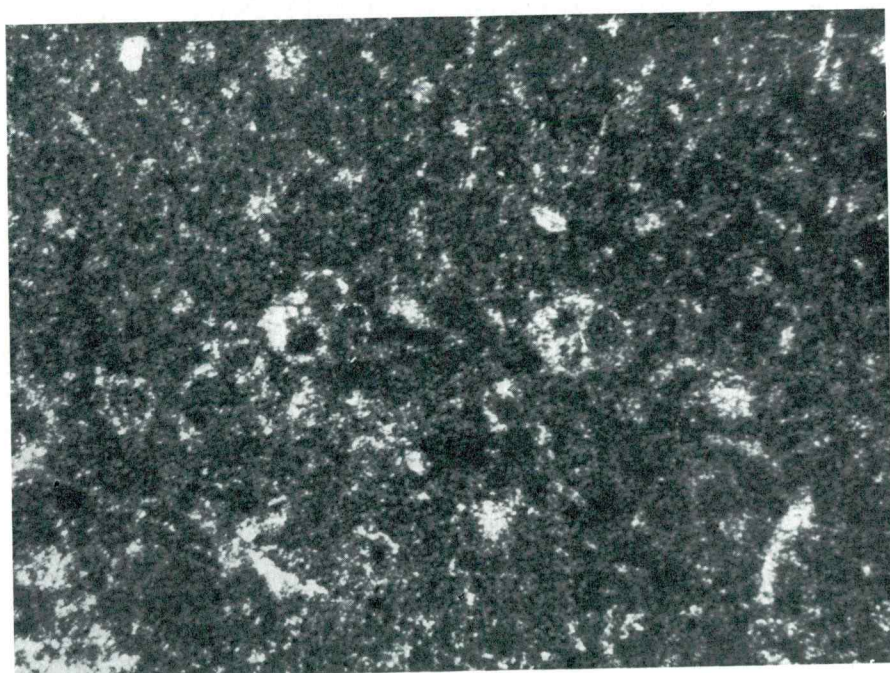
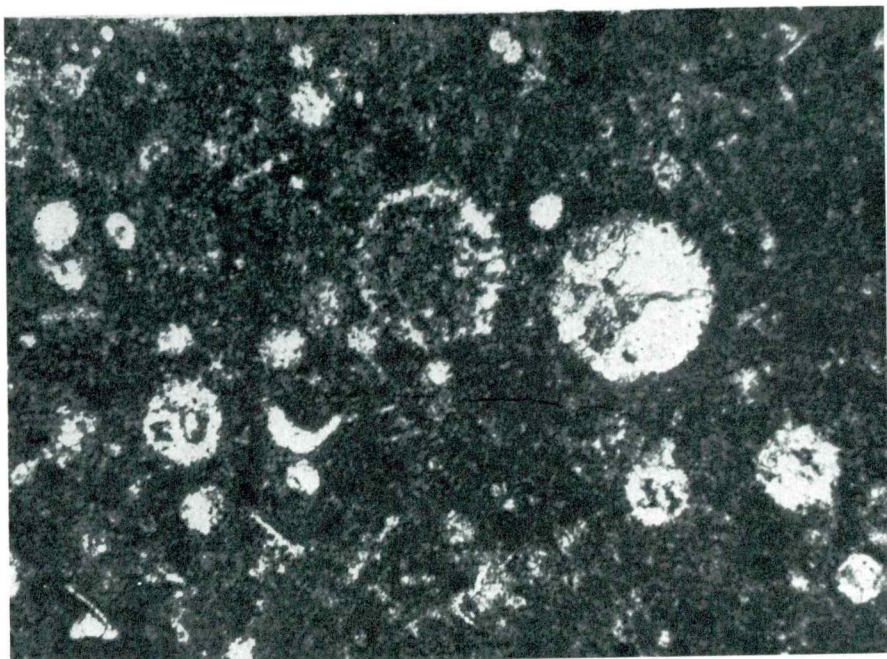


PLANCHE CXXX

Fig. 1 et 2

Calcaire à *Saccocoma* Agassiz ( $\times 28$ ). Pl. mince 2344-60  
Lemeš

MALM (KIMMÉRIDGIEN — calcaire à nombreux Ammonites)

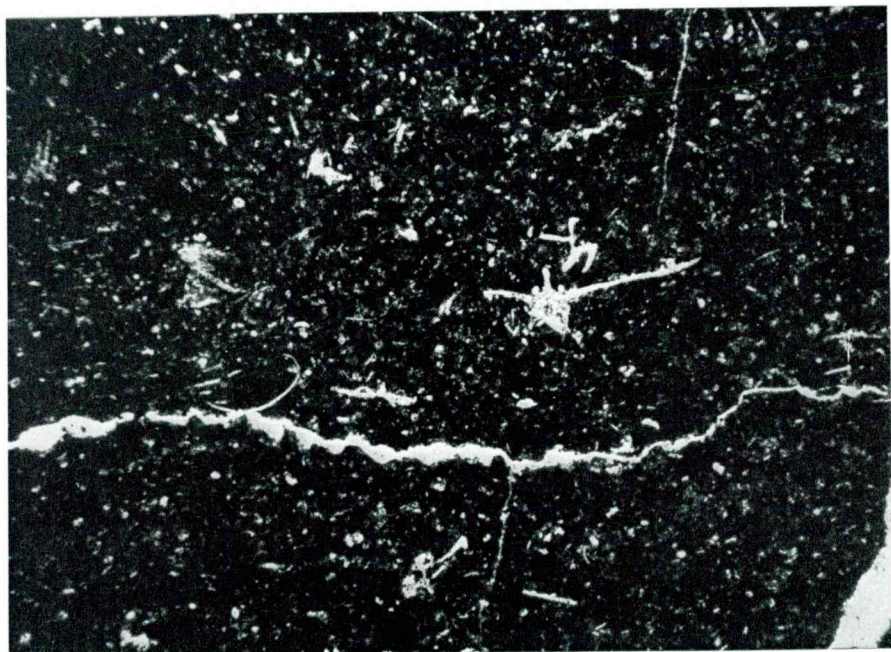
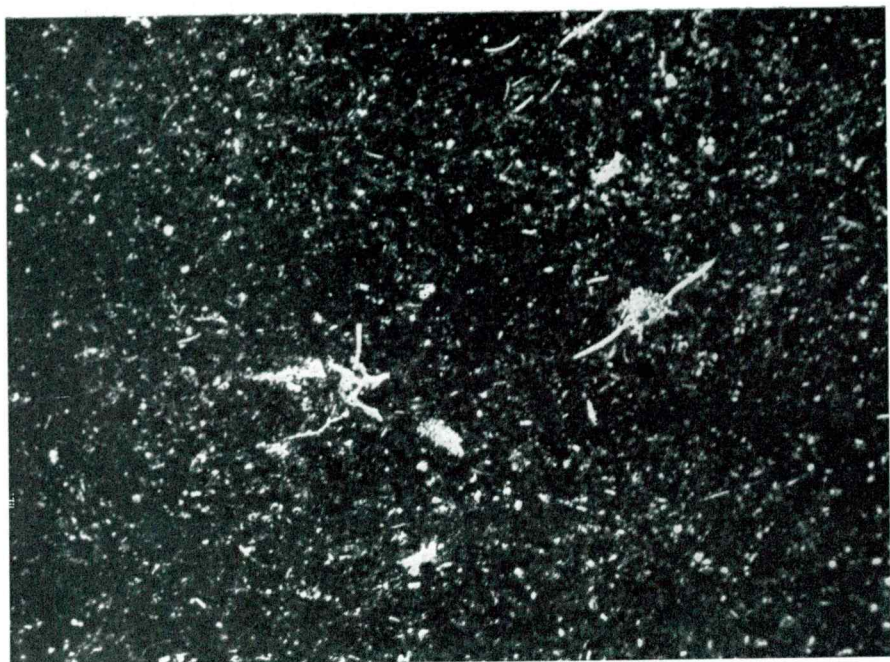


PLANCHE CXXXI

Fig. 1

Calcaire à *Saccocoma* Agassiz ( $\times 28$ ). Pl. mince 2346-60. Dans l'association:

*Globochaete alpina* Lombard.

Lemeš

MALM (KIMMÉRIDGIEN)

Fig. 2

Calcaire à Radiolaires ( $\times 28$ ). Pl. mince 2350-60

Lemeš

MALM (KIMMÉRIDGIEN)

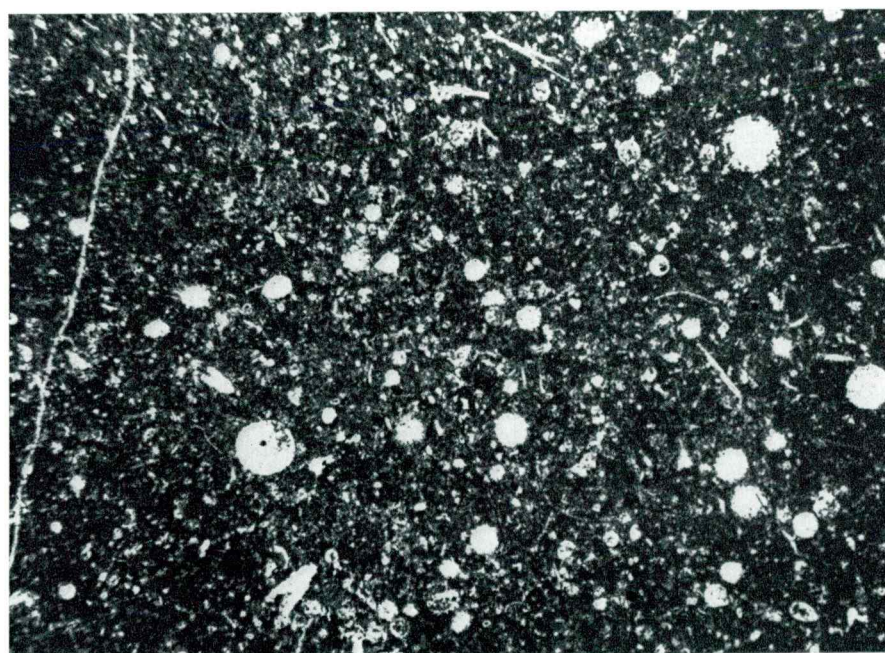
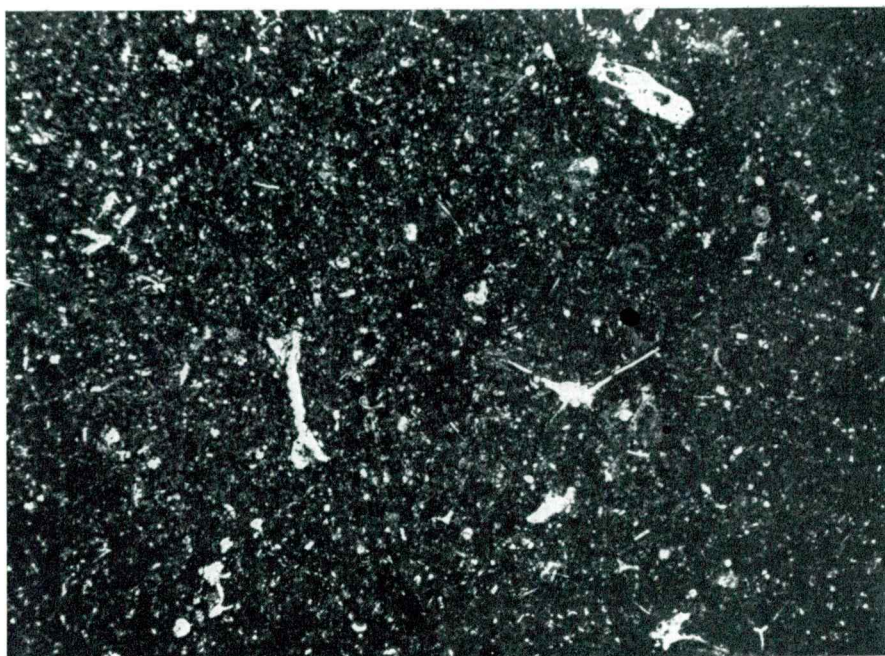


PLANCHE CXXXII

Fig. 1

Calcaire à *Conicospirillina* cf. *basiliensis* Möhler ( $\times 72$ ). Pl. mince 2365-60  
Lemeš, au nord d'Orlovača  
MALM SUPÉRIEUR (PORTLANDIEN)

Fig. 2

Calcaire à Aptychus, petits Cyanophytes etc. ( $\times 17$ ). Pl. mince 2367-60  
Environs de Lemeš, au nord d'Orlovača  
MALM SUPÉRIEUR (PORTLANDIEN)

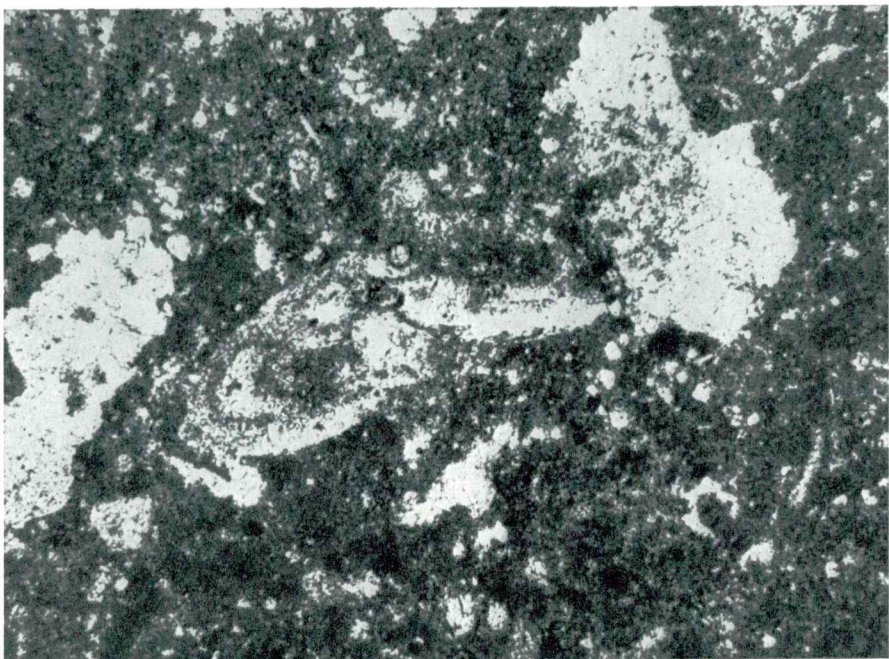


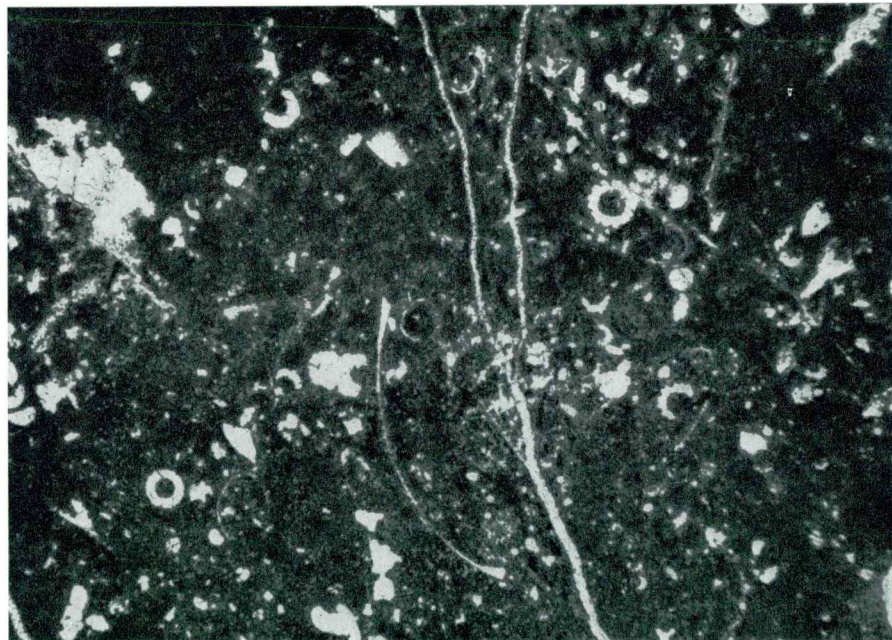
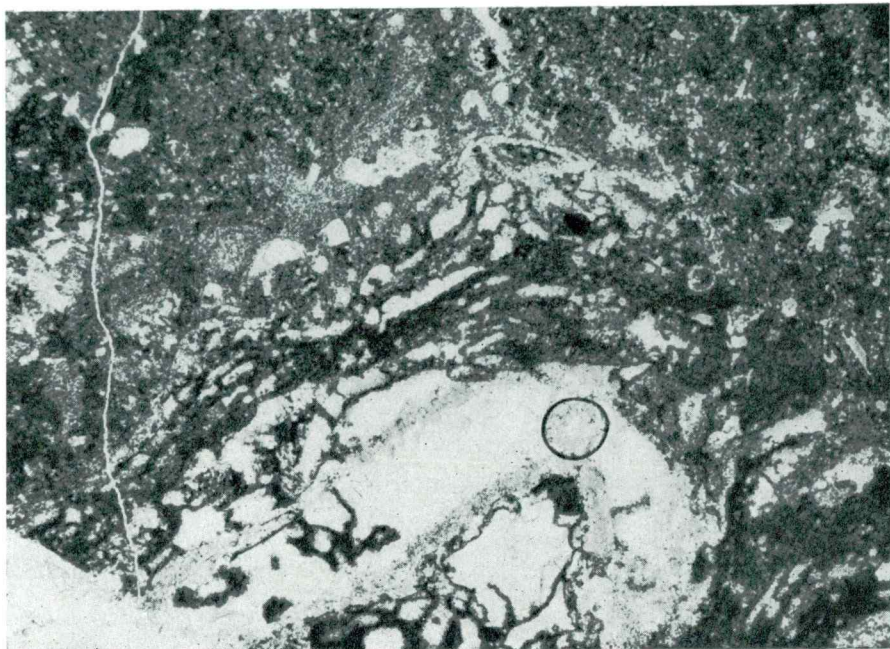
PLANCHE CXXXIII

Fig. 1

Calcaire organogène-détritique à Codiacées ( $\times 27,5$ ). Pl. mince 2368-60. Dans l'association: *Teutloporella cf. obsoleta* Carozzi  
Environs de Lemeš, au nord d'Orlovača  
MALM SUPÉRIEUR (PORTLANDIEN)

Fig. 2

Calcaire à *Salpingoporella annulata* Carozzi ( $\times 27$ ). Pl. mince 2375-60. Dans l'association: Foraminifères peu abondants  
Environs de Lemeš, Orlovača  
NÉOCOMIEN





**LA SÉRIE JURASSIQUE DES ENVIRONS DE ROVINJ**

(Tableau № 10)

Planches: CXXXIV à CXLI

PLANCHE CXXXIV

Fig. 1

Calcaire à Pfenderinidés ( $\times 27,5$ ). Pl. mince 1837-60. Dans l'association: petits Foraminifères peu abondants et *Thaumatoporella parvovesiculifera* (Rain.)  
Environs de Rovinj, St Eufimija-Križ-Figarola  
MALM INFÉRIEUR (ou DOGGER-MALM)

Fig. 2

Calcaire à Pfenderinidés et autres rares Foraminifères ( $\times 70$ ). Pl. mince 1840-60  
Environs de Rovinj, St Eufimija-Križ-Figarola  
MALM INFÉRIEUR (ou DOGGER-MALM)

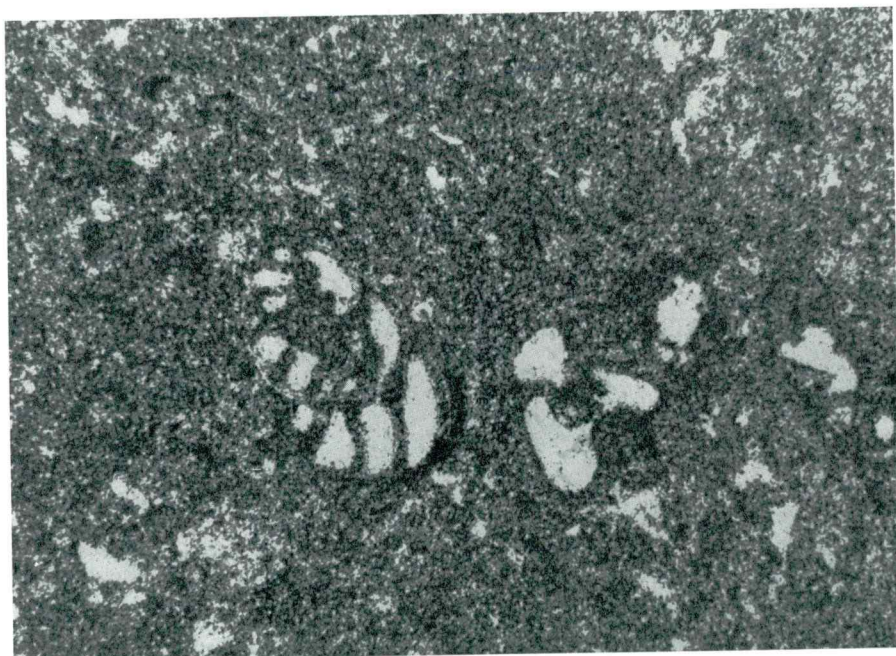
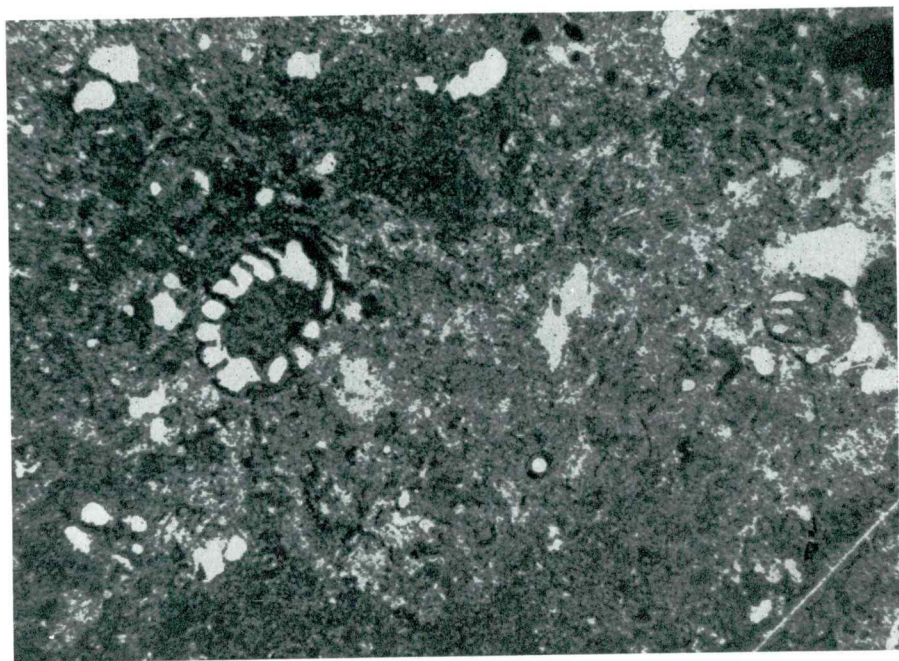


PLANCHE CXXXV

Fig. 1 et 2

Calcaire organogène à *Bacinella irregularis* Rad. et nombreuses Trocholines ( $\times 30$ ). Pl. mince 1865-60. Dans l'association: autres rares Foraminifères et *Thaumatoporella parvovesiculifera* (Rain.)

Environs de Rovinj, Figarola

MALM SUPÉRIEUR (KIMMÉRIDGIEN, probablement SUPÉRIEUR)

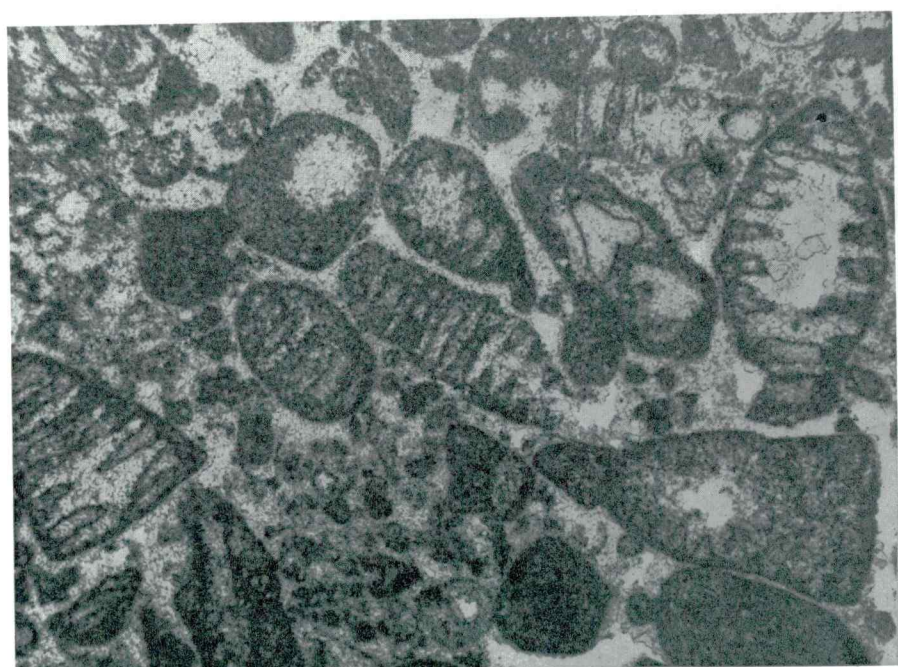
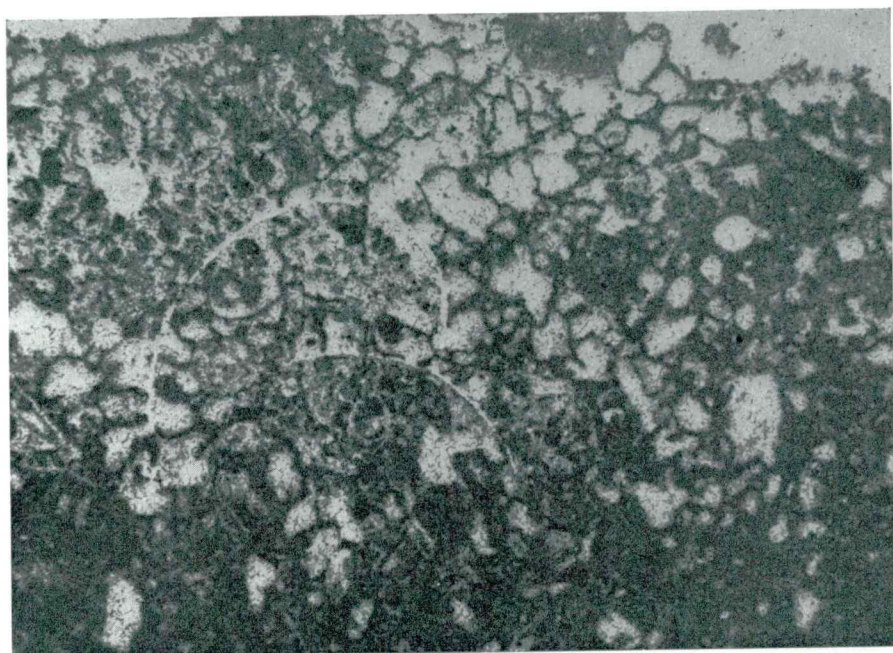


PLANCHE CXXXVI

Fig. 1

Calcaire à Trocholines et autres Foraminifères ( $\times 30$ ). Pl. mince 1866-60  
Rovinj, Figarola  
MALM SUPÉRIEUR (probablement KIMMÉRIDGIEN SUPÉRIEUR)

Fig. 2

Calcaire à *Aeolisaccus* sp., Ostracodes et Foraminifères peu nombreux ( $\times 30$ ).  
Pl. mince 1873-60  
Rovinj  
MALM SUPÉRIEUR (PORTLANDIEN)

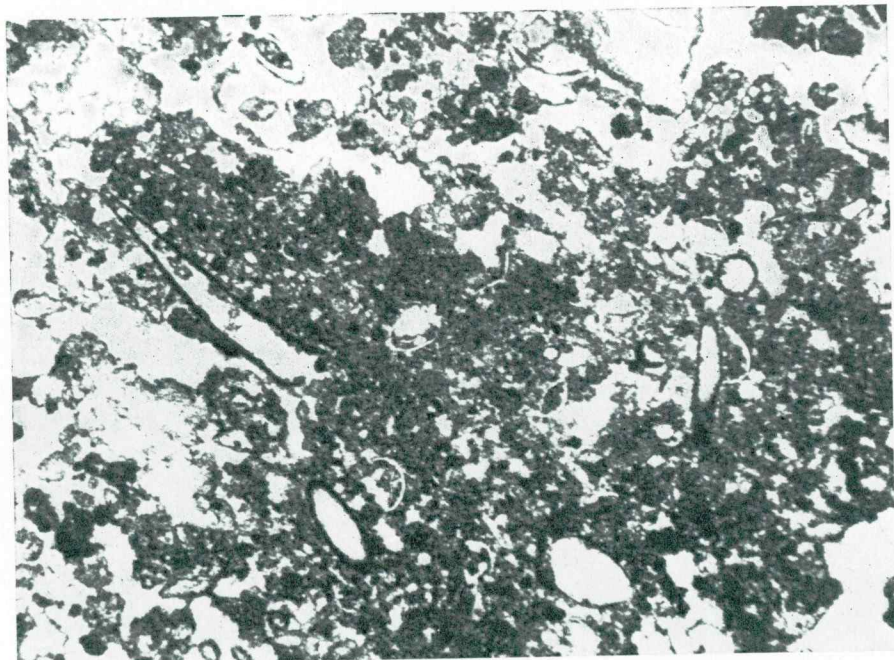
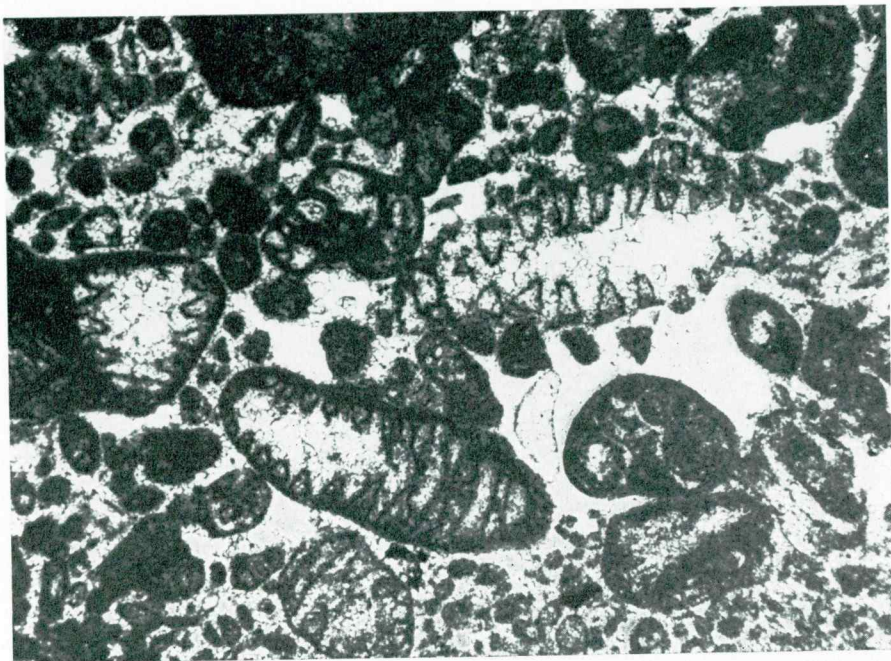


PLANCHE CXXXVII

Fig. 1

Calcaire organogène à *Thaumatoporella parvovesiculifera* (Rain.) et nombreux Foraminifères (*Pseudocyclammina*, *Textularidés*, *Verneuilinidés* et *Endothyra* ?),  
( $\times 30$ ). Pl. mince 1904-60

Rovinj, Zlatni rt

MALM SUPÉRIEUR (PORTLANDIEN)

Fig. 2

Calcaire à *Favreina salevensis* Paréjas ( $\times 30$ ). Pl. mince 1906-60  
Rovinj, Zlatni rt

MALM SUPÉRIEUR (PORTLANDIEN)

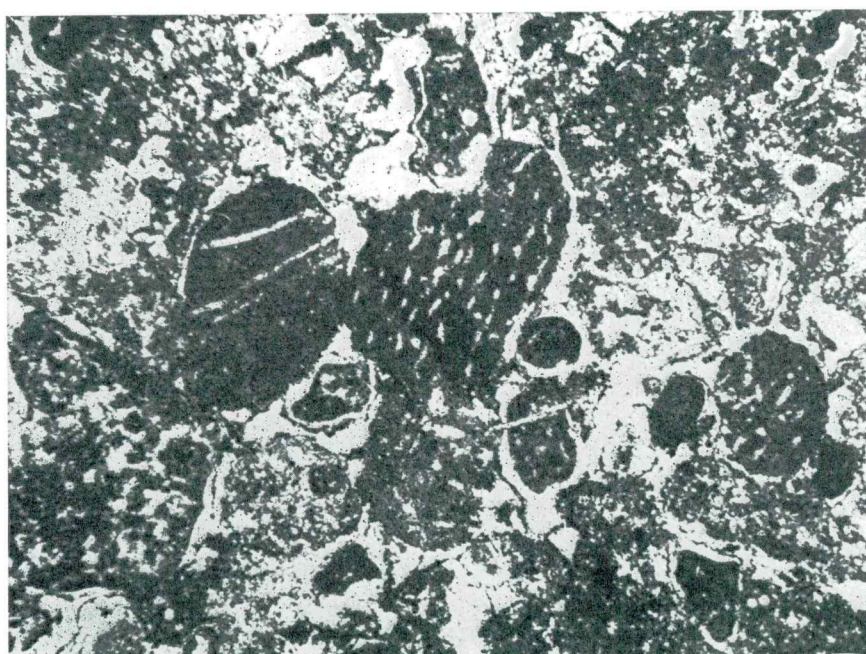
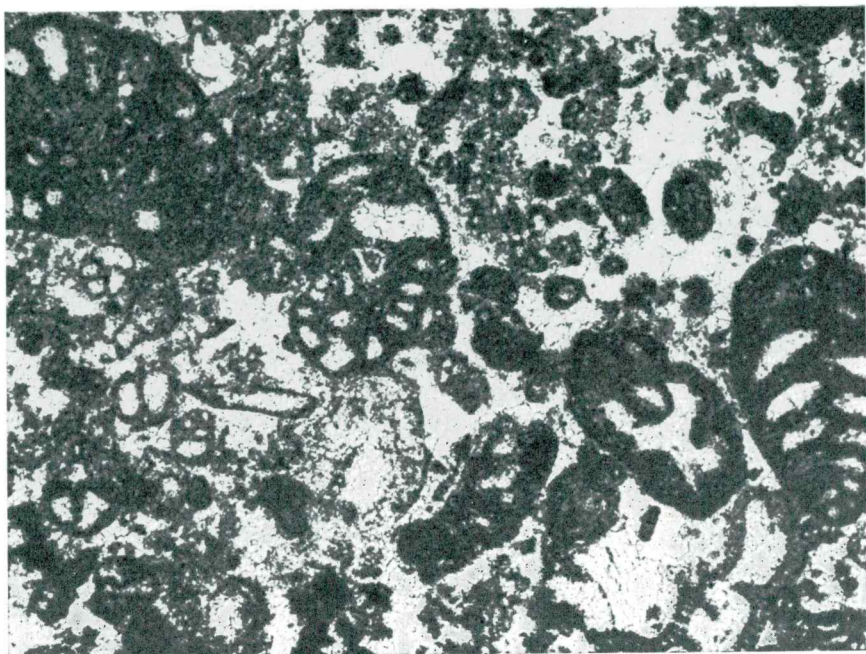


PLANCHE CXXXVIII

Fig. 1 et 2

Calcaire criptocristallin et grumeleux à *Clypeina jurassica* Favre ( $\times 30$ ). Pl. minces 1884 et 1885-60. Dans l'association: Ostracodes et Foraminifères peu abondants

Rovinj

MALM SUPÉRIEUR (PORTLANDIEN)

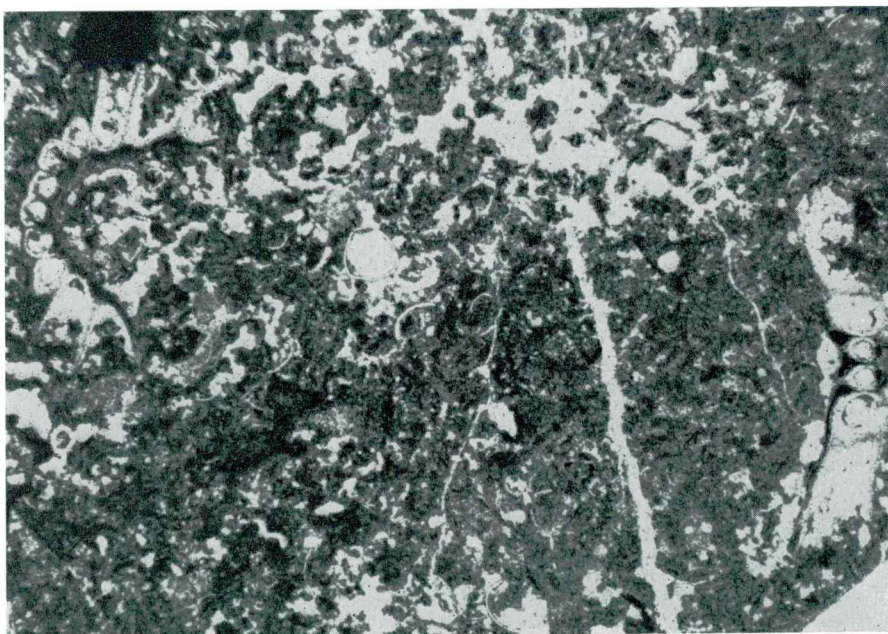
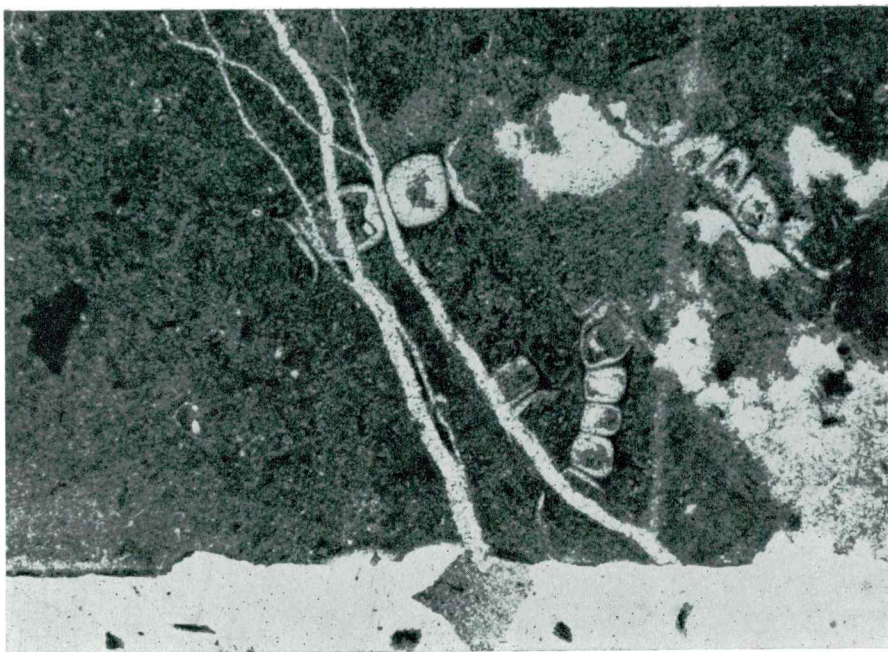


PLANCHE CXXXIX

Fig. 1 et 2

Calcaire finement détritique à Foraminifères (*Pseudocyclammina*, *Endothyra* ? et autres), (fig. 1 —  $\times 15$ , fig. 2 —  $\times 30$ ). Pl. minces 1908 et 1908 a-60. Dans l'association: rares Trocholines et *Bacinella irregularis* Rad.

Rovinj, Zlatni rt

MALM SUPÉRIEUR (PORTLANDIEN)

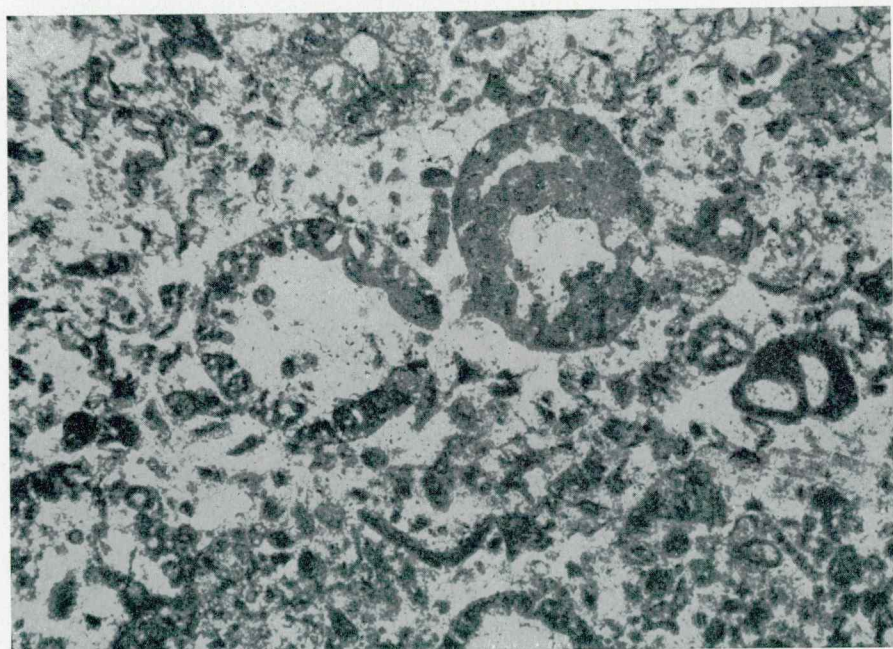
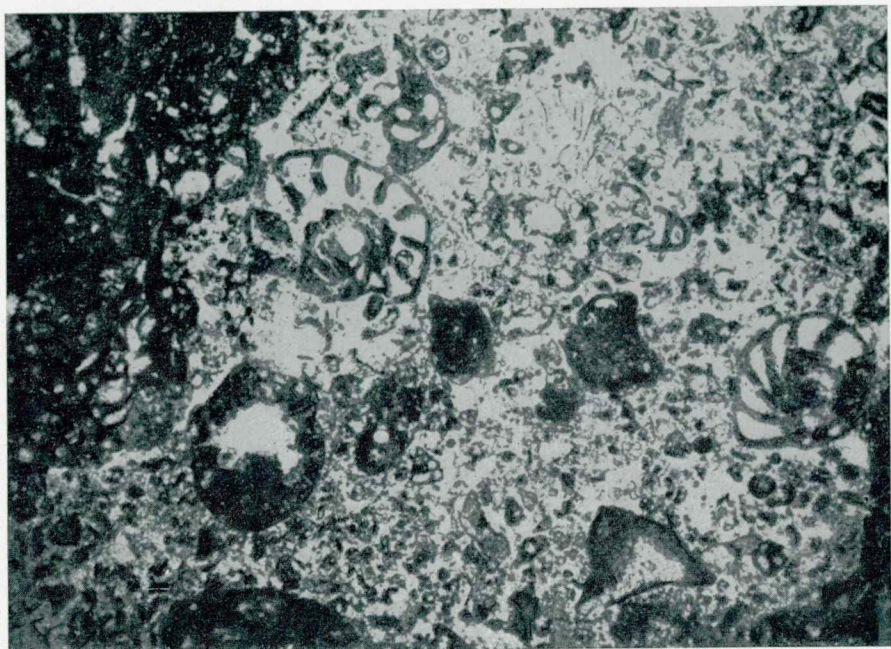


PLANCHE CXL

Fig. 1

Calcaire criptocristallin à Calpionelles fort rares ( $\times 200$ ). Pl. mince 1875-60  
Rovinj  
MALM SUPÉRIEUR (PORTLANDIEN)

Fig. 2

Calcaire à Tintinnines aberrantes: *Campbelliella mileši* Rad. et *Tintinnopsella*  
sp. ( $\times 20$ ). Pl. mince 1924-60  
Rovinj, Zlatni rt  
VALANGINIEN

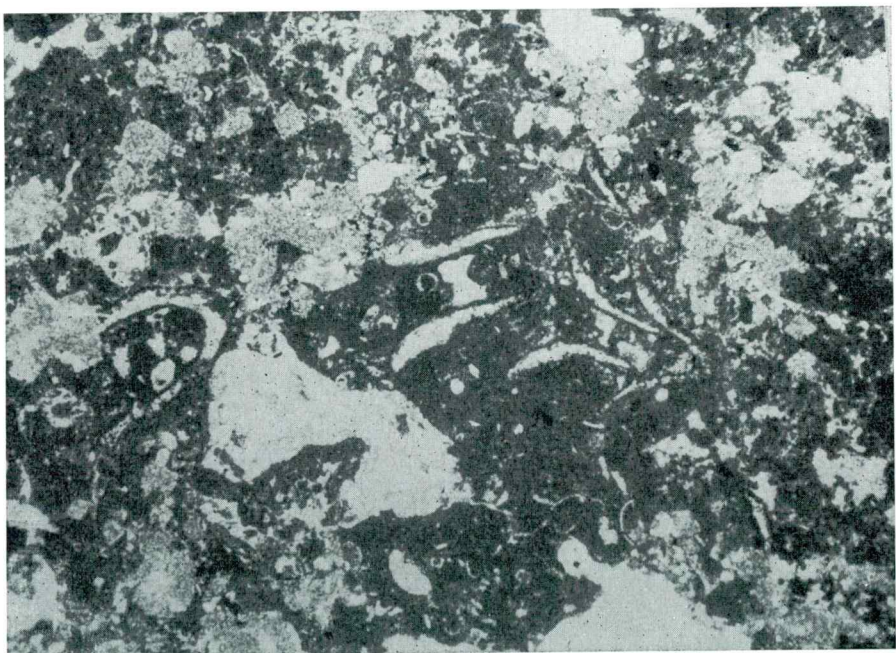
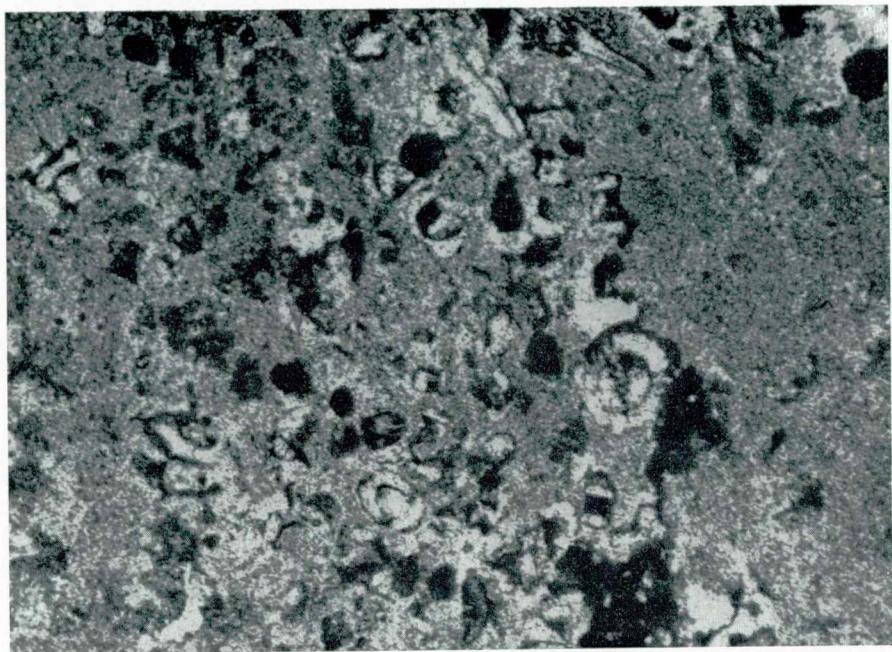


PLANCHE CXLI

Fig. 1 et 2

Calcaire à *Salpingoporella annulata* Carozzi ( $\times 30$ ). Pl. mince 1920-60  
Rovinj, Zlatni rt  
VALANGINIEN





**LA SÉRIE JURASSIQUE DES ENVIRONS DE SOŠICE (ŽUMBERAK)**

(Tableau N° 11)

Planches: CXLII—CXLVIII

PLANCHE CXLII

Fig. 1

Calcaire oolithique, azoïque ( $\times 27$ ). Pl. mince 96-61  
Žumberak, environs de Sošice  
LIAS INFÉRIEUR

Fig. 2

Calcaire organogène-détritique — débris de Dasycladacées, d'Echinodermes et  
de Mollusques; Microgastéropodes ( $\times 27$ ). Pl. mince 98-61  
Žumberak, environs de Sošice  
LIAS INFÉRIEUR

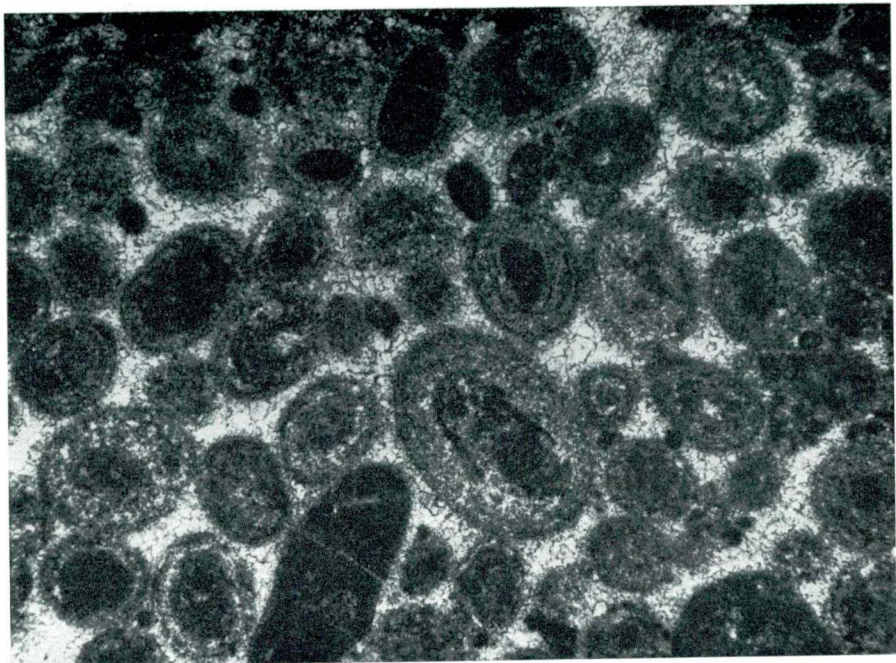


PLANCHE CXLIII

Fig. 1 et 2

Calcaire organogène, subcristallin, à *Palaeodasycladus mediterraneus* Pia, rares Foraminifères et débris de Mollusques ( $\times 15$ ). Pl. mince 119 et 120-61  
Žumberak, environs de Pogana jama

LIAS INFÉRIEUR-MOYEN

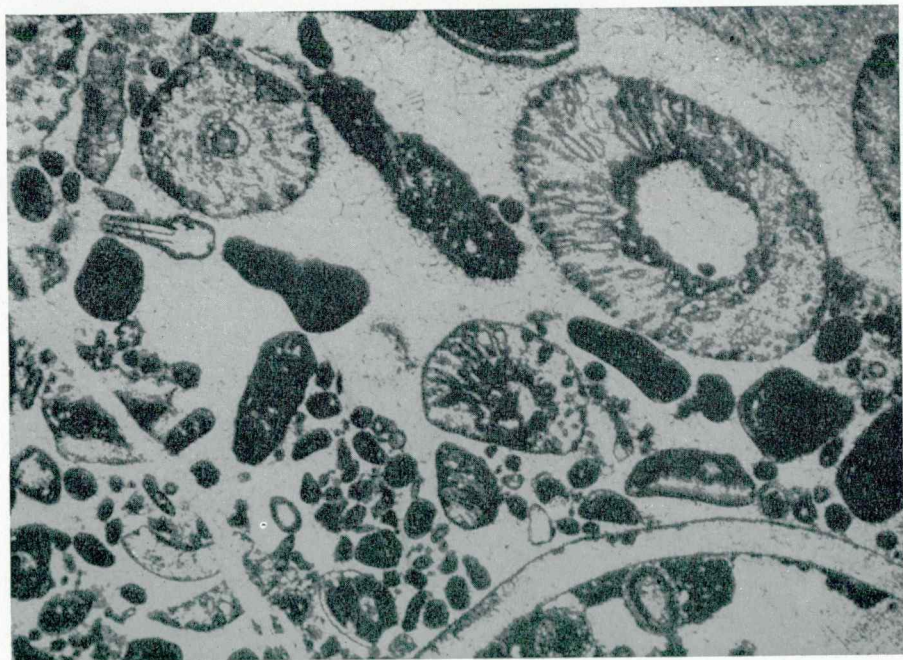
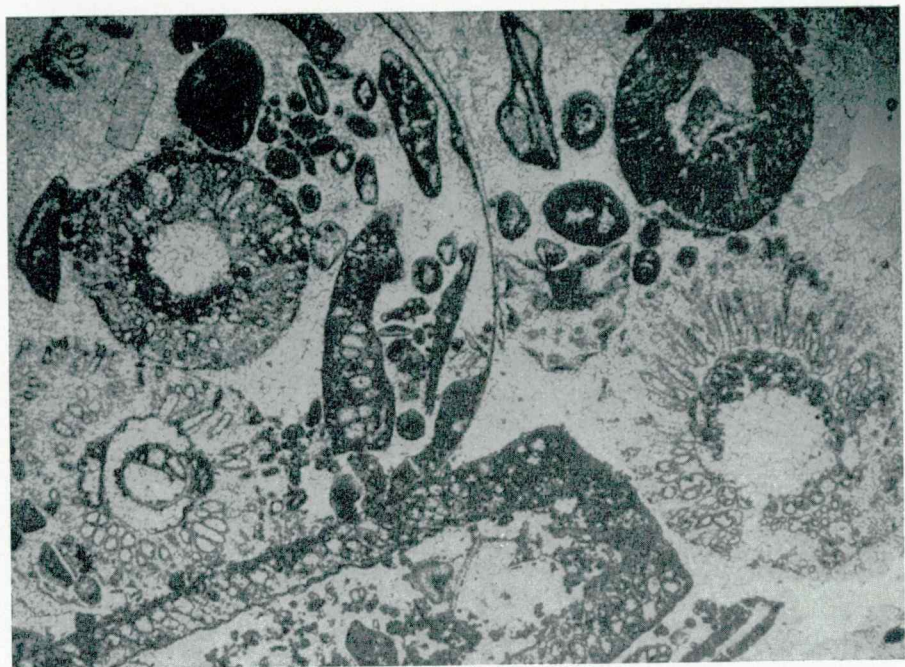


PLANCHE CXLIV

Fig. 1

Calcaire oolithique à petits Foraminifères peu nombreux et fin débris divers  
( $\times 27$ ). Pl. mince 99-61  
Žumberak, environs de Sošice  
LIAS MOYEN

Fig. 2

Calcaire microgrumeux à *Lituosepta recoarensis* Cati ( $\times 27$ ). Pl. mince 102-61.  
Dans l'association: très rares petits Foraminifères et Thaumatoporelles transformées  
Žumberak, environs de Sošice  
LIAS MOYEN

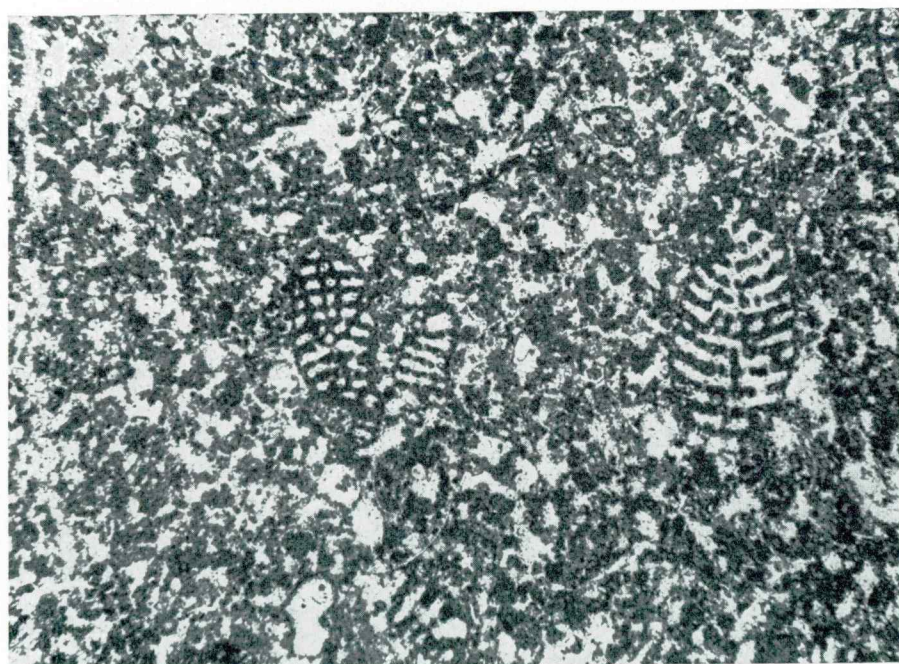
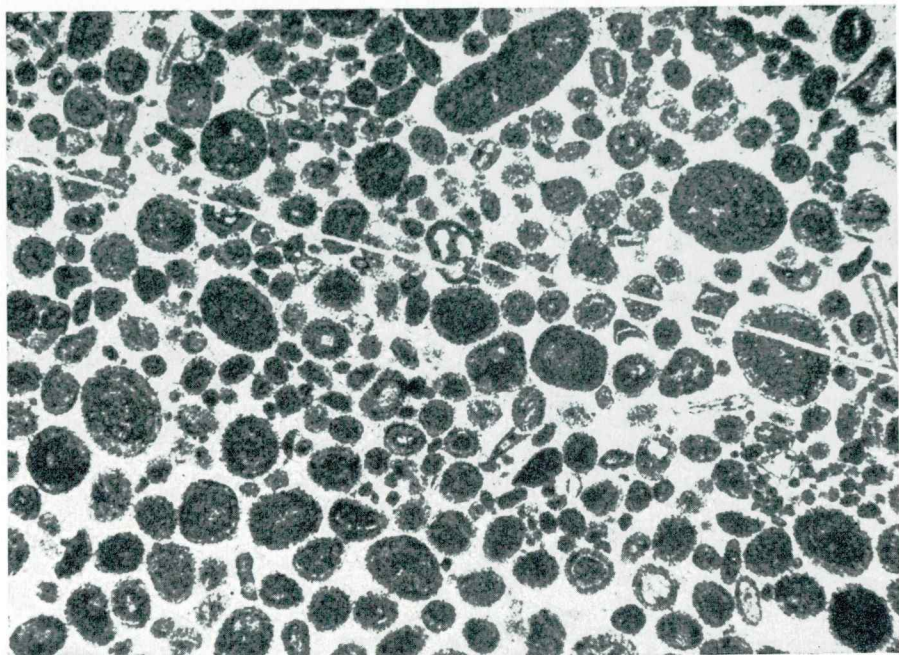


PLANCHE CXLV

Fig. 1

Calcaire microgrumeux à *Lituosepta recoarensis* Cati, petits Foraminifères peu nombreux et Thaumatoporellas transformées ( $\times 30$ ). Pl. mince 102-61  
Žumberak, environs de Sošice  
LIAS MOYEN-SUPÉRIEUR

Fig. 2

Calcaire organogène-détritique à *Spirillina liassica* (Jones) et débris d'Echinodermes ( $\times 40$ ). Pl. mince 78-61. Dans l'association: *Vidalina martana* Farinacci et Lagénidés  
Žumberak, environs de Sošice  
LIAS SUPÉRIEUR

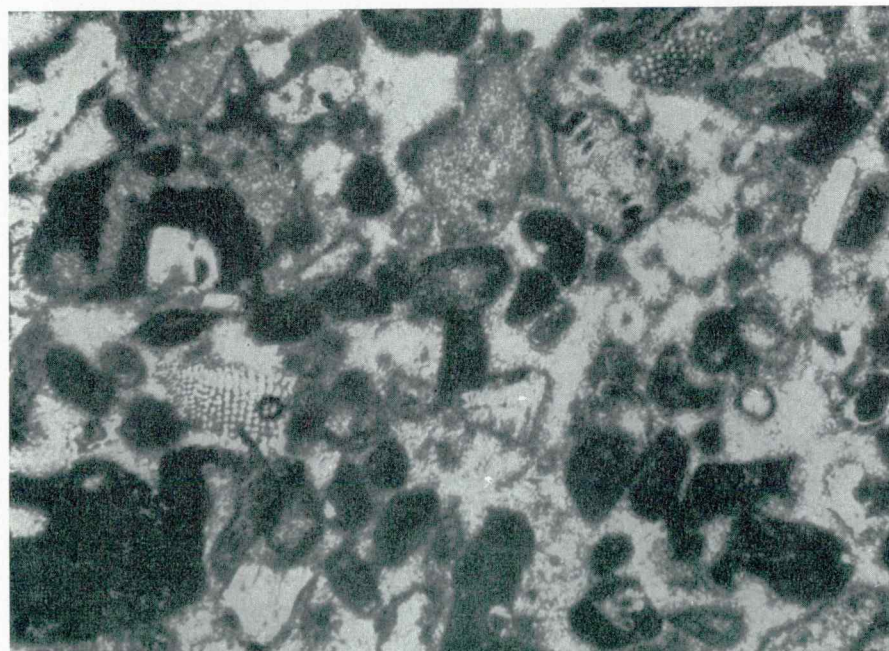
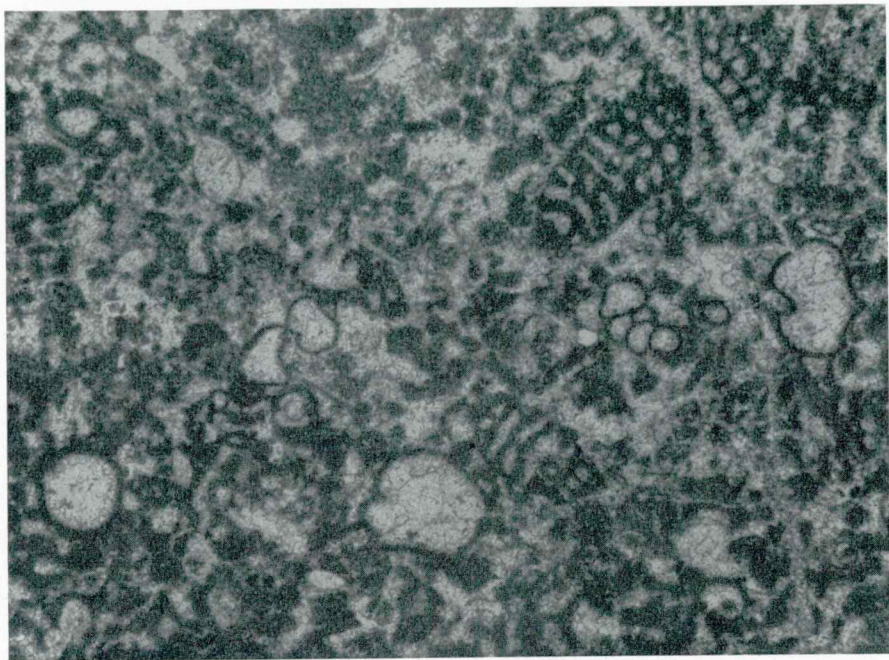


PLANCHE CXLVI

Fig. 1

Calcaire organogène-détritique à *Cristellaria* et autres Lagénidés et débris abondants d'Echinodermes et de Mollusques ( $\times 30$ ). Pl. mince 105-61. Dans l'association: *Spirillina liassica* (Jones), *Vidalina martana* Farinacci et Ophtalmidiidés

Žumberak, environs de Sošice

LIAS SUPÉRIEUR

Fig. 2

Calcaire organogène-détritique — débris d'Echinodermes et de Mollusques (fragments de *Saccocoma*), ( $\times 30$ ). Pl. mince 108-61. Dans l'association: *Vidalina*, *Spirillina* etc.

Žumberak, environs de Sošice

LIAS SUPÉRIEUR ou LIAS-DOGGER

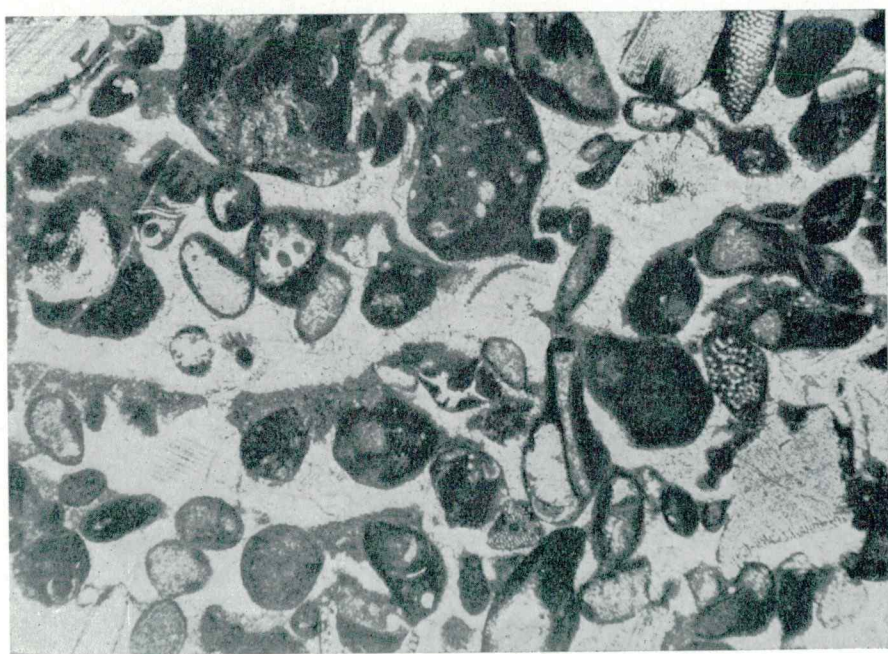
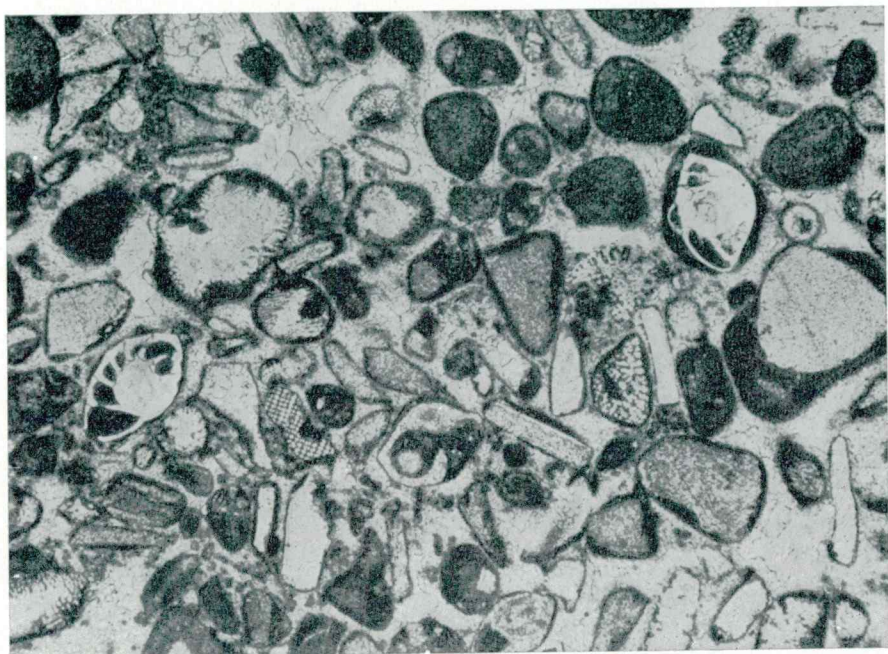


PLANCHE CXLVII

Fig. 1

Calcaire organogène-détritique à *Petrascula bursiformis* Ettalon ( $\times 30$ ). Pl. mince 91-61. Dans l'association: *Bačinella irregularis* Radoičić et Codiacées apparentées  
Žumberak, environs plus large de Sošice  
MALM INFÉRIEUR

Fig. 2

Calcaire à rares Radiolaires calcifiés et Lamellibranches pélagiques ( $\times 43$ ).  
Pl. mirce 109-61  
Žumberak, environs de Sošice  
MALM SUPÉRIEUR (KIMMÉRIDGIEN-PORTLANDIEN)

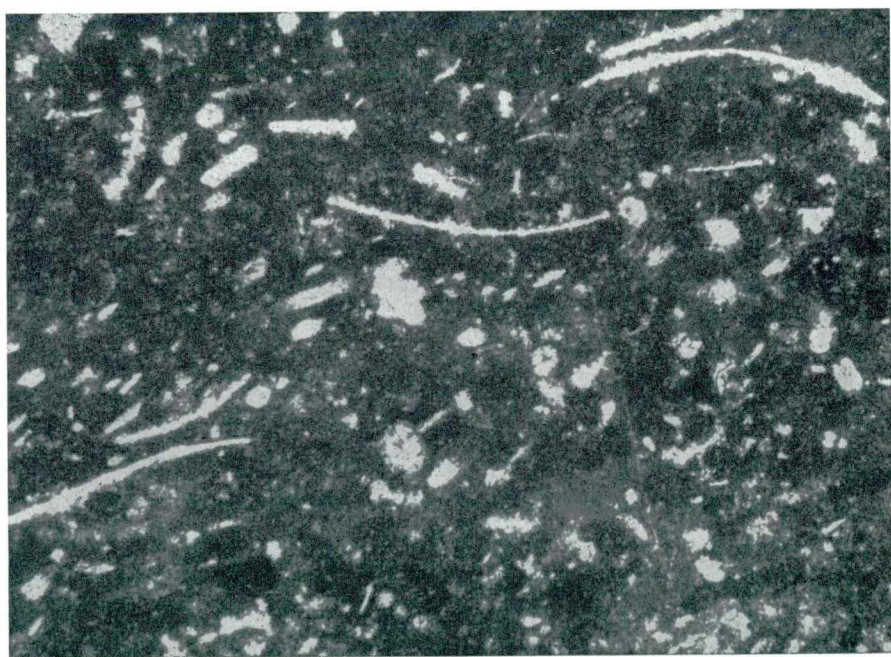
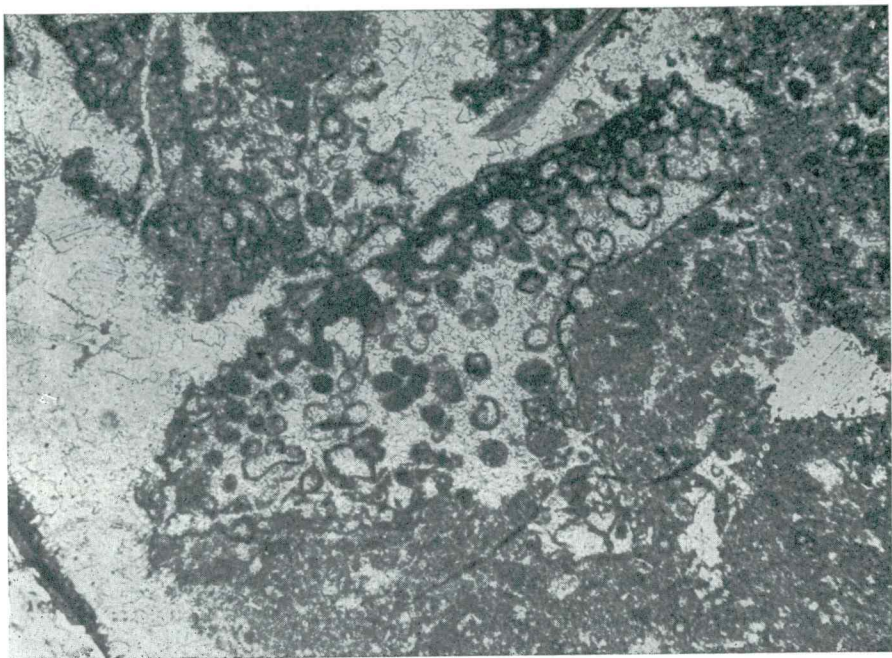


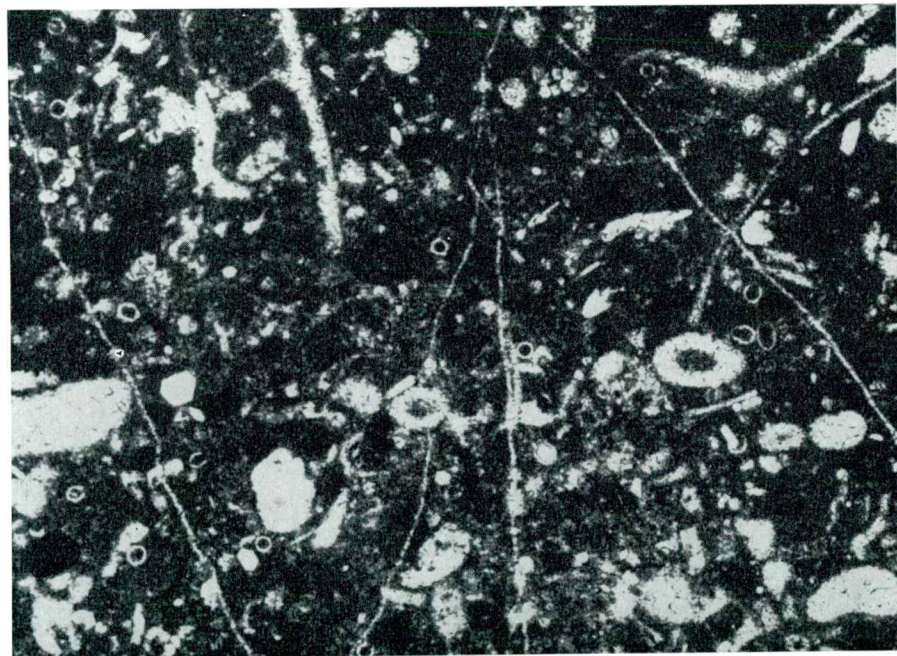
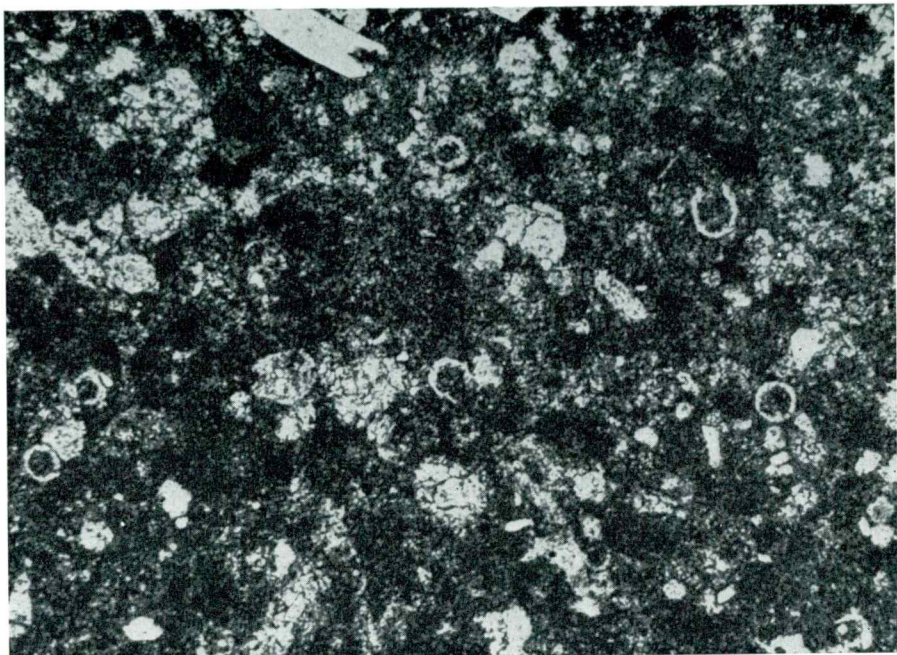
PLANCHE CXLVIII

Fig. 1

Calcaire à *Calpionella alpina* Lorenz et *Calpionella elliptica* Cadisch ( $\times 100$ ).  
Pl. mince 110-61  
Žumberak, Sošice  
MALM SUPERIEUR (PORTLANDIEN)

Fig. 2

Calcaire à *Calpionella alpina* Lorenz et *Calpionella elliptica* Cadisch ( $\times 43$ ).  
Pl. mince 111-61. Dans l'association: *Globochaete alpina* Lombard, spicules de Spongiaires, puis rares Ophtalmidiidés et autres Foraminifères  
Žumberak, Sošice  
MALM SUPÉRIEUR (PORTLANDIEN)





**LES AUTRES MICROFACIÈS JURASSIQUES**

Planches: CXLIX à CLXV

PLANCHE CXLIX

Fig. 1 et 2

Calcaire à Annelides, Microgastéropodes et petits Foraminifères peu abondants

( $\times 30$ ). Pl. mince 906-63

Environs d'Osječenica, près de Grahovo; Monténégro

LIAS INFÉRIEUR (couches les plus anciennes)

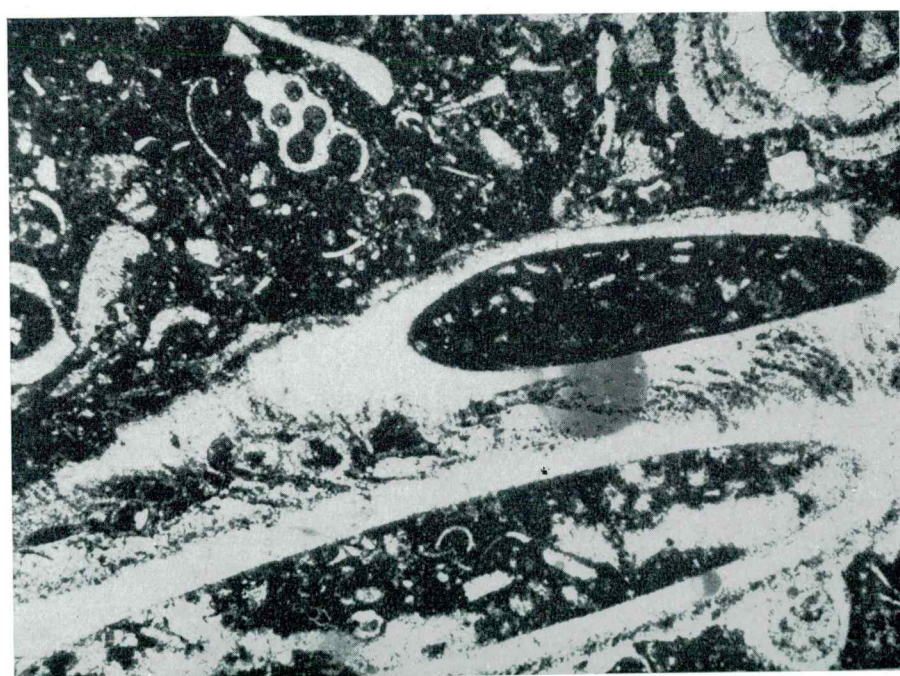
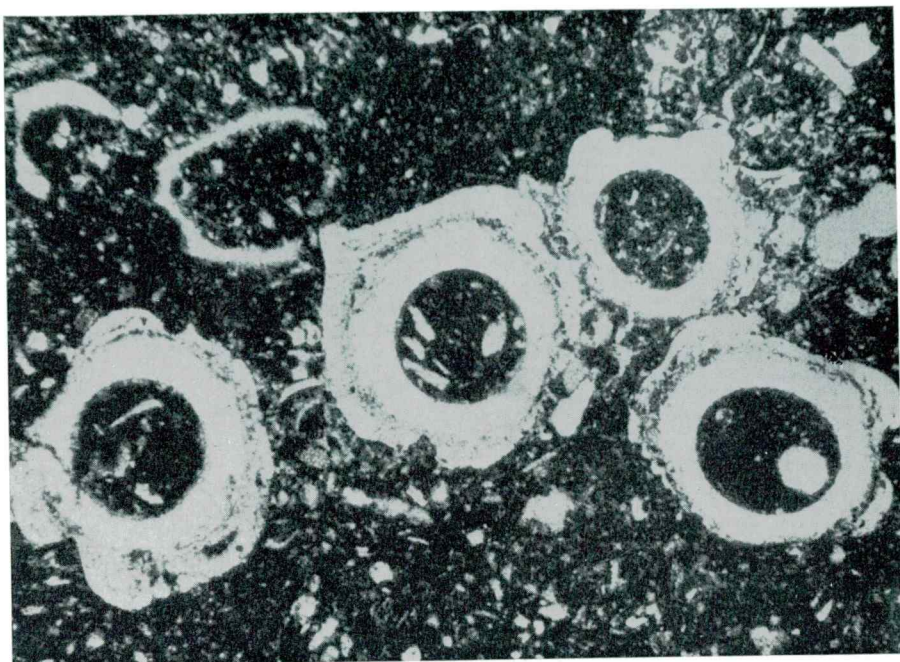


PLANCHE CL

Fig. 1 et 2

Calcaire pseudo-oolithique à *Pelleria bonomii*\* (Vialli) Grubić (fig. 1, négatif —  $\times 7,5$ ; fig. 2, détail —  $\times 17,5$ ). Pl. mince 1397-64. Dans l'association: autres Hydrozoaires, débris d'Echinodermes et petits Foraminifères; *Vidalina martana* Farinacci, *Spirillina liassica* (Jones) et autres. (= pl. CLI)

Montagne Lovćen, Bukovica

LIAS INFÉRIEUR

\* Détermination: A. G R U B I Ć

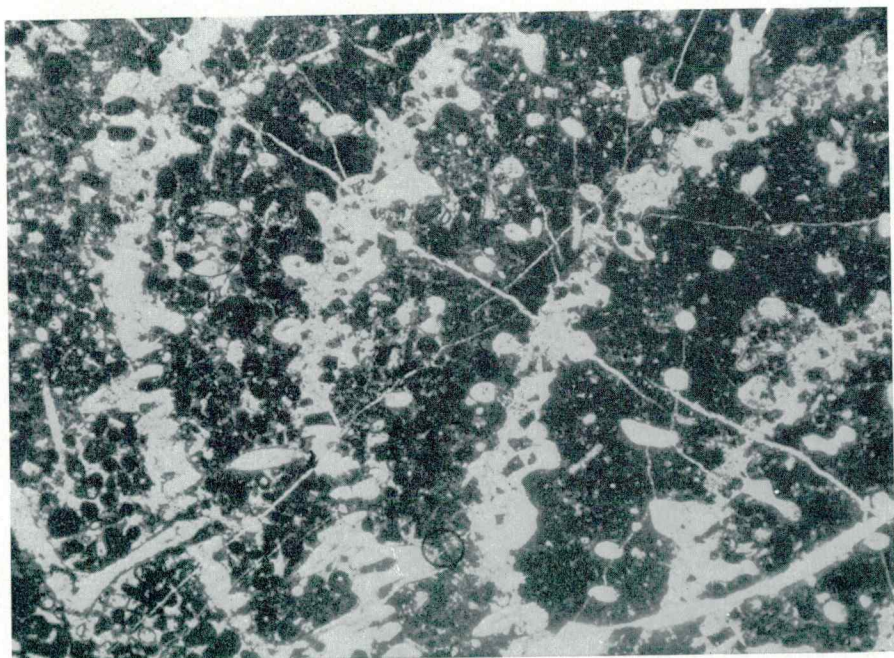
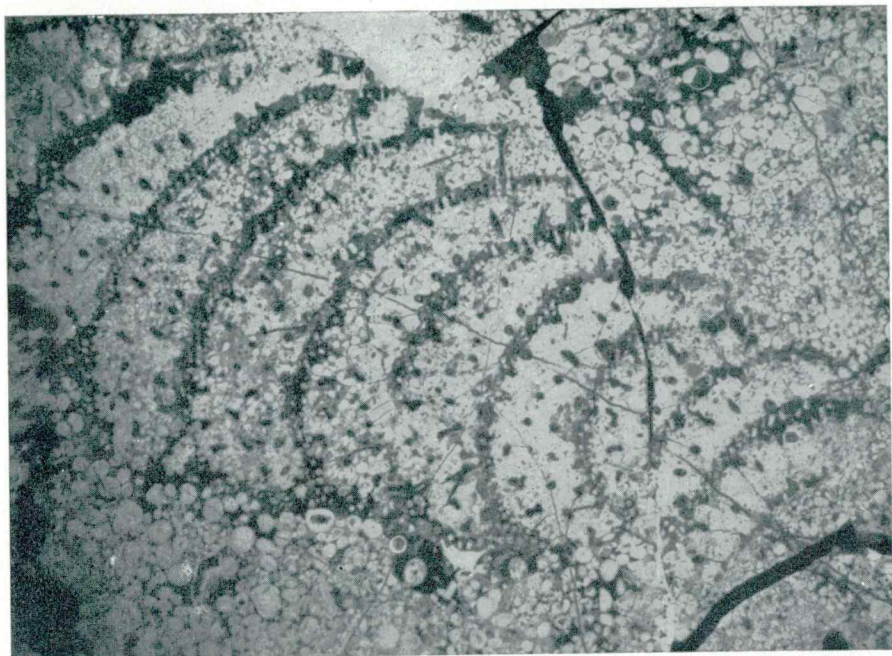


PLANCHE CLI

Fig. 1 et 2

Calcaire pseudo-oolithique à Hydrozoaires (fig. 1, négatif —  $\times 7,5$ ; fig. 2, détail —  $\times 17,5$ ). Pl. mince 1396-64. Dans l'association: *Pelleria bonomii* (Vialli) Grubić, débris d'Echinodermes et petits Foraminifères: *Vidalina martana* Farinacci, *Spirillina liassica* (Jones) et autres

Montagne Lovćen, Bukovica

LIAS INFÉRIEUR

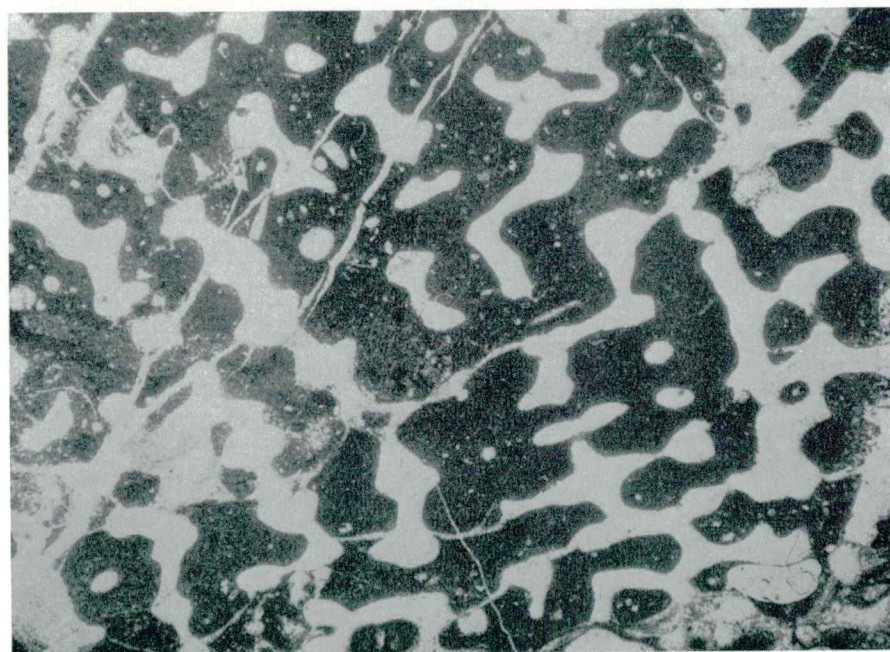


PLANCHE CLII

Fig. 1

Calcaire oolithique à débris divers peu abondant ( $\times 35$ ). Pl. mince 556-62  
Environs de Blizna dans la vallée de Morača, Monténégro  
LIAS INFÉRIEUR (couches les plus anciennes)

Fig. 2

Calcaire à *Lituosepta recoarensis* Cati ( $\times 17,5$ ). Pl. mince 529-62  
Martinićko Gostlje, Javorak; Monténégro  
LIAS

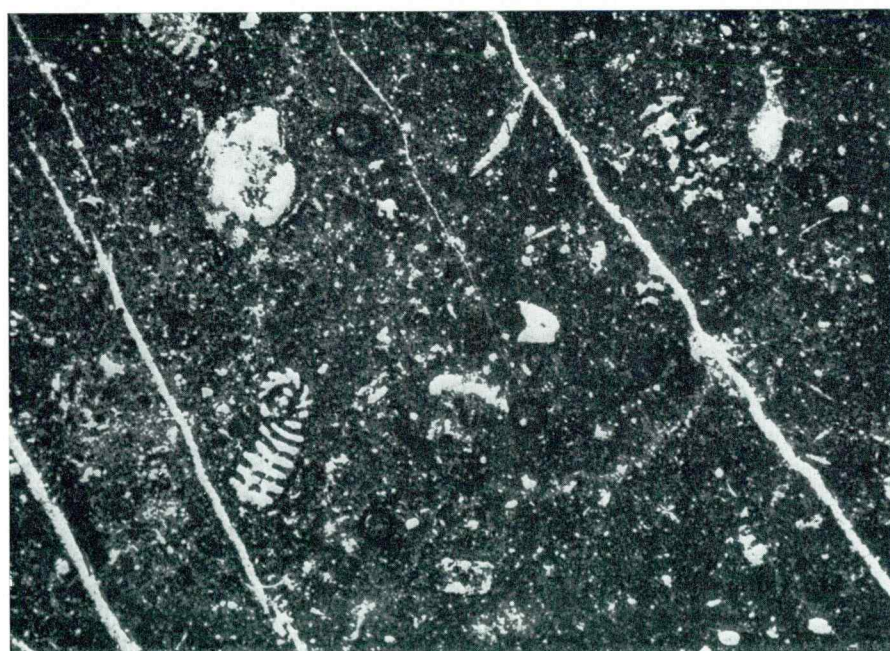
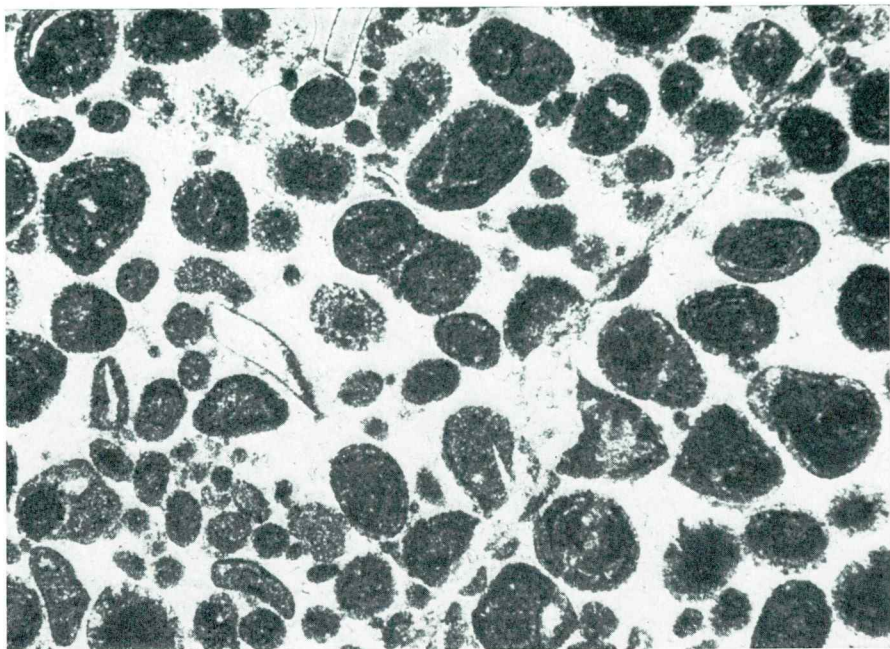


PLANCHE CLII

Fig. 1

Calcaire à débris d'Echinodermes ( $\times 17$ ). Pl. mince 248-57  
Environs plus large de Kopilje, près de Seoca, Monténégro  
LIAS (partie moyenne de la série liasique)

Fig. 2

Calcaire oolithique à débris d'Echinodermes ( $\times 17$ ). Pl. mince 250-57  
Environs plus large de Kopilje, près de Seoca, Monténégro  
LIAS (partie moyenne de la série liasique)

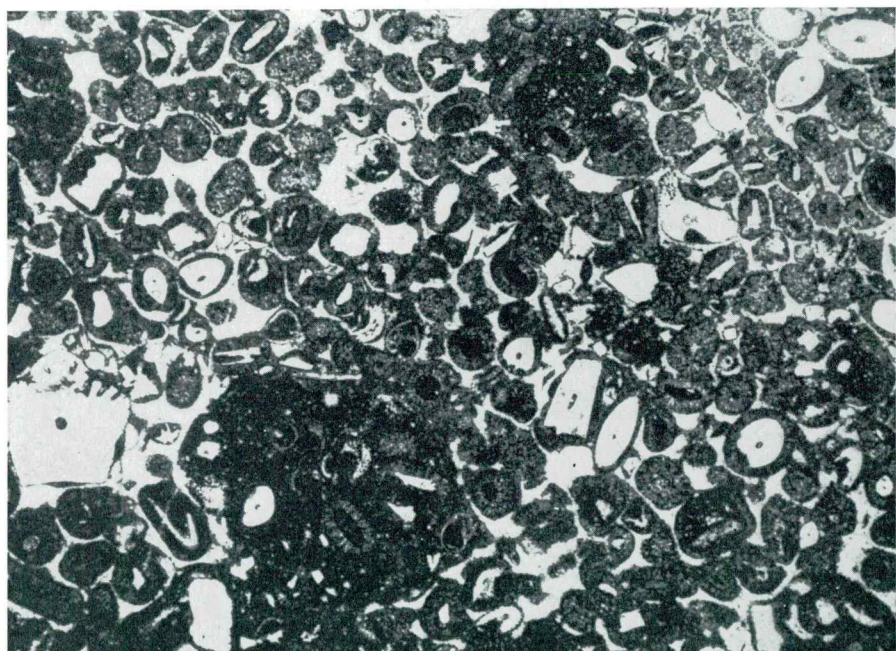
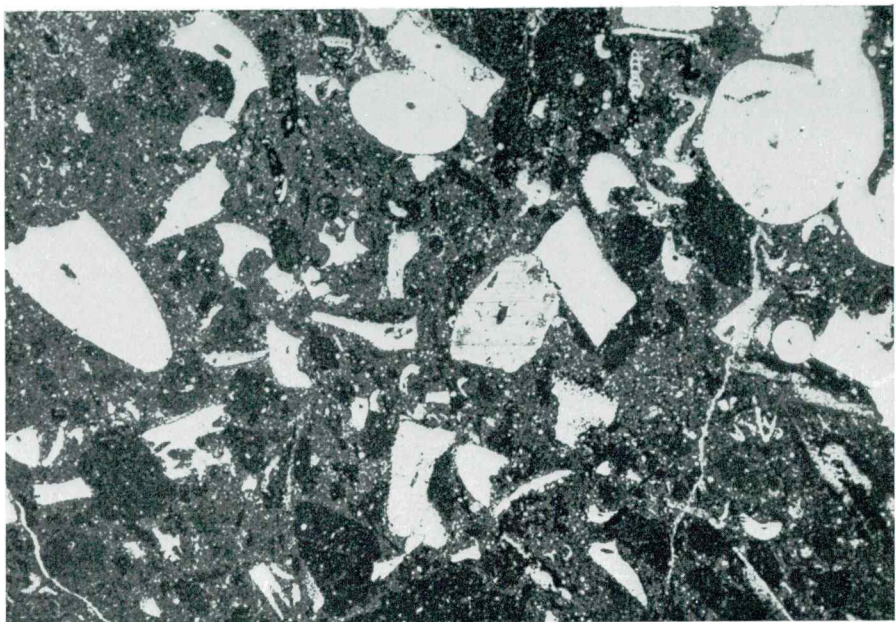


PLANCHE CLIV

Fig. 1 et 2

Calcaire oolithique à Echinodermes, pris de la dolomitisation ( $\times 33$ ). Pl. mince  
67-63

Environs plus large de Nikšić, près de Broćanac, Monténégro  
LIAS (MOYEN-SUPÉRIEUR)

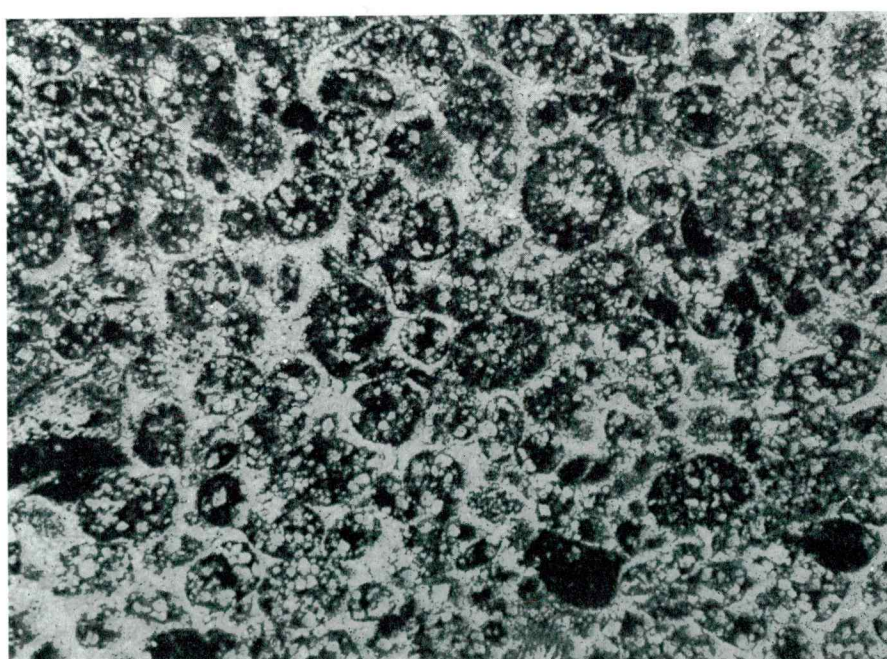
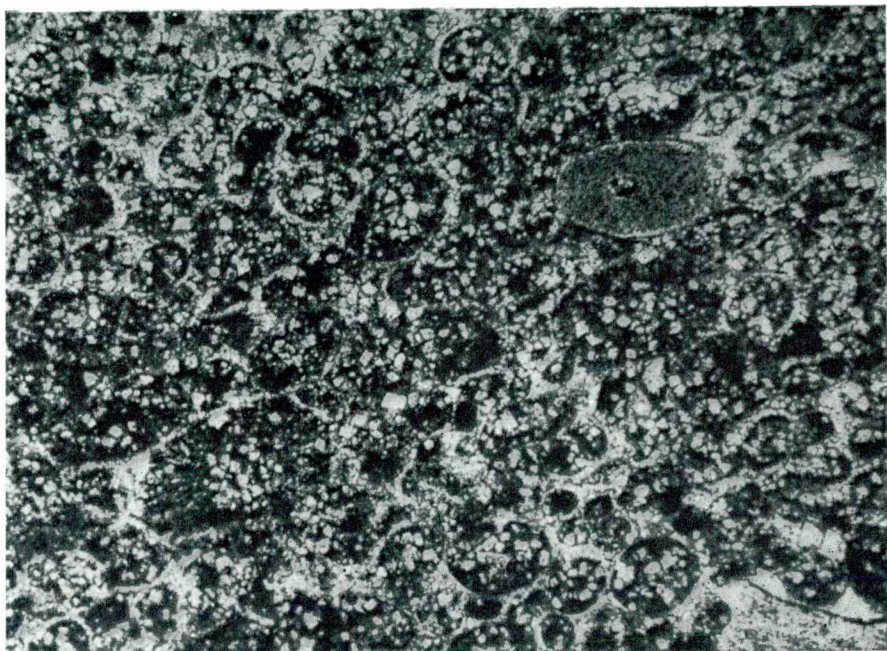


PLANCHE CLV

Fig. 1 et 2

Calcaire organogène, cristallin, à *Spirillina liassica* (Jones), Lagénidés, débris d'Echinodermes et Mollusques ( $\times 35$ ). Pl. mince 1875-64. Dans l'association: petits Ammonites, Trocholines et rares Vidalines (= pl. CLVI)

Boka Kotorska, Vrmac

LIAS SUPÉRIEUR



PLANCHE CLVI

Fig. 1 et 2

Calcaire organogène, cristallin, à Lagénidés, Trocholines et débris d'Echinodermes et de Mollusques ( $\times 35$ ). Pl. mince 1876-64. Dans l'association: petits Ammonites *Spirillina liassica* (Jones) et rares Vidalines (= pl. CLV)  
Boka Kotorska, Vrmac  
LIAS SUPÉRIEUR

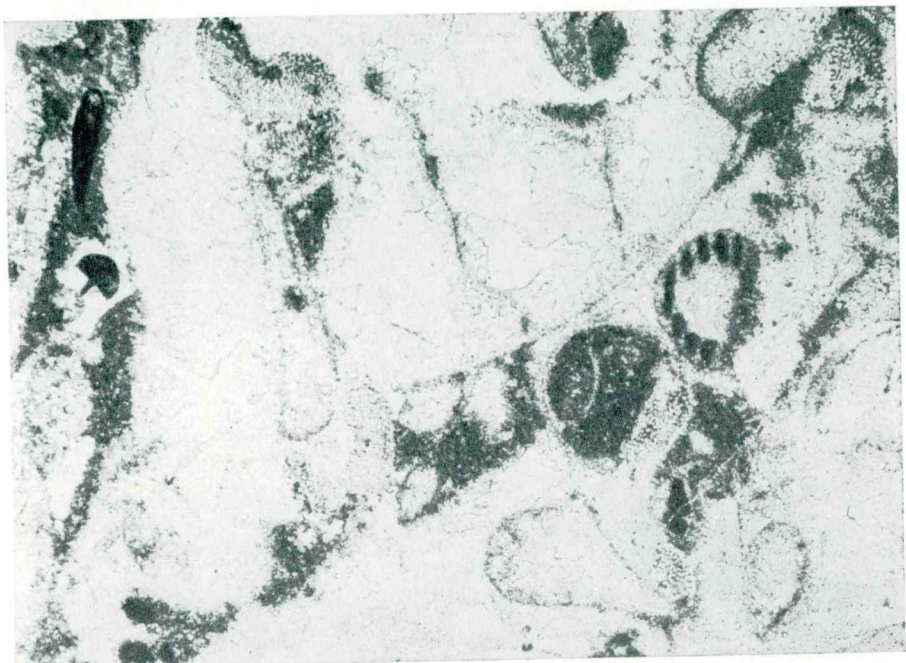


PLANCHE CLVII

Fig. 1

Calcaire organogène à *Teutlosporella gallaeformis* Radoičić ( $\times 17,5$ ). Pl. mince  
1685-64

Domaine entre Grab et Konavli, environs de Veliki Oro  
DOGGER SUPÉRIEUR

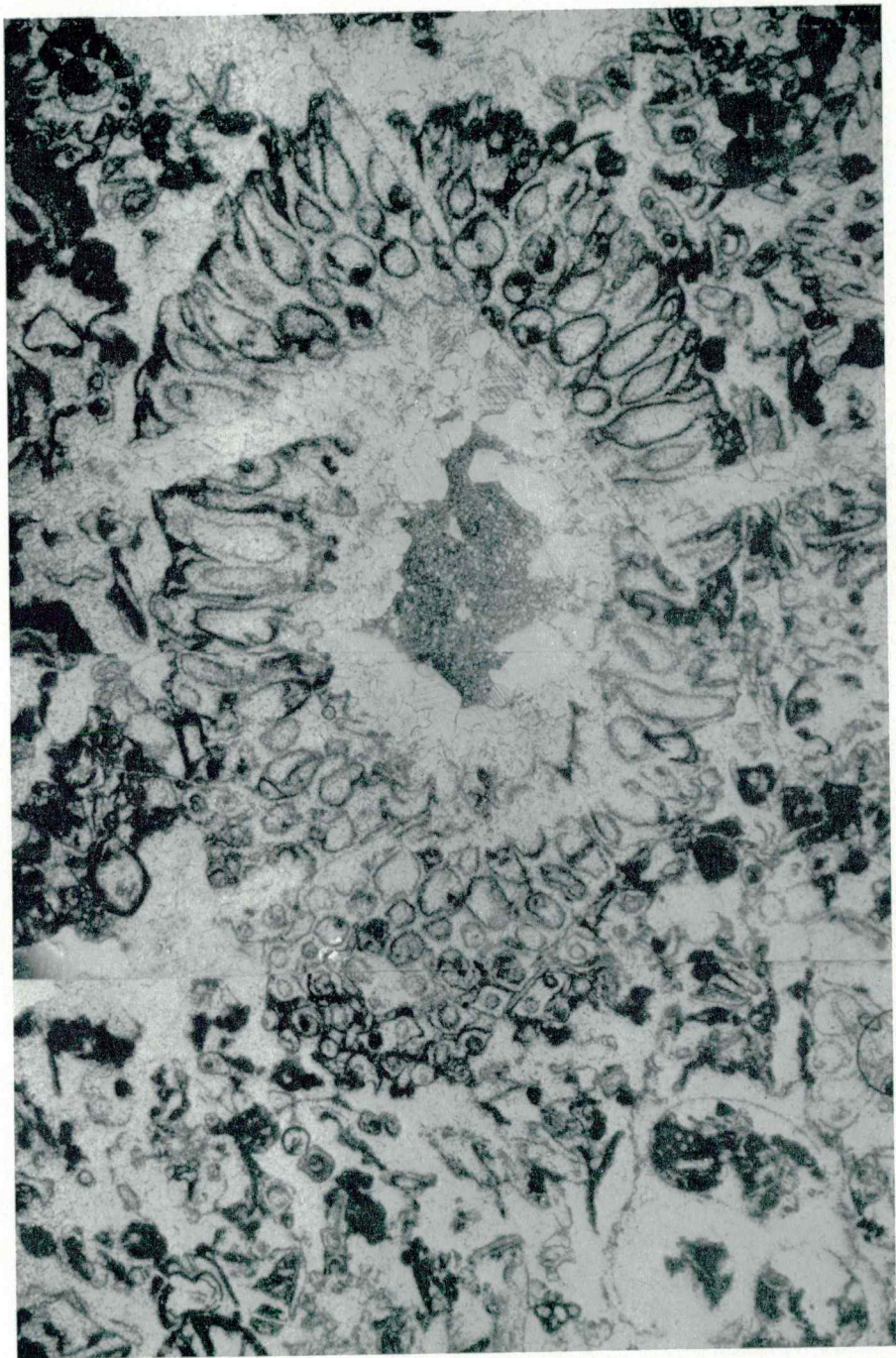


PLANCHE CLVIII

Fig. 1

Calcaire organogène-détritique à Codiacées C1 ( $\times 75$ ). Pl. mince 554-62. Dans l'association: *Conicospirillina basiliensis* Möhler  
Šujaci — dans la vallée de Morača, Monténégro  
MALM INFÉRIEUR

Fig. 2

Calcaire organogène à *Baćinella irregularis* Radoičić ( $\times 27$ ). Pl. mince 01803  
Au nord de Nikšić, vers Vojnik, Gvozd  
MALM INFÉRIEUR

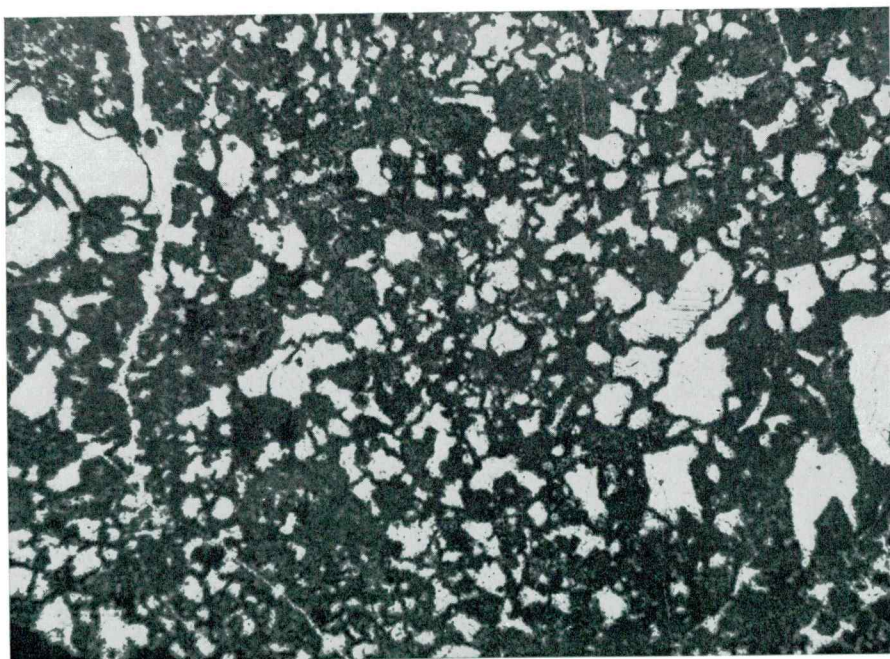


PLANCHE CLIX

Fig. 1 et 2

Calcaire organogène-détritique, suberistallin, à Microporphyroblasta Pr6 ( $\times 50$ ).

Pl. mince 01707. Dans l'association: Codiacées, Hydrozoaires, etc.

Domaine de la montagne Durmitor, Klještine

MALM INFÉRIEUR

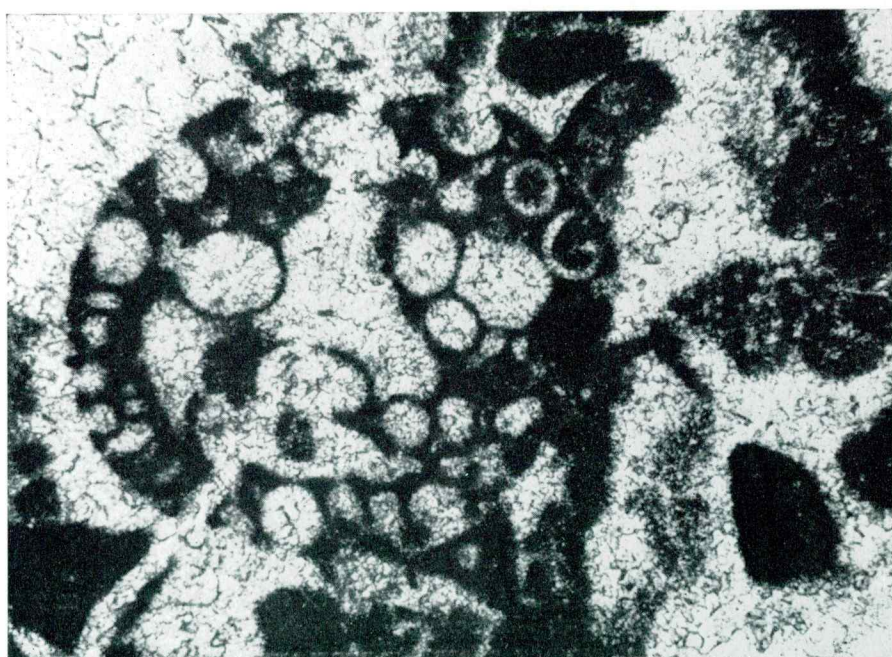
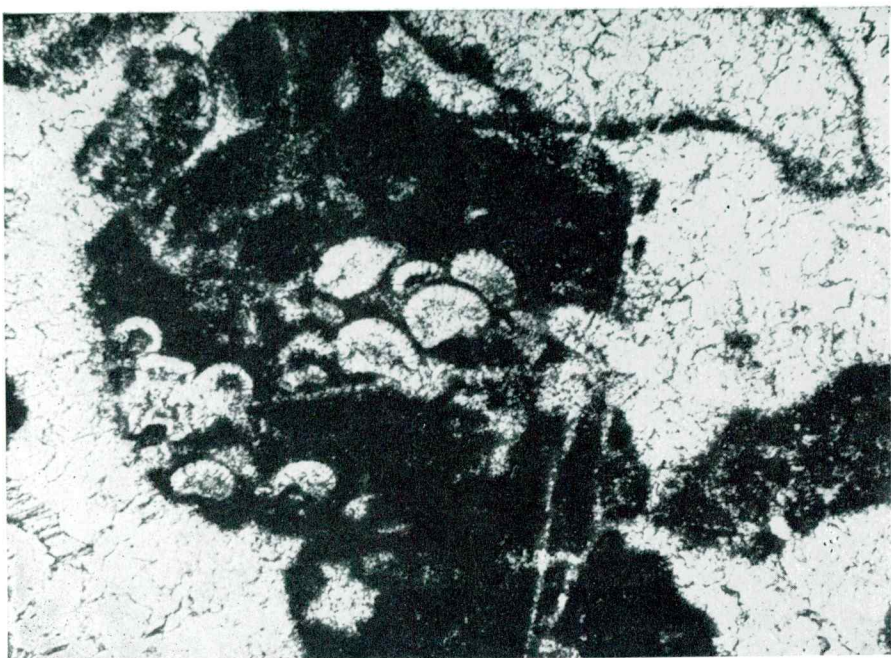


PLANCHE CLX

Fig. 1

Calcaire à Sphaeractinidés ( $\times 17$ ). Pl. mince 01720. Dans l'association: *Aeolisaccus* sp.  
Montagne Durmitor  
MALM (KIMMÉRIDGIEN)

Fig. 2

Calcaire à *Pianella grudii* Radoičić et Ostracodes ( $\times 45$ ). Pl. mince 1889-63  
Environs de Milovići, Banjani; Monténégro  
MALM SUPÉRIEUR (KIMMÉRIDGIEN SUPÉRIEUR-PORTLANDIEN)

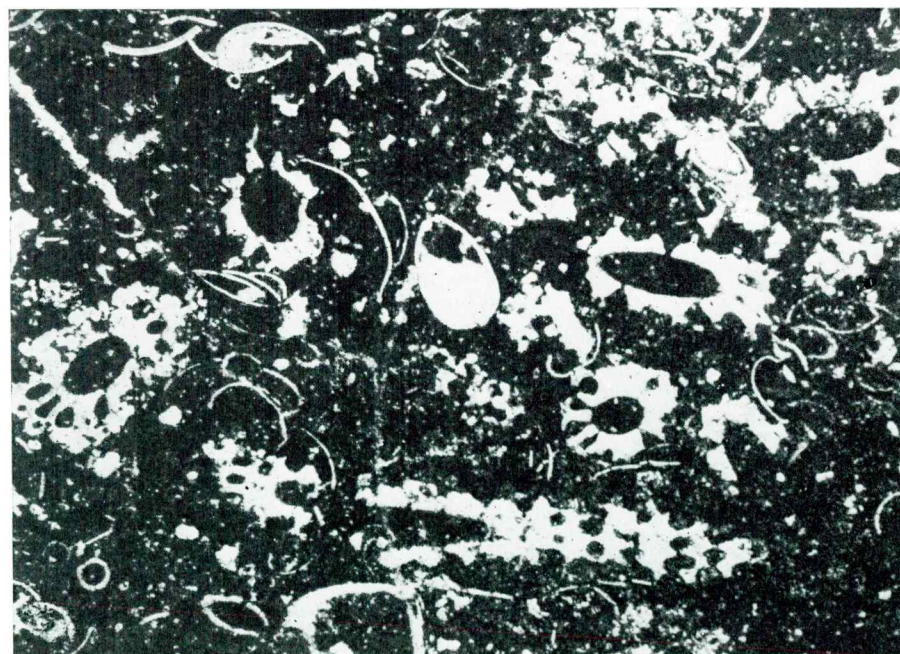
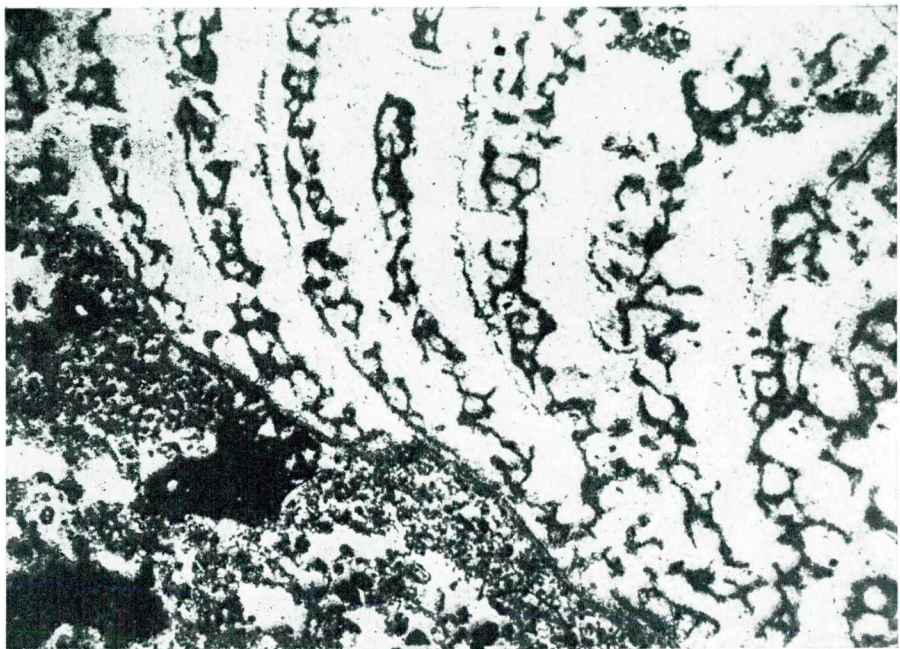


PLANCHE CLXI

Fig. 1 et 2

Calcaire peu bitumineux à *Aeolisaccus* sp., Ostracodes, petits Foraminifères peu nombreux et débris de Dasycladacées (fig. 1 —  $\times 95$ , fig. 2 —  $\times 17$ ). Pl. minces 248 et 246-62

Biočki stan, environs de Nikšićka Župa

MALM SUPÉRIEUR (KIMMÉRIDGIEN SUPÉRIEUR-PORTLANDIEN)

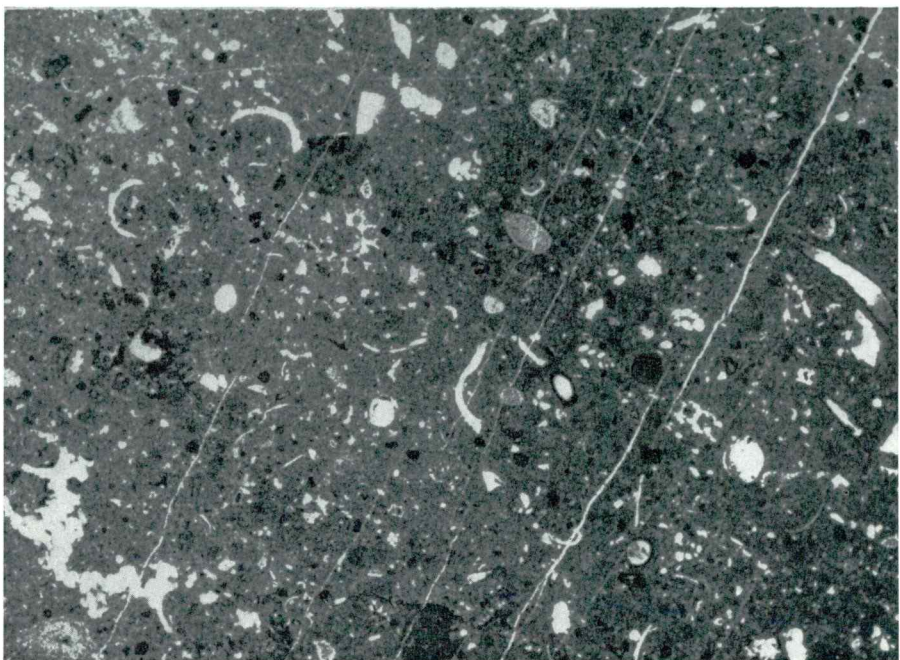


PLANCHE CLXII

Fig. 1 et 2

Calcaire organogène-détritique à *Nipponophycus* cf. *ramosus* Yabe & Toyama,  
( $\times 27,5$ ). Pl. mince 1280-63

Domaine de la montagne Orjen, Ubli  
MALM SUPÉRIEUR (PORTLANDIEN)

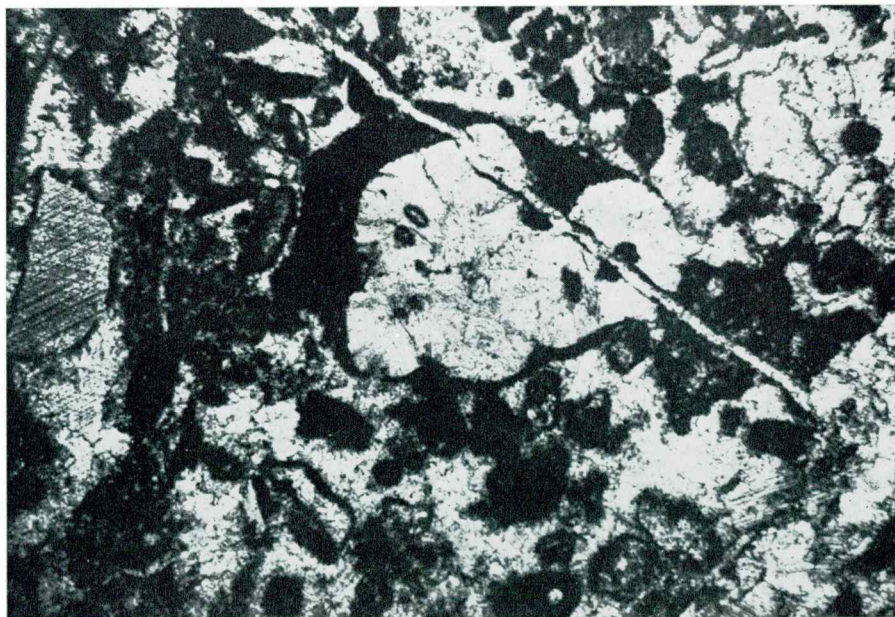
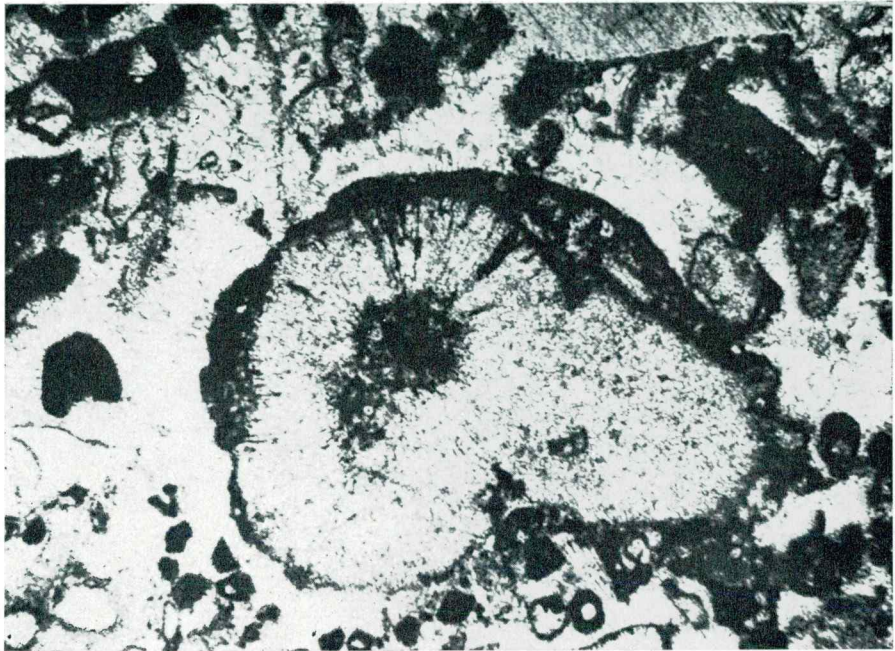


PLANCHE CLXIII

Fig. 1

Calcaire à Dasycladacées recristallisées — le plus vraisemblablement il est question de l'espèce *Pianella gigantea* Carozzi ( $\times 27,5$ ). Pl. mince 1278-63  
Domaine de la montagne Orjen, Ubli  
MALM SUPÉRIEUR

Fig. 2

Calcaire organogène-détritique à Dasycladacées et Codiacées ( $\times 27,5$ ). Pl. mince 1274-63  
Domaine de la montagne Orjen, Ubli  
MALM SUPÉRIEUR

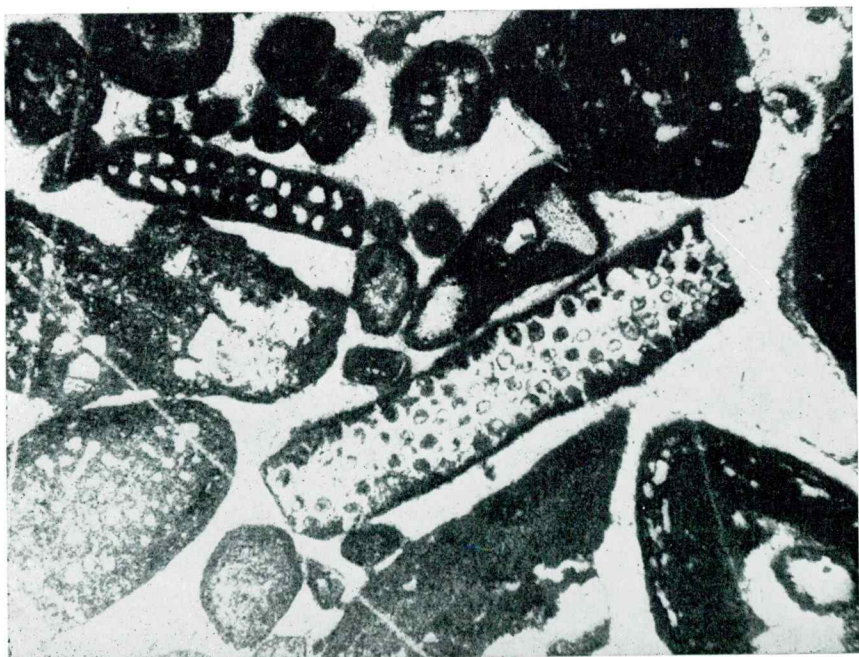
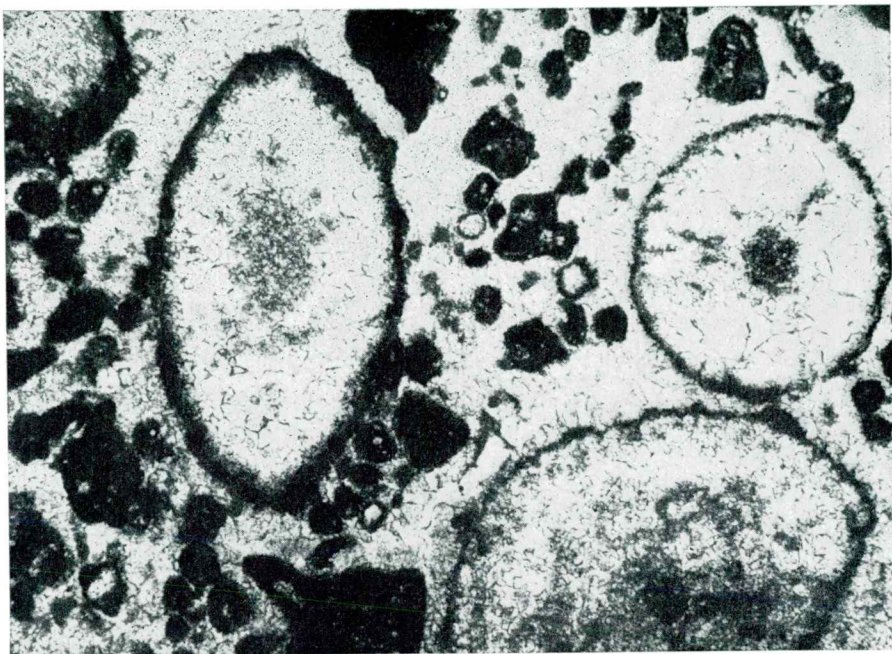


PLANCHE CLXIV

Fig. 1

Calcaire à *Spirillina* sp. et Radiolaires ( $\times 90$ ). Pl. mince 3148-60  
Herzégovine du nord, Tjentište-Suha  
MALM SUPÉRIEUR (PORTLANDIEN — couches à Calpionelles)

Fig. 2

Calcaire à débris de Lamellibranches pélagiques et *Globochaete alpina* Lombard ( $\times 95$ ). Pl. mince 3151-60  
Herzégovine du nord, Tjentište-Suha  
MALM SUPÉRIEUR (PORTLANDIEN — couches à Calpionelles)

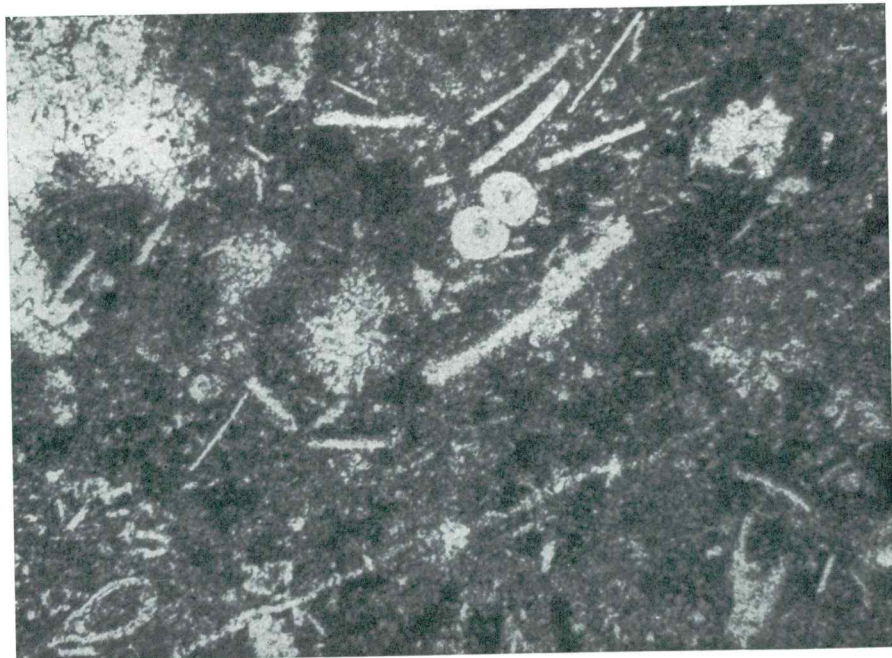


PLANCHE CLXV

Fig. 1 et 2

Calcaire organogène à Trocholines, *Pseudocyclamina*, *Protopeneroplis* ?, Dasycladacées (Macroporelles, Acicularia et autres), Codiacées, Microgastéropodes, etc. ( $\times 18,5$ ). Pl. mince 1990-62

Boka Kotorska, Ljuta

MALM SUPÉRIEUR?

